

ANÁLISIS DE RESULTADOS EILA 22

UNE-EN 12697-2:2015 y UNE-EN 12697-2:2015+A1:2022. Mezclas bituminosas. Métodos de ensayo. Parte 2: Determinación de la granulometría de las partículas.

GRÁFICOS GRANULOMÉTRICOS LABORATORIO 11

CONTENIDO DE LIGANTE SOLUBLE

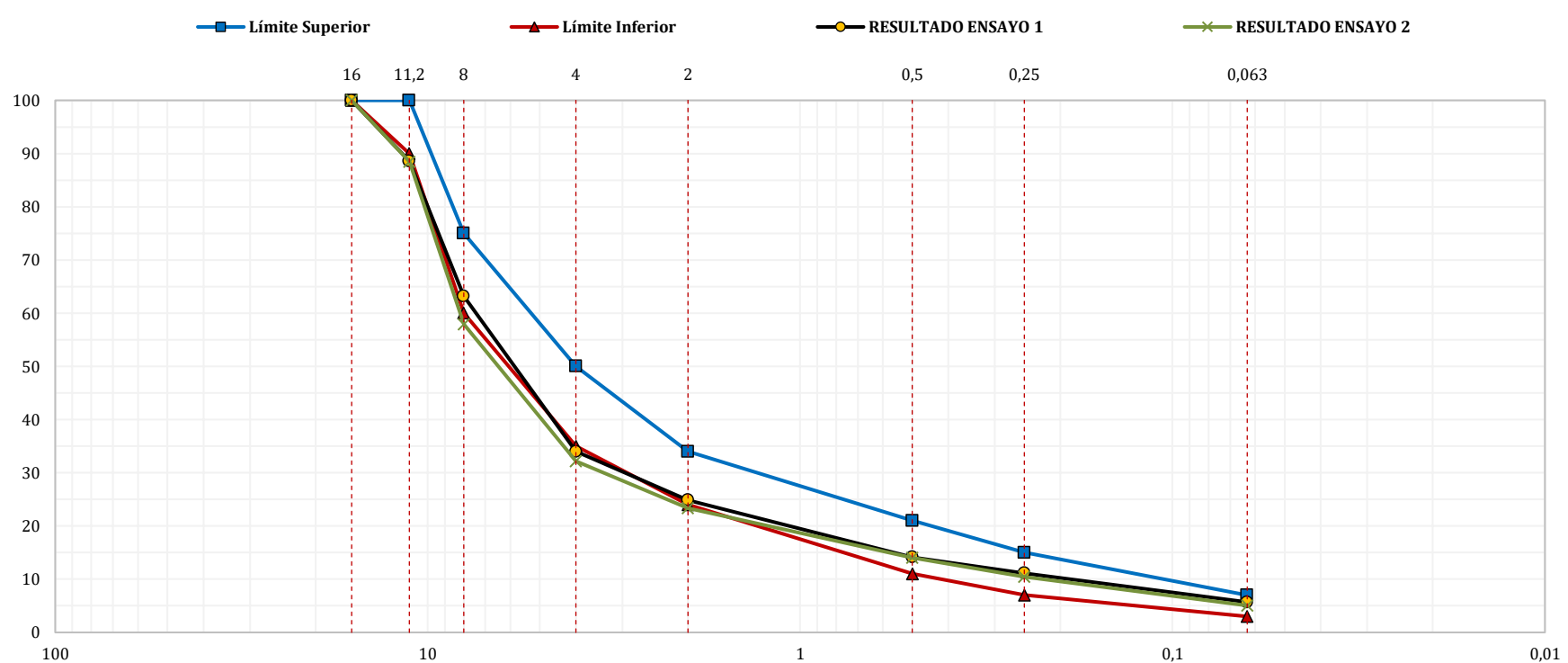
RESULTADOS ENSAYO 1

Abertura Tamiz (mm)	Masa Acumulada (g)	Masa Acumulada (%)	Masa Retenida (g)	Masa Que Pasa (%)	Límite Inferior (%)	Límite Superior (%)
16	0,00	0,0	0,00	100,0	100	100
11,2	130,10	11,5	130,00	88,5	90	100
8	417,95	36,8	288,00	63,2	60	75
4	749,59	66,0	332,00	34,0	35	50
2	852,84	75,1	103,00	24,9	24	34
0,5	968,23	85,9	115,00	14,1	11	21
0,25	1.009,19	88,9	41,00	11,1	7	15
0,063	1.070,77	94,3	62,00	5,7	3	7

RESULTADOS ENSAYO 2

Abertura Tamiz (mm)	Masa Acumulada (g)	Masa Acumulada (%)	Masa Retenida (g)	Masa Que Pasa (%)	Límite Inferior (%)	Límite Superior (%)
16	0,00	0,0	0,00	100,0	100	100
11,2	135,77	11,6	136,00	88,4	90	100
8	493,88	42,1	358,00	57,9	60	75
4	795,40	67,8	301,00	32,2	35	50
2	899,40	76,7	104,00	23,3	24	34
0,5	1.008,87	86,0	110,00	14,0	11	21
0,25	1.050,45	89,5	41,00	10,5	7	15
0,063	1.113,87	94,9	64,00	5,1	3	7

GRÁFICOS ENSAYOS 1 Y 2



Representación gráfica "Abertura del Tamiz (eje X ; representación semilogarítmica ; %) vs Masa Que Pasa (eje Y ; representación lineal ; %)".

ANÁLISIS DE RESULTADOS EILA 22

UNE-EN 12697-2:2015 y UNE-EN 12697-2:2015+A1:2022. Mezclas bituminosas. Métodos de ensayo. Parte 2: Determinación de la granulometría de las partículas.

GRÁFICOS GRANULOMÉTRICOS LABORATORIO 14

CONTENIDO DE LIGANTE SOLUBLE

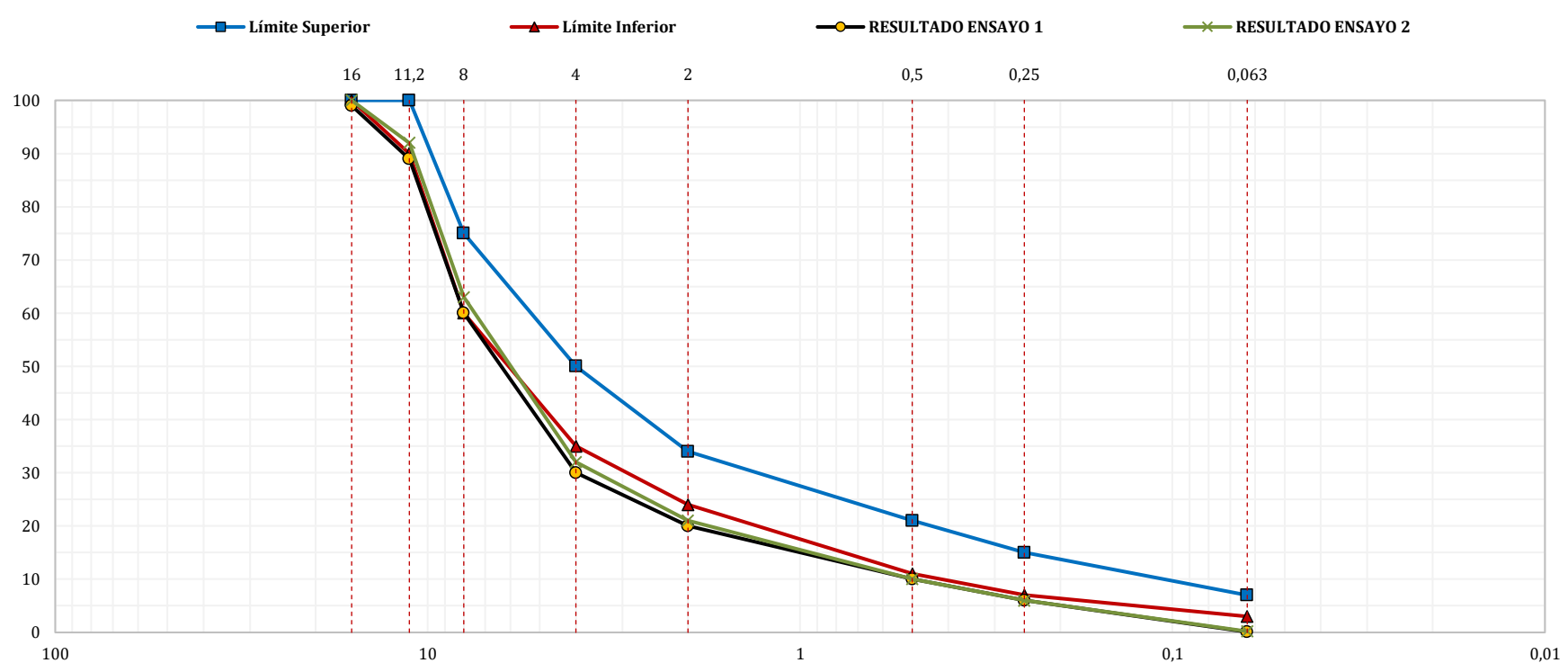
RESULTADOS ENSAYO 1

Abertura Tamiz (mm)	Masa Acumulada (g)	Masa Acumulada (%)	Masa Retenida (g)	Masa Que Pasa (%)	Límite Inferior (%)	Límite Superior (%)
16	10,90	1,0	10,90	99,0	100	100
11,2	129,10	11,0	118,20	89,0	90	100
8	454,30	40,0	325,20	60,0	60	75
4	793,30	70,0	339,00	30,0	35	50
2	912,30	80,0	119,00	20,0	24	34
0,5	1.029,70	90,0	117,40	10,0	11	21
0,25	1.070,60	94,0	40,90	6,0	7	15
0,063	1.139,30	99,9	68,70	0,1	3	7

RESULTADOS ENSAYO 2

Abertura Tamiz (mm)	Masa Acumulada (g)	Masa Acumulada (%)	Masa Retenida (g)	Masa Que Pasa (%)	Límite Inferior (%)	Límite Superior (%)
16	0,00	0,0	0,00	100,0	100	100
11,2	89,90	8,0	89,90	92,0	90	100
8	403,00	37,0	313,10	63,0	60	75
4	747,10	68,0	344,10	32,0	35	50
2	873,30	79,0	126,20	21,0	24	34
0,5	990,40	90,0	117,10	10,0	11	21
0,25	1.030,30	94,0	39,90	6,0	7	15
0,063	1.098,10	99,8	67,80	0,2	3	7

GRÁFICOS ENSAYOS 1 Y 2



Representación gráfica "Abertura del Tamiz (eje X ; representación semilogarítmica ; %) vs Masa Que Pasa (eje Y ; representación lineal ; %)".

ANÁLISIS DE RESULTADOS EILA 22

UNE-EN 12697-2:2015 y UNE-EN 12697-2:2015+A1:2022. Mezclas bituminosas. Métodos de ensayo. Parte 2: Determinación de la granulometría de las partículas.

GRÁFICOS GRANULOMÉTRICOS LABORATORIO 17

CONTENIDO DE LIGANTE SOLUBLE

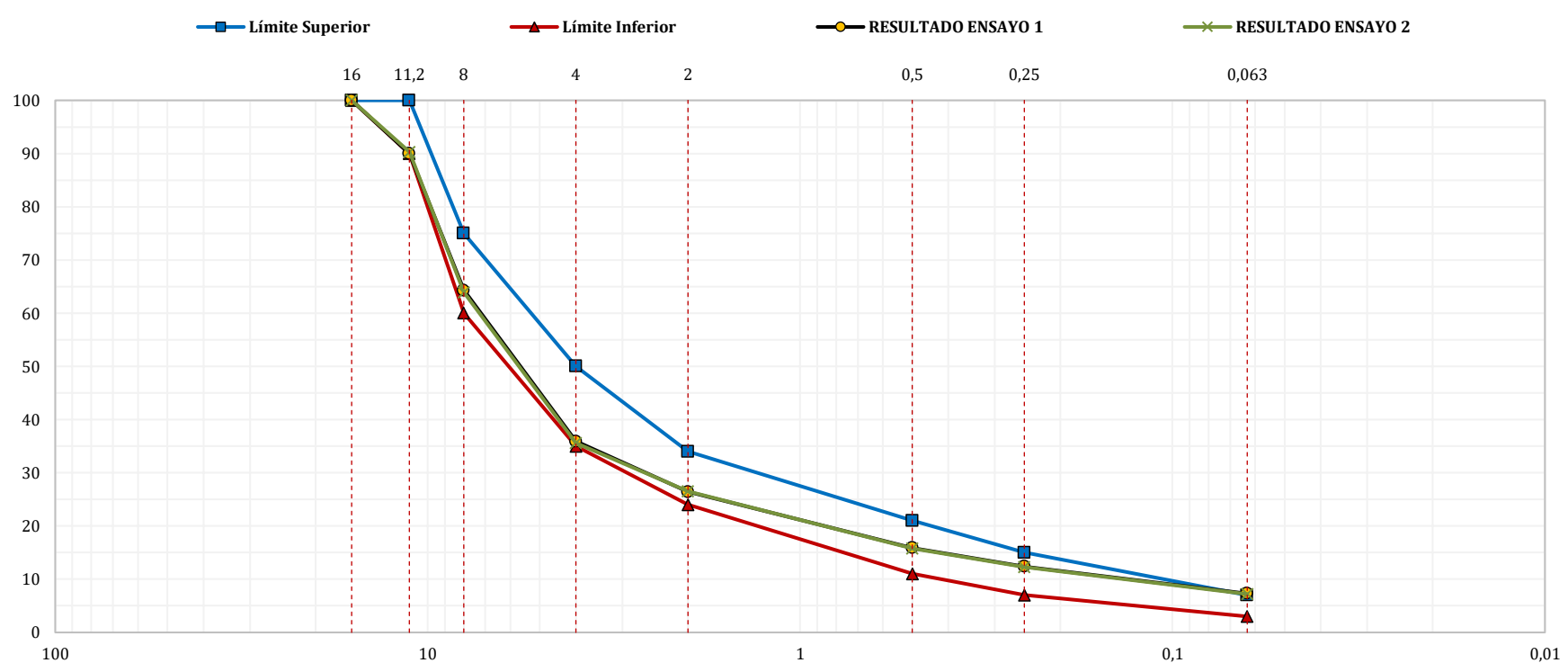
RESULTADOS ENSAYO 1

Abertura Tamiz (mm)	Masa Acumulada (g)	Masa Acumulada (%)	Masa Retenida (g)	Masa Que Pasa (%)	Límite Inferior (%)	Límite Superior (%)
16	0,00	0,0	1.145,00	100,0	100	100
11,2	114,60	10,0	1.030,00	90,0	90	100
8	407,90	35,7	737,00	64,3	60	75
4	733,70	64,1	411,00	35,9	35	50
2	841,80	73,6	303,00	26,4	24	34
0,5	961,60	84,1	183,00	15,9	11	21
0,25	1.001,60	87,6	143,00	12,4	7	15
0,063	1.060,20	92,7	85,00	7,3	3	7

RESULTADOS ENSAYO 2

Abertura Tamiz (mm)	Masa Acumulada (g)	Masa Acumulada (%)	Masa Retenida (g)	Masa Que Pasa (%)	Límite Inferior (%)	Límite Superior (%)
16	0,00	0,0	1.147,00	100,0	100	100
11,2	111,70	9,7	1.035,00	90,3	90	100
8	413,10	36,1	734,00	63,9	60	75
4	737,80	64,4	409,00	35,6	35	50
2	842,10	73,5	305,00	26,5	24	34
0,5	964,80	84,2	182,00	15,8	11	21
0,25	1.004,80	87,7	142,00	12,3	7	15
0,063	1.063,40	92,8	84,00	7,2	3	7

GRÁFICOS ENSAYOS 1 Y 2



Representación gráfica "Abertura del Tamiz (eje X ; representación semilogarítmica ; %) vs Masa Que Pasa (eje Y ; representación lineal ; %)".

ANÁLISIS DE RESULTADOS EILA 22

UNE-EN 12697-2:2015 y UNE-EN 12697-2:2015+A1:2022. Mezclas bituminosas. Métodos de ensayo. Parte 2: Determinación de la granulometría de las partículas.

GRÁFICOS GRANULOMÉTRICOS LABORATORIO 18

CONTENIDO DE LIGANTE SOLUBLE

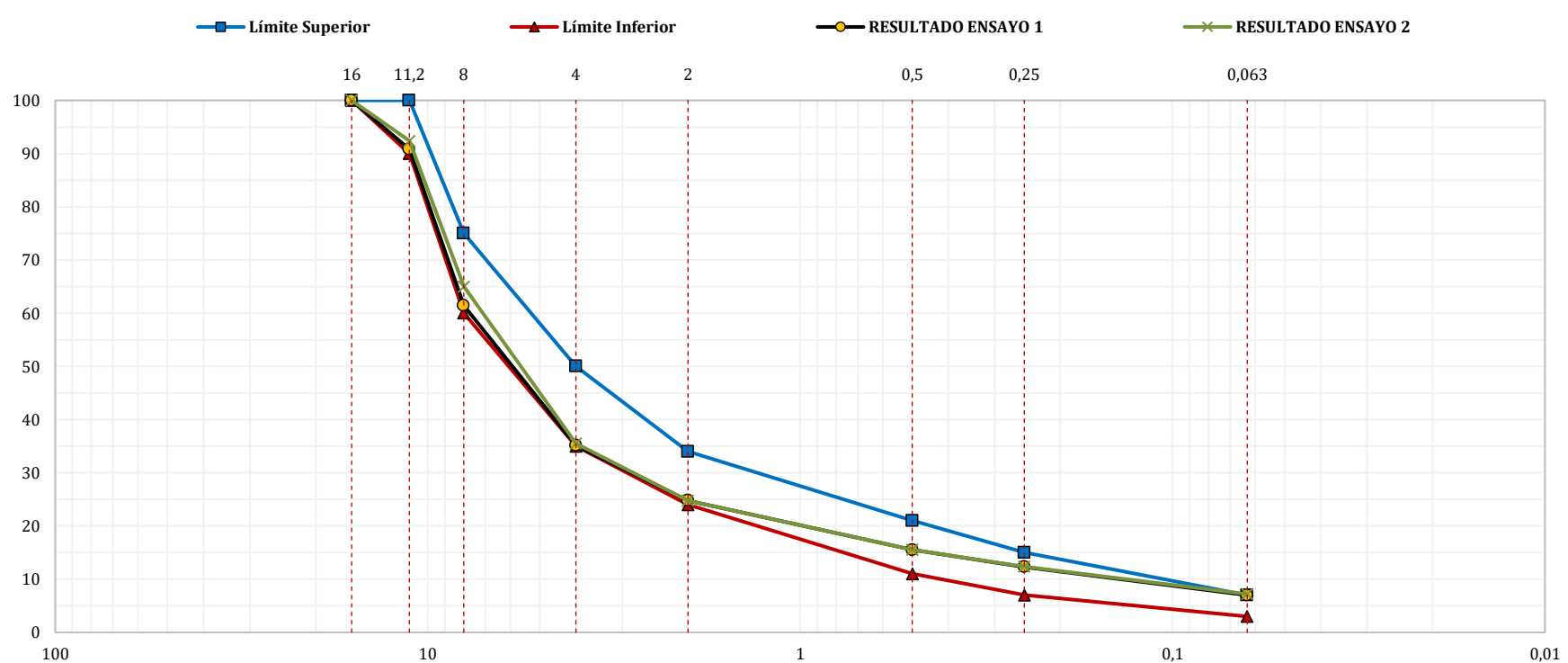
RESULTADOS ENSAYO 1

Abertura Tamiz (mm)	Masa Acumulada (g)	Masa Acumulada (%)	Masa Retenida (g)	Masa Que Pasa (%)	Límite Inferior (%)	Límite Superior (%)
16	0,00	0,0	0,00	100,0	100	100
11,2	113,70	9,2	113,70	90,8	90	100
8	478,70	38,6	365,00	61,4	60	75
4	804,70	64,9	326,00	35,1	35	50
2	932,20	75,2	127,50	24,8	24	34
0,5	1.047,80	84,5	115,60	15,5	11	21
0,25	1.087,60	87,8	39,80	12,3	7	15
0,063	1.152,70	93,0	65,10	7,0	3	7

RESULTADOS ENSAYO 2

Abertura Tamiz (mm)	Masa Acumulada (g)	Masa Acumulada (%)	Masa Retenida (g)	Masa Que Pasa (%)	Límite Inferior (%)	Límite Superior (%)
16	0,00	0,0	0,00	100,0	100	100
11,2	92,70	7,6	92,70	92,4	90	100
8	428,70	35,0	336,00	65,0	60	75
4	790,80	64,5	362,10	35,5	35	50
2	921,30	75,2	130,50	24,8	24	34
0,5	1.035,80	84,5	114,50	15,5	11	21
0,25	1.074,30	87,7	38,50	12,4	7	15
0,063	1.137,90	92,8	63,60	7,2	3	7

GRÁFICOS ENSAYOS 1 Y 2



Representación gráfica "Abertura del Tamiz (eje X ; representación semilogarítmica ; %) vs Masa Que Pasa (eje Y ; representación lineal ; %)".

ANÁLISIS DE RESULTADOS EILA 22

UNE-EN 12697-2:2015 y UNE-EN 12697-2:2015+A1:2022. Mezclas bituminosas. Métodos de ensayo. Parte 2: Determinación de la granulometría de las partículas.

GRÁFICOS GRANULOMÉTRICOS LABORATORIO 23

CONTENIDO DE LIGANTE SOLUBLE

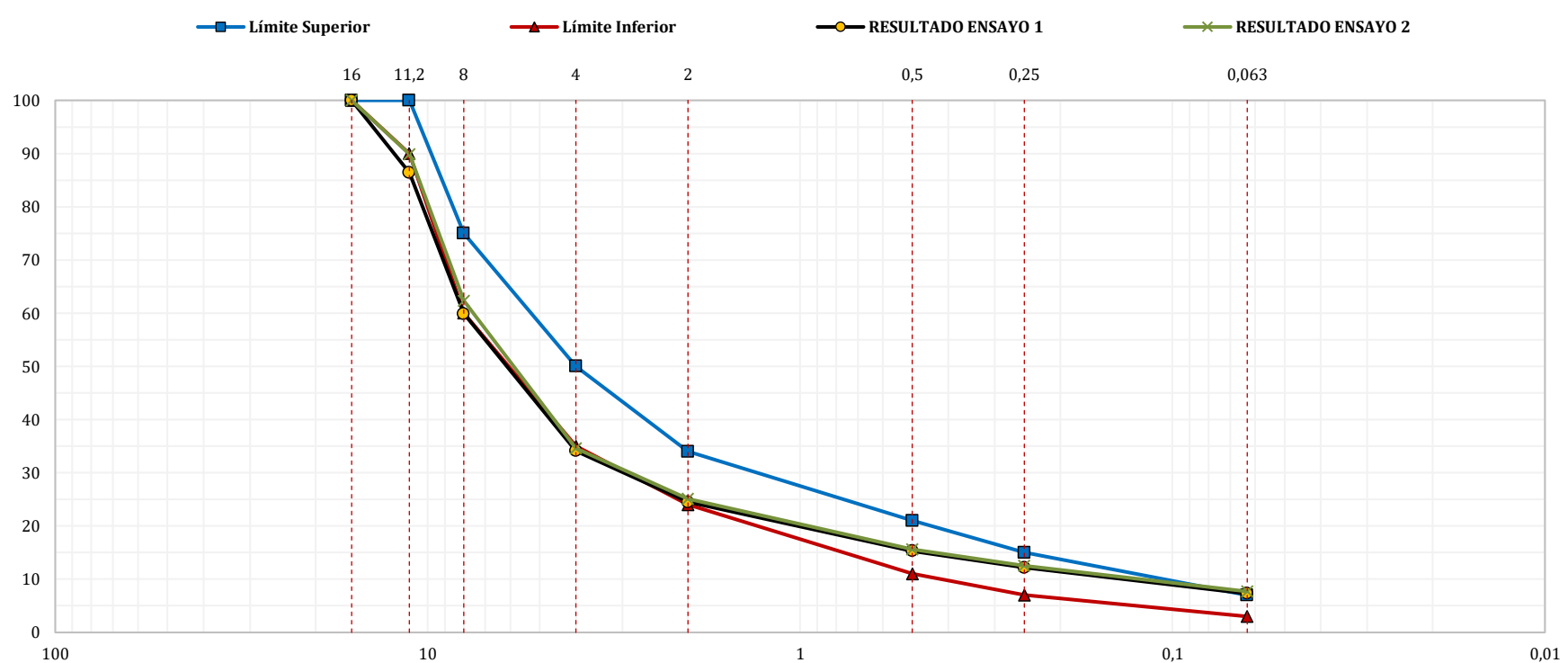
RESULTADOS ENSAYO 1

Abertura Tamiz (mm)	Masa Acumulada (g)	Masa Acumulada (%)	Masa Retenida (g)	Masa Que Pasa (%)	Límite Inferior (%)	Límite Superior (%)
16				100,0	100	100
11,2	365,80	13,6	365,80	86,4	90	100
8	1.080,60	40,1	714,80	59,9	60	75
4	1.774,20	65,9	693,60	34,1	35	50
2	2.031,60	75,5	257,40	24,5	24	34
0,5	2.280,40	84,7	248,80	15,3	11	21
0,25	2.364,00	87,8	83,60	12,2	7	15
0,063	2.484,20	92,7	130,20	7,3	3	7

RESULTADOS ENSAYO 2

Abertura Tamiz (mm)	Masa Acumulada (g)	Masa Acumulada (%)	Masa Retenida (g)	Masa Que Pasa (%)	Límite Inferior (%)	Límite Superior (%)
16				100,0	100	100
11,2	263,20	10,1	263,20	89,9	90	100
8	985,40	37,7	722,20	62,3	60	75
4	1.708,60	65,4	723,20	34,6	35	50
2	1.957,00	74,9	248,40	25,1	24	34
0,5	2.205,80	84,4	248,80	15,6	11	21
0,25	2.287,00	87,5	81,20	12,5	7	15
0,063	2.413,20	92,3	126,20	7,7	3	7

GRÁFICOS ENSAYOS 1 Y 2



Representación gráfica "Abertura del Tamiz (eje X ; representación semilogarítmica ; %) vs Masa Que Pasa (eje Y ; representación lineal ; %)".

ANÁLISIS DE RESULTADOS EILA 22

UNE-EN 12697-2:2015 y UNE-EN 12697-2:2015+A1:2022. Mezclas bituminosas. Métodos de ensayo. Parte 2: Determinación de la granulometría de las partículas.

GRÁFICOS GRANULOMÉTRICOS LABORATORIO 26

CONTENIDO DE LIGANTE SOLUBLE

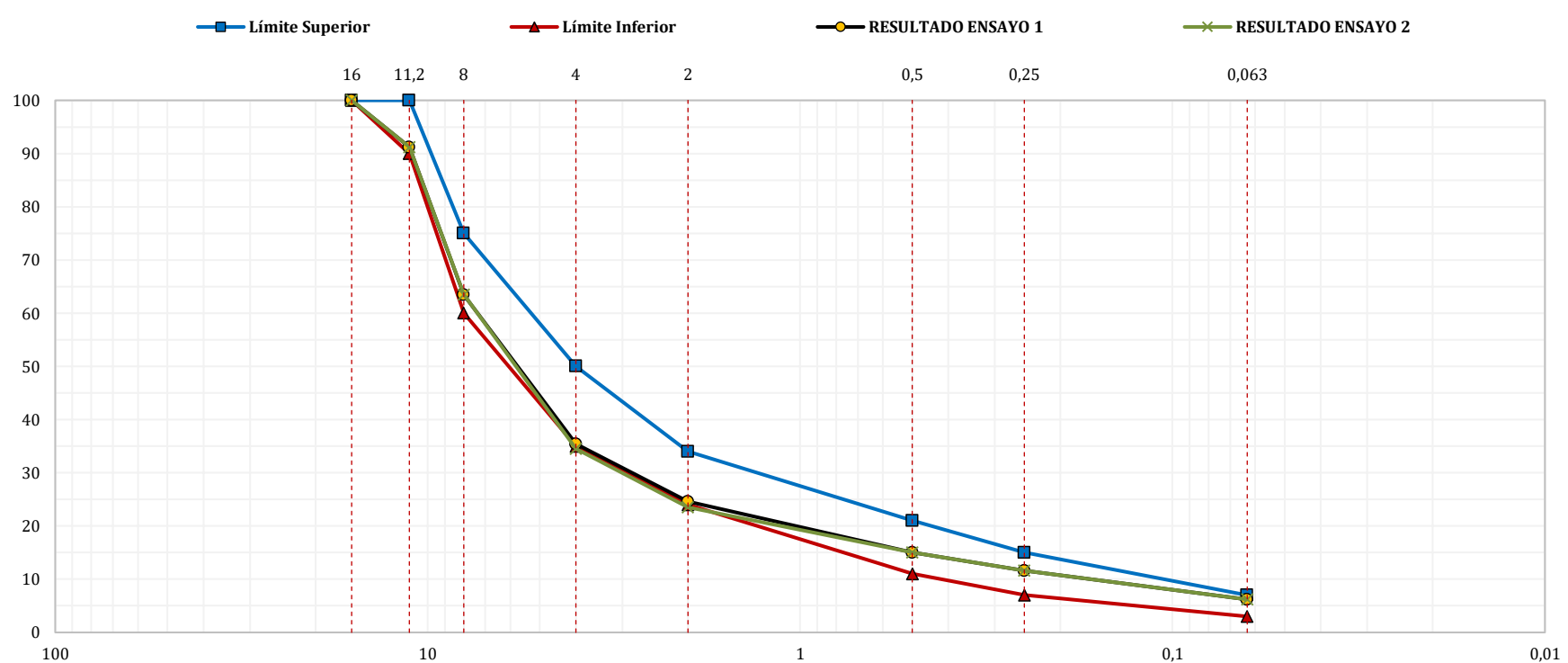
RESULTADOS ENSAYO 1

Abertura Tamiz (mm)	Masa Acumulada (g)	Masa Acumulada (%)	Masa Retenida (g)	Masa Que Pasa (%)	Límite Inferior (%)	Límite Superior (%)
16	0,00	0,0	0,00	100,0	100	100
11,2	203,00	8,8	203,00	91,2	90	100
8	848,33	36,6	645,00	63,4	60	75
4	1.499,07	64,6	650,74	35,4	35	50
2	1.747,93	75,4	248,86	24,6	24	34
0,5	1.972,40	85,0	224,47	15,0	11	21
0,25	2.051,27	88,4	78,87	11,6	7	15
0,063	2.174,53	93,8	123,26	6,2	3	7

RESULTADOS ENSAYO 2

Abertura Tamiz (mm)	Masa Acumulada (g)	Masa Acumulada (%)	Masa Retenida (g)	Masa Que Pasa (%)	Límite Inferior (%)	Límite Superior (%)
16	0,00	0,0	0,00	100,0	100	100
11,2	183,00	8,8	183,00	91,2	90	100
8	764,00	36,5	581,00	63,5	60	75
4	1.370,00	65,5	606,00	34,5	35	50
2	1.599,00	76,5	229,00	23,5	24	34
0,5	1.777,00	85,0	178,00	15,0	11	21
0,25	1.849,00	88,4	72,00	11,6	7	15
0,063	1.961,00	93,8	112,00	6,2	3	7

GRÁFICOS ENSAYOS 1 Y 2



Representación gráfica "Abertura del Tamiz (eje X ; representación semilogarítmica ; %) vs Masa Que Pasa (eje Y ; representación lineal ; %)".

ANÁLISIS DE RESULTADOS EILA 22

UNE-EN 12697-2:2015 y UNE-EN 12697-2:2015+A1:2022. Mezclas bituminosas. Métodos de ensayo. Parte 2: Determinación de la granulometría de las partículas.

GRÁFICOS GRANULOMÉTRICOS LABORATORIO 29

CONTENIDO DE LIGANTE SOLUBLE

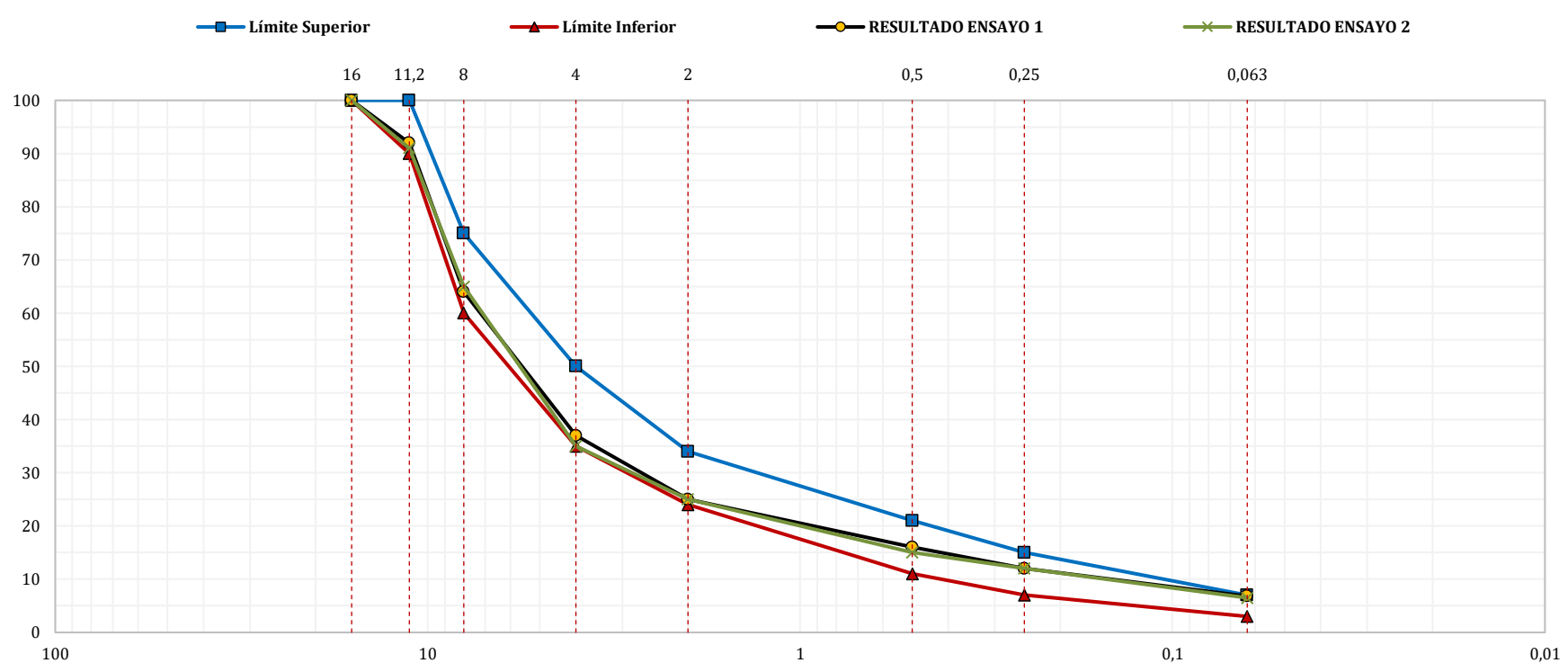
RESULTADOS ENSAYO 1

Abertura Tamiz (mm)	Masa Acumulada (g)	Masa Acumulada (%)	Masa Retenida (g)	Masa Que Pasa (%)	Límite Inferior (%)	Límite Superior (%)
16	0,00	0,0	0,00	100,0	100	100
11,2	88,80	8,0	88,80	92,0	90	100
8	403,30	36,0	314,50	64,0	60	75
4	711,90	63,0	308,60	37,0	35	50
2	840,00	75,0	128,10	25,0	24	34
0,5	949,50	84,0	109,50	16,0	11	21
0,25	984,10	88,0	34,60	12,0	7	15
0,063	1.047,30	93,2	63,20	6,8	3	7

RESULTADOS ENSAYO 2

Abertura Tamiz (mm)	Masa Acumulada (g)	Masa Acumulada (%)	Masa Retenida (g)	Masa Que Pasa (%)	Límite Inferior (%)	Límite Superior (%)
16	0,00	0,0	0,00	100,0	100	100
11,2	96,20	9,0	96,20	91,0	90	100
8	370,60	35,0	274,40	65,0	60	75
4	689,50	65,0	318,90	35,0	35	50
2	797,50	75,0	108,00	25,0	24	34
0,5	898,00	85,0	100,50	15,0	11	21
0,25	930,30	88,0	32,30	12,0	7	15
0,063	988,40	93,5	58,10	6,5	3	7

GRÁFICOS ENSAYOS 1 Y 2



Representación gráfica "Abertura del Tamiz (eje X ; representación semilogarítmica ; %) vs Masa Que Pasa (eje Y ; representación lineal ; %)".

ANÁLISIS DE RESULTADOS EILA 22

UNE-EN 12697-2:2015 y UNE-EN 12697-2:2015+A1:2022. Mezclas bituminosas. Métodos de ensayo. Parte 2: Determinación de la granulometría de las partículas.

GRÁFICOS GRANULOMÉTRICOS LABORATORIO 31

CONTENIDO DE LIGANTE SOLUBLE

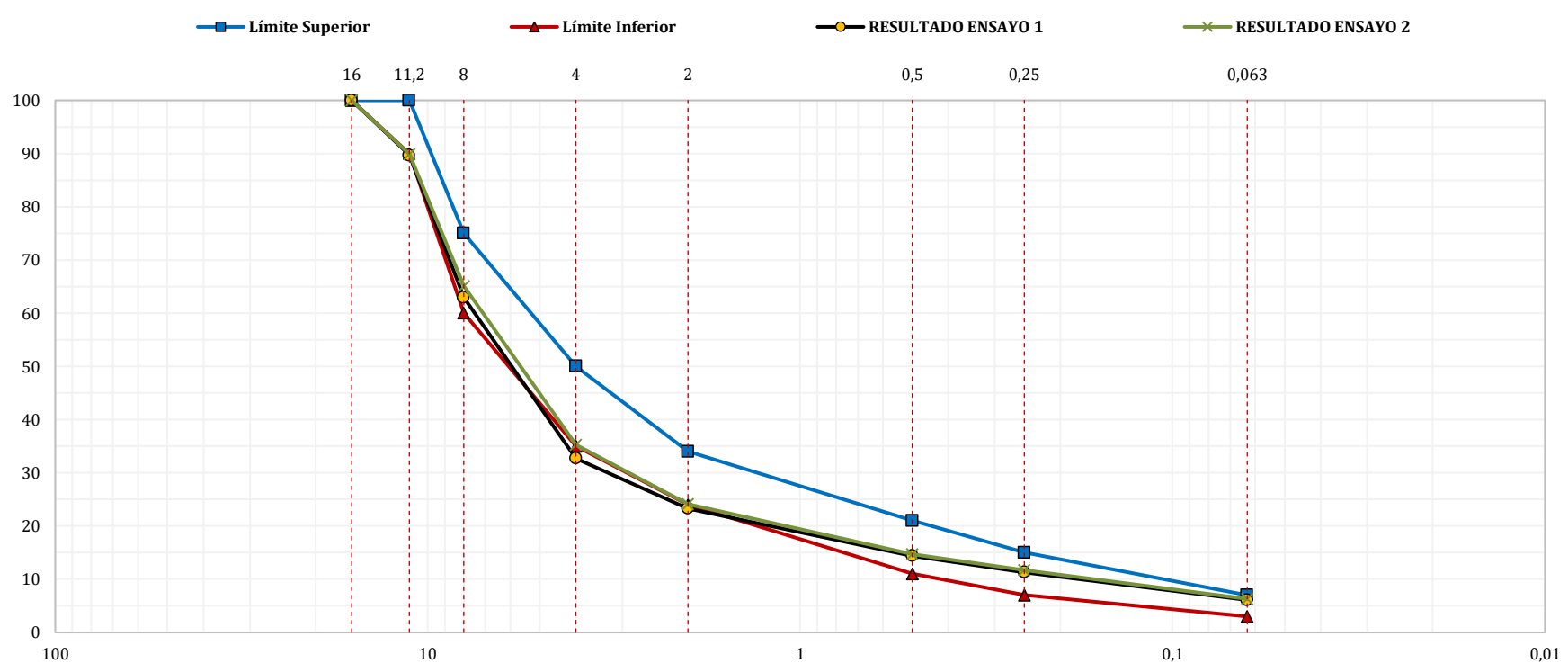
RESULTADOS ENSAYO 1

Abertura Tamiz (mm)	Masa Acumulada (g)	Masa Acumulada (%)	Masa Retenida (g)	Masa Que Pasa (%)	Límite Inferior (%)	Límite Superior (%)
16			0,00	100,0	100	100
11,2			117,90	89,7	90	100
8			305,40	62,9	60	75
4			345,30	32,7	35	50
2			106,90	23,3	24	34
0,5			102,40	14,4	11	21
0,25			34,70	11,3	7	15
0,063			59,80	6,1	3	7

RESULTADOS ENSAYO 2

Abertura Tamiz (mm)	Masa Acumulada (g)	Masa Acumulada (%)	Masa Retenida (g)	Masa Que Pasa (%)	Límite Inferior (%)	Límite Superior (%)
16			0,00	100,0	100	100
11,2			115,80	89,9	90	100
8			282,30	65,1	60	75
4			340,00	35,3	35	50
2			128,50	24,1	24	34
0,5			106,90	14,7	11	21
0,25			34,90	11,7	7	15
0,063			61,10	6,3	3	7

GRÁFICOS ENSAYOS 1 Y 2



Representación gráfica "Abertura del Tamiz (eje X ; representación semilogarítmica ; %) vs Masa Que Pasa (eje Y ; representación lineal ; %)".

ANÁLISIS DE RESULTADOS EILA 22

UNE-EN 12697-2:2015 y UNE-EN 12697-2:2015+A1:2022. Mezclas bituminosas. Métodos de ensayo. Parte 2: Determinación de la granulometría de las partículas.

GRÁFICOS GRANULOMÉTRICOS LABORATORIO 32

CONTENIDO DE LIGANTE SOLUBLE

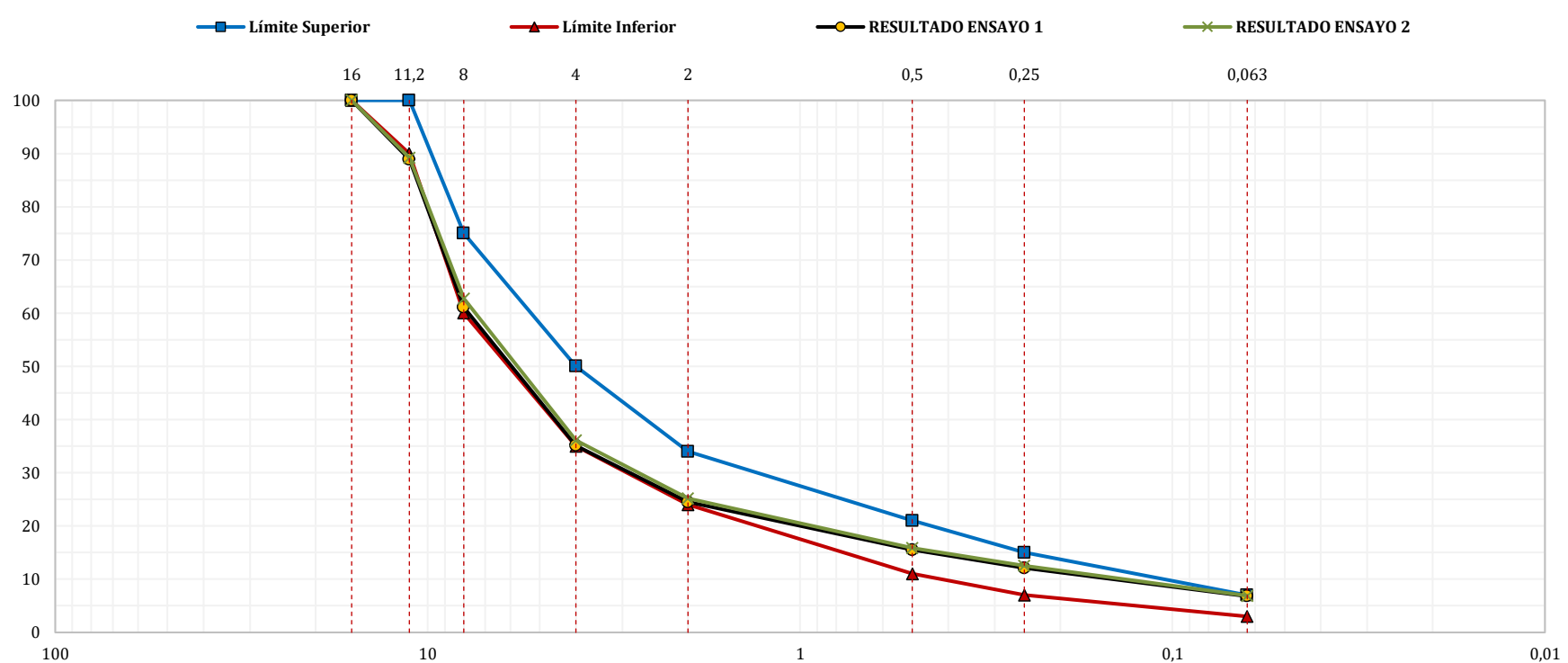
RESULTADOS ENSAYO 1

Abertura Tamiz (mm)	Masa Acumulada (g)	Masa Acumulada (%)	Masa Retenida (g)	Masa Que Pasa (%)	Límite Inferior (%)	Límite Superior (%)
16	0,00	0,0	0,00	100,0	100	100
11,2	185,20	11,1	185,00	88,9	90	100
8	648,90	38,9	463,70	61,1	60	75
4	1.081,50	64,9	432,60	35,1	35	50
2	1.259,60	75,5	178,10	24,5	24	34
0,5	1.408,30	84,5	148,70	15,5	11	21
0,25	1.466,20	87,9	57,90	12,1	7	15
0,063	1.553,30	93,2	87,10	6,8	3	7

RESULTADOS ENSAYO 2

Abertura Tamiz (mm)	Masa Acumulada (g)	Masa Acumulada (%)	Masa Retenida (g)	Masa Que Pasa (%)	Límite Inferior (%)	Límite Superior (%)
16	0,00	0,0	0,00	100,0	100	100
11,2	190,80	10,8	190,80	89,2	90	100
8	662,20	37,3	471,40	62,7	60	75
4	1.134,00	63,9	471,80	36,1	35	50
2	1.327,50	74,8	193,50	25,2	24	34
0,5	1.491,50	84,1	164,00	15,9	11	21
0,25	1.551,70	87,5	60,20	12,5	7	15
0,063	1.650,90	93,1	99,20	6,9	3	7

GRÁFICOS ENSAYOS 1 Y 2



Representación gráfica "Abertura del Tamiz (eje X ; representación semilogarítmica ; %) vs Masa Que Pasa (eje Y ; representación lineal ; %)".

ANÁLISIS DE RESULTADOS EILA 22

UNE-EN 12697-2:2015 y UNE-EN 12697-2:2015+A1:2022. Mezclas bituminosas. Métodos de ensayo. Parte 2: Determinación de la granulometría de las partículas.

GRÁFICOS GRANULOMÉTRICOS LABORATORIO 33

CONTENIDO DE LIGANTE SOLUBLE

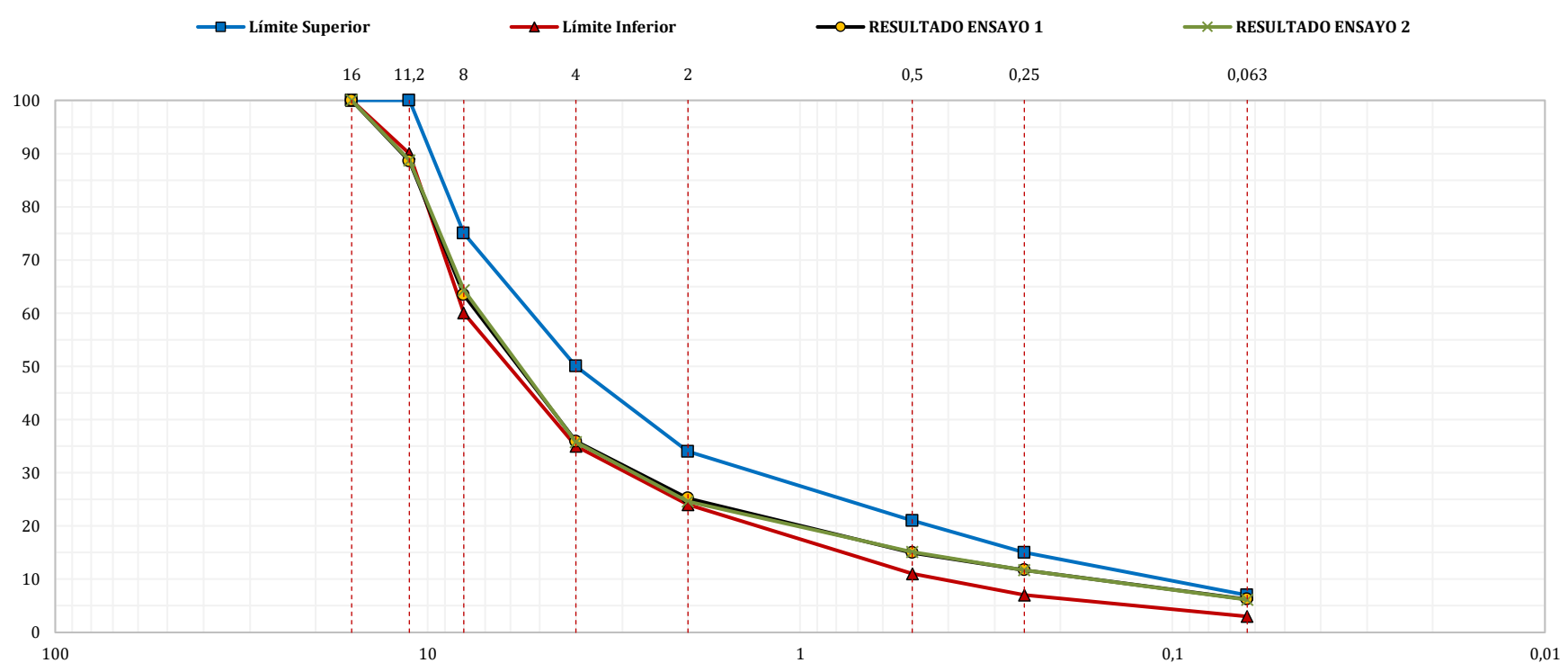
RESULTADOS ENSAYO 1

Abertura Tamiz (mm)	Masa Acumulada (g)	Masa Acumulada (%)	Masa Retenida (g)	Masa Que Pasa (%)	Límite Inferior (%)	Límite Superior (%)
16	0,00	0,0	0,00	100,0	100	100
11,2	144,40	11,4	144,40	88,6	90	100
8	462,70	36,6	318,30	63,4	60	75
4	810,90	64,1	348,20	35,9	35	50
2	946,80	74,8	135,90	25,2	24	34
0,5	1.076,10	85,0	129,30	15,0	11	21
0,25	1.117,30	88,3	41,20	11,7	7	15
0,063	1.186,90	93,8	69,60	6,2	3	7

RESULTADOS ENSAYO 2

Abertura Tamiz (mm)	Masa Acumulada (g)	Masa Acumulada (%)	Masa Retenida (g)	Masa Que Pasa (%)	Límite Inferior (%)	Límite Superior (%)
16	0,00	0,0	0,00	100,0	100	100
11,2	124,00	11,3	124,00	88,7	90	100
8	391,00	35,7	267,00	64,3	60	75
4	704,00	64,2	313,00	35,8	35	50
2	827,00	75,4	123,00	24,6	24	34
0,5	931,00	84,9	104,00	15,1	11	21
0,25	968,00	88,3	37,00	11,7	7	15
0,063	1.029,00	93,9	61,00	6,2	3	7

GRÁFICOS ENSAYOS 1 Y 2



Representación gráfica "Abertura del Tamiz (eje X ; representación semilogarítmica ; %) vs Masa Que Pasa (eje Y ; representación lineal ; %)".

ANÁLISIS DE RESULTADOS EILA 22

UNE-EN 12697-2:2015 y UNE-EN 12697-2:2015+A1:2022. Mezclas bituminosas. Métodos de ensayo. Parte 2: Determinación de la granulometría de las partículas.

GRÁFICOS GRANULOMÉTRICOS LABORATORIO 34

CONTENIDO DE LIGANTE SOLUBLE

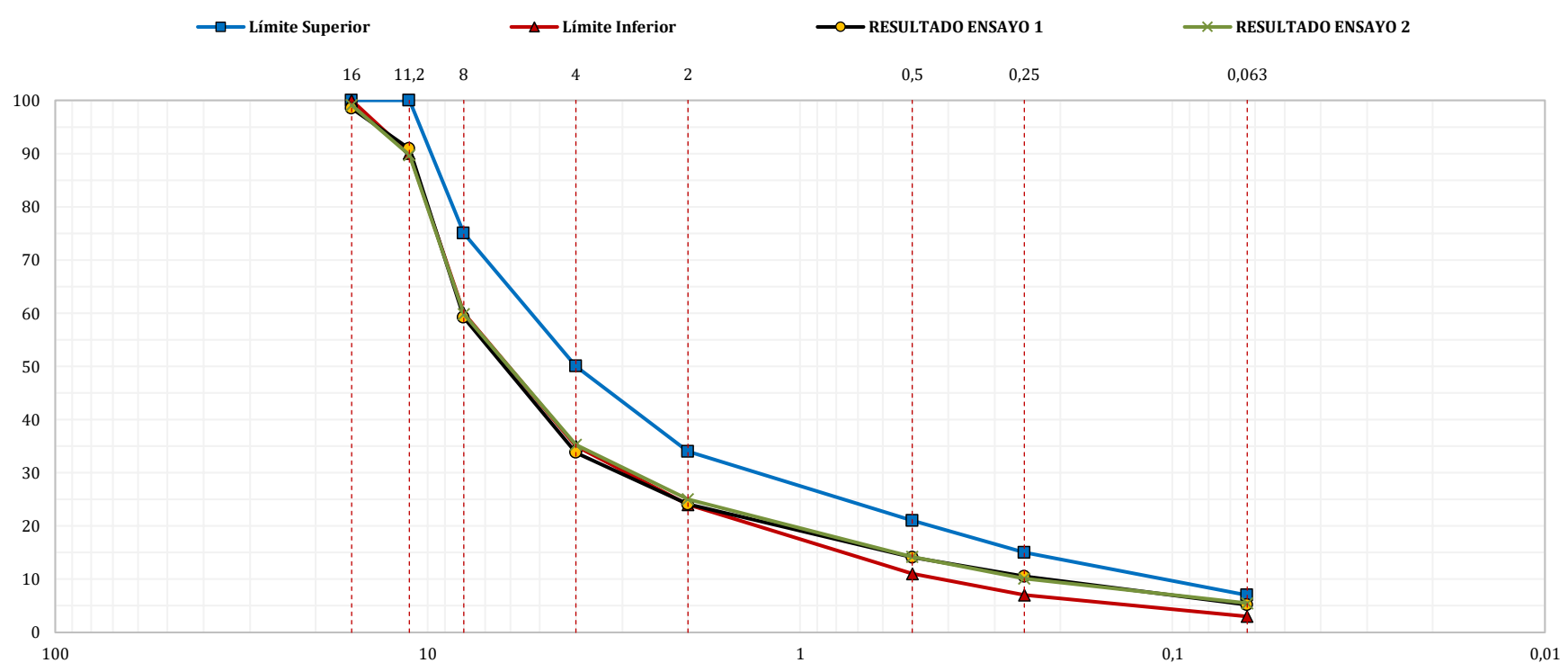
RESULTADOS ENSAYO 1

Abertura Tamiz (mm)	Masa Acumulada (g)	Masa Acumulada (%)	Masa Retenida (g)	Masa Que Pasa (%)	Límite Inferior (%)	Límite Superior (%)
16	14,00	1,5	14,00	98,5	100	100
11,2	85,20	9,1	71,20	90,9	90	100
8	381,20	40,8	296,00	59,2	60	75
4	617,50	66,2	236,30	33,8	35	50
2	709,00	75,9	91,00	24,1	24	34
0,5	802,00	85,9	93,00	14,1	11	21
0,25	835,00	89,5	33,60	10,5	7	15
0,063	885,00	95,2	49,50	5,2	3	7

RESULTADOS ENSAYO 2

Abertura Tamiz (mm)	Masa Acumulada (g)	Masa Acumulada (%)	Masa Retenida (g)	Masa Que Pasa (%)	Límite Inferior (%)	Límite Superior (%)
16	8,70	0,9	8,70	99,1	100	100
11,2	96,96	10,3	86,26	89,7	90	100
8	379,06	40,2	282,10	59,8	60	75
4	610,66	64,7	231,60	35,3	35	50
2	707,94	75,0	97,28	25,0	24	34
0,5	809,94	85,8	102,00	14,2	11	21
0,25	848,08	89,9	32,14	10,1	7	15
0,063	891,34	94,5	43,26	5,5	3	7

GRÁFICOS ENSAYOS 1 Y 2



Representación gráfica "Abertura del Tamiz (eje X ; representación semilogarítmica ; %) vs Masa Que Pasa (eje Y ; representación lineal ; %)".

ANÁLISIS DE RESULTADOS EILA 22

UNE-EN 12697-2:2015 y UNE-EN 12697-2:2015+A1:2022. Mezclas bituminosas. Métodos de ensayo. Parte 2: Determinación de la granulometría de las partículas.

GRÁFICOS GRANULOMÉTRICOS LABORATORIO 43

CONTENIDO DE LIGANTE SOLUBLE

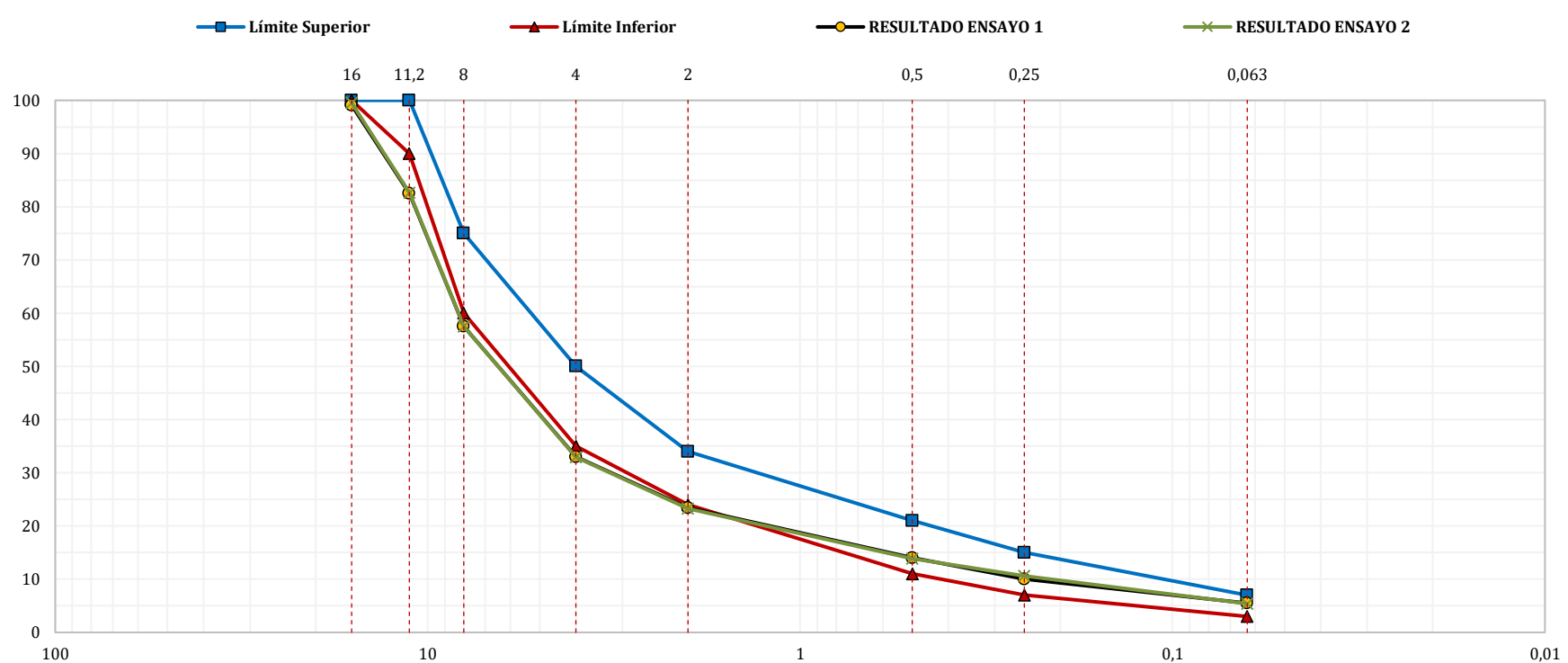
RESULTADOS ENSAYO 1

Abertura Tamiz (mm)	Masa Acumulada (g)	Masa Acumulada (%)	Masa Retenida (g)	Masa Que Pasa (%)	Límite Inferior (%)	Límite Superior (%)
16	20,00	0,9	20,00	99,1	100	100
11,2	399,00	17,5	379,00	82,5	90	100
8	968,00	42,5	569,00	57,5	60	75
4	1.528,00	67,0	560,00	33,0	35	50
2	1.747,00	76,6	219,00	23,4	24	34
0,5	1.960,00	86,0	213,00	14,0	11	21
0,25	2.037,00	90,0	77,00	10,0	7	15
0,063	2.155,00	94,5	118,00	5,5	3	7

RESULTADOS ENSAYO 2

Abertura Tamiz (mm)	Masa Acumulada (g)	Masa Acumulada (%)	Masa Retenida (g)	Masa Que Pasa (%)	Límite Inferior (%)	Límite Superior (%)
16	12,00	0,5	12,00	99,5	100	100
11,2	388,00	17,4	376,00	82,6	90	100
8	948,00	42,5	560,00	57,5	60	75
4	1.499,00	67,1	551,00	32,9	35	50
2	1.713,00	76,7	214,00	23,3	24	34
0,5	1.922,00	86,1	209,00	13,9	11	21
0,25	1.997,00	89,4	75,00	10,6	7	15
0,063	2.113,00	94,6	116,00	5,4	3	7

GRÁFICOS ENSAYOS 1 Y 2



Representación gráfica "Abertura del Tamiz (eje X ; representación semilogarítmica ; %) vs Masa Que Pasa (eje Y ; representación lineal ; %)".

ANÁLISIS DE RESULTADOS EILA 22

UNE-EN 12697-2:2015 y UNE-EN 12697-2:2015+A1:2022. Mezclas bituminosas. Métodos de ensayo. Parte 2: Determinación de la granulometría de las partículas.

GRÁFICOS GRANULOMÉTRICOS LABORATORIO 45

CONTENIDO DE LIGANTE SOLUBLE

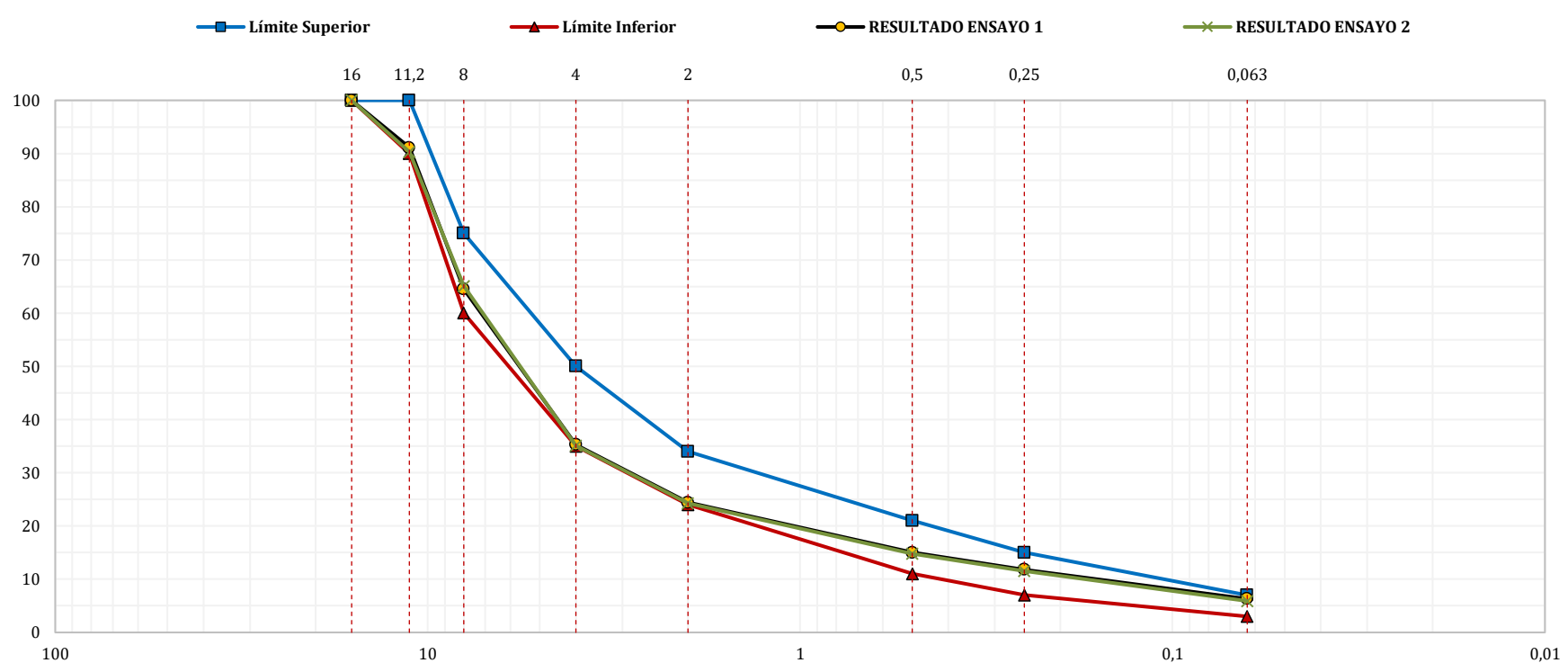
RESULTADOS ENSAYO 1

Abertura Tamiz (mm)	Masa Acumulada (g)	Masa Acumulada (%)	Masa Retenida (g)	Masa Que Pasa (%)	Límite Inferior (%)	Límite Superior (%)
16	0,00	0,0	0,00	100,0	100	100
11,2	102,00	8,9	102,00	91,1	90	100
8	405,40	35,5	303,40	64,5	60	75
4	737,80	64,7	332,40	35,3	35	50
2	862,50	75,6	124,70	24,4	24	34
0,5	970,00	85,0	107,50	15,0	11	21
0,25	1.006,40	88,2	36,40	11,8	7	15
0,063	1.069,60	93,7	63,20	6,3	3	7

RESULTADOS ENSAYO 2

Abertura Tamiz (mm)	Masa Acumulada (g)	Masa Acumulada (%)	Masa Retenida (g)	Masa Que Pasa (%)	Límite Inferior (%)	Límite Superior (%)
16	0,00	0,0	0,00	100,0	100	100
11,2	111,30	9,7	111,30	90,3	90	100
8	398,80	34,9	287,50	65,1	60	75
4	741,20	64,9	342,40	35,1	35	50
2	864,40	75,7	123,20	24,3	24	34
0,5	972,80	85,2	108,40	14,8	11	21
0,25	1.010,50	88,5	37,70	11,5	7	15
0,063	1.074,40	94,1	63,90	5,9	3	7

GRÁFICOS ENSAYOS 1 Y 2



Representación gráfica "Abertura del Tamiz (eje X ; representación semilogarítmica ; %) vs Masa Que Pasa (eje Y ; representación lineal ; %)".

ANÁLISIS DE RESULTADOS EILA 22

UNE-EN 12697-2:2015 y UNE-EN 12697-2:2015+A1:2022. Mezclas bituminosas. Métodos de ensayo. Parte 2: Determinación de la granulometría de las partículas.

GRÁFICOS GRANULOMÉTRICOS LABORATORIO 50

CONTENIDO DE LIGANTE SOLUBLE

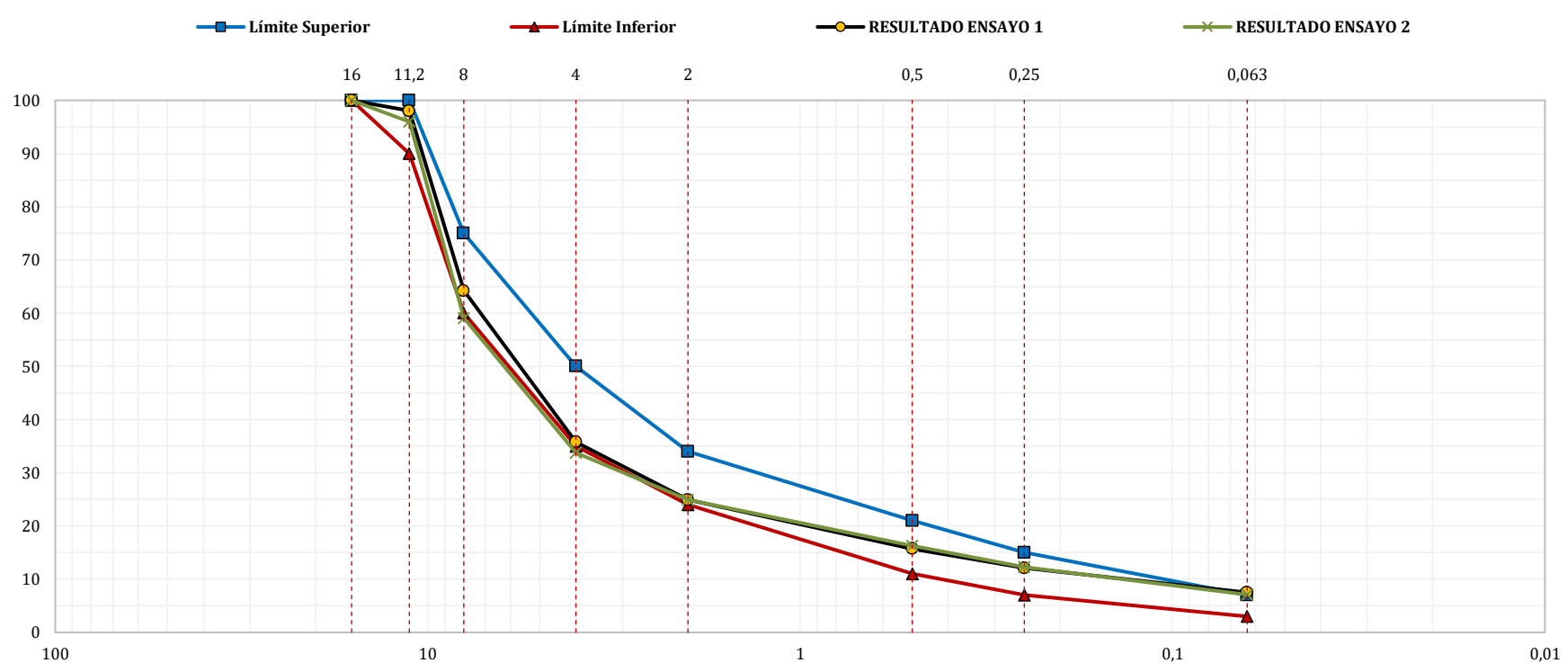
RESULTADOS ENSAYO 1

Abertura Tamiz (mm)	Masa Acumulada (g)	Masa Acumulada (%)	Masa Retenida (g)	Masa Que Pasa (%)	Límite Inferior (%)	Límite Superior (%)
16	0,00	0,0	0,00	100,0	100	100
11,2	21,00	1,8	20,50	98,0	90	100
8	395,00	33,9	416,00	64,2	60	75
4	331,00	28,5	747,00	35,8	35	50
2	127,00	10,9	874,00	24,9	24	34
0,5	103,00	8,9	977,00	15,7	11	21
0,25	41,00	3,5	1.018,00	12,1	7	15
0,063	58,00	5,0	1.076,00	7,5	3	7

RESULTADOS ENSAYO 2

Abertura Tamiz (mm)	Masa Acumulada (g)	Masa Acumulada (%)	Masa Retenida (g)	Masa Que Pasa (%)	Límite Inferior (%)	Límite Superior (%)
16	0,00	0,0	0,00	100,0	100	100
11,2	52,20	4,4	52,00	96,0	90	100
8	436,00	36,8	488,50	59,1	60	75
4	289,00	24,4	777,00	33,8	35	50
2	117,00	9,9	894,00	24,9	24	34
0,5	108,00	9,1	1.001,00	16,3	11	21
0,25	45,00	3,8	1.046,00	12,3	7	15
0,063	55,00	4,6	1.101,00	7,1	3	7

GRÁFICOS ENSAYOS 1 Y 2



Representación gráfica "Abertura del Tamiz (eje X ; representación semilogarítmica ; %) vs Masa Que Pasa (eje Y ; representación lineal ; %)".

ANÁLISIS DE RESULTADOS EILA 22

UNE-EN 12697-2:2015 y UNE-EN 12697-2:2015+A1:2022. Mezclas bituminosas. Métodos de ensayo. Parte 2: Determinación de la granulometría de las partículas.

GRÁFICOS GRANULOMÉTRICOS LABORATORIO 51

CONTENIDO DE LIGANTE SOLUBLE

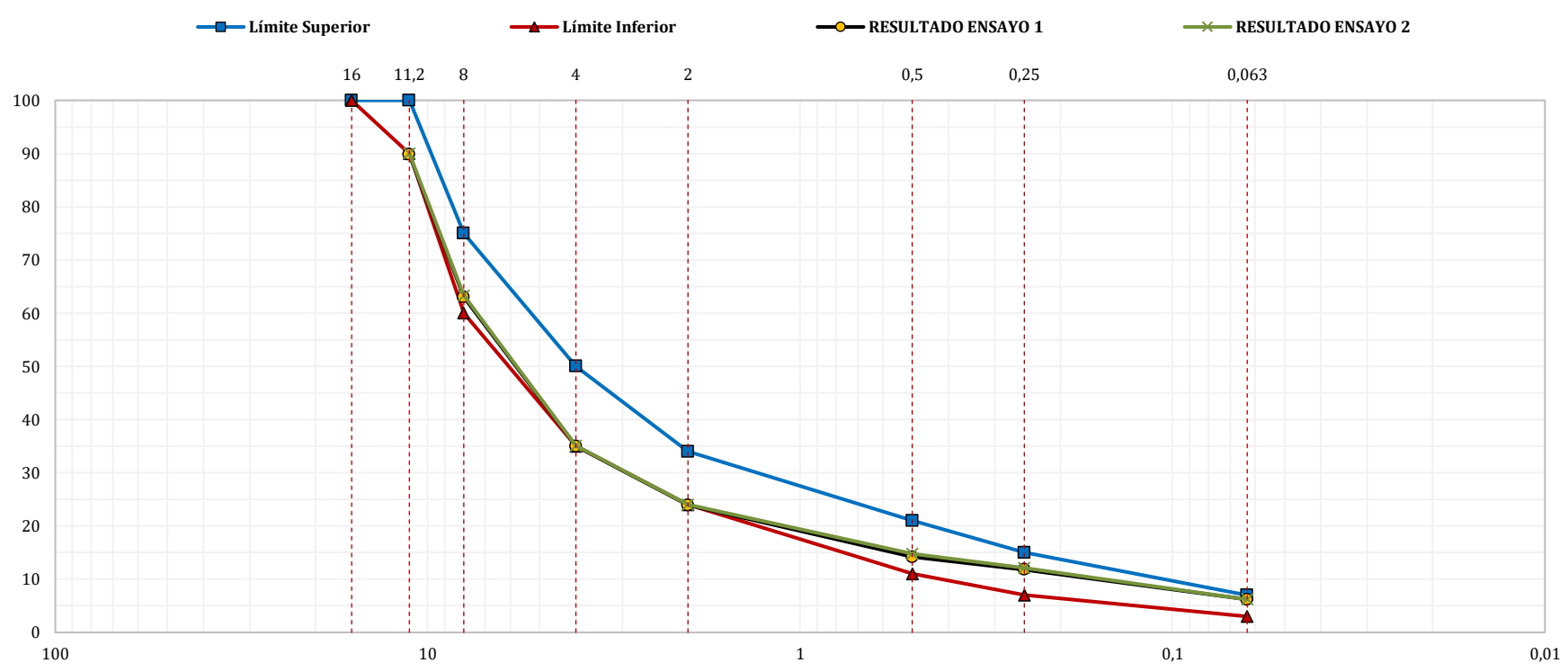
RESULTADOS ENSAYO 1

Abertura Tamiz (mm)	Masa Acumulada (g)	Masa Acumulada (%)	Masa Retenida (g)	Masa Que Pasa (%)	Límite Inferior (%)	Límite Superior (%)
16					100	100
11,2	116,70	10,2	117,00	89,8	90	100
8	423,30	37,0	306,00	63,0	60	75
4	743,70	65,0	321,00	35,0	35	50
2	870,70	76,1	127,00	23,9	24	34
0,5	981,60	85,8	111,00	14,2	11	21
0,25	1.009,10	88,2	27,00	11,8	7	15
0,063	1.073,20	93,8	64,00	6,2	3	7

RESULTADOS ENSAYO 2

Abertura Tamiz (mm)	Masa Acumulada (g)	Masa Acumulada (%)	Masa Retenida (g)	Masa Que Pasa (%)	Límite Inferior (%)	Límite Superior (%)
16					100	100
11,2	114,40	10,0	114,00	90,0	90	100
8	419,70	36,7	306,00	63,3	60	75
4	742,10	64,9	322,00	35,1	35	50
2	869,10	76,0	127,00	24,0	24	34
0,5	974,30	85,2	105,00	14,8	11	21
0,25	1.005,10	87,9	31,00	12,1	7	15
0,063	1.072,60	93,8	68,00	6,2	3	7

GRÁFICOS ENSAYOS 1 Y 2



Representación gráfica "Abertura del Tamiz (eje X ; representación semilogarítmica ; %) vs Masa Que Pasa (eje Y ; representación lineal ; %)".

ANÁLISIS DE RESULTADOS EILA 22

UNE-EN 12697-2:2015 y UNE-EN 12697-2:2015+A1:2022. Mezclas bituminosas. Métodos de ensayo. Parte 2: Determinación de la granulometría de las partículas.

GRÁFICOS GRANULOMÉTRICOS LABORATORIO 52

CONTENIDO DE LIGANTE SOLUBLE

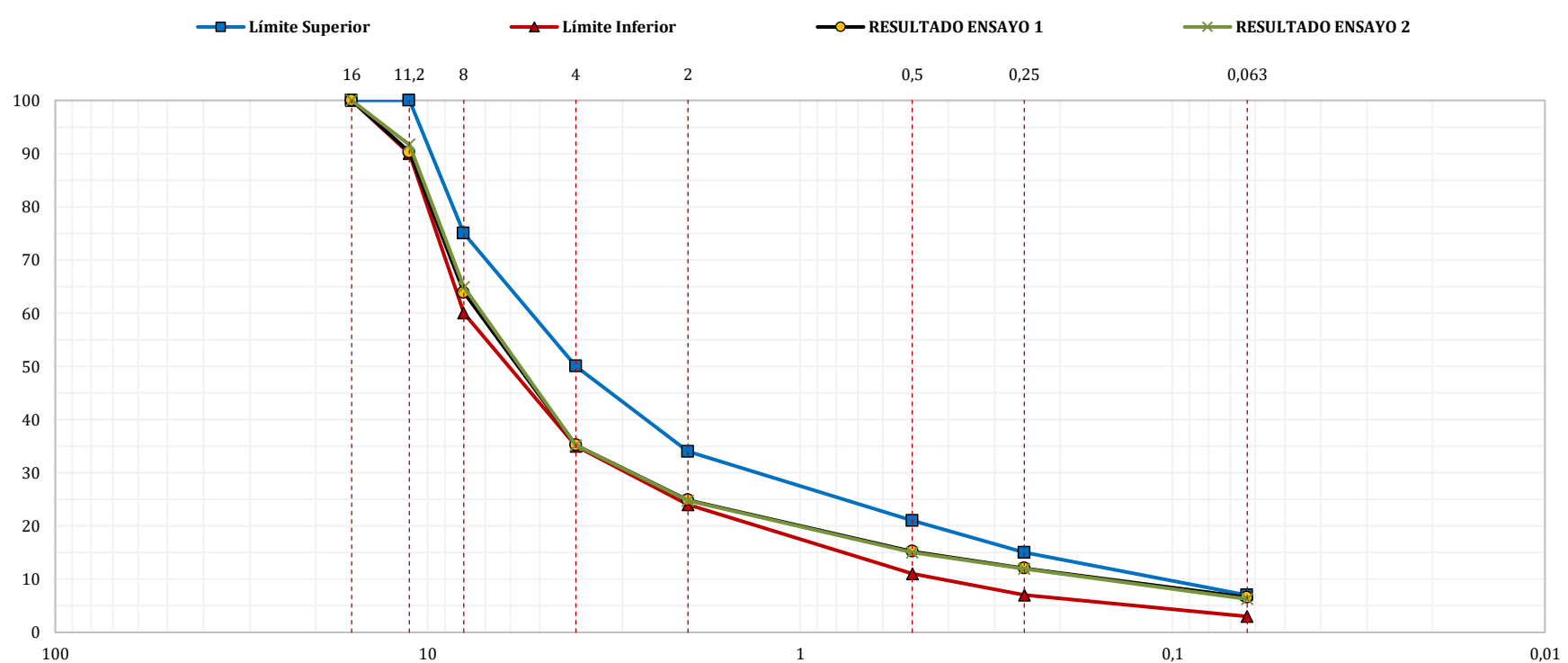
RESULTADOS ENSAYO 1

Abertura Tamiz (mm)	Masa Acumulada (g)	Masa Acumulada (%)	Masa Retenida (g)	Masa Que Pasa (%)	Límite Inferior (%)	Límite Superior (%)
16	0,00	0,0	0,00	100,0	100	100
11,2	125,60	9,7	125,60	90,3	90	100
8	467,10	36,1	341,50	63,9	60	75
4	837,60	64,8	370,50	35,2	35	50
2	971,10	75,1	133,50	24,9	24	34
0,5	1.095,90	84,8	124,80	15,2	11	21
0,25	1.136,80	87,9	40,90	12,1	7	15
0,063	1.207,40	93,4	70,60	6,6	3	7

RESULTADOS ENSAYO 2

Abertura Tamiz (mm)	Masa Acumulada (g)	Masa Acumulada (%)	Masa Retenida (g)	Masa Que Pasa (%)	Límite Inferior (%)	Límite Superior (%)
16	0,00	0,0	0,00	100,0	100	100
11,2	111,90	8,3	111,90	91,7	90	100
8	471,60	35,1	359,70	64,9	60	75
4	870,00	64,8	398,40	35,2	35	50
2	1.009,60	75,2	139,60	24,8	24	34
0,5	1.140,20	84,9	130,60	15,1	11	21
0,25	1.182,20	88,1	42,00	11,9	7	15
0,063	1.258,20	93,7	76,00	6,3	3	7

GRÁFICOS ENSAYOS 1 Y 2



Representación gráfica "Abertura del Tamiz (eje X ; representación semilogarítmica ; %) vs Masa Que Pasa (eje Y ; representación lineal ; %)".

ANÁLISIS DE RESULTADOS EILA 22

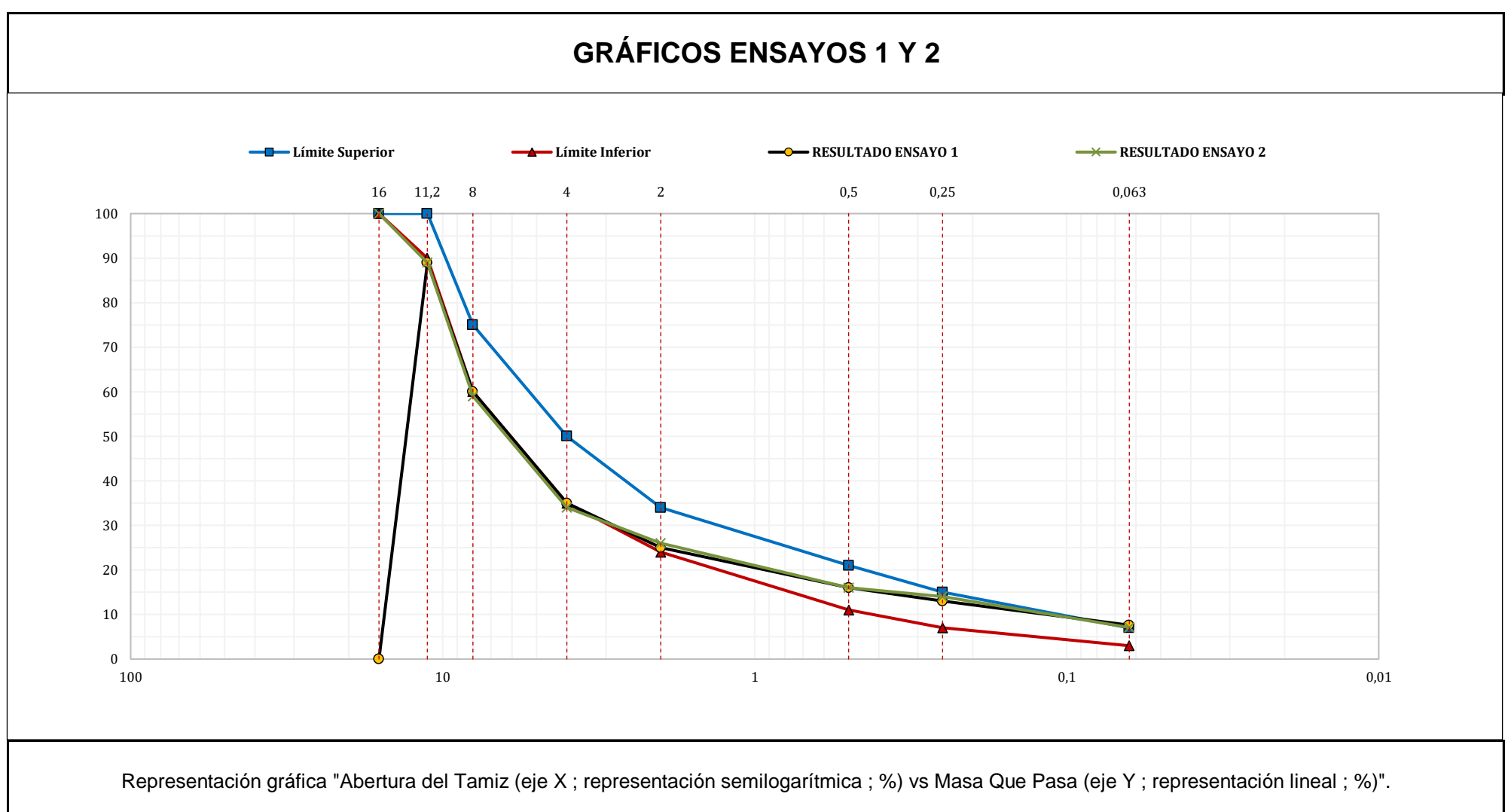
UNE-EN 12697-2:2015 y UNE-EN 12697-2:2015+A1:2022. Mezclas bituminosas. Métodos de ensayo. Parte 2: Determinación de la granulometría de las partículas.

GRÁFICOS GRANULOMÉTRICOS LABORATORIO 57

CONTENIDO DE LIGANTE SOLUBLE

RESULTADOS ENSAYO 1						
Abertura Tamiz (mm)	Masa Acumulada (g)	Masa Acumulada (%)	Masa Retenida (g)	Masa Que Pasa (%)	Límite Inferior (%)	Límite Superior (%)
16	0,00	0,0	0,00	0,0	100	100
11,2	179,00	11,0	179,00	89,0	90	100
8	662,00	40,0	483,00	60,0	60	75
4	1.069,00	65,0	407,00	35,0	35	50
2	1.235,00	75,0	166,00	25,0	24	34
0,5	1.382,00	84,0	147,00	16,0	11	21
0,25	1.432,00	87,0	50,00	13,0	7	15
0,063	1.513,00	92,4	81,00	7,6	3	7

RESULTADOS ENSAYO 2						
Abertura Tamiz (mm)	Masa Acumulada (g)	Masa Acumulada (%)	Masa Retenida (g)	Masa Que Pasa (%)	Límite Inferior (%)	Límite Superior (%)
16	0,00	0,0	0,00	100,0	100	100
11,2	155,00	11,0	155,00	89,0	90	100
8	580,00	41,0	425,00	59,0	60	75
4	925,00	66,0	345,00	34,0	35	50
2	1.040,00	74,0	115,00	26,0	24	34
0,5	1.185,00	84,0	145,00	16,0	11	21
0,25	1.215,00	86,0	30,00	14,0	7	15
0,063	1.312,00	92,9	103,00	7,1	3	7



ANÁLISIS DE RESULTADOS EILA 22

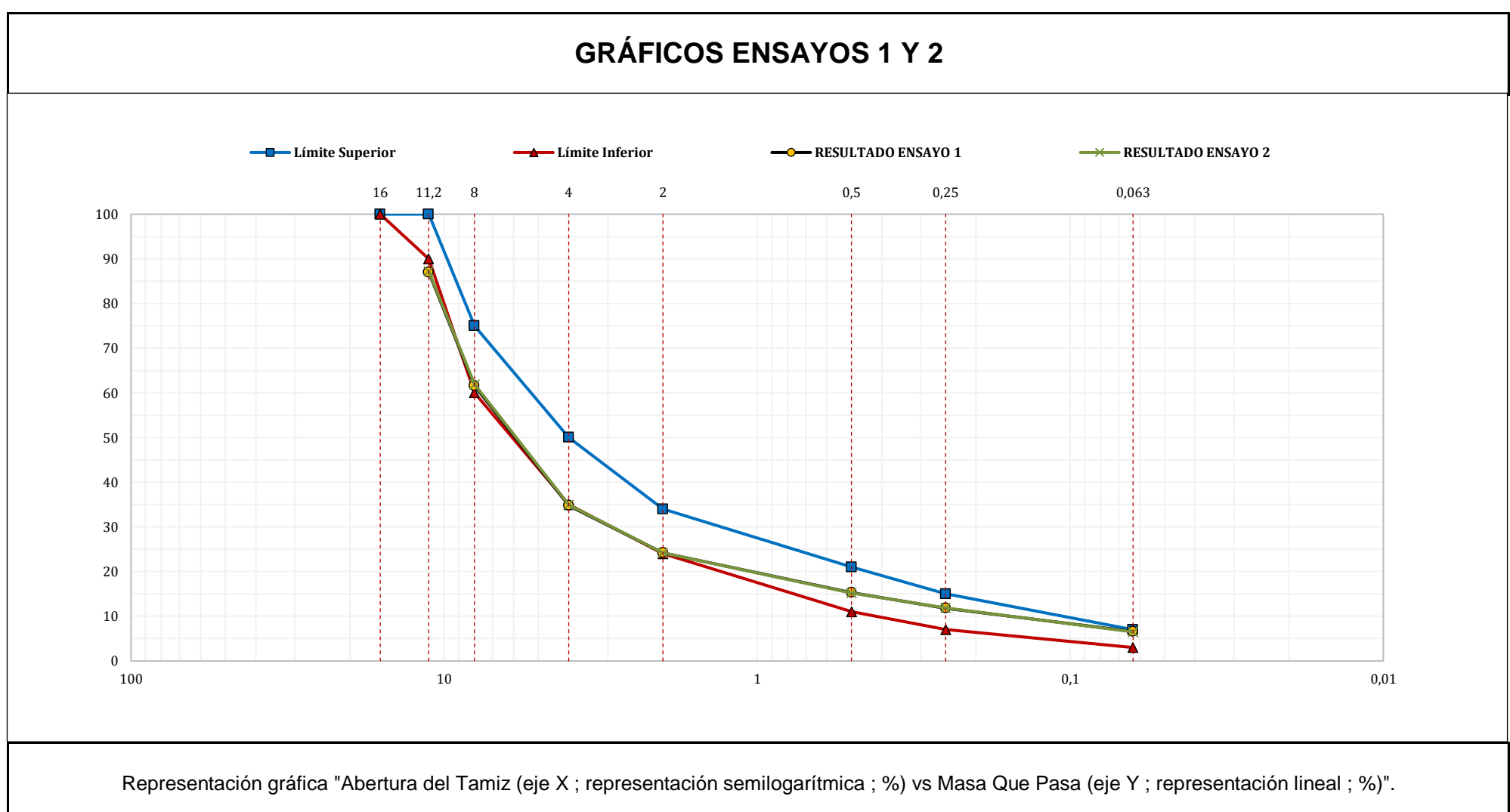
UNE-EN 12697-2:2015 y UNE-EN 12697-2:2015+A1:2022. Mezclas bituminosas. Métodos de ensayo. Parte 2: Determinación de la granulometría de las partículas.

GRÁFICOS GRANULOMÉTRICOS LABORATORIO 61

CONTENIDO DE LIGANTE SOLUBLE

RESULTADOS ENSAYO 1						
Abertura Tamiz (mm)	Masa Acumulada (g)	Masa Acumulada (%)	Masa Retenida (g)	Masa Que Pasa (%)	Límite Inferior (%)	Límite Superior (%)
16					100	100
11,2	148,90	13,0		87,0	90	100
8	438,70	38,4		61,6	60	75
4	744,00	65,2		34,8	35	50
2	864,90	75,8		24,2	24	34
0,5	967,10	84,7		15,3	11	21
0,25	1.006,50	88,2		11,8	7	15
0,063	1.066,10	93,4		6,6	3	7

RESULTADOS ENSAYO 2						
Abertura Tamiz (mm)	Masa Acumulada (g)	Masa Acumulada (%)	Masa Retenida (g)	Masa Que Pasa (%)	Límite Inferior (%)	Límite Superior (%)
16					100	100
11,2	146,70	12,8		87,2	90	100
8	435,30	38,1		61,9	60	75
4	742,90	65,1		34,9	35	50
2	865,20	75,8		24,2	24	34
0,5	968,10	84,8		15,2	11	21
0,25	1.005,80	88,1		11,9	7	15
0,063	1.067,20	93,5		6,5	3	7



ANÁLISIS DE RESULTADOS EILA 22

UNE-EN 12697-2:2015 y UNE-EN 12697-2:2015+A1:2022. Mezclas bituminosas. Métodos de ensayo. Parte 2: Determinación de la granulometría de las partículas.

GRÁFICOS GRANULOMÉTRICOS LABORATORIO 62

CONTENIDO DE LIGANTE SOLUBLE

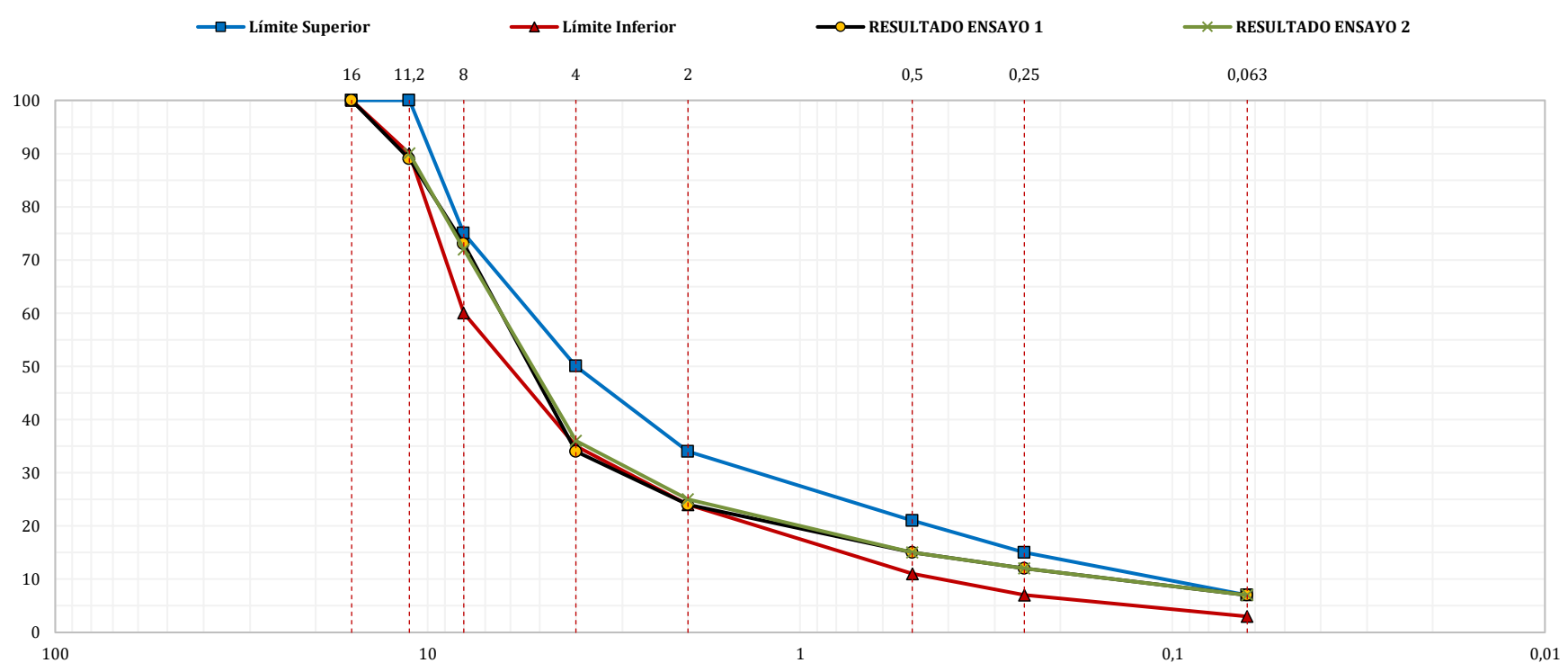
RESULTADOS ENSAYO 1

Abertura Tamiz (mm)	Masa Acumulada (g)	Masa Acumulada (%)	Masa Retenida (g)	Masa Que Pasa (%)	Límite Inferior (%)	Límite Superior (%)
16				100,0	100	100
11,2	128,00	11,0	128,00	89,0	90	100
8	310,00	27,0	182,00	73,0	60	75
4	745,00	66,0	435,00	34,0	35	50
2	860,00	76,0	115,00	24,0	24	34
0,5	964,00	85,0	104,00	15,0	11	21
0,25	1.001,00	88,0	37,00	12,0	7	15
0,063	1.063,00	93,0	62,00	7,0	3	7

RESULTADOS ENSAYO 2

Abertura Tamiz (mm)	Masa Acumulada (g)	Masa Acumulada (%)	Masa Retenida (g)	Masa Que Pasa (%)	Límite Inferior (%)	Límite Superior (%)
16					100	100
11,2	115,00	10,0	115,00	90,0	90	100
8	318,00	28,0	203,00	72,0	60	75
4	731,00	64,0	413,00	36,0	35	50
2	858,00	75,0	127,00	25,0	24	34
0,5	965,00	85,0	107,00	15,0	11	21
0,25	1.002,00	88,0	37,00	12,0	7	15
0,063	1.063,00	93,0	61,00	7,0	3	7

GRÁFICOS ENSAYOS 1 Y 2



Representación gráfica "Abertura del Tamiz (eje X ; representación semilogarítmica ; %) vs Masa Que Pasa (eje Y ; representación lineal ; %)".

ANÁLISIS DE RESULTADOS EILA 22

UNE-EN 12697-2:2015 y UNE-EN 12697-2:2015+A1:2022. Mezclas bituminosas. Métodos de ensayo. Parte 2: Determinación de la granulometría de las partículas.

GRÁFICOS GRANULOMÉTRICOS LABORATORIO 63

CONTENIDO DE LIGANTE SOLUBLE

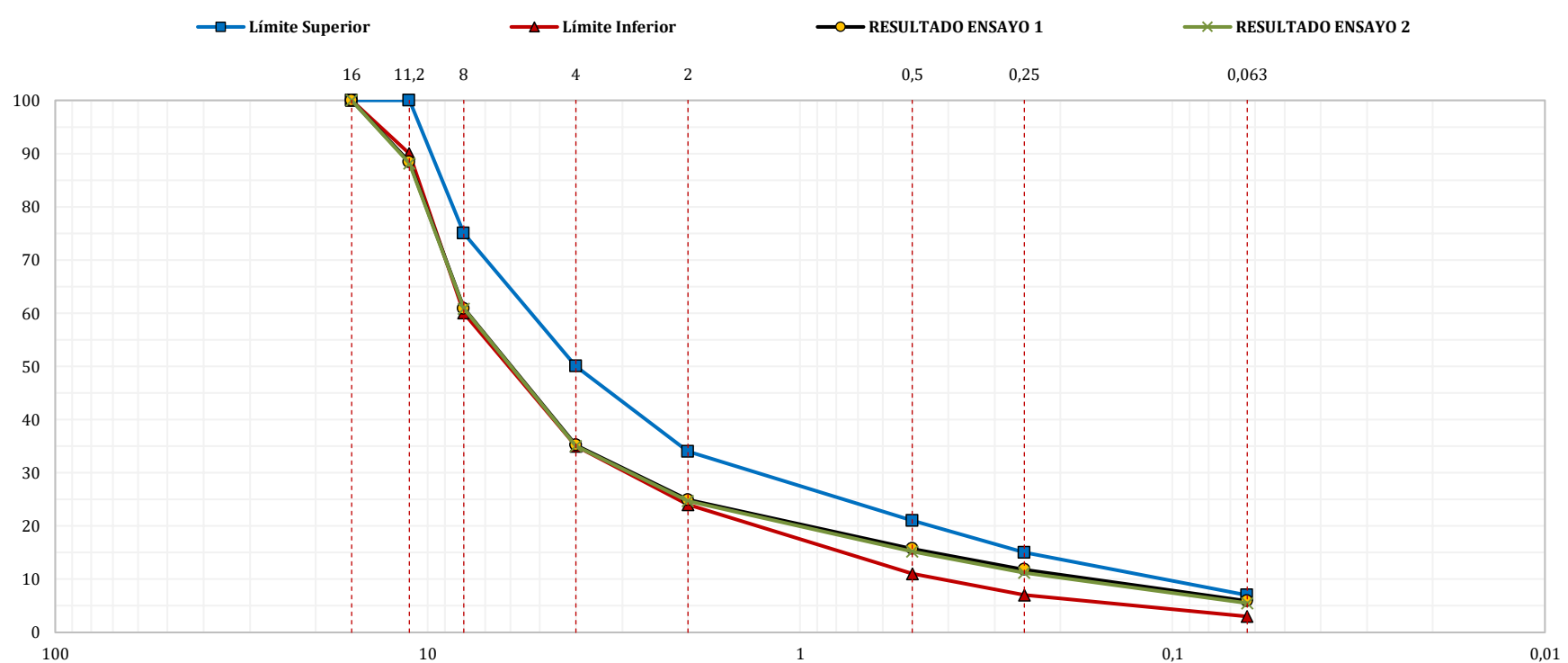
RESULTADOS ENSAYO 1

Abertura Tamiz (mm)	Masa Acumulada (g)	Masa Acumulada (%)	Masa Retenida (g)	Masa Que Pasa (%)	Límite Inferior (%)	Límite Superior (%)
16	0,00	0,0	0,00	100,0	100	100
11,2	179,00	11,6	179,00	88,4	90	100
8	602,00	39,1	423,00	60,9	60	75
4	997,00	64,8	395,00	35,2	35	50
2	1.155,00	75,1	158,00	24,9	24	34
0,5	1.297,00	84,3	142,00	15,7	11	21
0,25	1.357,00	88,2	60,00	11,8	7	15
0,063	1.447,00	94,1	90,00	5,9	3	7

RESULTADOS ENSAYO 2

Abertura Tamiz (mm)	Masa Acumulada (g)	Masa Acumulada (%)	Masa Retenida (g)	Masa Que Pasa (%)	Límite Inferior (%)	Límite Superior (%)
16	0,00	0,0	0,00	100,0	100	100
11,2	175,00	11,9	175,00	88,1	90	100
8	600,00	39,2	425,00	60,8	60	75
4	990,00	65,0	390,00	35,0	35	50
2	1.150,00	75,3	160,00	24,7	24	34
0,5	1.298,00	84,8	148,00	15,2	11	21
0,25	1.368,00	88,8	70,00	11,2	7	15
0,063	1.448,00	94,5	80,00	5,5	3	7

GRÁFICOS ENSAYOS 1 Y 2



Representación gráfica "Abertura del Tamiz (eje X ; representación semilogarítmica ; %) vs Masa Que Pasa (eje Y ; representación lineal ; %)".

ANÁLISIS DE RESULTADOS EILA 22

UNE-EN 12697-2:2015 y UNE-EN 12697-2:2015+A1:2022. Mezclas bituminosas. Métodos de ensayo. Parte 2: Determinación de la granulometría de las partículas.

GRÁFICOS GRANULOMÉTRICOS LABORATORIO 68

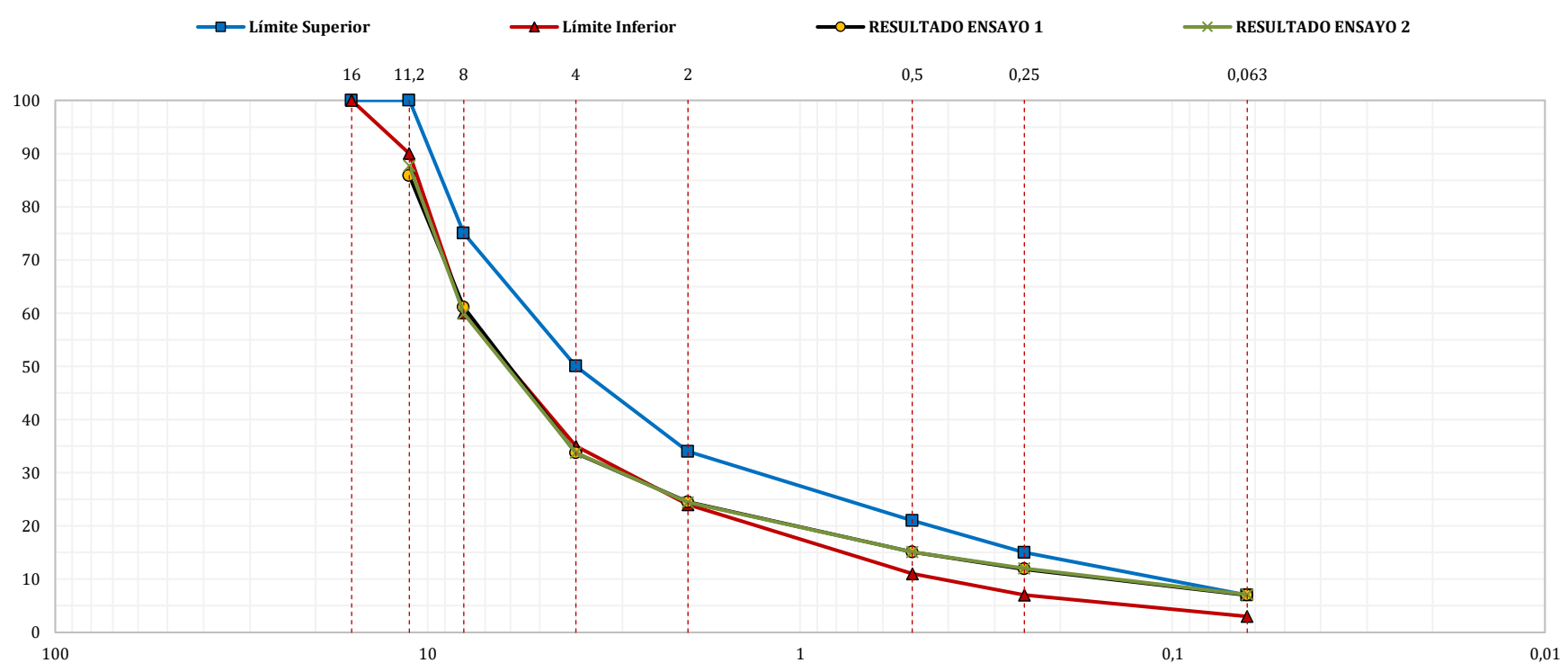
RESULTADOS ENSAYO 1

Abertura Tamiz (mm)	Masa Acumulada (g)	Masa Acumulada (%)	Masa Retenida (g)	Masa Que Pasa (%)	Límite Inferior (%)	Límite Superior (%)
16					100	100
11,2	166,30	14,2	166,30	85,8	90	100
8	457,10	38,9	290,80	61,1	60	75
4	778,40	66,3	321,30	33,7	35	50
2	886,20	75,5	107,80	24,5	24	34
0,5	996,90	84,9	110,70	15,1	11	21
0,25	1.033,60	88,1	36,70	11,9	7	15
0,063	1.091,60	93,0	58,00	7,0	3	7

RESULTADOS ENSAYO 2

Abertura Tamiz (mm)	Masa Acumulada (g)	Masa Acumulada (%)	Masa Retenida (g)	Masa Que Pasa (%)	Límite Inferior (%)	Límite Superior (%)
16					100	100
11,2	153,90	12,3	153,90	87,7	90	100
8	502,40	40,1	348,50	59,9	60	75
4	829,30	66,2	326,90	33,8	35	50
2	946,60	75,6	117,30	24,4	24	34
0,5	1.063,10	84,9	116,50	15,1	11	21
0,25	1.102,10	88,0	39,00	12,0	7	15
0,063	1.162,60	92,9	60,50	7,1	3	7

GRÁFICOS ENSAYOS 1 Y 2



Representación gráfica "Abertura del Tamiz (eje X ; representación semilogarítmica ; %) vs Masa Que Pasa (eje Y ; representación lineal ; %)".

ANÁLISIS DE RESULTADOS EILA 22

UNE-EN 12697-2:2015 y UNE-EN 12697-2:2015+A1:2022. Mezclas bituminosas. Métodos de ensayo. Parte 2: Determinación de la granulometría de las partículas.

GRÁFICOS GRANULOMÉTRICOS LABORATORIO 70

CONTENIDO DE LIGANTE SOLUBLE

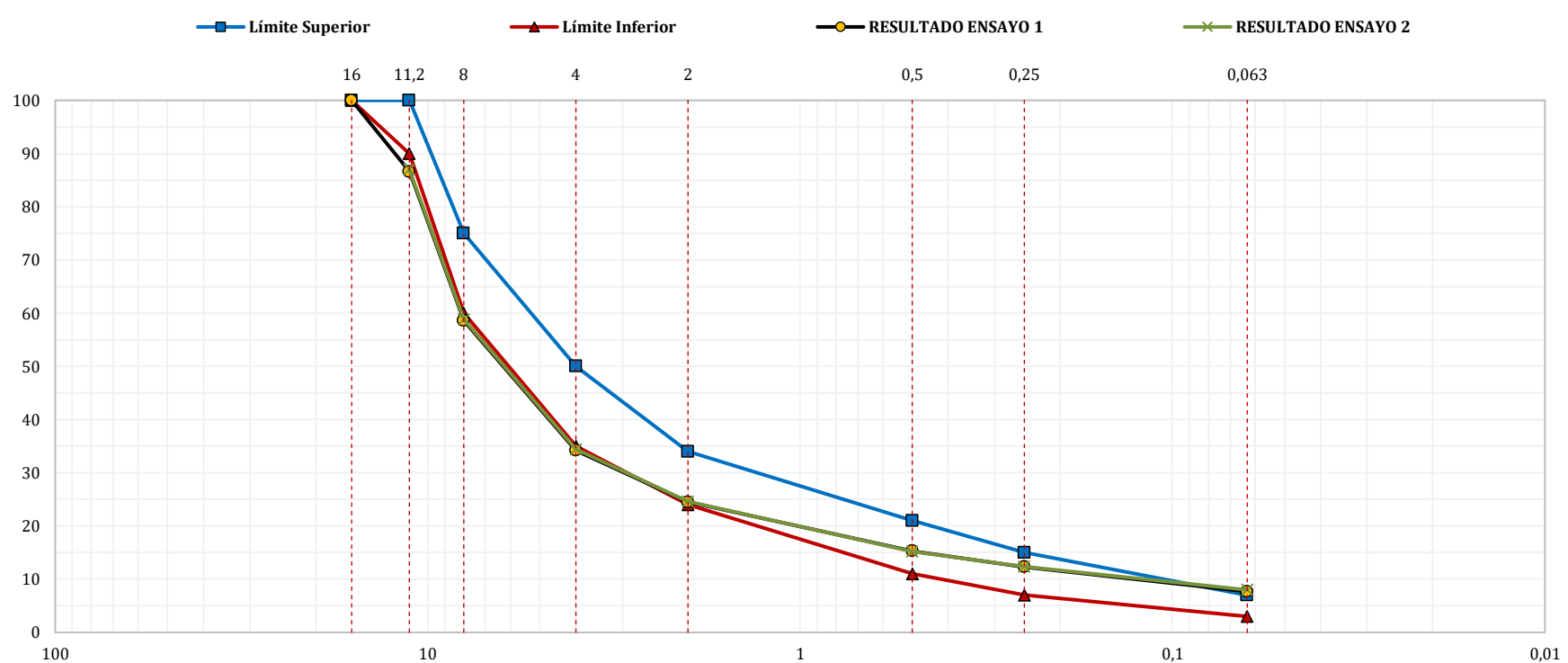
RESULTADOS ENSAYO 1

Abertura Tamiz (mm)	Masa Acumulada (g)	Masa Acumulada (%)	Masa Retenida (g)	Masa Que Pasa (%)	Límite Inferior (%)	Límite Superior (%)
16			0,00	100,0	100	100
11,2	160,00	13,4	160,00	86,6	90	100
8	496,10	41,4	336,10	58,6	60	75
4	788,80	65,8	292,70	34,2	35	50
2	905,00	75,5	116,40	24,5	24	34
0,5	1.015,00	84,7	109,40	15,3	11	21
0,25	1.052,00	87,7	36,70	12,3	7	15
0,063	1.109,00	92,6	57,00	7,7	3	7

RESULTADOS ENSAYO 2

Abertura Tamiz (mm)	Masa Acumulada (g)	Masa Acumulada (%)	Masa Retenida (g)	Masa Que Pasa (%)	Límite Inferior (%)	Límite Superior (%)
16			0,00	100	100	100
11,2	155,00	13,0	155,00	87,0	90	100
8	492,00	41,2	337,20	58,8	60	75
4	783,00	65,6	291,40	34,4	35	50
2	901,00	75,4	117,80	24,6	24	34
0,5	1.012,00	84,8	111,30	15,2	11	21
0,25	1.046,00	87,6	34,20	12,4	7	15
0,063	1.098,00	92,0	51,70	8,0	3	7

GRÁFICOS ENSAYOS 1 Y 2



Representación gráfica "Abertura del Tamiz (eje X ; representación semilogarítmica ; %) vs Masa Que Pasa (eje Y ; representación lineal ; %)".

ANÁLISIS DE RESULTADOS EILA 22

UNE-EN 12697-2:2015 y UNE-EN 12697-2:2015+A1:2022. Mezclas bituminosas. Métodos de ensayo. Parte 2: Determinación de la granulometría de las partículas.

GRÁFICOS GRANULOMÉTRICOS LABORATORIO 71

CONTENIDO DE LIGANTE SOLUBLE

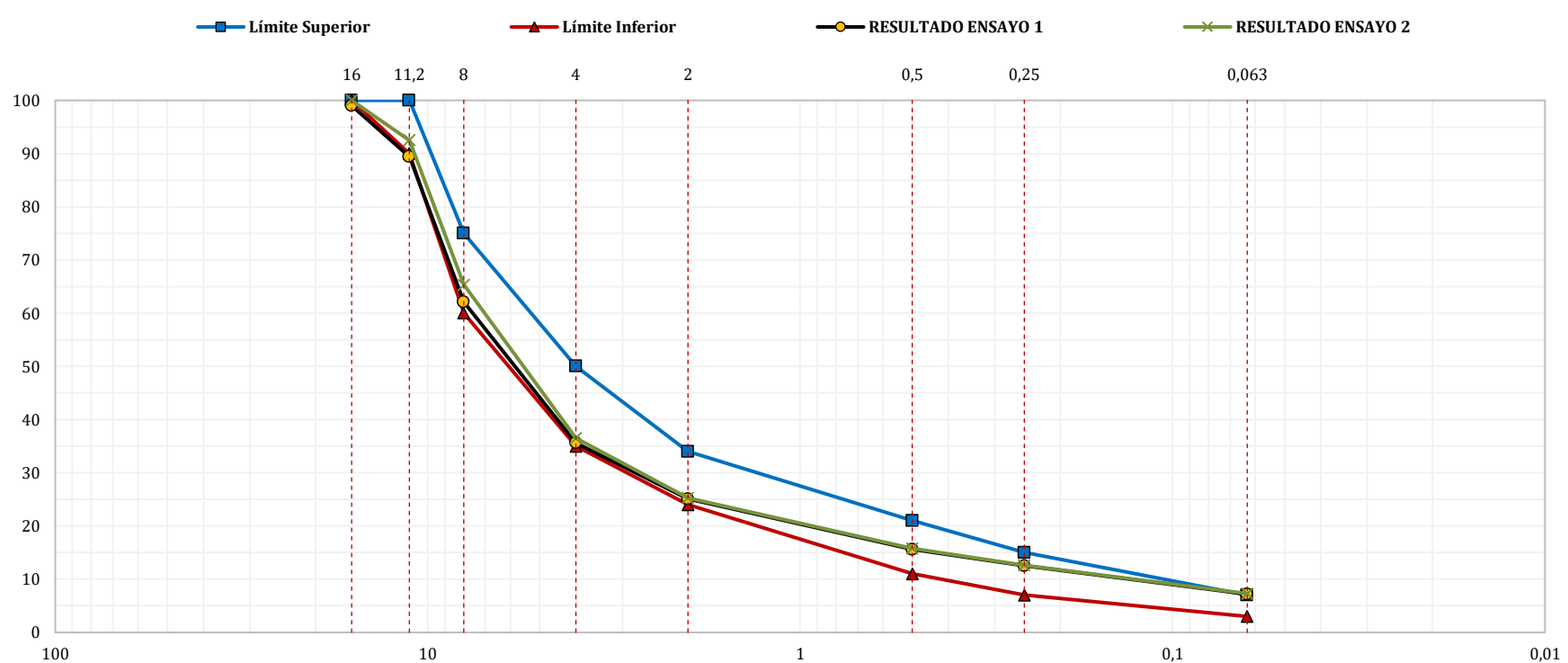
RESULTADOS ENSAYO 1

Abertura Tamiz (mm)	Masa Acumulada (g)	Masa Acumulada (%)	Masa Retenida (g)	Masa Que Pasa (%)	Límite Inferior (%)	Límite Superior (%)
16	7,00		6,60	99,0	100	100
11,2	123,00		115,70	89,4	90	100
8	437,00		314,30	62,1	60	75
4	742,00		304,60	35,6	35	50
2	863,00		121,10	25,1	24	34
0,5	972,00		109,20	15,6	11	21
0,25	1.008,00		36,10	12,5	7	15
0,063	1.069,00		60,90	7,2	3	7

RESULTADOS ENSAYO 2

Abertura Tamiz (mm)	Masa Acumulada (g)	Masa Acumulada (%)	Masa Retenida (g)	Masa Que Pasa (%)	Límite Inferior (%)	Límite Superior (%)
16	0,00		0,00	100,0	100	100
11,2	88,00		87,90	92,5	90	100
8	405,00		317,20	65,3	60	75
4	742,00		336,80	36,5	35	50
2	872,00		130,20	25,3	24	34
0,5	983,00		111,40	15,8	11	21
0,25	1.020,00		36,80	12,6	7	15
0,063	1.082,00		62,40	7,3	3	7

GRÁFICOS ENSAYOS 1 Y 2



Representación gráfica "Abertura del Tamiz (eje X ; representación semilogarítmica ; %) vs Masa Que Pasa (eje Y ; representación lineal ; %)".

ANÁLISIS DE RESULTADOS EILA 22

UNE-EN 12697-2:2015 y UNE-EN 12697-2:2015+A1:2022. Mezclas bituminosas. Métodos de ensayo. Parte 2: Determinación de la granulometría de las partículas.

GRÁFICOS GRANULOMÉTRICOS LABORATORIO 77

CONTENIDO DE LIGANTE SOLUBLE

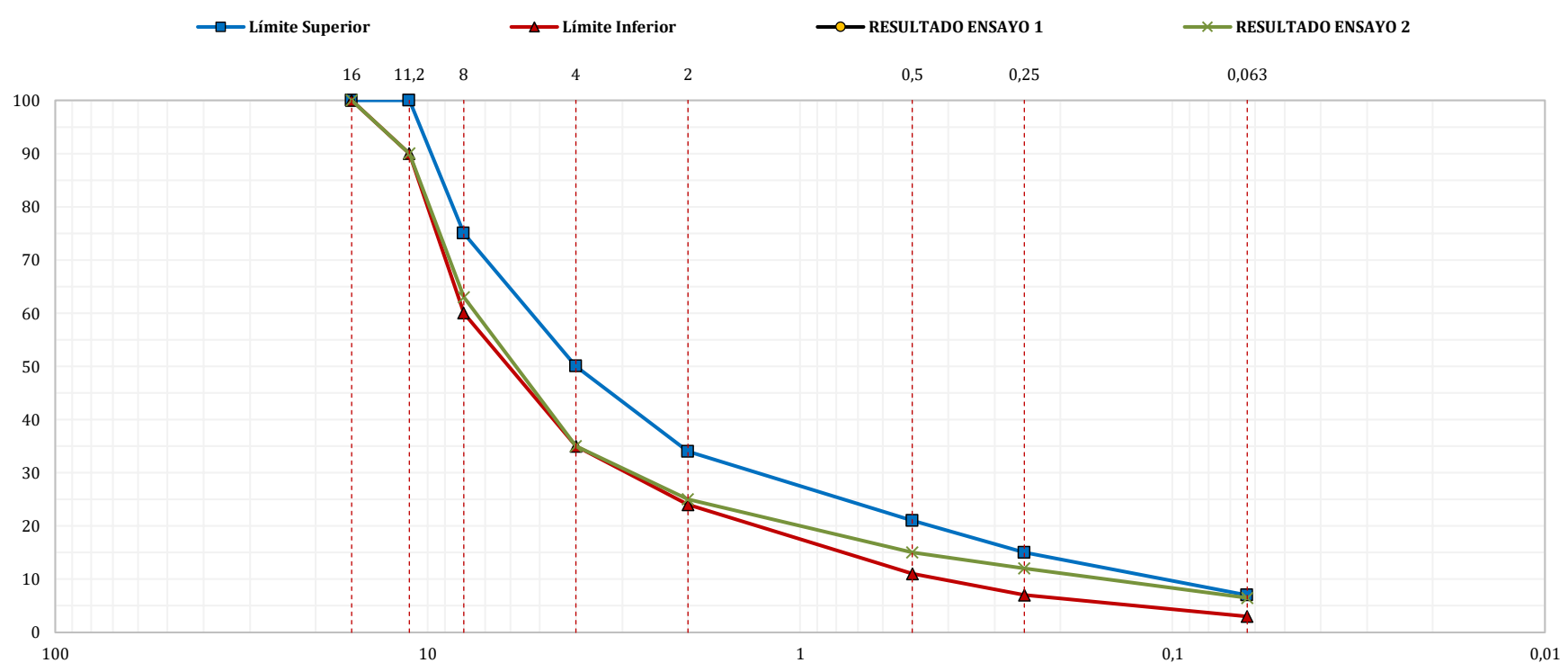
RESULTADOS ENSAYO 1

Abertura Tamiz (mm)	Masa Acumulada (g)	Masa Acumulada (%)	Masa Retenida (g)	Masa Que Pasa (%)	Límite Inferior (%)	Límite Superior (%)
16					100	100
11,2					90	100
8					60	75
4					35	50
2					24	34
0,5					11	21
0,25					7	15
0,063					3	7

RESULTADOS ENSAYO 2

Abertura Tamiz (mm)	Masa Acumulada (g)	Masa Acumulada (%)	Masa Retenida (g)	Masa Que Pasa (%)	Límite Inferior (%)	Límite Superior (%)
16			0,00	100,0	100	100
11,2			120,00	90,0	90	100
8			308,00	63,0	60	75
4			321,00	35,0	35	50
2			122,00	25,0	24	34
0,5			111,00	15,0	11	21
0,25			40,00	12,0	7	15
0,063			63,00	6,5	3	7

GRÁFICOS ENSAYOS 1 Y 2



Representación gráfica "Abertura del Tamiz (eje X ; representación semilogarítmica ; %) vs Masa Que Pasa (eje Y ; representación lineal ; %)".

ANÁLISIS DE RESULTADOS EILA 22

UNE-EN 12697-2:2015 y UNE-EN 12697-2:2015+A1:2022. Mezclas bituminosas. Métodos de ensayo. Parte 2: Determinación de la granulometría de las partículas.

GRÁFICOS GRANULOMÉTRICOS LABORATORIO 82

CONTENIDO DE LIGANTE SOLUBLE

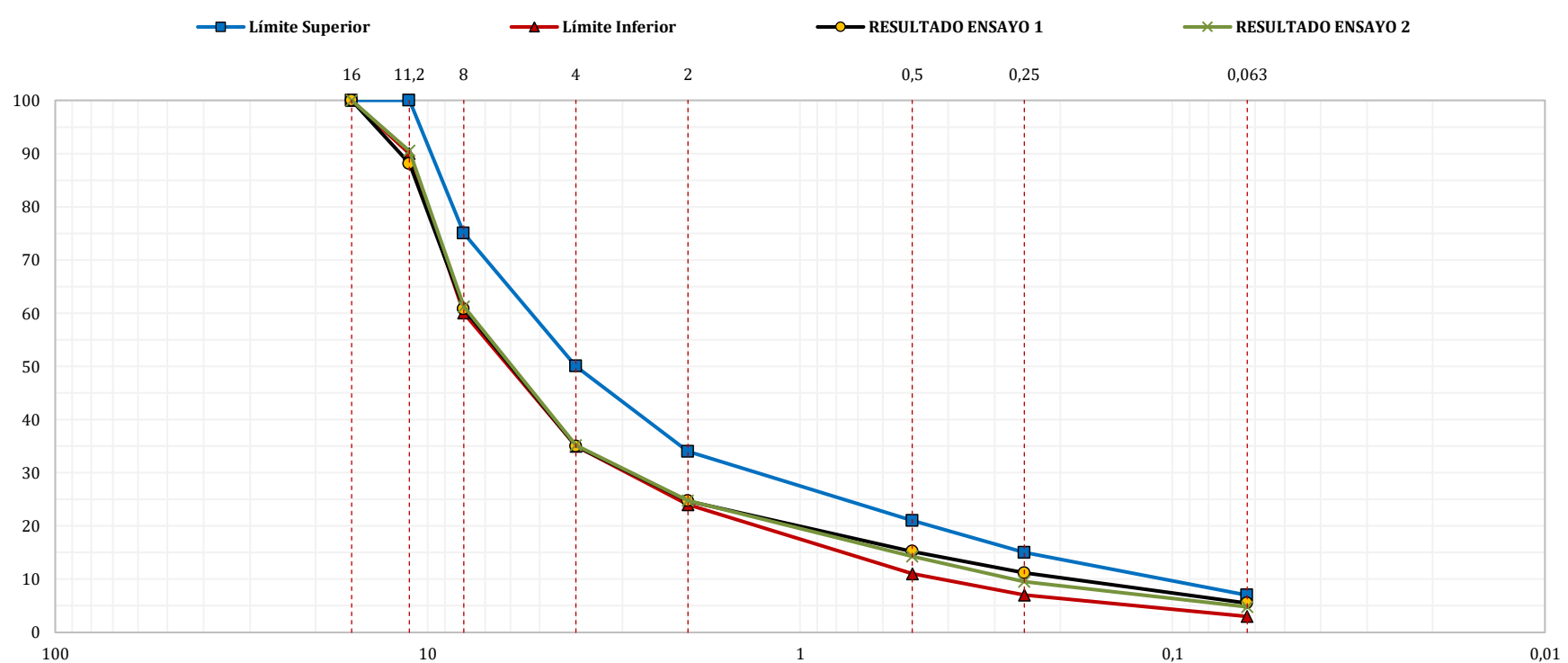
RESULTADOS ENSAYO 1

Abertura Tamiz (mm)	Masa Acumulada (g)	Masa Acumulada (%)	Masa Retenida (g)	Masa Que Pasa (%)	Límite Inferior (%)	Límite Superior (%)
16	0,00	0,0	0,00	100,0	100	100
11,2	182,00	11,9	182,00	88,1	90	100
8	603,00	39,2	421,00	60,8	60	75
4	999,00	65,0	396,00	35,0	35	50
2	1.157,00	75,3	158,00	24,7	24	34
0,5	1.304,00	84,8	147,00	15,2	11	21
0,25	1.365,00	88,8	61,30	11,2	7	15
0,063	1.453,00	94,5	87,70	5,5	3	7

RESULTADOS ENSAYO 2

Abertura Tamiz (mm)	Masa Acumulada (g)	Masa Acumulada (%)	Masa Retenida (g)	Masa Que Pasa (%)	Límite Inferior (%)	Límite Superior (%)
16	0,00	0,0	0,00	100,0	100	100
11,2	146,00	9,5	146,00	90,5	90	100
8	598,00	38,8	452,00	61,2	60	75
4	1.000,00	64,8	401,90	35,2	35	50
2	1.160,00	75,2	159,90	24,8	24	34
0,5	1.323,00	85,7	162,60	14,3	11	21
0,25	1.397,00	90,5	74,00	9,5	7	15
0,063	1.469,00	95,2	71,80	4,8	3	7

GRÁFICOS ENSAYOS 1 Y 2



Representación gráfica "Abertura del Tamiz (eje X ; representación semilogarítmica ; %) vs Masa Que Pasa (eje Y ; representación lineal ; %)".

ANÁLISIS DE RESULTADOS EILA 22

UNE-EN 12697-2:2015 y UNE-EN 12697-2:2015+A1:2022. Mezclas bituminosas. Métodos de ensayo. Parte 2: Determinación de la granulometría de las partículas.

GRÁFICOS GRANULOMÉTRICOS LABORATORIO 89

CONTENIDO DE LIGANTE SOLUBLE

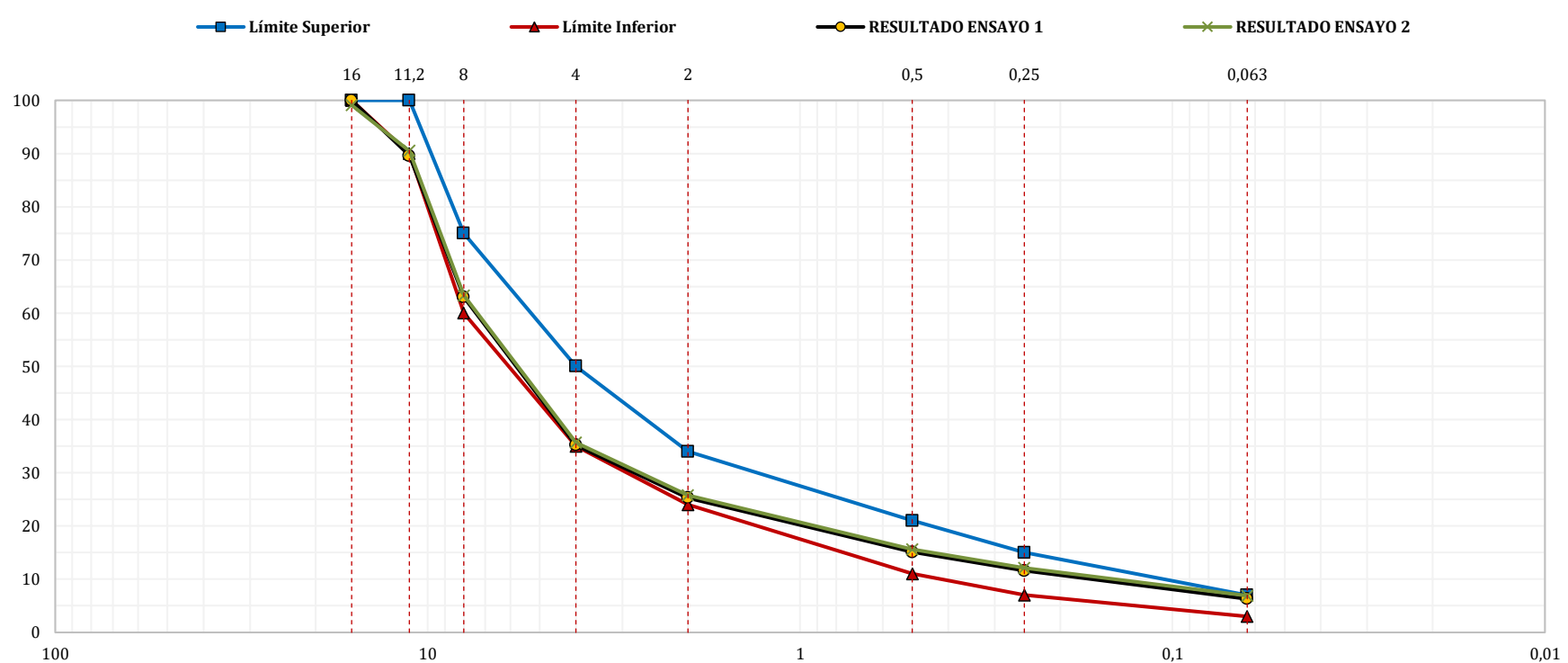
RESULTADOS ENSAYO 1

Abertura Tamiz (mm)	Masa Acumulada (g)	Masa Acumulada (%)	Masa Retenida (g)	Masa Que Pasa (%)	Límite Inferior (%)	Límite Superior (%)
16	0,00	0,0	1.099,56	100,0	100	100
11,2	129,74	10,4	1.035,31	89,6	90	100
8	427,54	37,0	727,51	63,0	60	75
4	748,97	64,8	406,08	35,2	35	50
2	862,61	74,7	292,44	25,3	24	34
0,5	980,50	84,9	174,55	15,1	11	21
0,25	1.021,45	88,4	133,60	11,6	7	15
0,063	1.082,53	93,7	72,52	6,3	3	7

RESULTADOS ENSAYO 2

Abertura Tamiz (mm)	Masa Acumulada (g)	Masa Acumulada (%)	Masa Retenida (g)	Masa Que Pasa (%)	Límite Inferior (%)	Límite Superior (%)
16	11,36	0,9	1.210,55	99,1	100	100
11,2	115,62	9,5	1.106,29	90,5	90	100
8	448,58	36,7	773,33	63,3	60	75
4	786,08	64,3	435,83	35,7	35	50
2	906,31	74,2	315,60	25,8	24	34
0,5	1.030,99	84,4	190,92	15,6	11	21
0,25	1.073,84	87,9	148,07	12,1	7	15
0,063	1.137,61	93,1	84,30	6,9	3	7

GRÁFICOS ENSAYOS 1 Y 2



Representación gráfica "Abertura del Tamiz (eje X ; representación semilogarítmica ; %) vs Masa Que Pasa (eje Y ; representación lineal ; %)".

ANÁLISIS DE RESULTADOS EILA 22

UNE-EN 12697-2:2015 y UNE-EN 12697-2:2015+A1:2022. Mezclas bituminosas. Métodos de ensayo. Parte 2: Determinación de la granulometría de las partículas.

GRÁFICOS GRANULOMÉTRICOS LABORATORIO 93

CONTENIDO DE LIGANTE SOLUBLE

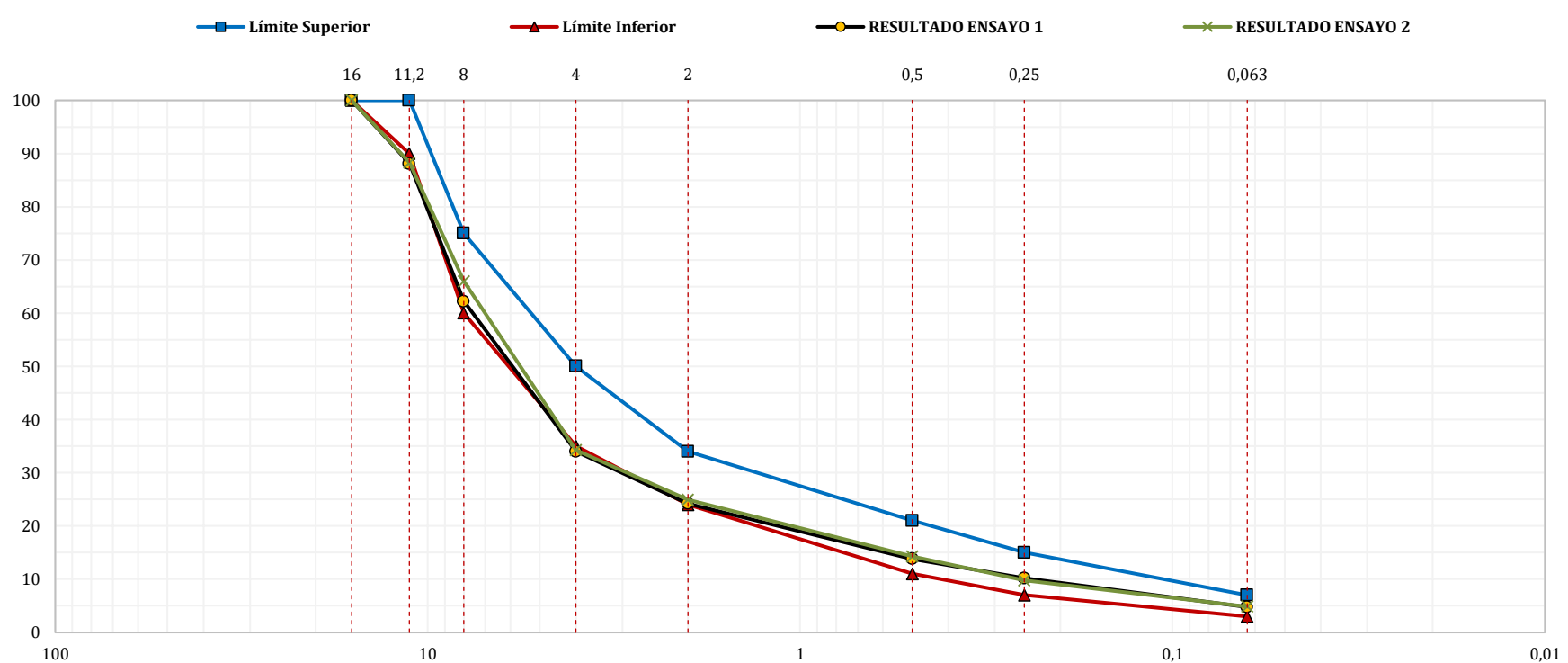
RESULTADOS ENSAYO 1

Abertura Tamiz (mm)	Masa Acumulada (g)	Masa Acumulada (%)	Masa Retenida (g)	Masa Que Pasa (%)	Límite Inferior (%)	Límite Superior (%)
16	0,00	0,0	0,00	100,0	100	100
11,2	119,10	11,9	119,00	88,1	90	100
8	377,60	37,8	258,50	62,2	60	75
4	658,30	66,0	280,70	34,0	35	50
2	756,80	75,8	98,50	24,2	24	34
0,5	860,70	86,2	103,90	13,8	11	21
0,25	896,30	89,8	35,60	10,2	7	15
0,063	950,40	95,2	54,10	4,8	3	7

RESULTADOS ENSAYO 2

Abertura Tamiz (mm)	Masa Acumulada (g)	Masa Acumulada (%)	Masa Retenida (g)	Masa Que Pasa (%)	Límite Inferior (%)	Límite Superior (%)
16	0,00	0,0	0,00	100,0	100	100
11,2	135,60	11,7	136,00	88,3	90	100
8	395,20	34,0	259,00	66,0	60	75
4	765,00	65,7	370,00	34,3	35	50
2	873,60	75,1	109,00	24,9	24	34
0,5	997,40	85,7	123,00	14,3	11	21
0,25	1.050,00	90,2	53,00	9,8	7	15
0,063	1.107,20	95,1	57,00	4,9	3	7

GRÁFICOS ENSAYOS 1 Y 2



Representación gráfica "Abertura del Tamiz (eje X ; representación semilogarítmica ; %) vs Masa Que Pasa (eje Y ; representación lineal ; %)".

ANÁLISIS DE RESULTADOS EILA 22

UNE-EN 12697-2:2015 y UNE-EN 12697-2:2015+A1:2022. Mezclas bituminosas. Métodos de ensayo. Parte 2: Determinación de la granulometría de las partículas.

GRÁFICOS GRANULOMÉTRICOS LABORATORIO 94

CONTENIDO DE LIGANTE SOLUBLE

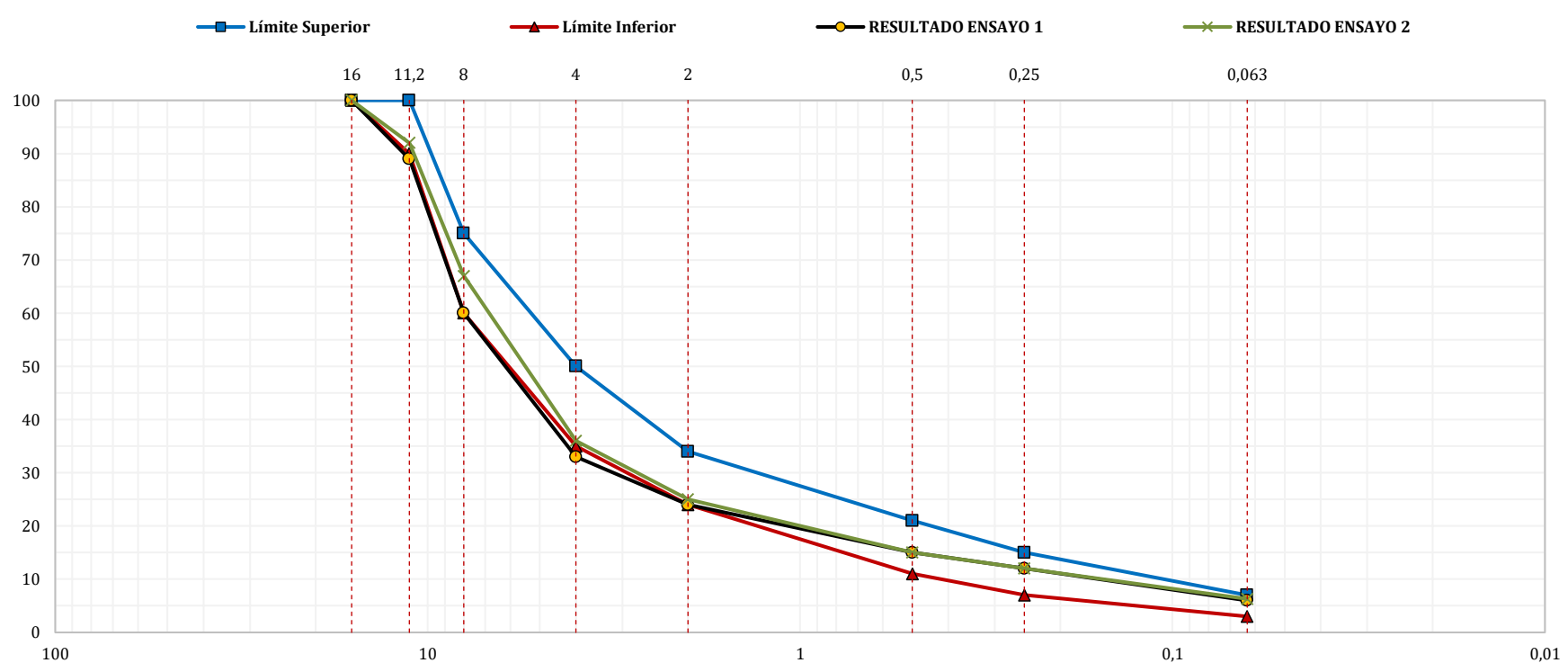
RESULTADOS ENSAYO 1

Abertura Tamiz (mm)	Masa Acumulada (g)	Masa Acumulada (%)	Masa Retenida (g)	Masa Que Pasa (%)	Límite Inferior (%)	Límite Superior (%)
16	0,00	0,0	0,00	100,0	100	100
11,2	160,00	11,0	159,50	89,0	90	100
8	599,70	29,0	440,20	60,0	60	75
4	997,60	27,0	397,90	33,0	35	50
2	1.137,00	9,0	139,40	24,0	24	34
0,5	1.273,00	9,0	136,00	15,0	11	21
0,25	1.320,60	3,0	47,60	12,0	7	15
0,063	1.404,20	5,6	83,60	6,0	3	7

RESULTADOS ENSAYO 2

Abertura Tamiz (mm)	Masa Acumulada (g)	Masa Acumulada (%)	Masa Retenida (g)	Masa Que Pasa (%)	Límite Inferior (%)	Límite Superior (%)
16	0,00	0,0	0,00	100,0	100	100
11,2	115,80	8,0	115,80	92,0	90	100
8	450,70	24,0	334,90	67,0	60	75
4	878,30	31,0	427,60	36,0	35	50
2	1.038,70	12,0	160,40	25,0	24	34
0,5	1.171,50	10,0	132,80	15,0	11	21
0,25	1.217,00	3,0	45,50	12,0	7	15
0,063	1.296,30	5,7	79,30	6,3	3	7

GRÁFICOS ENSAYOS 1 Y 2



Representación gráfica "Abertura del Tamiz (eje X ; representación semilogarítmica ; %) vs Masa Que Pasa (eje Y ; representación lineal ; %)".

ANÁLISIS DE RESULTADOS EILA 22

UNE-EN 12697-2:2015 y UNE-EN 12697-2:2015+A1:2022. Mezclas bituminosas. Métodos de ensayo. Parte 2: Determinación de la granulometría de las partículas.

GRÁFICOS GRANULOMÉTRICOS LABORATORIO 100

CONTENIDO DE LIGANTE SOLUBLE

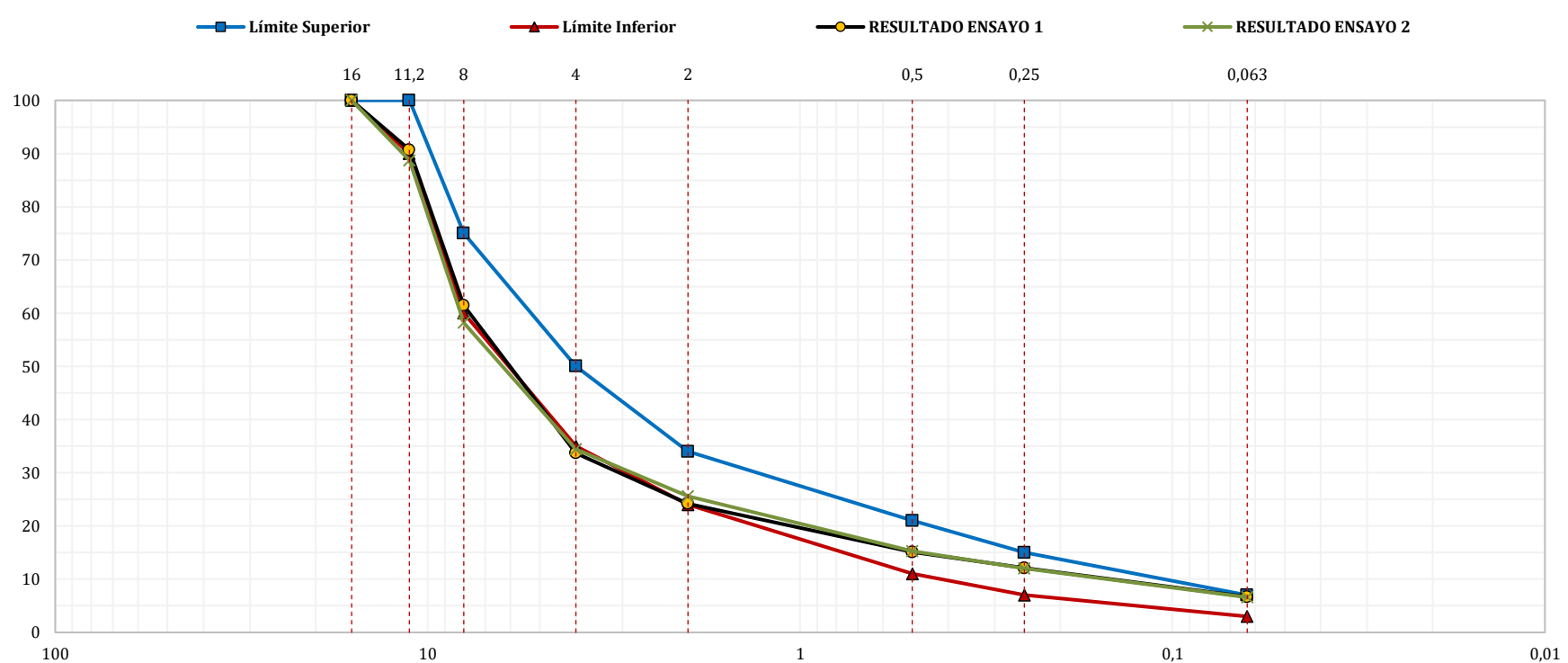
RESULTADOS ENSAYO 1

Abertura Tamiz (mm)	Masa Acumulada (g)	Masa Acumulada (%)	Masa Retenida (g)	Masa Que Pasa (%)	Límite Inferior (%)	Límite Superior (%)
16	0,00	0,0	0,00	100,0	100	100
11,2	89,00	9,3	89,00	90,7	90	100
8	370,00	38,6	281,00	61,4	60	75
4	635,00	66,3	265,00	33,7	35	50
2	726,00	75,8	91,00	24,2	24	34
0,5	813,00	84,9	87,00	15,1	11	21
0,25	842,00	87,9	29,00	12,1	7	15
0,063	894,00	93,3	52,00	6,7	3	7

RESULTADOS ENSAYO 2

Abertura Tamiz (mm)	Masa Acumulada (g)	Masa Acumulada (%)	Masa Retenida (g)	Masa Que Pasa (%)	Límite Inferior (%)	Límite Superior (%)
16	0,00	0,0	0,00	100,0	100	100
11,2	125,00	11,3	125,00	88,7	90	100
8	463,00	41,8	338,00	58,2	60	75
4	727,00	65,6	264,00	34,4	35	50
2	825,00	74,4	98,00	25,6	24	34
0,5	940,00	84,7	115,00	15,3	11	21
0,25	975,00	87,9	35,00	12,1	7	15
0,063	1.035,00	93,4	60,00	6,6	3	7

GRÁFICOS ENSAYOS 1 Y 2



Representación gráfica "Abertura del Tamiz (eje X ; representación semilogarítmica ; %) vs Masa Que Pasa (eje Y ; representación lineal ; %)".

ANÁLISIS DE RESULTADOS EILA 22

UNE-EN 12697-2:2015 y UNE-EN 12697-2:2015+A1:2022. Mezclas bituminosas. Métodos de ensayo. Parte 2: Determinación de la granulometría de las partículas.

GRÁFICOS GRANULOMÉTRICOS LABORATORIO 107

CONTENIDO DE LIGANTE SOLUBLE

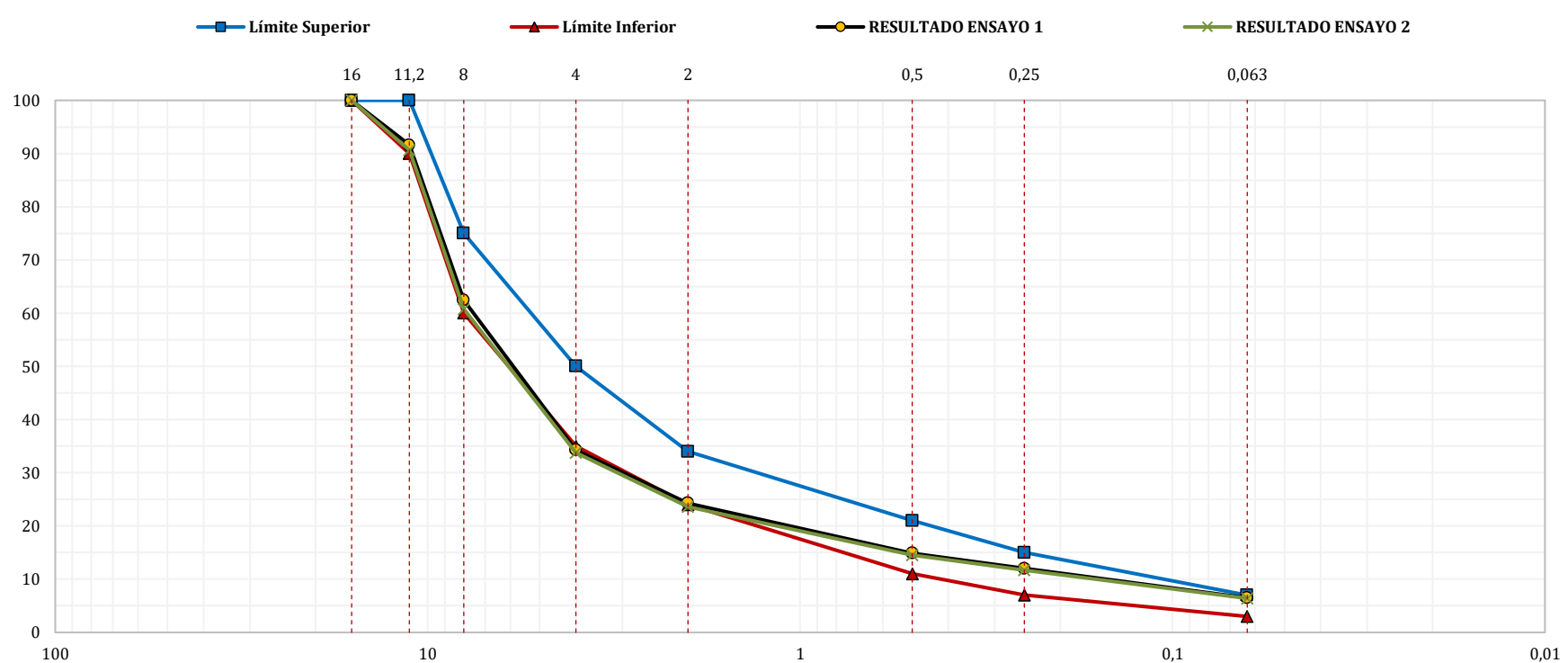
RESULTADOS ENSAYO 1

Abertura Tamiz (mm)	Masa Acumulada (g)	Masa Acumulada (%)	Masa Retenida (g)	Masa Que Pasa (%)	Límite Inferior (%)	Límite Superior (%)
16	0,00	0,0	0,00	100,0	100	100
11,2	129,00	8,4	129,00	91,6	90	100
8	579,00	37,6	450,00	62,4	60	75
4	1.012,00	65,7	433,00	34,3	35	50
2	1.166,00	75,7	154,00	24,3	24	34
0,5	1.311,00	85,1	145,00	14,9	11	21
0,25	1.356,00	88,0	45,00	12,0	7	15
0,063	1.441,00	93,5	85,00	6,5	3	7

RESULTADOS ENSAYO 2

Abertura Tamiz (mm)	Masa Acumulada (g)	Masa Acumulada (%)	Masa Retenida (g)	Masa Que Pasa (%)	Límite Inferior (%)	Límite Superior (%)
16	0,00	0,0	0,00	100,0	100	100
11,2	151,00	9,4	151,00	90,6	90	100
8	631,00	39,3	480,00	60,7	60	75
4	1.063,00	66,2	432,00	33,8	35	50
2	1.227,00	76,4	164,00	23,6	24	34
0,5	1.373,00	85,5	146,00	14,5	11	21
0,25	1.418,00	88,3	45,00	11,7	7	15
0,063	1.503,00	93,6	85,00	6,4	3	7

GRÁFICOS ENSAYOS 1 Y 2



Representación gráfica "Abertura del Tamiz (eje X ; representación semilogarítmica ; %) vs Masa Que Pasa (eje Y ; representación lineal ; %)".

ANÁLISIS DE RESULTADOS EILA 22

UNE-EN 12697-2:2015 y UNE-EN 12697-2:2015+A1:2022. Mezclas bituminosas. Métodos de ensayo. Parte 2: Determinación de la granulometría de las partículas.

GRÁFICOS GRANULOMÉTRICOS LABORATORIO 114

CONTENIDO DE LIGANTE SOLUBLE

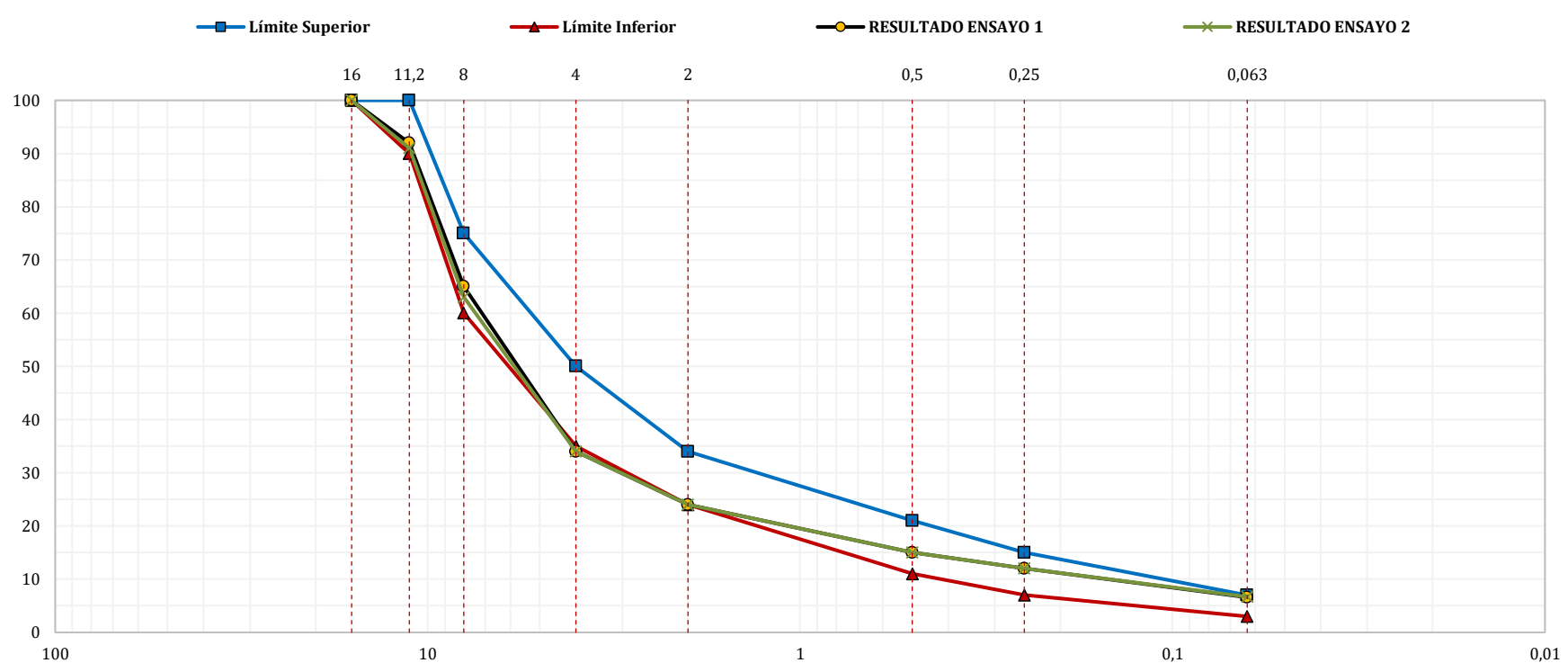
RESULTADOS ENSAYO 1

Abertura Tamiz (mm)	Masa Acumulada (g)	Masa Acumulada (%)	Masa Retenida (g)	Masa Que Pasa (%)	Límite Inferior (%)	Límite Superior (%)
16	-	-	-	100,0	100	100
11,2	194,60	8,1	194,60	92,0	90	100
8	847,10	35,3	652,50	65,0	60	75
4	1.572,30	65,5	725,20	34,0	35	50
2	1.819,10	75,8	246,80	24,0	24	34
0,5	2.041,00	85,1	221,90	15,0	11	21
0,25	2.121,10	88,4	80,10	12,0	7	15
0,063	2.239,90	93,4	118,80	6,6	3	7

RESULTADOS ENSAYO 2

Abertura Tamiz (mm)	Masa Acumulada (g)	Masa Acumulada (%)	Masa Retenida (g)	Masa Que Pasa (%)	Límite Inferior (%)	Límite Superior (%)
16	-	-	-	100,0	100	100
11,2	159,90	8,9	159,90	91,0	90	100
8	667,80	37,2	507,90	63,0	60	75
4	1.183,80	66,0	516,00	34,0	35	50
2	1.365,20	76,1	181,40	24,0	24	34
0,5	1.530,40	85,3	165,20	15,0	11	21
0,25	1.584,50	88,2	54,10	12,0	7	15
0,063	1.675,80	93,3	91,30	6,7	3	7

GRÁFICOS ENSAYOS 1 Y 2



Representación gráfica "Abertura del Tamiz (eje X ; representación semilogarítmica ; %) vs Masa Que Pasa (eje Y ; representación lineal ; %)".

ANÁLISIS DE RESULTADOS EILA 22

UNE-EN 12697-2:2015 y UNE-EN 12697-2:2015+A1:2022. Mezclas bituminosas. Métodos de ensayo. Parte 2: Determinación de la granulometría de las partículas.

GRÁFICOS GRANULOMÉTRICOS LABORATORIO 119

CONTENIDO DE LIGANTE SOLUBLE

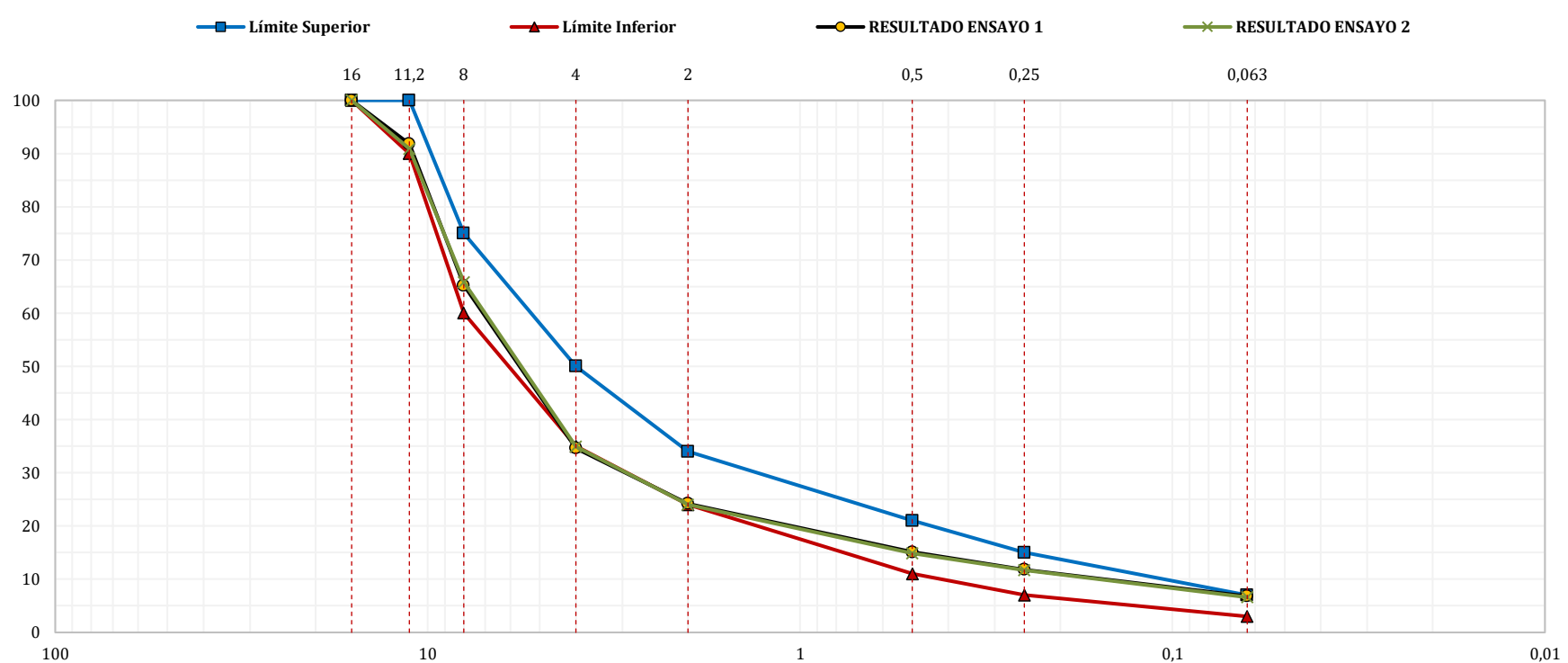
RESULTADOS ENSAYO 1

Abertura Tamiz (mm)	Masa Acumulada (g)	Masa Acumulada (%)	Masa Retenida (g)	Masa Que Pasa (%)	Límite Inferior (%)	Límite Superior (%)
16			0,00	100,0	100	100
11,2			121,80	91,8	90	100
8			514,20	65,2	60	75
4			965,20	34,6	35	50
2			1.119,90	24,2	24	34
0,5			1.254,50	15,1	11	21
0,25			1.302,20	11,8	7	15
0,063			1.376,20	6,8	3	7

RESULTADOS ENSAYO 2

Abertura Tamiz (mm)	Masa Acumulada (g)	Masa Acumulada (%)	Masa Retenida (g)	Masa Que Pasa (%)	Límite Inferior (%)	Límite Superior (%)
16			0,00	100,0	100	100
11,2			138,00	90,9	90	100
8			517,40	65,8	60	75
4			984,30	34,9	35	50
2			1.149,60	24,0	24	34
0,5			1.286,70	14,9	11	21
0,25			1.336,30	11,7	7	15
0,063			1.412,40	6,6	3	7

GRÁFICOS ENSAYOS 1 Y 2



Representación gráfica "Abertura del Tamiz (eje X ; representación semilogarítmica ; %) vs Masa Que Pasa (eje Y ; representación lineal ; %)".

ANÁLISIS DE RESULTADOS EILA 22

UNE-EN 12697-2:2015 y UNE-EN 12697-2:2015+A1:2022. Mezclas bituminosas. Métodos de ensayo. Parte 2: Determinación de la granulometría de las partículas.

GRÁFICOS GRANULOMÉTRICOS LABORATORIO 123

CONTENIDO DE LIGANTE SOLUBLE

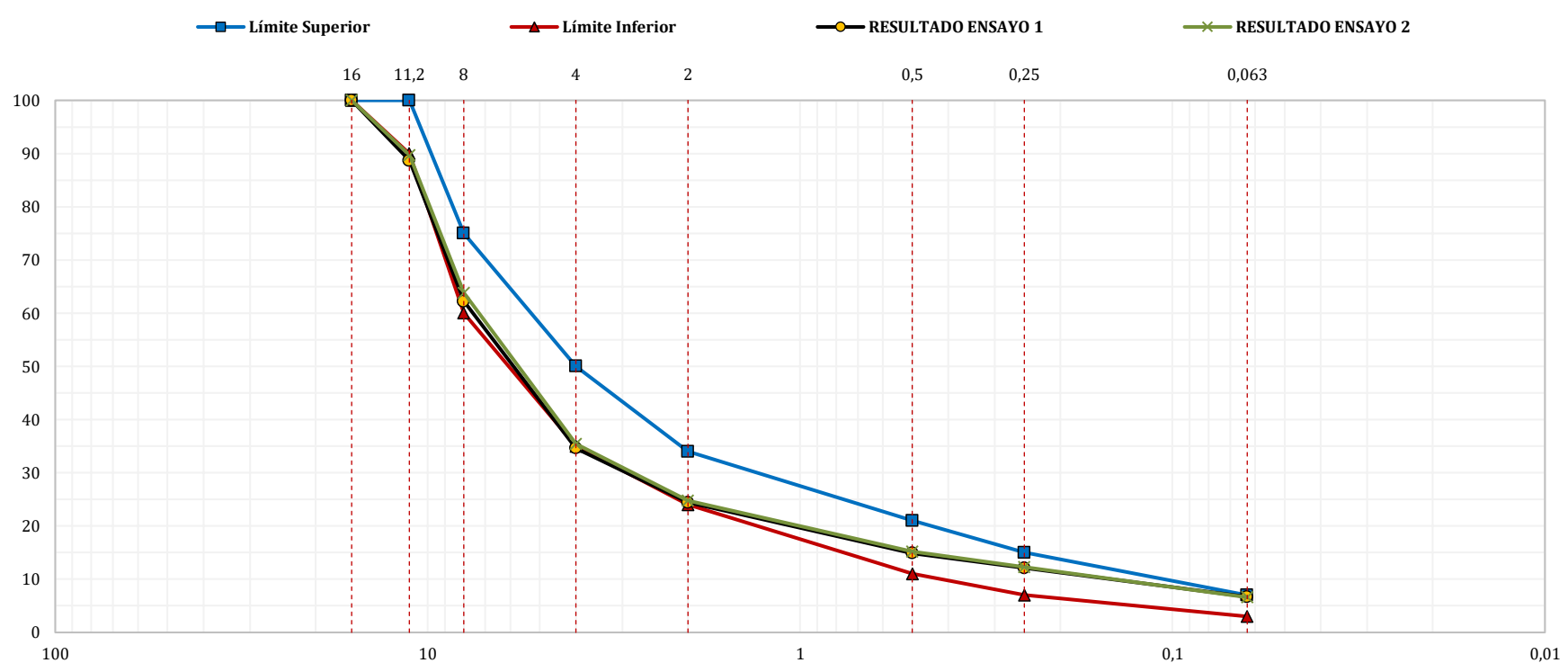
RESULTADOS ENSAYO 1

Abertura Tamiz (mm)	Masa Acumulada (g)	Masa Acumulada (%)	Masa Retenida (g)	Masa Que Pasa (%)	Límite Inferior (%)	Límite Superior (%)
16	1.161,80	0,0	0,00	100,0	100	100
11,2	1.030,20	11,3	131,60	88,7	90	100
8	722,50	37,8	307,70	62,2	60	75
4	402,20	65,4	320,30	34,6	35	50
2	283,00	75,6	119,20	24,4	24	34
0,5	173,50	85,1	109,50	14,9	11	21
0,25	140,00	87,9	33,50	12,1	7	15
0,063	77,60	93,3	62,40	6,7	3	7

RESULTADOS ENSAYO 2

Abertura Tamiz (mm)	Masa Acumulada (g)	Masa Acumulada (%)	Masa Retenida (g)	Masa Que Pasa (%)	Límite Inferior (%)	Límite Superior (%)
16	1.160,80	0,0	0,00	100,0	100	100
11,2	1.041,60	10,3	119,50	89,7	90	100
8	741,10	36,2	300,50	63,8	60	75
4	410,70	64,6	330,40	35,4	35	50
2	287,50	75,2	123,20	24,8	24	34
0,5	176,40	84,8	111,10	15,2	11	21
0,25	142,20	87,7	34,20	12,3	7	15
0,063	77,10	93,4	65,10	6,6	3	7

GRÁFICOS ENSAYOS 1 Y 2



Representación gráfica "Abertura del Tamiz (eje X ; representación semilogarítmica ; %) vs Masa Que Pasa (eje Y ; representación lineal ; %)".

ANÁLISIS DE RESULTADOS EILA 22

UNE-EN 12697-2:2015 y UNE-EN 12697-2:2015+A1:2022. Mezclas bituminosas. Métodos de ensayo. Parte 2: Determinación de la granulometría de las partículas.

GRÁFICOS GRANULOMÉTRICOS LABORATORIO 128

CONTENIDO DE LIGANTE SOLUBLE

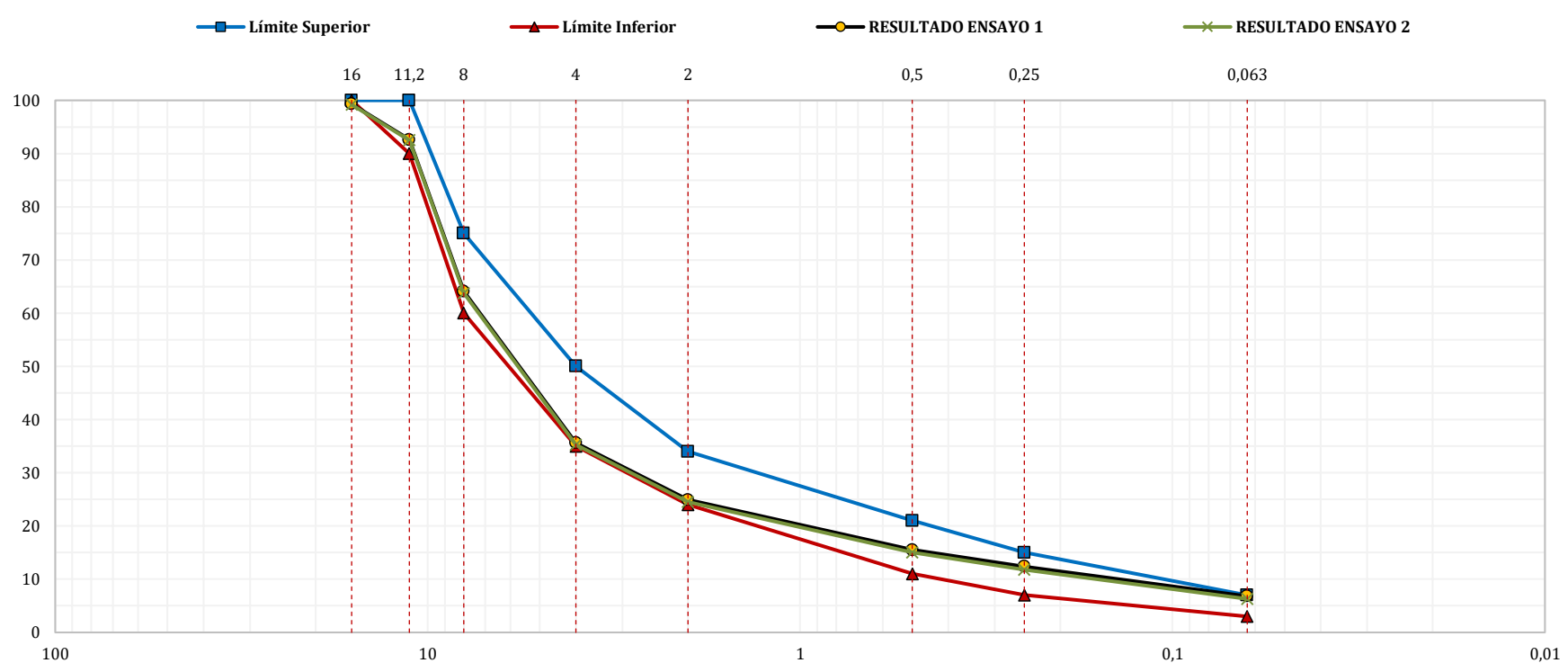
RESULTADOS ENSAYO 1

Abertura Tamiz (mm)	Masa Acumulada (g)	Masa Acumulada (%)	Masa Retenida (g)	Masa Que Pasa (%)	Límite Inferior (%)	Límite Superior (%)
16	15,00	0,8	15,00	99,3	100	100
11,2	151,80	8,0	137,00	92,6	90	100
8	736,30	39,0	585,00	64,1	60	75
4	1.320,00	69,0	584,00	35,6	35	50
2	1.529,00	81,0	219,00	24,9	24	34
0,5	1.732,00	91,0	193,00	15,5	11	21
0,25	1.797,00	94,0	65,00	12,4	7	15
0,063	1.910,00	100,0	114,00	6,8	3	7

RESULTADOS ENSAYO 2

Abertura Tamiz (mm)	Masa Acumulada (g)	Masa Acumulada (%)	Masa Retenida (g)	Masa Que Pasa (%)	Límite Inferior (%)	Límite Superior (%)
16	16,00	0,8	16,00	99,2	100	100
11,2	152,40	8,0	136,40	92,5	90	100
8	740,00	39,0	587,60	63,7	60	75
4	1.320,00	69,0	580,00	35,3	35	50
2	1.540,00	81,0	219,90	24,5	24	34
0,5	1.733,20	91,0	193,00	15,0	11	21
0,25	1.798,60	94,0	65,40	11,8	7	15
0,063	1.912,00	100,0	113,00	6,3	3	7

GRÁFICOS ENSAYOS 1 Y 2



Representación gráfica "Abertura del Tamiz (eje X ; representación semilogarítmica ; %) vs Masa Que Pasa (eje Y ; representación lineal ; %)".

ANÁLISIS DE RESULTADOS EILA 22

UNE-EN 12697-2:2015 y UNE-EN 12697-2:2015+A1:2022. Mezclas bituminosas. Métodos de ensayo. Parte 2: Determinación de la granulometría de las partículas.

GRÁFICOS GRANULOMÉTRICOS LABORATORIO 134

CONTENIDO DE LIGANTE SOLUBLE

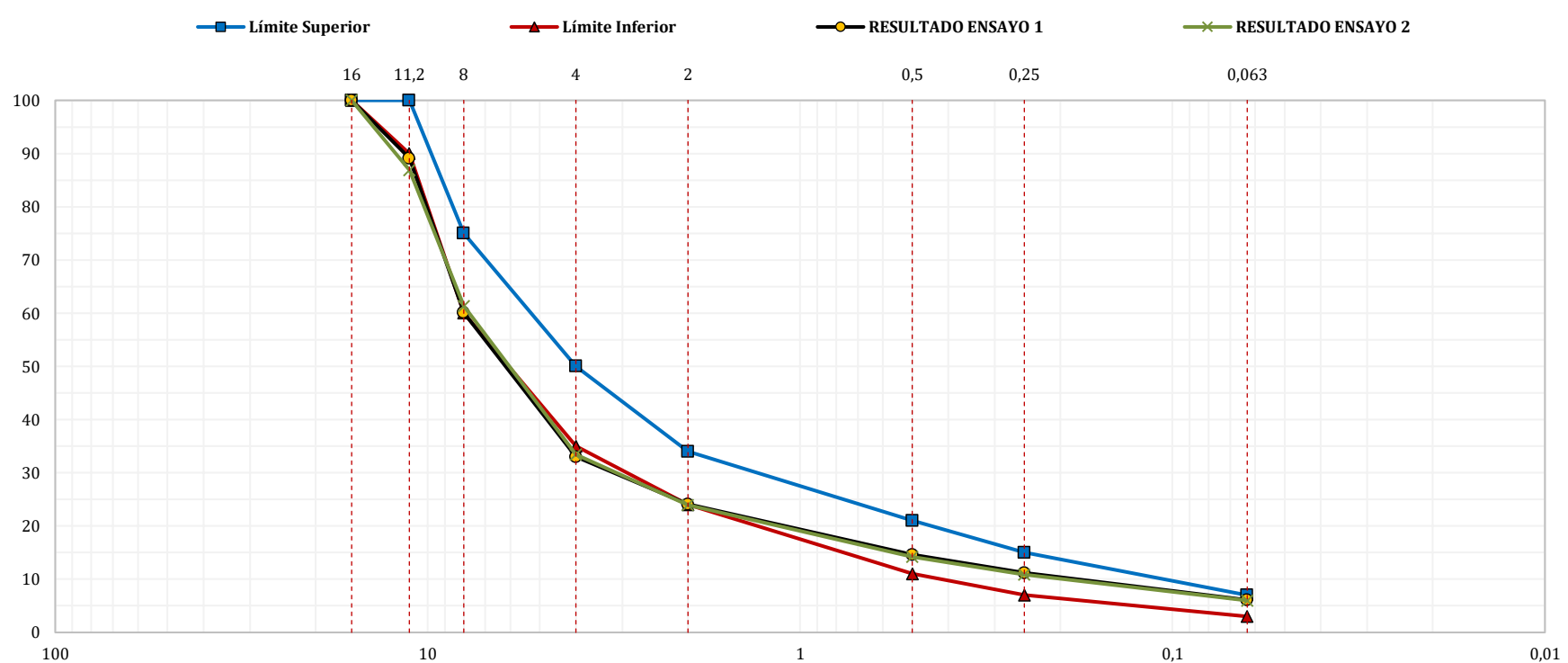
RESULTADOS ENSAYO 1

Abertura Tamiz (mm)	Masa Acumulada (g)	Masa Acumulada (%)	Masa Retenida (g)	Masa Que Pasa (%)	Límite Inferior (%)	Límite Superior (%)
16	1.148,53	100,0	0,00	100,0	100	100
11,2	1.023,35	10,9	125,18	89,1	90	100
8	690,26	39,9	458,26	60,1	60	75
4	379,01	67,0	769,51	33,0	35	50
2	267,79	75,9	871,73	24,1	24	34
0,5	167,68	85,4	980,84	14,6	11	21
0,25	128,63	88,8	1.019,89	11,2	7	15
0,063	70,06	93,9	1.079,01	6,1	3	7

RESULTADOS ENSAYO 2

Abertura Tamiz (mm)	Masa Acumulada (g)	Masa Acumulada (%)	Masa Retenida (g)	Masa Que Pasa (%)	Límite Inferior (%)	Límite Superior (%)
16	1.145,14	0,0	0,00	100,0	100	100
11,2	995,12	13,1	150,03	86,9	90	100
8	701,97	38,7	443,16	61,3	60	75
4	382,47	66,6	762,66	33,4	35	50
2	273,68	76,1	871,45	23,9	24	34
0,5	162,60	85,8	982,53	14,2	11	21
0,25	124,82	89,1	1.020,31	10,9	7	15
0,063	68,70	94,0	1.076,43	6,0	3	7

GRÁFICOS ENSAYOS 1 Y 2



Representación gráfica "Abertura del Tamiz (eje X ; representación semilogarítmica ; %) vs Masa Que Pasa (eje Y ; representación lineal ; %)".

ANÁLISIS DE RESULTADOS EILA 22

UNE-EN 12697-2:2015 y UNE-EN 12697-2:2015+A1:2022. Mezclas bituminosas. Métodos de ensayo. Parte 2: Determinación de la granulometría de las partículas.

GRÁFICOS GRANULOMÉTRICOS LABORATORIO 136

CONTENIDO DE LIGANTE SOLUBLE

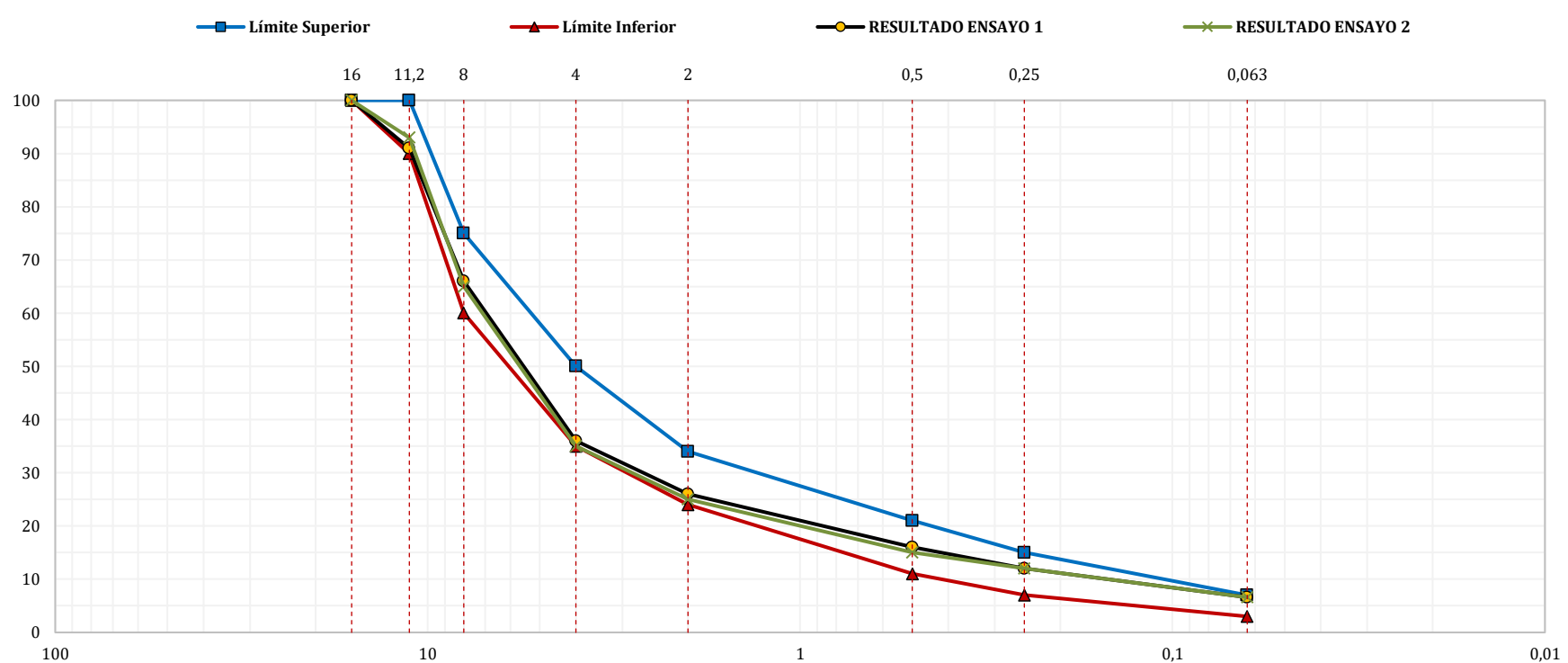
RESULTADOS ENSAYO 1

Abertura Tamiz (mm)	Masa Acumulada (g)	Masa Acumulada (%)	Masa Retenida (g)	Masa Que Pasa (%)	Límite Inferior (%)	Límite Superior (%)
16	0,00	0,0	0,00	100,0	100	100
11,2	120,00	9,0	120,00	91,0	90	100
8	449,00	34,0	329,00	66,0	60	75
4	838,00	64,0	389,00	36,0	35	50
2	979,00	74,0	141,00	26,0	24	34
0,5	1.111,00	84,0	132,00	16,0	11	21
0,25	1.156,00	88,0	45,00	12,0	7	15
0,063	1.228,00	93,4	31,00	6,6	3	7

RESULTADOS ENSAYO 2

Abertura Tamiz (mm)	Masa Acumulada (g)	Masa Acumulada (%)	Masa Retenida (g)	Masa Que Pasa (%)	Límite Inferior (%)	Límite Superior (%)
16	0,00	0,0	0,00	100,0	100	100
11,2	99,00	7,0	99,00	93,0	90	100
8	469,00	35,0	370,00	65,0	60	75
4	875,00	65,0	406,00	35,0	35	50
2	1.021,00	75,0	146,00	25,0	24	34
0,5	1.150,00	85,0	129,00	15,0	11	21
0,25	1.193,00	88,0	43,00	12,0	7	15
0,063	1.264,00	93,4	30,00	6,6	3	7

GRÁFICOS ENSAYOS 1 Y 2



Representación gráfica "Abertura del Tamiz (eje X ; representación semilogarítmica ; %) vs Masa Que Pasa (eje Y ; representación lineal ; %)".

ANÁLISIS DE RESULTADOS EILA 22

UNE-EN 12697-2:2015 y UNE-EN 12697-2:2015+A1:2022. Mezclas bituminosas. Métodos de ensayo. Parte 2: Determinación de la granulometría de las partículas.

GRÁFICOS GRANULOMÉTRICOS LABORATORIO 138

CONTENIDO DE LIGANTE SOLUBLE

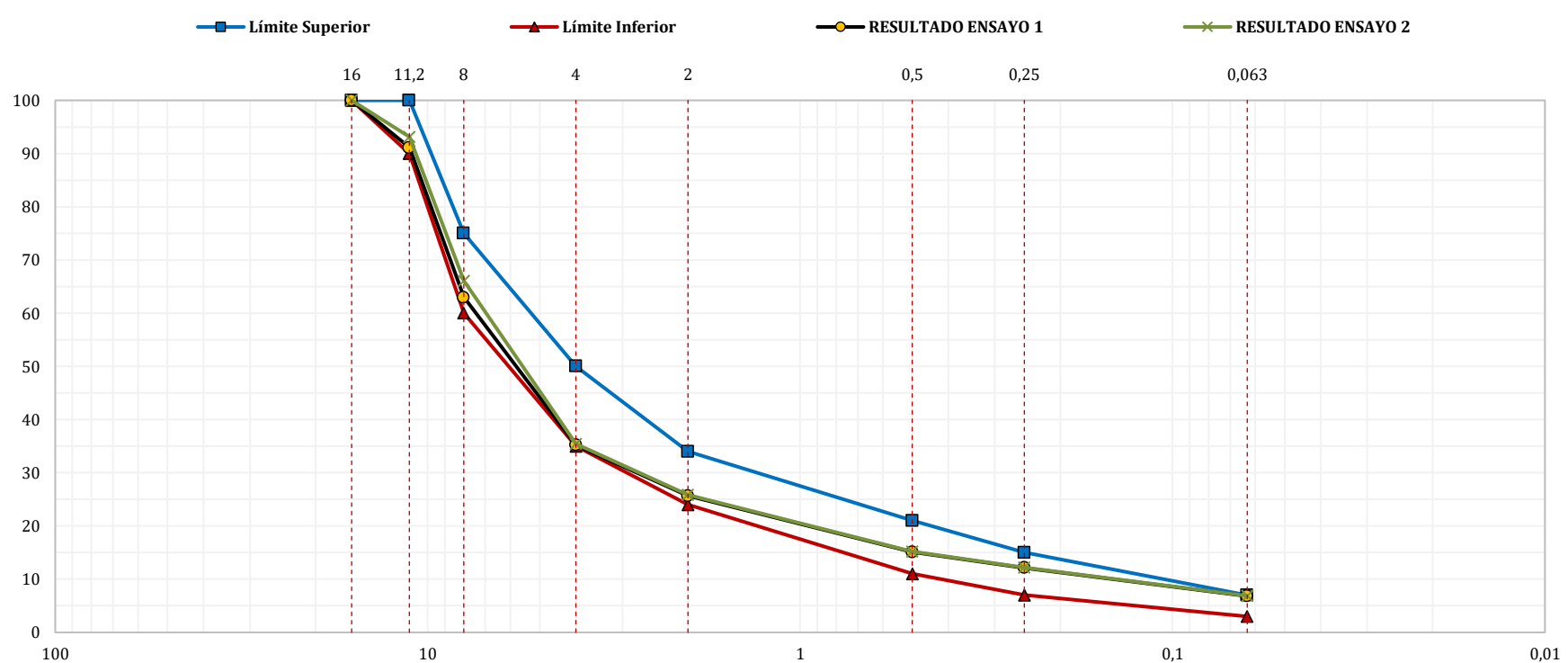
RESULTADOS ENSAYO 1

Abertura Tamiz (mm)	Masa Acumulada (g)	Masa Acumulada (%)	Masa Retenida (g)	Masa Que Pasa (%)	Límite Inferior (%)	Límite Superior (%)
16	0,00	0,0	0,00	100,0	100	100
11,2	110,10	8,9	110,10	91,1	90	100
8	458,90	37,0	348,80	63,0	60	75
4	802,70	64,8	343,80	35,2	35	50
2	920,90	74,3	118,20	25,7	24	34
0,5	1.051,90	84,9	131,00	15,1	11	21
0,25	1.088,40	87,9	36,50	12,2	7	15
0,063	1.154,30	93,2	65,90	6,8	3	7

RESULTADOS ENSAYO 2

Abertura Tamiz (mm)	Masa Acumulada (g)	Masa Acumulada (%)	Masa Retenida (g)	Masa Que Pasa (%)	Límite Inferior (%)	Límite Superior (%)
16	0,00	0,0	0,00	100,0	100	100
11,2	88,00	6,9	88,00	93,1	90	100
8	435,50	33,9	347,50	66,1	60	75
4	928,60	64,6	393,10	35,4	35	50
2	951,50	74,2	122,90	25,9	24	34
0,5	1.088,10	84,8	136,60	15,2	11	21
0,25	1.126,10	87,8	38,00	12,2	7	15
0,063	1.194,90	93,1	68,80	6,9	3	7

GRÁFICOS ENSAYOS 1 Y 2



Representación gráfica "Abertura del Tamiz (eje X ; representación semilogarítmica ; %) vs Masa Que Pasa (eje Y ; representación lineal ; %)".

ANÁLISIS DE RESULTADOS EILA 22

UNE-EN 12697-2:2015 y UNE-EN 12697-2:2015+A1:2022. Mezclas bituminosas. Métodos de ensayo. Parte 2: Determinación de la granulometría de las partículas.

GRÁFICOS GRANULOMÉTRICOS LABORATORIO 139

CONTENIDO DE LIGANTE SOLUBLE

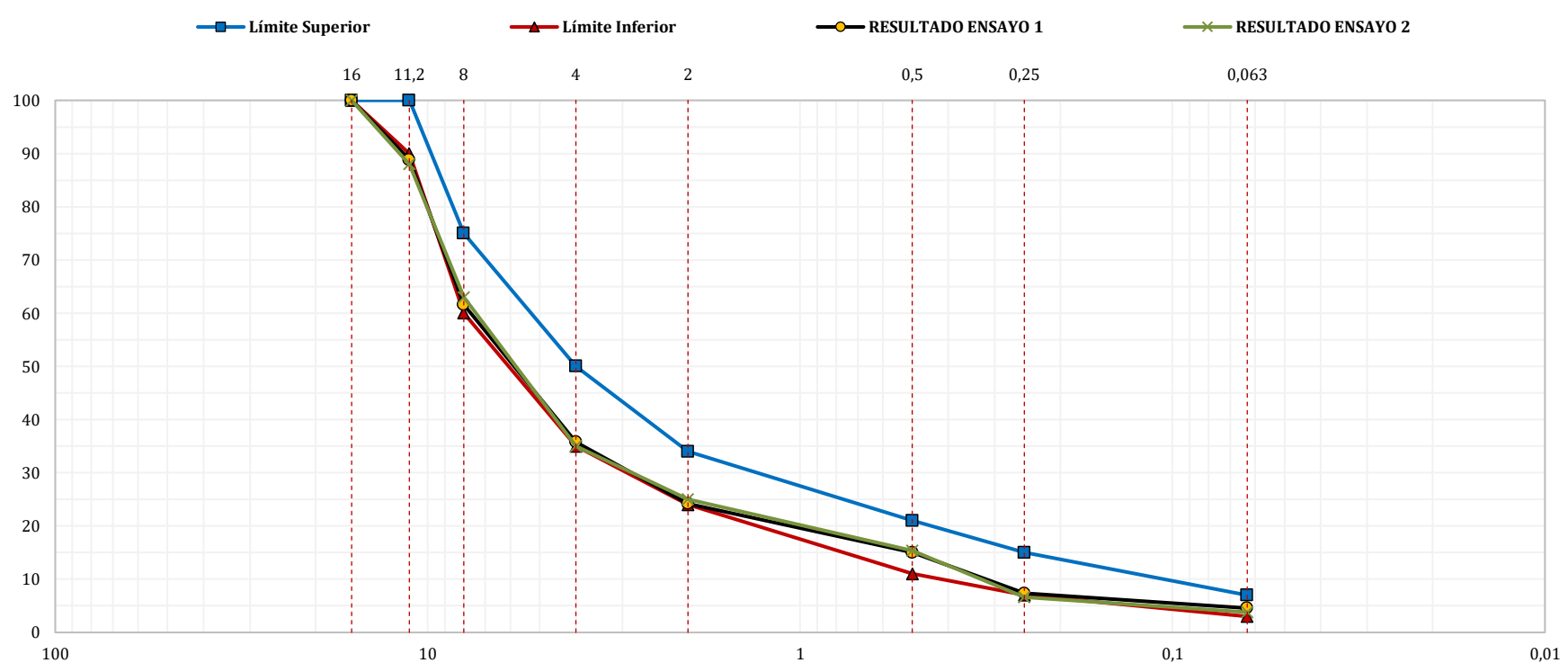
RESULTADOS ENSAYO 1

Abertura Tamiz (mm)	Masa Acumulada (g)	Masa Acumulada (%)	Masa Retenida (g)	Masa Que Pasa (%)	Límite Inferior (%)	Límite Superior (%)
16	0,00	0,0	0,00	100,0	100	100
11,2	127,00	11,1	126,95	88,9	90	100
8	438,00	38,4	311,14	61,6	60	75
4	732,00	64,2	293,77	35,8	35	50
2	864,00	75,8	132,22	24,2	24	34
0,5	969,00	85,0	104,53	15,0	11	21
0,25	1.056,00	92,6	86,68	7,4	7	15
0,063	1.088,00	95,4	31,84	4,6	3	7

RESULTADOS ENSAYO 2

Abertura Tamiz (mm)	Masa Acumulada (g)	Masa Acumulada (%)	Masa Retenida (g)	Masa Que Pasa (%)	Límite Inferior (%)	Límite Superior (%)
16	0,00	0,0	0,00	100,0	100	100
11,2	137,00	12,0	136,91	88,0	90	100
8	423,00	37,0	285,72	63,0	60	75
4	742,00	65,0	318,69	35,0	35	50
2	858,00	75,0	115,93	25,0	24	34
0,5	968,00	84,6	109,88	15,4	11	21
0,25	1.068,00	93,4	100,04	6,6	7	15
0,063	1.100,00	96,2	32,04	3,8	3	7

GRÁFICOS ENSAYOS 1 Y 2



Representación gráfica "Abertura del Tamiz (eje X ; representación semilogarítmica ; %) vs Masa Que Pasa (eje Y ; representación lineal ; %)".

ANÁLISIS DE RESULTADOS EILA 22

UNE-EN 12697-2:2015 y UNE-EN 12697-2:2015+A1:2022. Mezclas bituminosas. Métodos de ensayo. Parte 2: Determinación de la granulometría de las partículas.

GRÁFICOS GRANULOMÉTRICOS LABORATORIO 140

CONTENIDO DE LIGANTE SOLUBLE

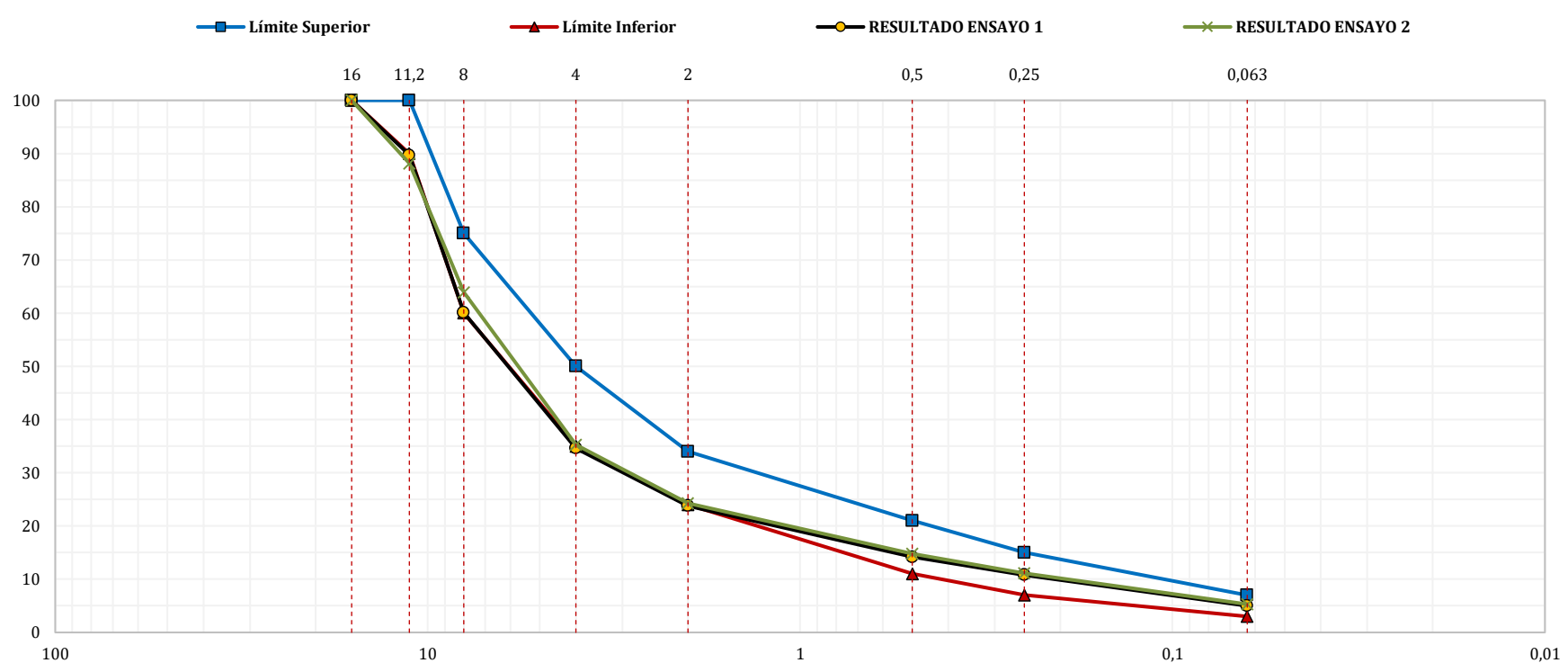
RESULTADOS ENSAYO 1

Abertura Tamiz (mm)	Masa Acumulada (g)	Masa Acumulada (%)	Masa Retenida (g)	Masa Que Pasa (%)	Límite Inferior (%)	Límite Superior (%)
16	0,00	0,0	0,00	100,0	100	100
11,2	117,00	10,3	117,00	89,7	90	100
8	454,70	39,9	337,70	60,1	60	75
4	744,70	65,4	290,00	34,6	35	50
2	868,40	76,2	123,70	23,8	24	34
0,5	977,30	85,8	108,90	14,2	11	21
0,25	1.015,90	89,2	38,60	10,8	7	15
0,063	1.082,30	95,0	66,40	5,0	3	7

RESULTADOS ENSAYO 2

Abertura Tamiz (mm)	Masa Acumulada (g)	Masa Acumulada (%)	Masa Retenida (g)	Masa Que Pasa (%)	Límite Inferior (%)	Límite Superior (%)
16	0,00	0,0	0,00	100,0	100	100
11,2	135,80	11,9	135,80	88,1	90	100
8	411,90	36,1	276,10	63,9	60	75
4	737,00	64,7	325,10	35,3	35	50
2	862,80	75,7	125,80	24,3	24	34
0,5	971,40	85,2	108,60	14,8	11	21
0,25	1.013,40	88,9	42,00	11,1	7	15
0,063	1.078,80	94,7	65,40	5,3	3	7

GRÁFICOS ENSAYOS 1 Y 2



Representación gráfica "Abertura del Tamiz (eje X ; representación semilogarítmica ; %) vs Masa Que Pasa (eje Y ; representación lineal ; %)".

ANÁLISIS DE RESULTADOS EILA 22

UNE-EN 12697-2:2015 y UNE-EN 12697-2:2015+A1:2022. Mezclas bituminosas. Métodos de ensayo. Parte 2: Determinación de la granulometría de las partículas.

GRÁFICOS GRANULOMÉTRICOS LABORATORIO 141

CONTENIDO DE LIGANTE SOLUBLE

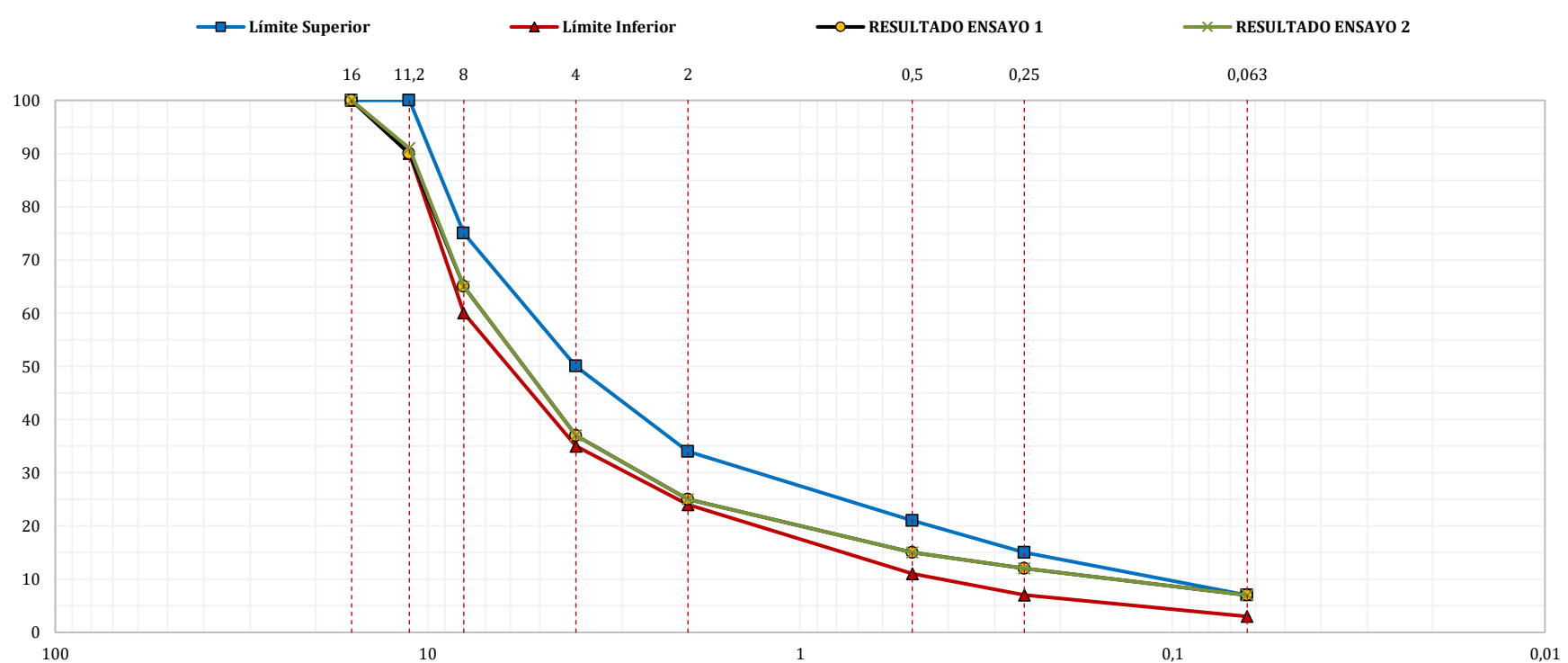
RESULTADOS ENSAYO 1

Abertura Tamiz (mm)	Masa Acumulada (g)	Masa Acumulada (%)	Masa Retenida (g)	Masa Que Pasa (%)	Límite Inferior (%)	Límite Superior (%)
16	1.200,70	0,0	0,00	100,0	100	100
11,2	1.077,60	10,0	123,10	90,0	90	100
8	779,80	35,0	297,80	65,0	60	75
4	448,50	63,0	331,30	37,0	35	50
2	296,40	75,0	152,10	25,0	24	34
0,5	186,00	85,0	110,40	15,0	11	21
0,25	144,20	88,0	41,80	12,0	7	15
0,063	83,70	93,0	60,50	7,0	3	7

RESULTADOS ENSAYO 2

Abertura Tamiz (mm)	Masa Acumulada (g)	Masa Acumulada (%)	Masa Retenida (g)	Masa Que Pasa (%)	Límite Inferior (%)	Límite Superior (%)
16	1.204,90	0,0	0,00	100,0	100	100
11,2	1.097,40	9,0	107,50	91,0	90	100
8	778,90	35,0	318,50	65,0	60	75
4	441,90	63,0	337,00	37,0	35	50
2	300,00	75,0	141,90	25,0	24	34
0,5	186,60	85,0	113,40	15,0	11	21
0,25	143,80	88,0	42,80	12,0	7	15
0,063	83,30	93,0	60,50	7,0	3	7

GRÁFICOS ENSAYOS 1 Y 2



Representación gráfica "Abertura del Tamiz (eje X ; representación semilogarítmica ; %) vs Masa Que Pasa (eje Y ; representación lineal ; %)".

ANÁLISIS DE RESULTADOS EILA 22

UNE-EN 12697-2:2015 y UNE-EN 12697-2:2015+A1:2022. Mezclas bituminosas. Métodos de ensayo. Parte 2: Determinación de la granulometría de las partículas.

GRÁFICOS GRANULOMÉTRICOS LABORATORIO 142

CONTENIDO DE LIGANTE SOLUBLE

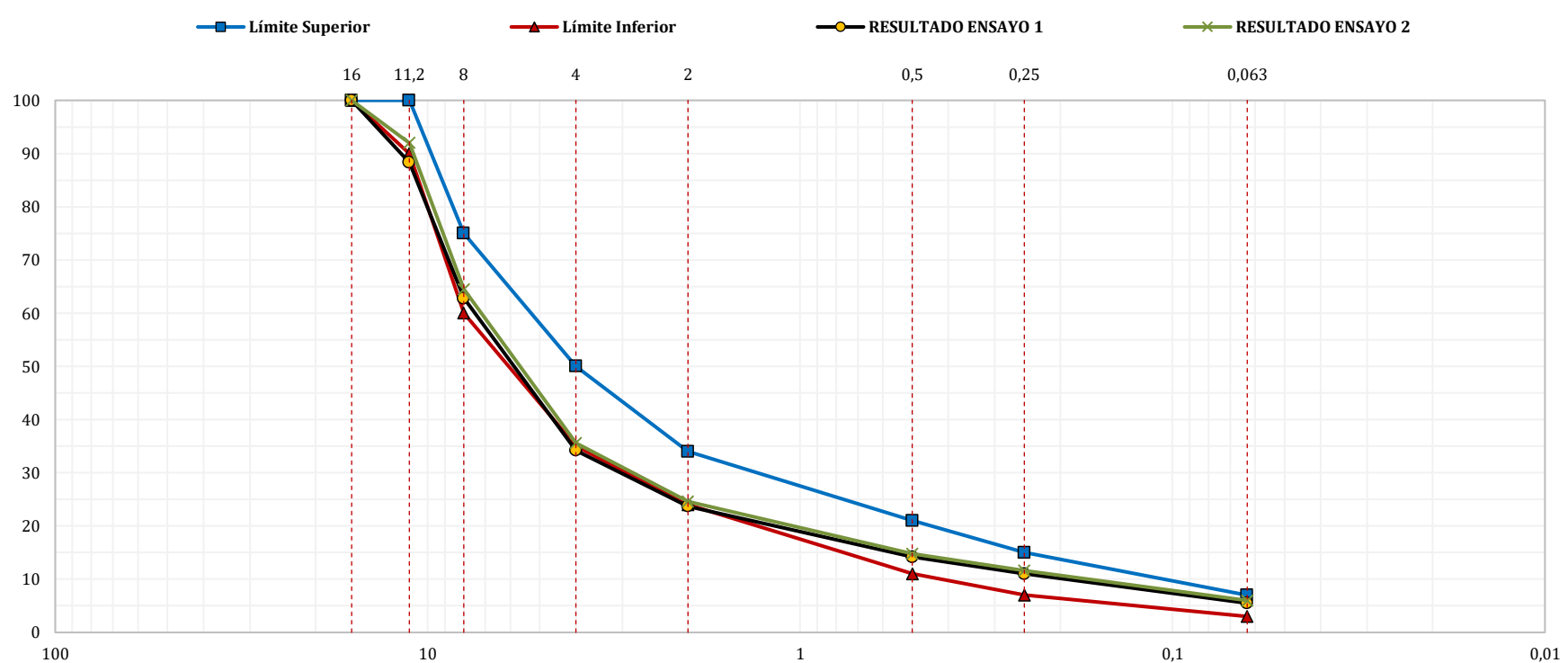
RESULTADOS ENSAYO 1

Abertura Tamiz (mm)	Masa Acumulada (g)	Masa Acumulada (%)	Masa Retenida (g)	Masa Que Pasa (%)	Límite Inferior (%)	Límite Superior (%)
16	0,00	0,0	0,00	100,0	100	100
11,2	192,70	11,7	192,70	88,3	90	100
8	613,60	37,2	420,90	62,8	60	75
4	1.085,00	65,8	471,40	34,2	35	50
2	1.257,60	76,3	172,60	23,7	24	34
0,5	1.414,90	85,8	157,30	14,2	11	21
0,25	1.467,90	89,0	53,00	11,0	7	15
0,063	1.557,80	94,5	89,90	5,5	3	7

RESULTADOS ENSAYO 2

Abertura Tamiz (mm)	Masa Acumulada (g)	Masa Acumulada (%)	Masa Retenida (g)	Masa Que Pasa (%)	Límite Inferior (%)	Límite Superior (%)
16	0,00	0,0	0,00	100,0	100	100
11,2	120,50	8,0	120,50	92,0	90	100
8	535,60	35,5	415,10	64,5	60	75
4	969,78	64,4	434,10	35,6	35	50
2	1.135,40	75,4	165,70	24,6	24	34
0,5	1.283,60	85,2	148,20	14,8	11	21
0,25	1.332,20	88,4	48,60	11,6	7	15
0,063	1.416,00	94,0	83,80	6,0	3	7

GRÁFICOS ENSAYOS 1 Y 2



Representación gráfica "Abertura del Tamiz (eje X ; representación semilogarítmica ; %) vs Masa Que Pasa (eje Y ; representación lineal ; %)".

ANÁLISIS DE RESULTADOS EILA 22

UNE-EN 12697-2:2015 y UNE-EN 12697-2:2015+A1:2022. Mezclas bituminosas. Métodos de ensayo. Parte 2: Determinación de la granulometría de las partículas.

GRÁFICOS GRANULOMÉTRICOS LABORATORIO 146

CONTENIDO DE LIGANTE SOLUBLE

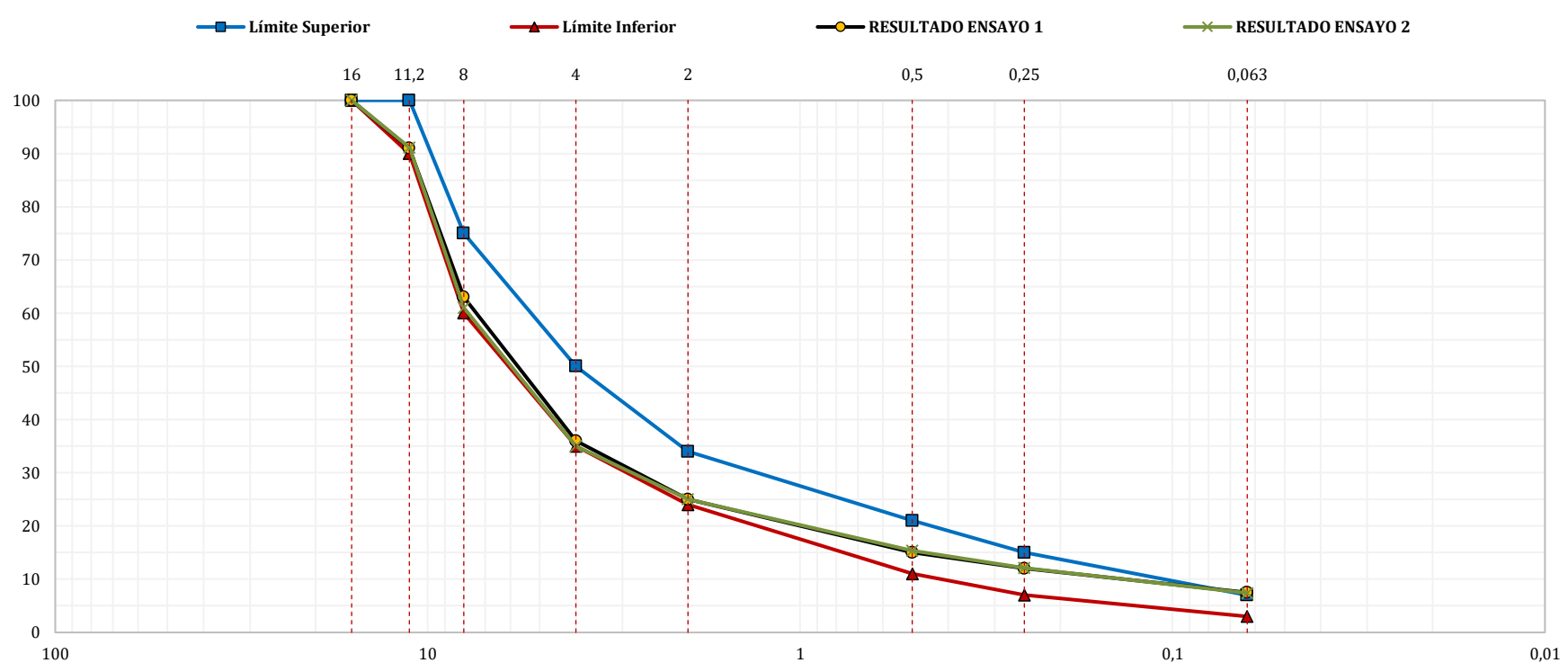
RESULTADOS ENSAYO 1

Abertura Tamiz (mm)	Masa Acumulada (g)	Masa Acumulada (%)	Masa Retenida (g)	Masa Que Pasa (%)	Límite Inferior (%)	Límite Superior (%)
16	7,80	0,5	7,80	100,0	100	100
11,2	153,20	9,1	145,40	91,0	90	100
8	625,20	37,0	472,00	63,0	60	75
4	1.084,30	64,2	459,10	36,0	35	50
2	1.260,20	74,7	175,90	25,0	24	34
0,5	1.427,10	84,5	166,90	15,0	11	21
0,25	1.481,20	87,7	54,10	12,0	7	15
0,063	1.561,80	92,5	80,60	7,5	3	7

RESULTADOS ENSAYO 2

Abertura Tamiz (mm)	Masa Acumulada (g)	Masa Acumulada (%)	Masa Retenida (g)	Masa Que Pasa (%)	Límite Inferior (%)	Límite Superior (%)
16	0,00	0,0	0,00	100,0	100	100
11,2	136,90	8,9	136,90	91,1	90	100
8	598,80	39,0	461,90	61,0	60	75
4	999,40	65,0	400,60	35,0	35	50
2	1.152,90	75,0	153,50	25,0	24	34
0,5	1.299,80	84,6	146,90	15,4	11	21
0,25	1.350,20	87,9	50,40	12,1	7	15
0,063	1.423,00	92,6	72,80	7,4	3	7

GRÁFICOS ENSAYOS 1 Y 2



Representación gráfica "Abertura del Tamiz (eje X ; representación semilogarítmica ; %) vs Masa Que Pasa (eje Y ; representación lineal ; %)".

ANÁLISIS DE RESULTADOS EILA 22

UNE-EN 12697-2:2015 y UNE-EN 12697-2:2015+A1:2022. Mezclas bituminosas. Métodos de ensayo. Parte 2: Determinación de la granulometría de las partículas.

GRÁFICOS GRANULOMÉTRICOS LABORATORIO 147

CONTENIDO DE LIGANTE SOLUBLE

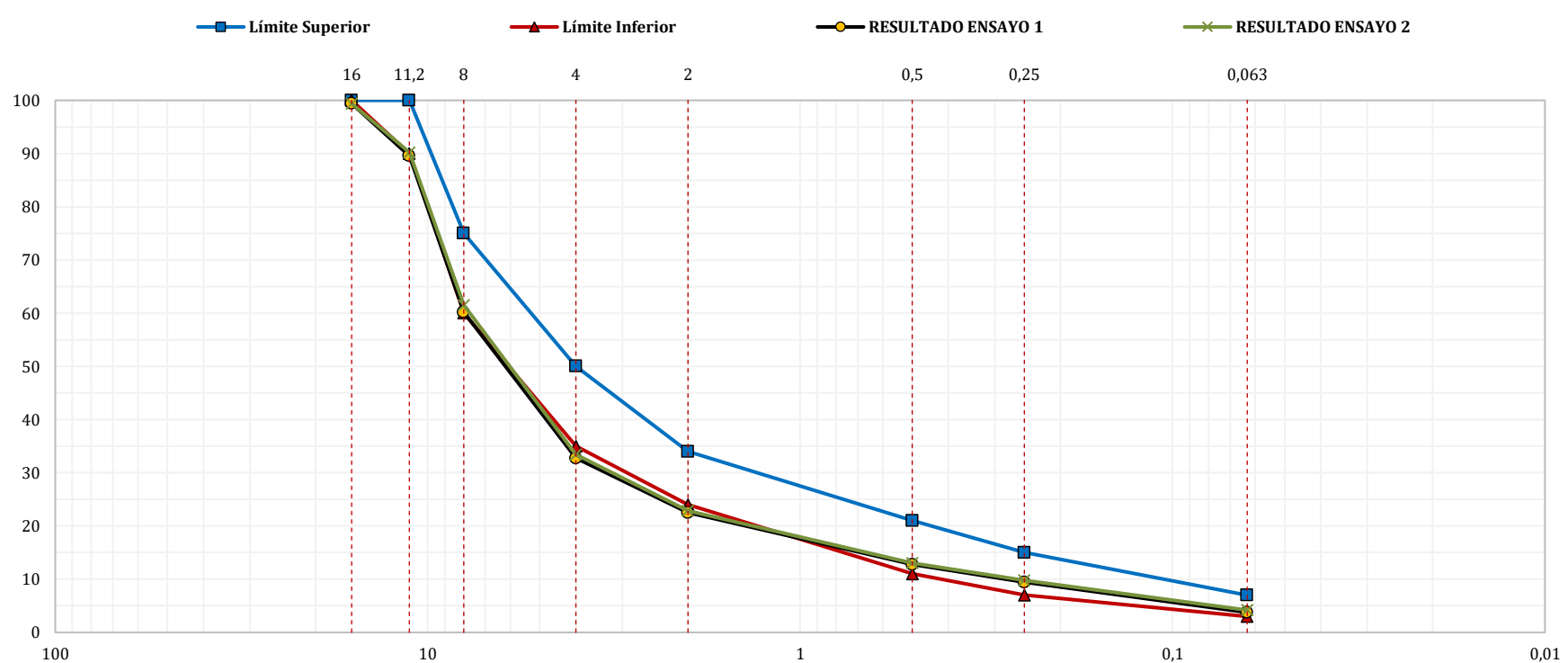
RESULTADOS ENSAYO 1

Abertura Tamiz (mm)	Masa Acumulada (g)	Masa Acumulada (%)	Masa Retenida (g)	Masa Que Pasa (%)	Límite Inferior (%)	Límite Superior (%)
16	7,30	0,6	7,00	99,4	100	100
11,2	121,60	10,5	114,30	89,5	90	100
8	462,30	39,9	340,70	60,2	60	75
4	780,20	67,3	317,90	32,7	35	50
2	898,70	77,5	118,50	22,5	24	34
0,5	1.011,90	87,3	113,20	12,7	11	21
0,25	1.050,20	90,6	38,30	9,4	7	15
0,063	1.116,00	96,3	65,80	3,8	3	7

RESULTADOS ENSAYO 2

Abertura Tamiz (mm)	Masa Acumulada (g)	Masa Acumulada (%)	Masa Retenida (g)	Masa Que Pasa (%)	Límite Inferior (%)	Límite Superior (%)
16	0,00	0,0	0,00	99,4	100	100
11,2	121,60	10,4	114,30	90,2	90	100
8	455,80	39,1	334,20	61,5	60	75
4	789,30	67,7	327,00	33,4	35	50
2	903,80	77,6	123,60	22,8	24	34
0,5	1.012,70	86,9	114,00	13,1	11	21
0,25	1.049,50	90,1	37,60	9,8	7	15
0,063	1.115,90	95,8	65,70	4,2	3	7

GRÁFICOS ENSAYOS 1 Y 2



Representación gráfica "Abertura del Tamiz (eje X ; representación semilogarítmica ; %) vs Masa Que Pasa (eje Y ; representación lineal ; %)".

ANÁLISIS DE RESULTADOS EILA 22

UNE-EN 12697-2:2015 y UNE-EN 12697-2:2015+A1:2022. Mezclas bituminosas. Métodos de ensayo. Parte 2: Determinación de la granulometría de las partículas.

GRÁFICOS GRANULOMÉTRICOS LABORATORIO 149

CONTENIDO DE LIGANTE SOLUBLE

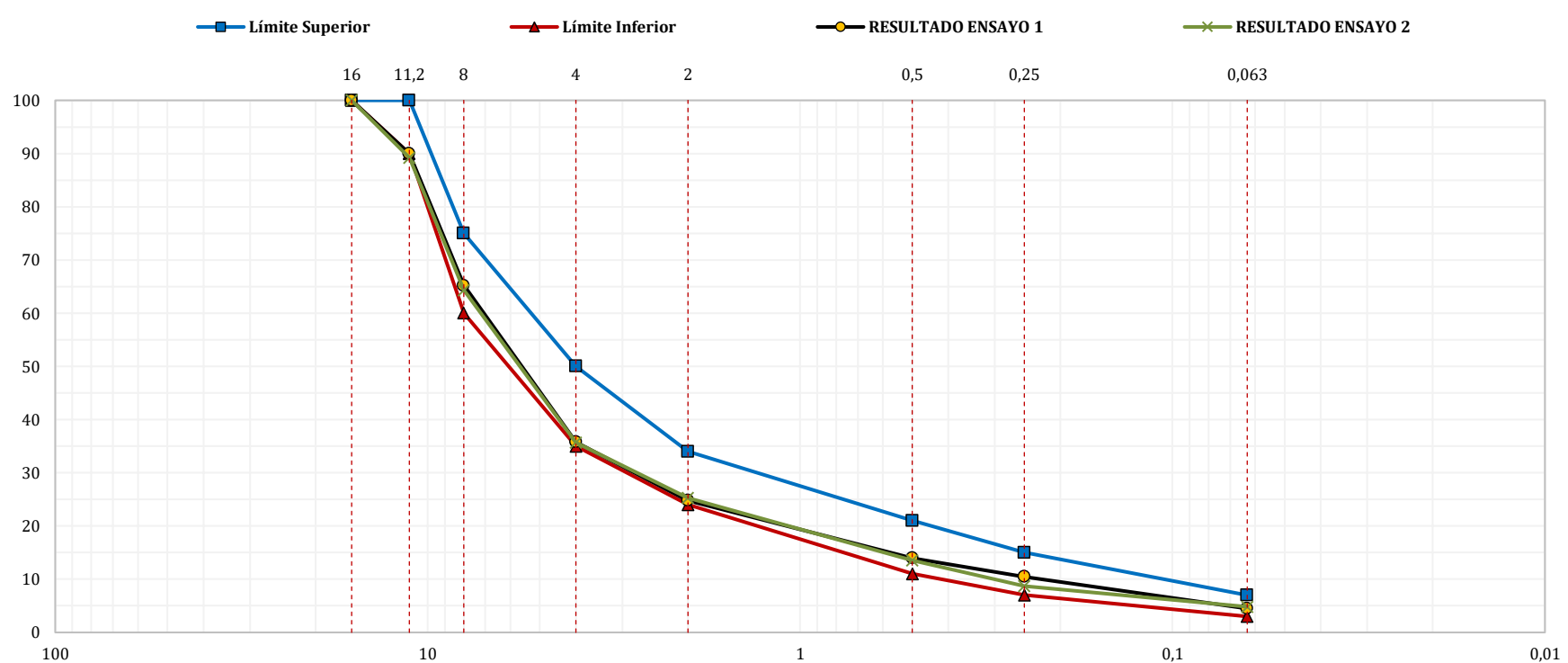
RESULTADOS ENSAYO 1

Abertura Tamiz (mm)	Masa Acumulada (g)	Masa Acumulada (%)	Masa Retenida (g)	Masa Que Pasa (%)	Límite Inferior (%)	Límite Superior (%)
16	0,00	0,0	0,00	100,0	100	100
11,2	164,93	10,0	164,93	90,0	90	100
8	573,61	34,8	408,68	65,2	60	75
4	1.059,61	64,2	486,00	35,8	35	50
2	1.240,81	75,2	181,20	24,8	24	34
0,5	1.419,45	86,0	178,64	14,0	11	21
0,25	1.477,04	89,5	57,59	10,5	7	15
0,063	1.575,53	95,5	98,49	4,5	3	7

RESULTADOS ENSAYO 2

Abertura Tamiz (mm)	Masa Acumulada (g)	Masa Acumulada (%)	Masa Retenida (g)	Masa Que Pasa (%)	Límite Inferior (%)	Límite Superior (%)
16	0,00	0,0	0,00	100,0	100	100
11,2	189,30	10,8	189,30	89,2	90	100
8	625,08	35,7	435,78	64,3	60	75
4	1.127,75	64,3	502,67	35,7	35	50
2	1.309,30	74,7	181,55	25,3	24	34
0,5	1.515,63	86,5	206,33	13,5	11	21
0,25	1.600,38	91,3	84,75	8,7	7	15
0,063	1.668,04	95,2	67,66	4,8	3	7

GRÁFICOS ENSAYOS 1 Y 2



Representación gráfica "Abertura del Tamiz (eje X ; representación semilogarítmica ; %) vs Masa Que Pasa (eje Y ; representación lineal ; %)".

ANÁLISIS DE RESULTADOS EILA 22

UNE-EN 12697-2:2015 y UNE-EN 12697-2:2015+A1:2022. Mezclas bituminosas. Métodos de ensayo. Parte 2: Determinación de la granulometría de las partículas.

GRÁFICOS GRANULOMÉTRICOS LABORATORIO 151

CONTENIDO DE LIGANTE SOLUBLE

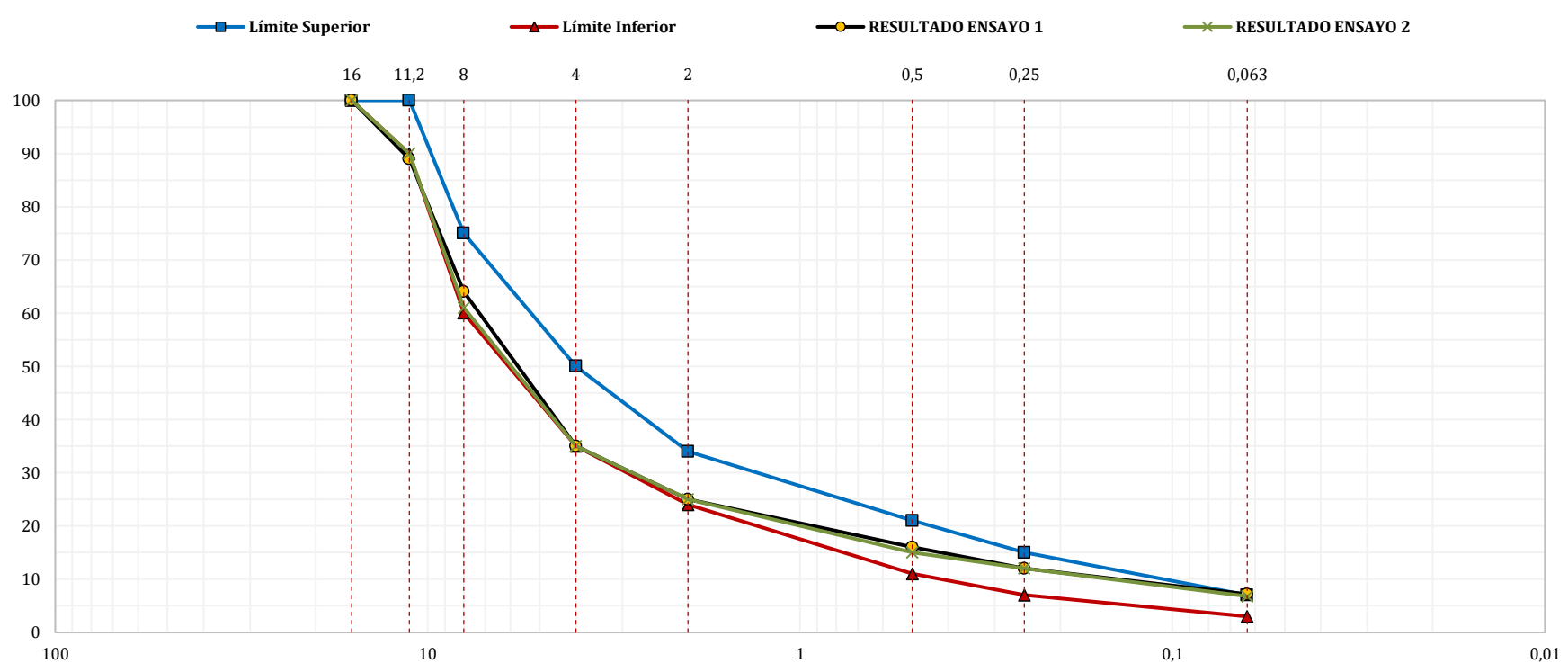
RESULTADOS ENSAYO 1

Abertura Tamiz (mm)	Masa Acumulada (g)	Masa Acumulada (%)	Masa Retenida (g)	Masa Que Pasa (%)	Límite Inferior (%)	Límite Superior (%)
16	0,00	0,0	0,00	100,0	100	100
11,2	131,40	10,9	131,40	89,0	90	100
8	430,30	35,6	298,90	64,0	60	75
4	782,10	64,7	351,80	35,0	35	50
2	902,70	74,7	120,60	25,0	24	34
0,5	1.017,90	84,2	115,20	16,0	11	21
0,25	1.057,80	87,6	39,90	12,0	7	15
0,063	1.120,80	92,8	63,00	7,2	3	7

RESULTADOS ENSAYO 2

Abertura Tamiz (mm)	Masa Acumulada (g)	Masa Acumulada (%)	Masa Retenida (g)	Masa Que Pasa (%)	Límite Inferior (%)	Límite Superior (%)
16	0,00	0,0	0,00	100,0	100	100
11,2	131,20	10,3	131,20	90,0	90	100
8	496,50	39,1	365,30	61,0	60	75
4	832,20	65,5	335,70	35,0	35	50
2	958,20	75,4	126,00	25,0	24	34
0,5	1.076,70	84,7	118,50	15,0	11	21
0,25	1.117,10	87,9	40,40	12,0	7	15
0,063	1.185,50	93,2	68,40	6,8	3	7

GRÁFICOS ENSAYOS 1 Y 2



Representación gráfica "Abertura del Tamiz (eje X ; representación semilogarítmica ; %) vs Masa Que Pasa (eje Y ; representación lineal ; %)".

ANÁLISIS DE RESULTADOS EILA 22

UNE-EN 12697-2:2015 y UNE-EN 12697-2:2015+A1:2022. Mezclas bituminosas. Métodos de ensayo. Parte 2: Determinación de la granulometría de las partículas.

GRÁFICOS GRANULOMÉTRICOS LABORATORIO 155

CONTENIDO DE LIGANTE SOLUBLE

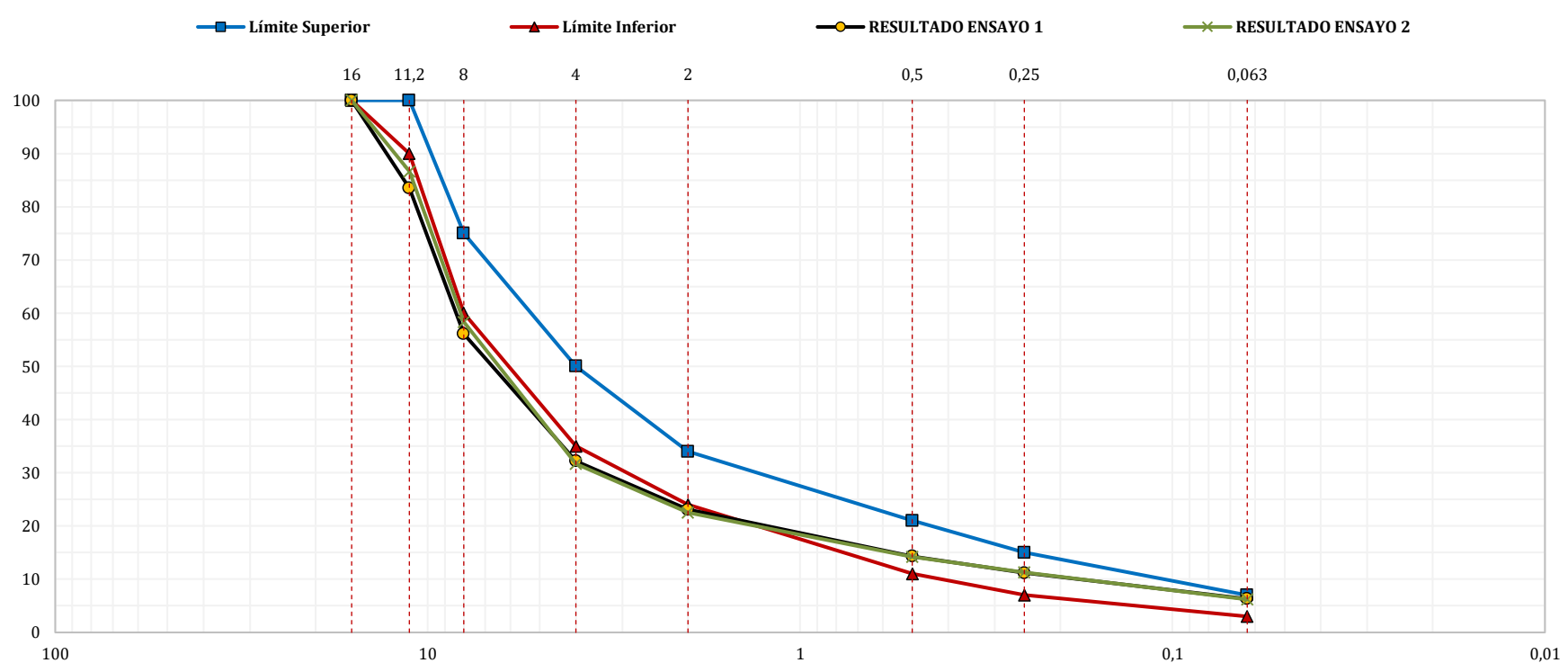
RESULTADOS ENSAYO 1

Abertura Tamiz (mm)	Masa Acumulada (g)	Masa Acumulada (%)	Masa Retenida (g)	Masa Que Pasa (%)	Límite Inferior (%)	Límite Superior (%)
16	0,00	0,0	0,00	100,0	100	100
11,2	190,18	16,5	190,18	83,5	90	100
8	505,94	43,9	315,58	56,1	60	75
4	780,94	67,8	275,18	32,2	35	50
2	886,94	76,9	106,00	23,1	24	34
0,5	987,58	85,7	100,64	14,3	11	21
0,25	1.023,08	88,8	35,50	11,2	7	15
0,063	1.079,98	93,7	56,90	6,3	3	7

RESULTADOS ENSAYO 2

Abertura Tamiz (mm)	Masa Acumulada (g)	Masa Acumulada (%)	Masa Retenida (g)	Masa Que Pasa (%)	Límite Inferior (%)	Límite Superior (%)
16	0,00	0,0	0,00	100,0	100	100
11,2	153,01	13,4	153,01	86,6	90	100
8	477,01	41,7	324,00	58,3	60	75
4	781,37	68,3	304,36	31,7	35	50
2	886,73	77,5	105,36	22,5	24	34
0,5	981,98	85,8	95,25	14,2	11	21
0,25	1.015,78	88,7	33,80	11,3	7	15
0,063	1.073,70	93,8	57,92	6,2	3	7

GRÁFICOS ENSAYOS 1 Y 2



Representación gráfica "Abertura del Tamiz (eje X ; representación semilogarítmica ; %) vs Masa Que Pasa (eje Y ; representación lineal ; %)".

ANÁLISIS DE RESULTADOS EILA 22

UNE-EN 12697-2:2015 y UNE-EN 12697-2:2015+A1:2022. Mezclas bituminosas. Métodos de ensayo. Parte 2: Determinación de la granulometría de las partículas.

GRÁFICOS GRANULOMÉTRICOS LABORATORIO 157

CONTENIDO DE LIGANTE SOLUBLE

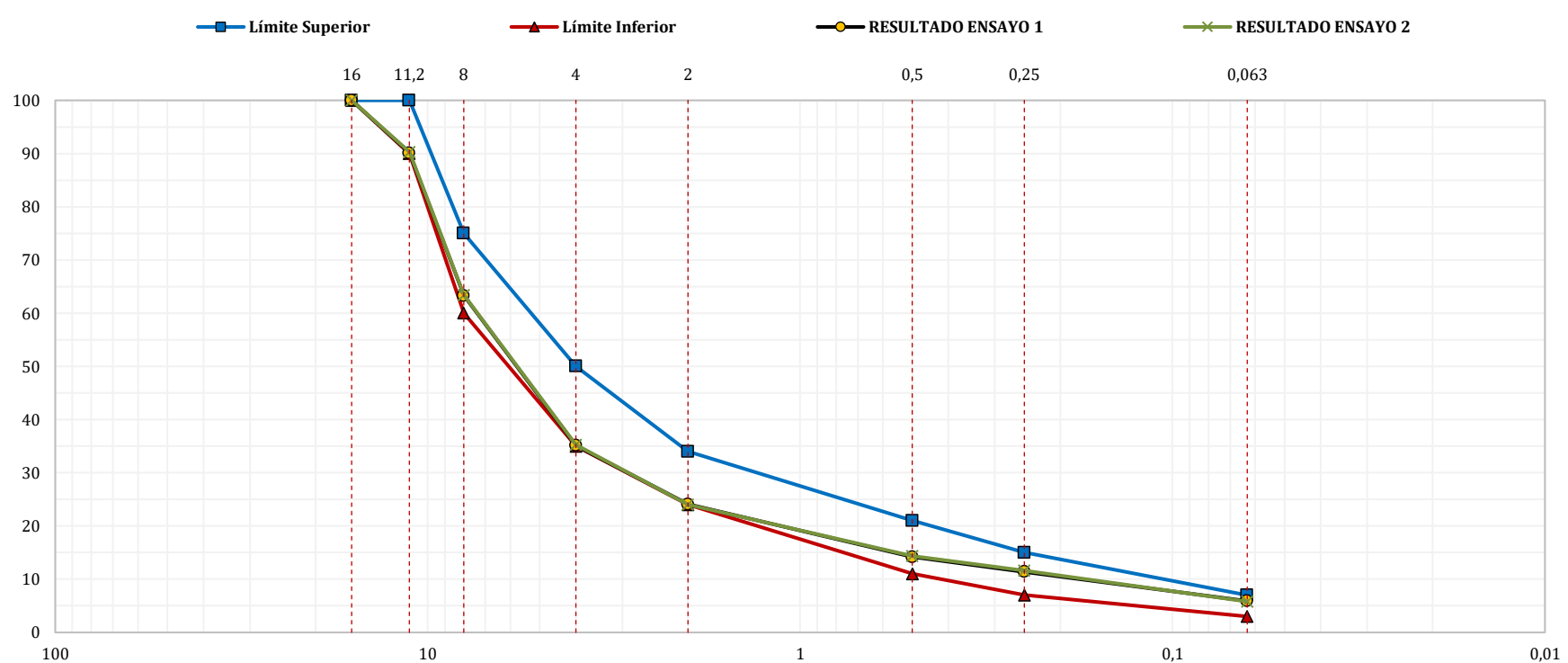
RESULTADOS ENSAYO 1

Abertura Tamiz (mm)	Masa Acumulada (g)	Masa Acumulada (%)	Masa Retenida (g)	Masa Que Pasa (%)	Límite Inferior (%)	Límite Superior (%)
16	0,00	0,0	0,00	100,0	100	100
11,2	113,40	9,9	113,40	90,1	90	100
8	418,00	36,7	304,60	63,3	60	75
4	740,20	64,9	322,20	35,1	35	50
2	865,10	75,9	124,90	24,1	24	34
0,5	978,60	85,8	113,50	14,2	11	21
0,25	1.010,10	88,6	31,50	11,4	7	15
0,063	1.073,30	94,1	63,20	5,9	3	7

RESULTADOS ENSAYO 2

Abertura Tamiz (mm)	Masa Acumulada (g)	Masa Acumulada (%)	Masa Retenida (g)	Masa Que Pasa (%)	Límite Inferior (%)	Límite Superior (%)
16	0,00	0,0	0,00	100,0	100	100
11,2	110,10	9,7	110,10	90,3	90	100
8	417,80	36,6	307,70	63,4	60	75
4	737,20	64,7	319,40	35,3	35	50
2	866,90	76,0	129,70	24,0	24	34
0,5	975,60	85,6	108,70	14,4	11	21
0,25	1.008,00	88,4	32,40	11,6	7	15
0,063	1.073,70	94,2	65,70	5,8	3	7

GRÁFICOS ENSAYOS 1 Y 2



Representación gráfica "Abertura del Tamiz (eje X ; representación semilogarítmica ; %) vs Masa Que Pasa (eje Y ; representación lineal ; %)".

ANÁLISIS DE RESULTADOS EILA 22

UNE-EN 12697-2:2015 y UNE-EN 12697-2:2015+A1:2022. Mezclas bituminosas. Métodos de ensayo. Parte 2: Determinación de la granulometría de las partículas.

GRÁFICOS GRANULOMÉTRICOS LABORATORIO 159

CONTENIDO DE LIGANTE SOLUBLE

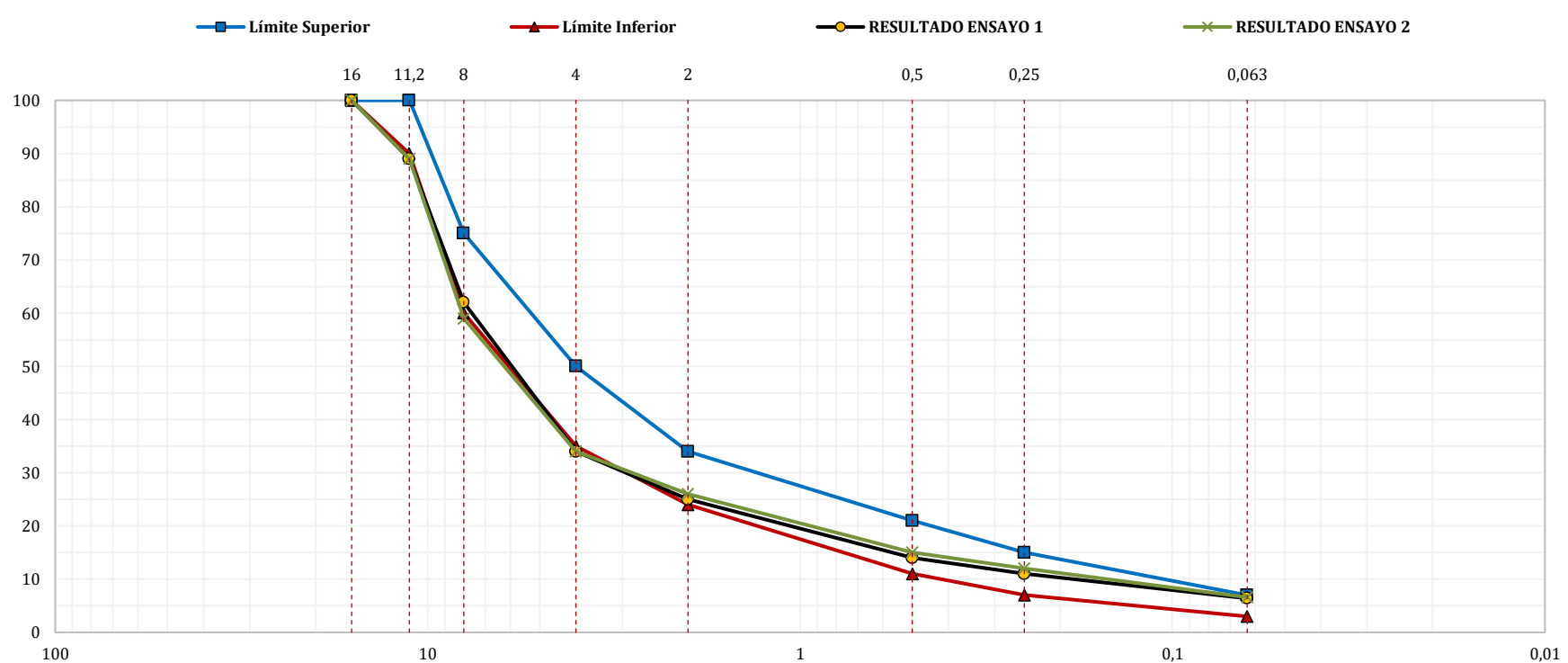
RESULTADOS ENSAYO 1

Abertura Tamiz (mm)	Masa Acumulada (g)	Masa Acumulada (%)	Masa Retenida (g)	Masa Que Pasa (%)	Límite Inferior (%)	Límite Superior (%)
16	1.138,10	0,0	0,00	100,0	100	100
11,2	1.017,40	11,0	120,70	89,0	90	100
8	710,10	38,0	307,30	62,0	60	75
4	391,10	66,0	319,00	34,0	35	50
2	288,80	75,0	102,30	25,0	24	34
0,5	162,90	86,0	125,90	14,0	11	21
0,25	130,20	89,0	32,70	11,0	7	15
0,063	73,20	93,6	57,00	6,4	3	7

RESULTADOS ENSAYO 2

Abertura Tamiz (mm)	Masa Acumulada (g)	Masa Acumulada (%)	Masa Retenida (g)	Masa Que Pasa (%)	Límite Inferior (%)	Límite Superior (%)
16	1.147,60	0,0	0,00	100,0	100	100
11,2	1.025,20	11,0	122,40	89,0	90	100
8	676,40	31,0	348,80	59,0	60	75
4	395,60	66,0	280,70	34,0	35	50
2	296,70	74,0	98,90	26,0	24	34
0,5	169,50	85,0	127,20	15,0	11	21
0,25	136,60	88,0	32,90	12,0	7	15
0,063	76,10	93,5	60,50	6,6	3	7

GRÁFICOS ENSAYOS 1 Y 2



Representación gráfica "Abertura del Tamiz (eje X ; representación semilogarítmica ; %) vs Masa Que Pasa (eje Y ; representación lineal ; %)".

ANÁLISIS DE RESULTADOS EILA 22

UNE-EN 12697-2:2015 y UNE-EN 12697-2:2015+A1:2022. Mezclas bituminosas. Métodos de ensayo. Parte 2: Determinación de la granulometría de las partículas.

GRÁFICOS GRANULOMÉTRICOS LABORATORIO 167

CONTENIDO DE LIGANTE SOLUBLE

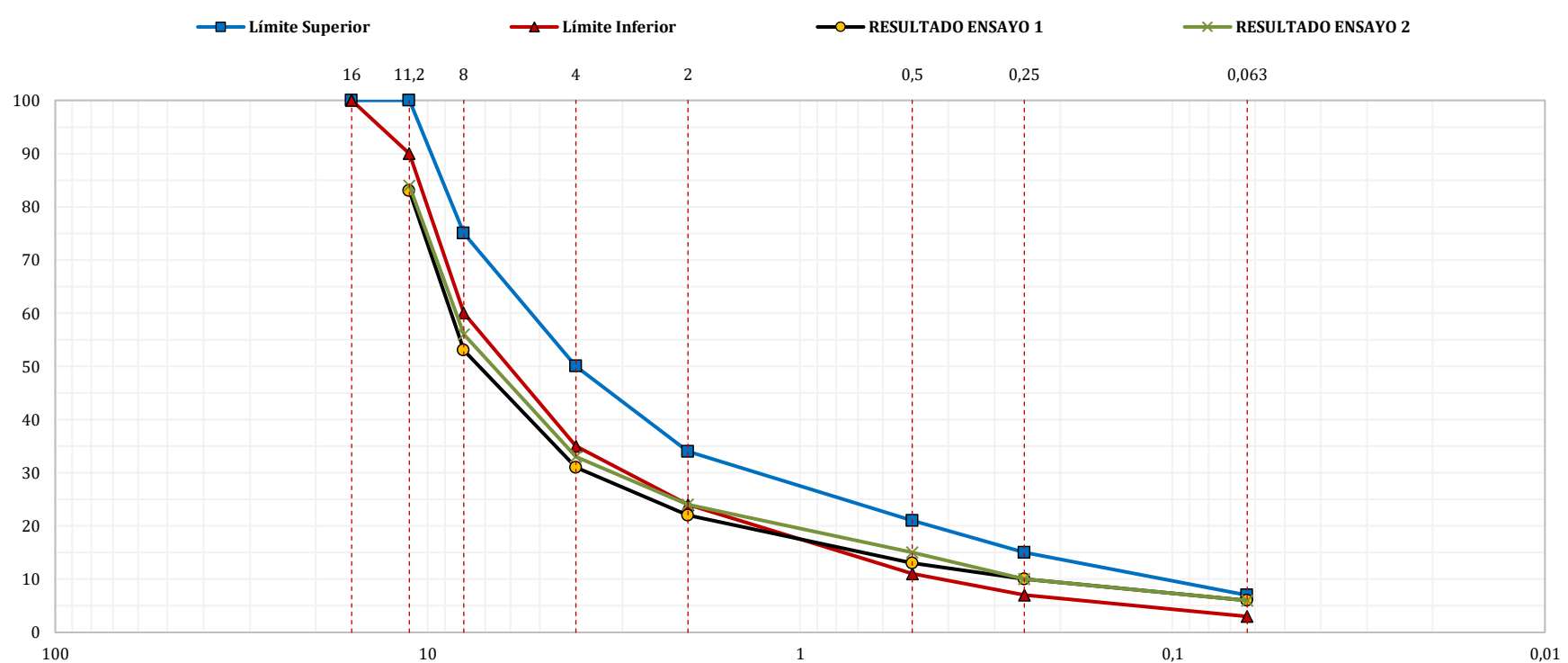
RESULTADOS ENSAYO 1

Abertura Tamiz (mm)	Masa Acumulada (g)	Masa Acumulada (%)	Masa Retenida (g)	Masa Que Pasa (%)	Límite Inferior (%)	Límite Superior (%)
16					100	100
11,2	341,60	17,2	58,78	83,0	90	100
8	928,30	46,7	434,10	53,0	60	75
4	1.371,70	69,1	947,80	31,0	35	50
2	1.539,50	77,6	1.194,00	22,0	24	34
0,5	1.720,20	86,6	491,00	13,0	11	21
0,25	1.777,50	89,6	1.592,00	10,0	7	15
0,063	1.863,70	93,9	1.750,00	6,0	3	7

RESULTADOS ENSAYO 2

Abertura Tamiz (mm)	Masa Acumulada (g)	Masa Acumulada (%)	Masa Retenida (g)	Masa Que Pasa (%)	Límite Inferior (%)	Límite Superior (%)
16					100	100
11,2	350,10	16,1	56,50	84,0	90	100
8	950,60	43,8	416,90	56,0	60	75
4	1.451,10	66,9	971,50	33,0	35	50
2	1.641,70	75,8	1.243,00	24,0	24	34
0,5	1.851,90	85,4	1.582,00	15,0	11	21
0,25	1.942,20	89,6	1.740,00	10,0	7	15
0,063	2.031,70	93,7	1.904,00	6,0	3	7

GRÁFICOS ENSAYOS 1 Y 2



Representación gráfica "Abertura del Tamiz (eje X ; representación semilogarítmica ; %) vs Masa Que Pasa (eje Y ; representación lineal ; %)".

ANÁLISIS DE RESULTADOS EILA 22

UNE-EN 12697-2:2015 y UNE-EN 12697-2:2015+A1:2022. Mezclas bituminosas. Métodos de ensayo. Parte 2: Determinación de la granulometría de las partículas.

GRÁFICOS GRANULOMÉTRICOS LABORATORIO 169

CONTENIDO DE LIGANTE SOLUBLE

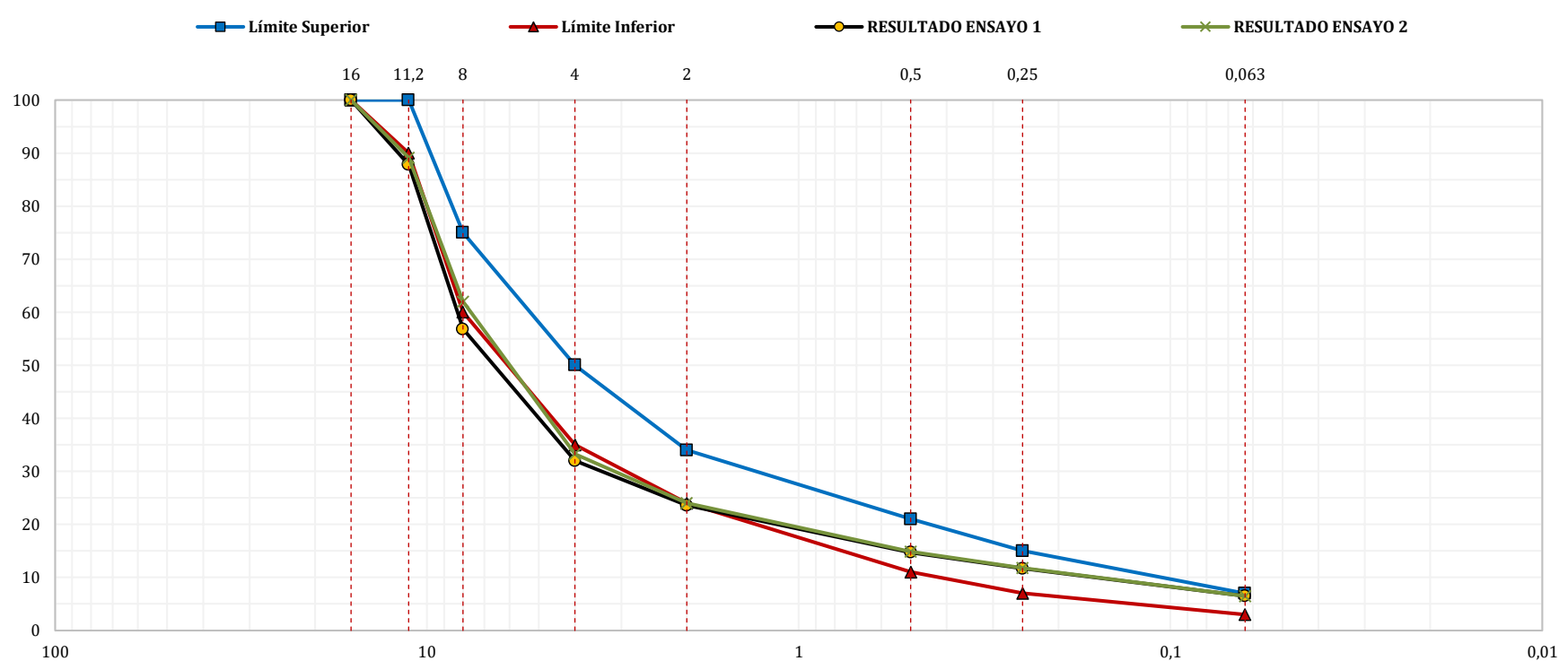
RESULTADOS ENSAYO 1

Abertura Tamiz (mm)	Masa Acumulada (g)	Masa Acumulada (%)	Masa Retenida (g)	Masa Que Pasa (%)	Límite Inferior (%)	Límite Superior (%)
16	0,00	0,0	0,00	100,0	100	100
11,2	138,60	12,2	138,60	87,8	90	100
8	491,70	43,2	353,10	56,8	60	75
4	774,20	68,0	282,50	32,0	35	50
2	869,80	76,4	95,60	23,6	24	34
0,5	971,60	85,3	101,80	14,7	11	21
0,25	1.006,30	88,3	34,70	11,7	7	15
0,063	1.064,60	93,5	58,30	6,5	3	7

RESULTADOS ENSAYO 2

Abertura Tamiz (mm)	Masa Acumulada (g)	Masa Acumulada (%)	Masa Retenida (g)	Masa Que Pasa (%)	Límite Inferior (%)	Límite Superior (%)
16	0,00	0,0	0,00	100,0	100	100
11,2	124,30	10,9	124,30	89,1	90	100
8	432,30	38,0	308,00	62,0	60	75
4	758,30	66,7	326,00	33,3	35	50
2	863,80	76,0	105,50	24,0	24	34
0,5	967,30	85,1	103,50	14,9	11	21
0,25	1.002,60	88,2	35,30	11,8	7	15
0,063	1.062,70	93,5	60,10	6,5	3	7

GRÁFICOS ENSAYOS 1 Y 2



Representación gráfica "Abertura del Tamiz (eje X ; representación semilogarítmica ; %) vs Masa Que Pasa (eje Y ; representación lineal ; %)".

ANÁLISIS DE RESULTADOS EILA 22

UNE-EN 12697-2:2015 y UNE-EN 12697-2:2015+A1:2022. Mezclas bituminosas. Métodos de ensayo. Parte 2: Determinación de la granulometría de las partículas.

GRÁFICOS GRANULOMÉTRICOS LABORATORIO 174

CONTENIDO DE LIGANTE SOLUBLE

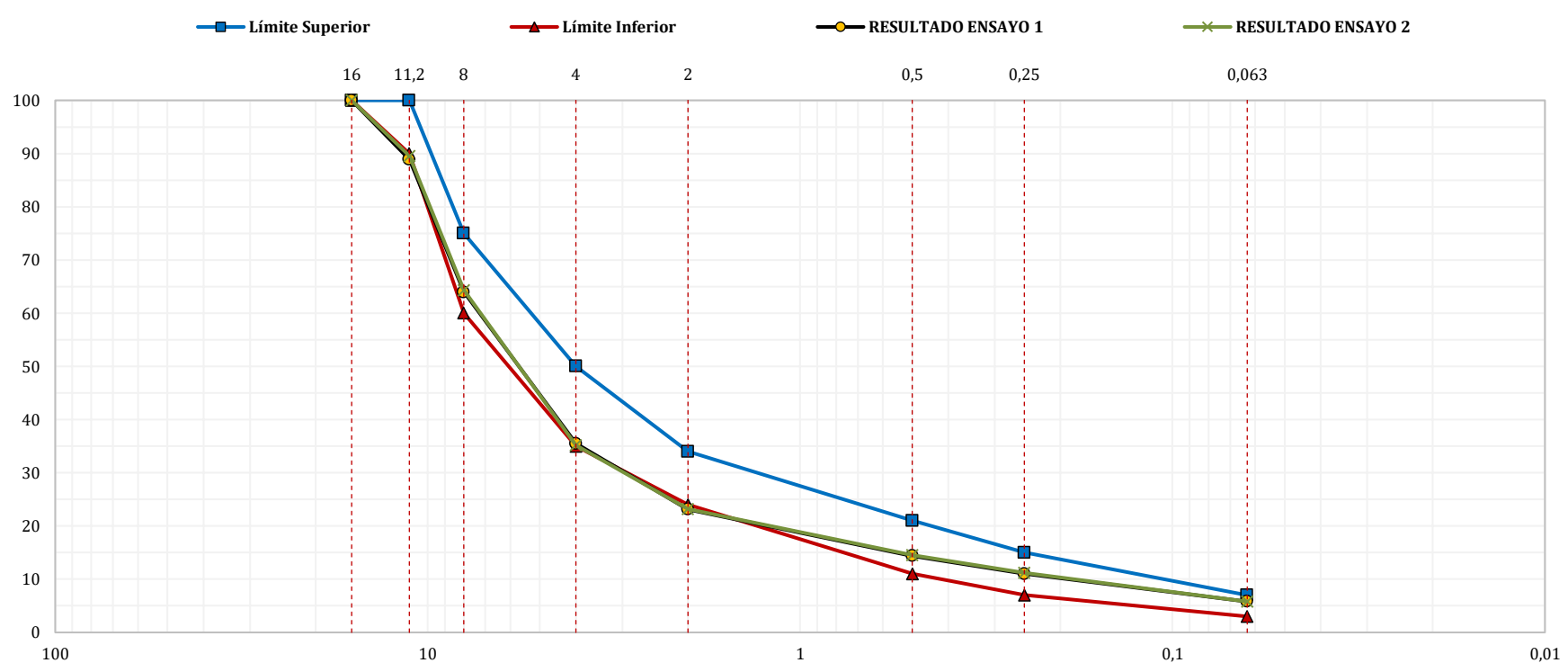
RESULTADOS ENSAYO 1

Abertura Tamiz (mm)	Masa Acumulada (g)	Masa Acumulada (%)	Masa Retenida (g)	Masa Que Pasa (%)	Límite Inferior (%)	Límite Superior (%)
16	1.191,80	100,0	0,00	100,0	100	100
11,2	1.059,20	88,9	132,60	88,9	90	100
8	762,40	64,0	296,80	64,0	60	75
4	423,00	35,5	339,40	35,5	35	50
2	275,40	23,1	147,60	23,1	24	34
0,5	171,60	14,4	103,80	14,4	11	21
0,25	131,40	11,0	40,20	11,0	7	15
0,063	69,10	5,8	62,60	5,8	3	7

RESULTADOS ENSAYO 2

Abertura Tamiz (mm)	Masa Acumulada (g)	Masa Acumulada (%)	Masa Retenida (g)	Masa Que Pasa (%)	Límite Inferior (%)	Límite Superior (%)
16	1.189,00	100,0	0,00	100,0	100	100
11,2	1.064,90	89,6	124,10	89,6	90	100
8	764,30	64,3	300,60	64,3	60	75
4	418,50	35,2	345,80	35,2	35	50
2	275,70	23,2	142,80	23,2	24	34
0,5	173,10	14,6	102,60	14,6	11	21
0,25	133,60	11,2	39,50	11,2	7	15
0,063	69,00	5,8	64,60	5,8	3	7

GRÁFICOS ENSAYOS 1 Y 2



Representación gráfica "Abertura del Tamiz (eje X ; representación semilogarítmica ; %) vs Masa Que Pasa (eje Y ; representación lineal ; %)".

ANÁLISIS DE RESULTADOS EILA 22

UNE-EN 12697-2:2015 y UNE-EN 12697-2:2015+A1:2022. Mezclas bituminosas. Métodos de ensayo. Parte 2: Determinación de la granulometría de las partículas.

GRÁFICOS GRANULOMÉTRICOS LABORATORIO 175

CONTENIDO DE LIGANTE SOLUBLE

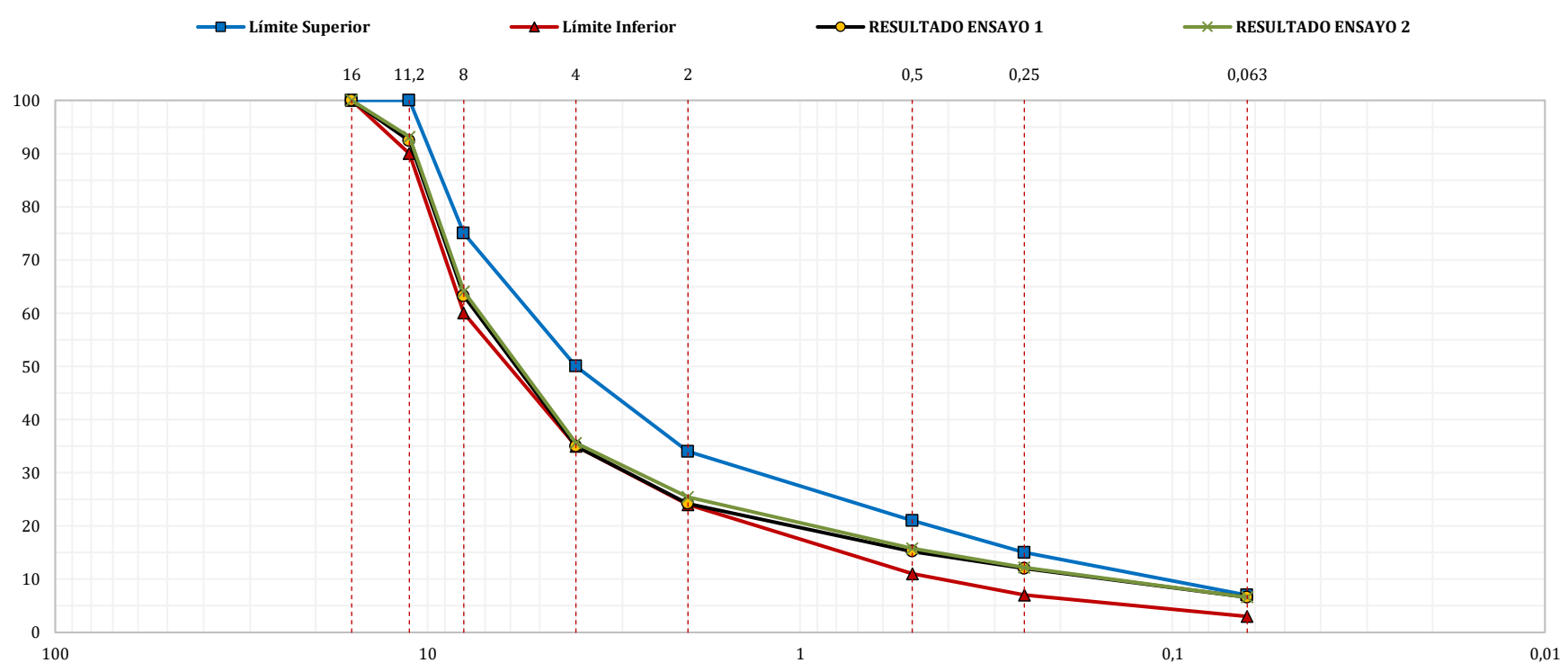
RESULTADOS ENSAYO 1

Abertura Tamiz (mm)	Masa Acumulada (g)	Masa Acumulada (%)	Masa Retenida (g)	Masa Que Pasa (%)	Límite Inferior (%)	Límite Superior (%)
16	0,00	0,0	0,00	100,0	100	100
11,2	87,00	7,6	87,00	92,4	90	100
8	419,90	36,8	332,90	63,2	60	75
4	742,00	65,0	322,00	35,0	35	50
2	864,90	75,8	122,90	24,2	24	34
0,5	968,00	84,8	103,20	15,2	11	21
0,25	1.004,30	88,0	36,20	12,0	7	15
0,063	1.066,10	93,4	61,80	6,6	3	7

RESULTADOS ENSAYO 2

Abertura Tamiz (mm)	Masa Acumulada (g)	Masa Acumulada (%)	Masa Retenida (g)	Masa Que Pasa (%)	Límite Inferior (%)	Límite Superior (%)
16	0,00	0,0	0,00	100,0	100	100
11,2	78,90	6,9	78,90	93,1	90	100
8	410,90	35,9	331,70	64,1	60	75
4	736,70	64,4	326,00	35,6	35	50
2	853,80	74,6	116,70	25,4	24	34
0,5	963,70	84,2	109,90	15,8	11	21
0,25	1.004,90	87,8	41,20	12,2	7	15
0,063	1.068,90	93,4	64,00	6,6	3	7

GRÁFICOS ENSAYOS 1 Y 2



Representación gráfica "Abertura del Tamiz (eje X ; representación semilogarítmica ; %) vs Masa Que Pasa (eje Y ; representación lineal ; %)".

ANÁLISIS DE RESULTADOS EILA 22

UNE-EN 12697-2:2015 y UNE-EN 12697-2:2015+A1:2022. Mezclas bituminosas. Métodos de ensayo. Parte 2: Determinación de la granulometría de las partículas.

GRÁFICOS GRANULOMÉTRICOS LABORATORIO 178

CONTENIDO DE LIGANTE SOLUBLE

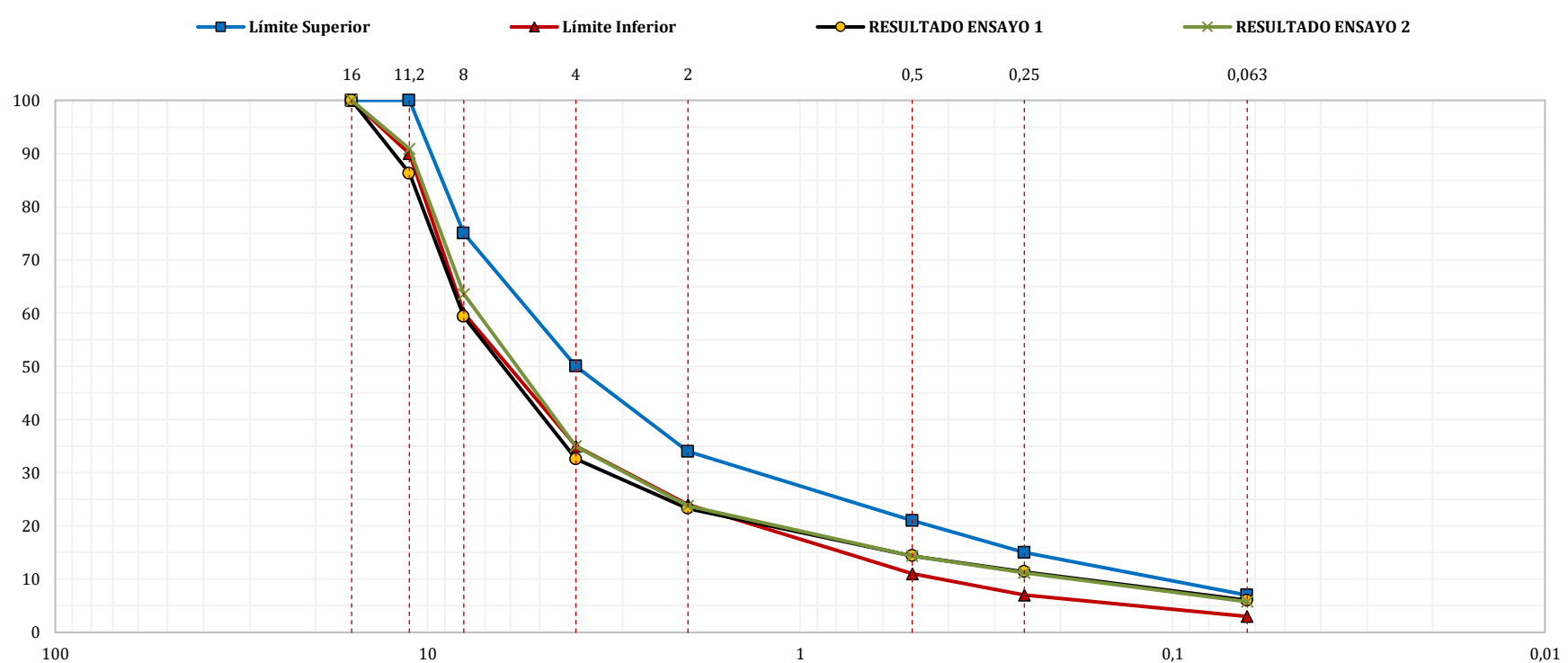
RESULTADOS ENSAYO 1

Abertura Tamiz (mm)	Masa Acumulada (g)	Masa Acumulada (%)	Masa Retenida (g)	Masa Que Pasa (%)	Límite Inferior (%)	Límite Superior (%)
16	0,00	0,0	0,00	100,0	100	100
11,2	161,30	13,7	161,30	86,3	90	100
8	477,70	40,7	316,40	59,3	60	75
4	791,90	67,4	314,20	32,6	35	50
2	900,90	76,7	109,00	23,3	24	34
0,5	1.005,50	85,6	104,60	14,4	11	21
0,25	1.040,70	88,6	35,20	11,4	7	15
0,063	1.103,80	94,0	63,10	6,0	3	7

RESULTADOS ENSAYO 2

Abertura Tamiz (mm)	Masa Acumulada (g)	Masa Acumulada (%)	Masa Retenida (g)	Masa Que Pasa (%)	Límite Inferior (%)	Límite Superior (%)
16	0,00	0,0	0,00	100,0	100	100
11,2	107,20	9,0	107,20	90,9	90	100
8	428,30	36,1	321,10	63,5	60	75
4	763,90	64,4	335,60	35,0	35	50
2	895,60	75,6	131,70	23,8	24	34
0,5	1.006,00	84,9	110,40	14,4	11	21
0,25	1.042,70	88,0	36,70	11,2	7	15
0,063	1.106,90	93,4	64,20	5,8	3	7

GRÁFICOS ENSAYOS 1 Y 2



Representación gráfica "Abertura del Tamiz (eje X ; representación semilogarítmica ; %) vs Masa Que Pasa (eje Y ; representación lineal ; %)".

ANÁLISIS DE RESULTADOS EILA 22

UNE-EN 12697-2:2015 y UNE-EN 12697-2:2015+A1:2022. Mezclas bituminosas. Métodos de ensayo. Parte 2: Determinación de la granulometría de las partículas.

GRÁFICOS GRANULOMÉTRICOS LABORATORIO 179

CONTENIDO DE LIGANTE SOLUBLE

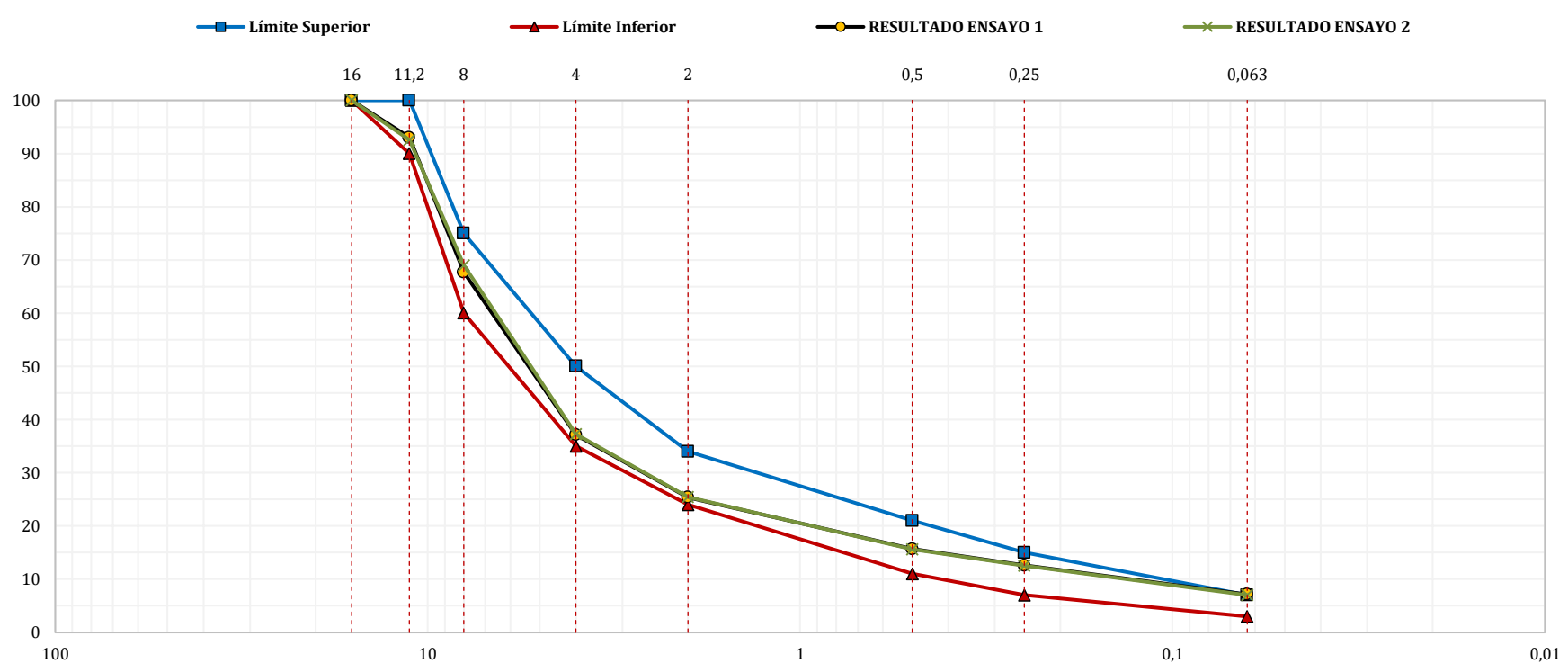
RESULTADOS ENSAYO 1

Abertura Tamiz (mm)	Masa Acumulada (g)	Masa Acumulada (%)	Masa Retenida (g)	Masa Que Pasa (%)	Límite Inferior (%)	Límite Superior (%)
16	0,00	0,0	0,00	100,0	100	100
11,2	79,44	7,0	79,44	93,0	90	100
8	368,72	32,4	289,28	67,7	60	75
4	716,77	62,9	348,05	37,1	35	50
2	850,55	74,6	133,78	25,4	24	34
0,5	961,16	84,3	110,61	15,7	11	21
0,25	996,36	87,4	35,20	12,6	7	15
0,063	1.058,36	92,9	62,00	7,2	3	7

RESULTADOS ENSAYO 2

Abertura Tamiz (mm)	Masa Acumulada (g)	Masa Acumulada (%)	Masa Retenida (g)	Masa Que Pasa (%)	Límite Inferior (%)	Límite Superior (%)
16	0,00	0,0	0,00	100,0	100	100
11,2	84,99	7,4	84,99	92,6	90	100
8	355,18	31,0	270,19	69,0	60	75
4	718,16	62,8	362,98	37,2	35	50
2	853,68	74,6	135,52	25,4	24	34
0,5	965,47	84,4	111,79	15,6	11	21
0,25	1.000,50	87,4	35,03	12,6	7	15
0,063	1.063,98	93,0	63,48	7,0	3	7

GRÁFICOS ENSAYOS 1 Y 2



Representación gráfica "Abertura del Tamiz (eje X ; representación semilogarítmica ; %) vs Masa Que Pasa (eje Y ; representación lineal ; %)".

ANÁLISIS DE RESULTADOS EILA 22

UNE-EN 12697-2:2015 y UNE-EN 12697-2:2015+A1:2022. Mezclas bituminosas. Métodos de ensayo. Parte 2: Determinación de la granulometría de las partículas.

GRÁFICOS GRANULOMÉTRICOS LABORATORIO 180

CONTENIDO DE LIGANTE SOLUBLE

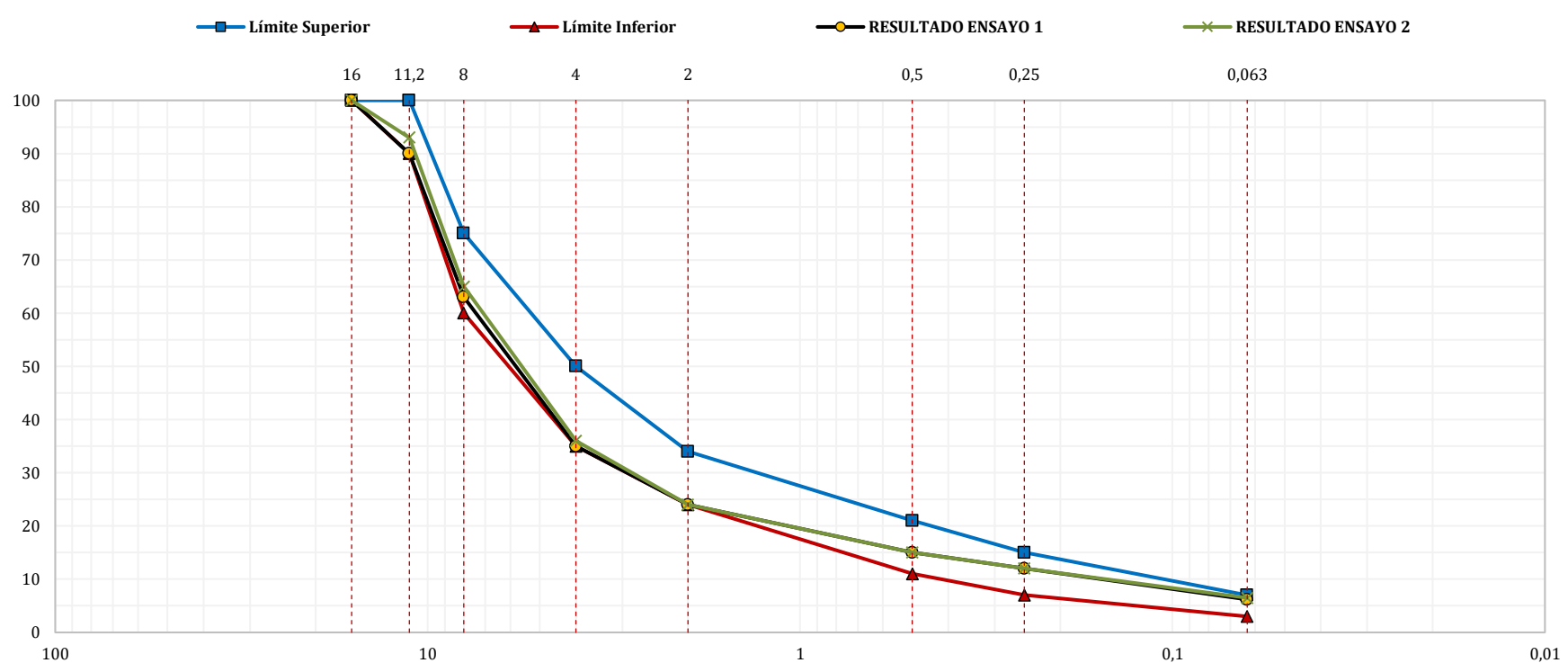
RESULTADOS ENSAYO 1

Abertura Tamiz (mm)	Masa Acumulada (g)	Masa Acumulada (%)	Masa Retenida (g)	Masa Que Pasa (%)	Límite Inferior (%)	Límite Superior (%)
16	0,00	0,0	0,00	100,0	100	100
11,2	114,85	9,7	114,85	90,0	90	100
8	442,89	37,3	328,04	63,0	60	75
4	770,87	65,0	327,98	35,0	35	50
2	900,47	75,9	129,60	24,0	24	34
0,5	1.010,09	85,1	109,62	15,0	11	21
0,25	1.047,98	88,3	37,89	12,0	7	15
0,063	1.113,21	93,8	65,23	6,2	3	7

RESULTADOS ENSAYO 2

Abertura Tamiz (mm)	Masa Acumulada (g)	Masa Acumulada (%)	Masa Retenida (g)	Masa Que Pasa (%)	Límite Inferior (%)	Límite Superior (%)
16	0,00	0,0	0,00	100,0	100	100
11,2	86,47	7,4	86,47	93,0	90	100
8	409,55	35,2	323,08	65,0	60	75
4	742,29	63,9	332,74	36,0	35	50
2	878,51	75,6	136,22	24,0	24	34
0,5	985,37	84,8	106,86	15,0	11	21
0,25	1.023,28	88,0	37,91	12,0	7	15
0,063	1.087,08	93,5	63,80	6,5	3	7

GRÁFICOS ENSAYOS 1 Y 2



Representación gráfica "Abertura del Tamiz (eje X ; representación semilogarítmica ; %) vs Masa Que Pasa (eje Y ; representación lineal ; %)".

ANÁLISIS DE RESULTADOS EILA 22

UNE-EN 12697-2:2015 y UNE-EN 12697-2:2015+A1:2022. Mezclas bituminosas. Métodos de ensayo. Parte 2: Determinación de la granulometría de las partículas.

GRÁFICOS GRANULOMÉTRICOS LABORATORIO 182

CONTENIDO DE LIGANTE SOLUBLE

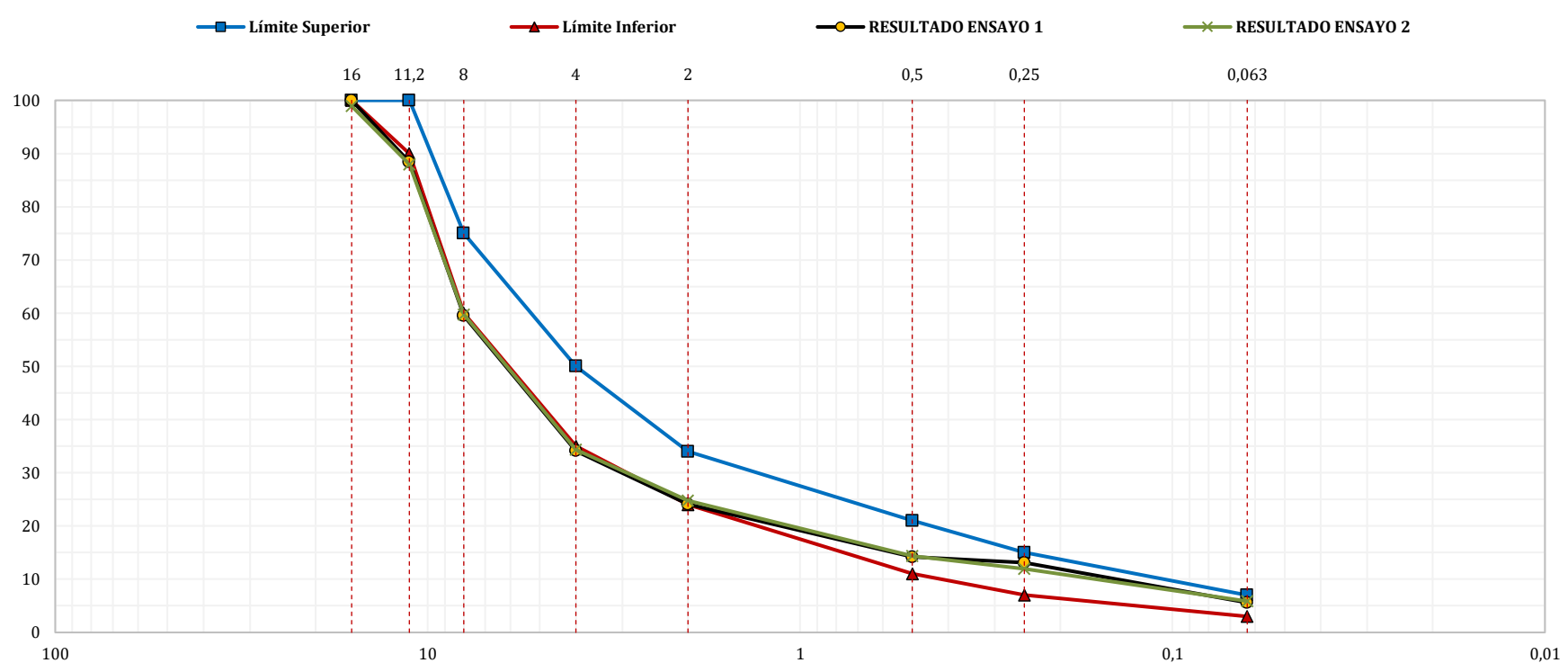
RESULTADOS ENSAYO 1

Abertura Tamiz (mm)	Masa Acumulada (g)	Masa Acumulada (%)	Masa Retenida (g)	Masa Que Pasa (%)	Límite Inferior (%)	Límite Superior (%)
16	0,00	0,0	0,00	100,0	100	100
11,2	114,00	11,6	114,00	88,4	90	100
8	398,00	40,5	284,00	59,5	60	75
4	647,86	65,9	249,86	34,1	35	50
2	746,17	75,9	98,31	24,1	24	34
0,5	843,50	85,8	97,33	14,2	11	21
0,25	854,31	86,9	10,81	13,1	7	15
0,063	928,00	94,4	73,69	5,6	3	7

RESULTADOS ENSAYO 2

Abertura Tamiz (mm)	Masa Acumulada (g)	Masa Acumulada (%)	Masa Retenida (g)	Masa Que Pasa (%)	Límite Inferior (%)	Límite Superior (%)
16	11,00	1,1	11,00	98,9	100	100
11,2	122,00	12,1	111,00	87,9	90	100
8	407,00	40,2	285,00	59,8	60	75
4	664,00	65,7	257,00	34,3	35	50
2	761,00	75,2	97,00	24,8	24	34
0,5	866,40	85,7	105,40	14,3	11	21
0,25	890,30	88,0	23,90	12,0	7	15
0,063	952,00	94,1	61,70	5,9	3	7

GRÁFICOS ENSAYOS 1 Y 2



Representación gráfica "Abertura del Tamiz (eje X ; representación semilogarítmica ; %) vs Masa Que Pasa (eje Y ; representación lineal ; %)".

ANÁLISIS DE RESULTADOS EILA 22

UNE-EN 12697-2:2015 y UNE-EN 12697-2:2015+A1:2022. Mezclas bituminosas. Métodos de ensayo. Parte 2: Determinación de la granulometría de las partículas.

GRÁFICOS GRANULOMÉTRICOS LABORATORIO 185

CONTENIDO DE LIGANTE SOLUBLE

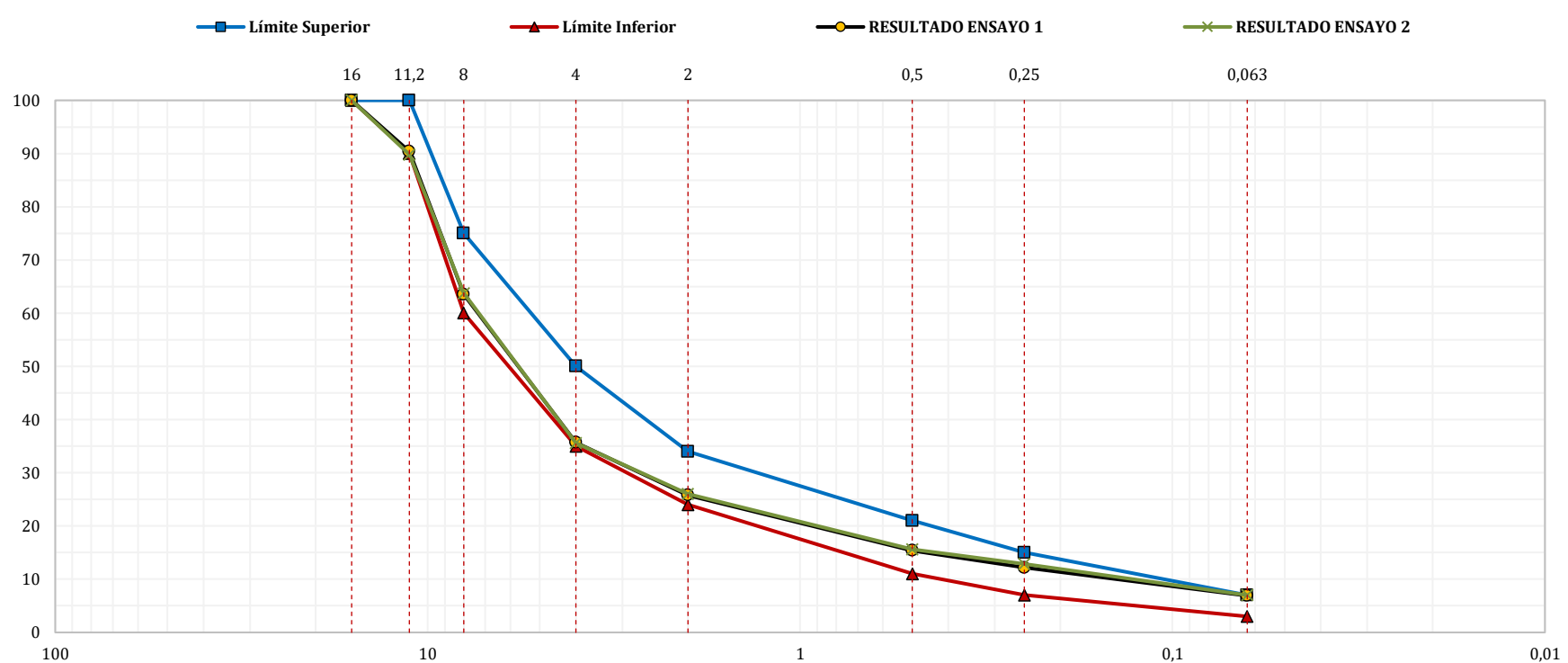
RESULTADOS ENSAYO 1

Abertura Tamiz (mm)	Masa Acumulada (g)	Masa Acumulada (%)	Masa Retenida (g)	Masa Que Pasa (%)	Límite Inferior (%)	Límite Superior (%)
16	0,00	0,0	1.141,00	100,0	100	100
11,2	109,00	9,6	1.032,00	90,4	90	100
8	416,00	36,5	725,00	63,5	60	75
4	733,00	64,3	408,00	35,7	35	50
2	847,00	74,2	294,00	25,8	24	34
0,5	965,00	84,6	176,00	15,4	11	21
0,25	1.002,00	87,8	139,00	12,2	7	15
0,063	1.063,00	93,1	78,00	6,9	3	7

RESULTADOS ENSAYO 2

Abertura Tamiz (mm)	Masa Acumulada (g)	Masa Acumulada (%)	Masa Retenida (g)	Masa Que Pasa (%)	Límite Inferior (%)	Límite Superior (%)
16	0,00	0,0	1.173,00	100,0	100	100
11,2	120,00	10,2	1.052,00	89,8	90	100
8	425,00	36,3	747,00	63,7	60	75
4	755,00	64,4	417,00	35,6	35	50
2	867,00	74,0	305,00	26,0	24	34
0,5	989,00	84,4	183,00	15,6	11	21
0,25	1.022,00	87,1	151,00	12,9	7	15
0,063	1.090,00	93,0	82,00	7,0	3	7

GRÁFICOS ENSAYOS 1 Y 2



Representación gráfica "Abertura del Tamiz (eje X ; representación semilogarítmica ; %) vs Masa Que Pasa (eje Y ; representación lineal ; %)".

ANÁLISIS DE RESULTADOS EILA 22

UNE-EN 12697-2:2015 y UNE-EN 12697-2:2015+A1:2022. Mezclas bituminosas. Métodos de ensayo. Parte 2: Determinación de la granulometría de las partículas.

GRÁFICOS GRANULOMÉTRICOS LABORATORIO 195

CONTENIDO DE LIGANTE SOLUBLE

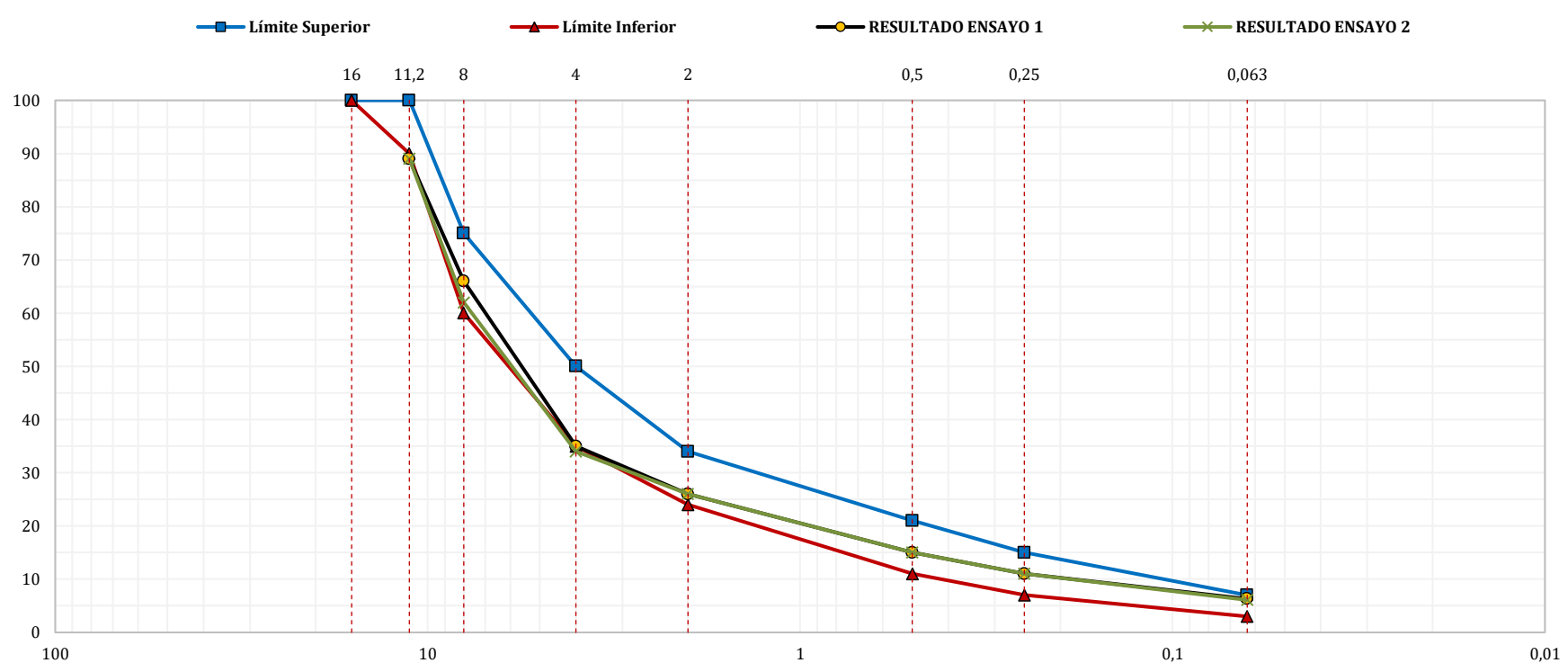
RESULTADOS ENSAYO 1

Abertura Tamiz (mm)	Masa Acumulada (g)	Masa Acumulada (%)	Masa Retenida (g)	Masa Que Pasa (%)	Límite Inferior (%)	Límite Superior (%)
16					100	100
11,2	121,00		121,00	89,0	90	100
8	370,80		249,80	66,0	60	75
4	718,60		347,80	35,0	35	50
2	818,80		100,20	26,0	24	34
0,5	939,50		120,70	15,0	11	21
0,25	979,80		40,30	11,0	7	15
0,063	1.036,40		56,60	6,3	3	7

RESULTADOS ENSAYO 2

Abertura Tamiz (mm)	Masa Acumulada (g)	Masa Acumulada (%)	Masa Retenida (g)	Masa Que Pasa (%)	Límite Inferior (%)	Límite Superior (%)
16	0,00				100	100
11,2	118,10		118,10	89,0	90	100
8	429,30		311,20	62,0	60	75
4	736,70		307,40	34,0	35	50
2	832,00		95,30	26,0	24	34
0,5	954,70		122,70	15,0	11	21
0,25	997,50		42,80	11,0	7	15
0,063	1.053,20		55,60	6,1	3	7

GRÁFICOS ENSAYOS 1 Y 2



Representación gráfica "Abertura del Tamiz (eje X ; representación semilogarítmica ; %) vs Masa Que Pasa (eje Y ; representación lineal ; %)".

ANÁLISIS DE RESULTADOS EILA 22

UNE-EN 12697-2:2015 y UNE-EN 12697-2:2015+A1:2022. Mezclas bituminosas. Métodos de ensayo. Parte 2: Determinación de la granulometría de las partículas.

GRÁFICOS GRANULOMÉTRICOS LABORATORIO 199

CONTENIDO DE LIGANTE SOLUBLE

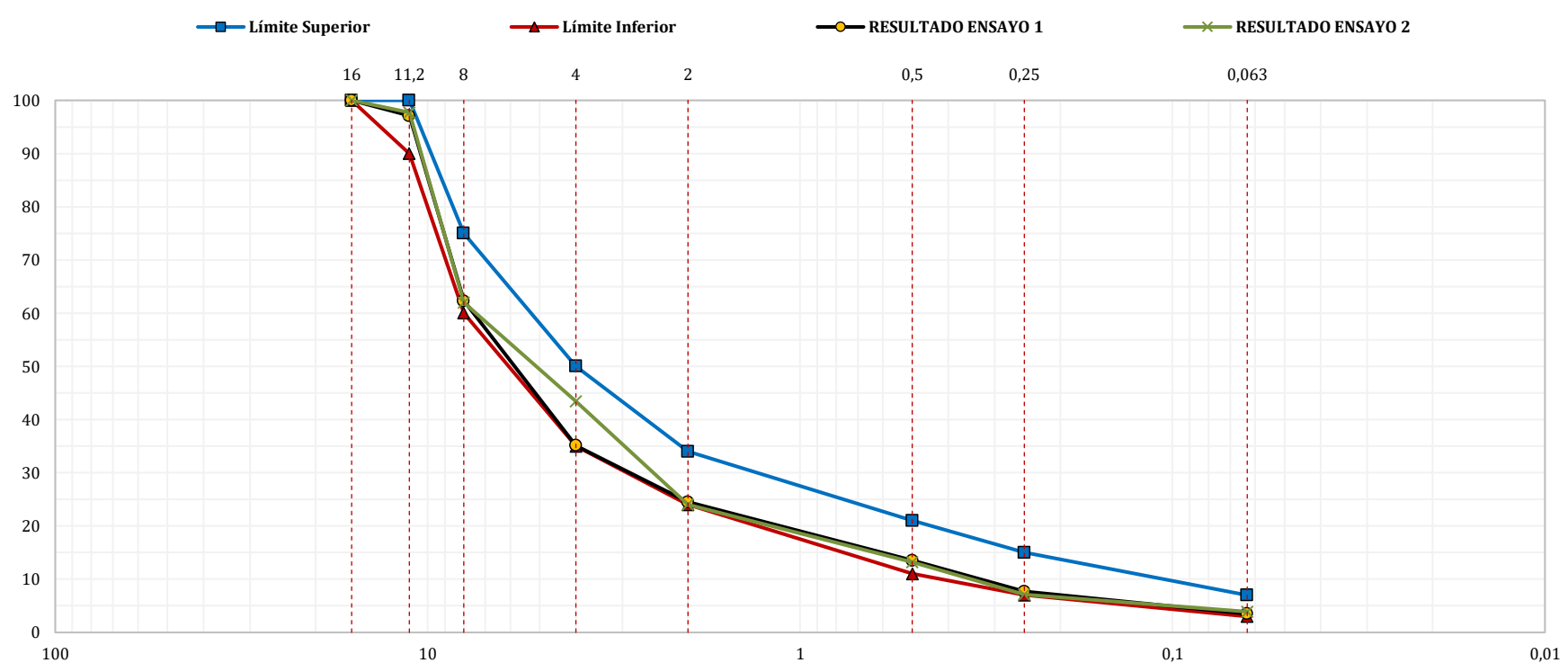
RESULTADOS ENSAYO 1

Abertura Tamiz (mm)	Masa Acumulada (g)	Masa Acumulada (%)	Masa Retenida (g)	Masa Que Pasa (%)	Límite Inferior (%)	Límite Superior (%)
16	0,00	0,0	0,00	100,0	100	100
11,2	32,00	2,9	32,00	97,1	90	100
8	426,00	37,8	394,00	62,3	60	75
4	733,00	64,9	306,00	35,1	35	50
2	852,00	75,5	120,00	24,5	24	34
0,5	977,00	86,5	125,00	13,5	11	21
0,25	1.054,00	92,3	65,00	7,7	7	15
0,063	1.089,00	96,5	48,00	3,5	3	7

RESULTADOS ENSAYO 2

Abertura Tamiz (mm)	Masa Acumulada (g)	Masa Acumulada (%)	Masa Retenida (g)	Masa Que Pasa (%)	Límite Inferior (%)	Límite Superior (%)
16	0,00	0,0	0,00	100,0	100	100
11,2	26,00	2,3	33,00	97,7	90	100
8	432,00	38,0	406,00	62,0	60	75
4	722,00	63,6	290,00	43,4	35	50
2	864,00	76,0	142,00	24,0	24	34
0,5	986,00	86,8	146,00	13,2	11	21
0,25	1.056,00	92,9	70,00	7,1	7	15
0,063	1.092,00	96,1	36,00	3,9	3	7

GRÁFICOS ENSAYOS 1 Y 2



Representación gráfica "Abertura del Tamiz (eje X ; representación semilogarítmica ; %) vs Masa Que Pasa (eje Y ; representación lineal ; %)".

ANÁLISIS DE RESULTADOS EILA 22

UNE-EN 12697-2:2015 y UNE-EN 12697-2:2015+A1:2022. Mezclas bituminosas. Métodos de ensayo. Parte 2: Determinación de la granulometría de las partículas.

GRÁFICOS GRANULOMÉTRICOS LABORATORIO 206

CONTENIDO DE LIGANTE SOLUBLE

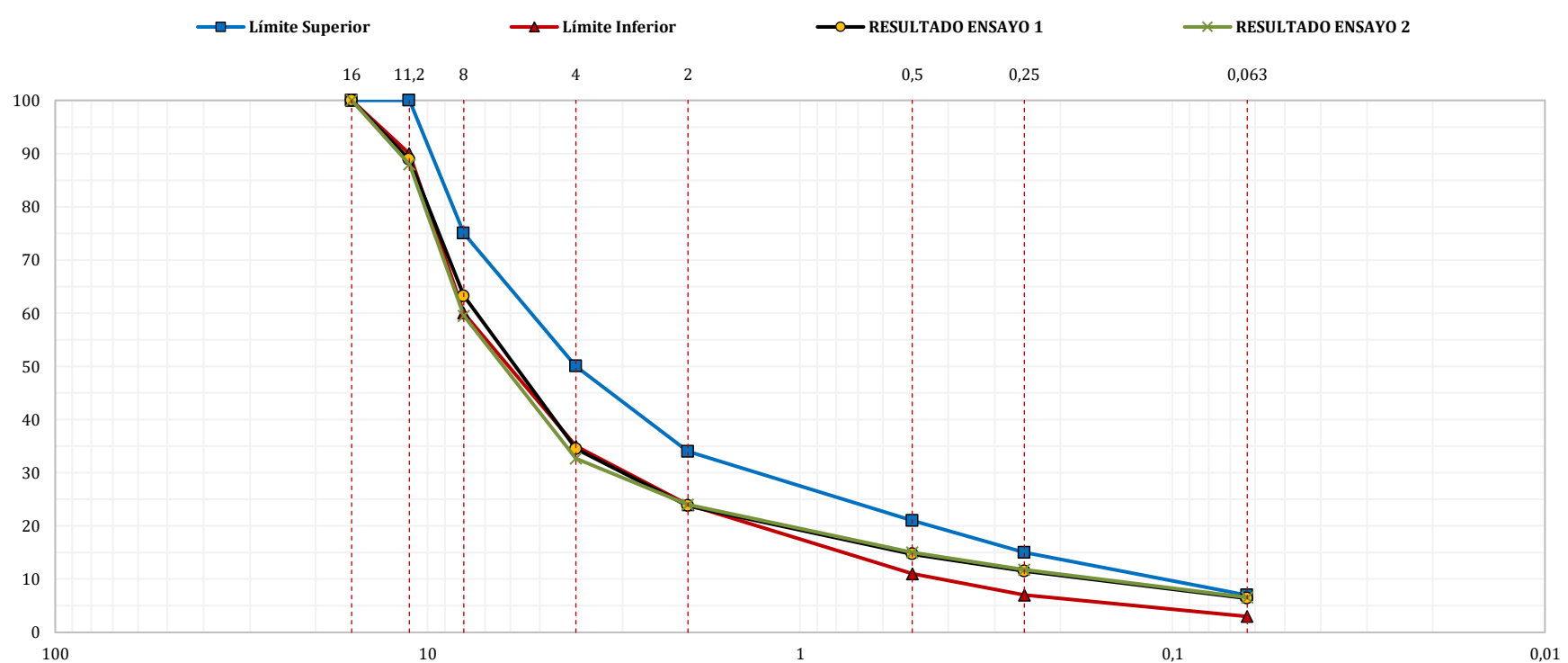
RESULTADOS ENSAYO 1

Abertura Tamiz (mm)	Masa Acumulada (g)	Masa Acumulada (%)	Masa Retenida (g)	Masa Que Pasa (%)	Límite Inferior (%)	Límite Superior (%)
16	0,00	0,0	0,00	100,0	100	100
11,2	138,10	11,1	138,10	88,9	90	100
8	459,50	36,8	321,40	63,2	60	75
4	817,30	65,5	357,80	34,5	35	50
2	950,90	76,2	133,60	23,8	24	34
0,5	1.063,80	85,3	112,90	14,7	11	21
0,25	1.104,30	88,5	40,50	11,5	7	15
0,063	1.167,90	93,6	63,60	6,4	3	7

RESULTADOS ENSAYO 2

Abertura Tamiz (mm)	Masa Acumulada (g)	Masa Acumulada (%)	Masa Retenida (g)	Masa Que Pasa (%)	Límite Inferior (%)	Límite Superior (%)
16	0,00	0,0	0,00	100,0	100	100
11,2	150,90	12,0	150,90	88,0	90	100
8	509,40	40,5	358,50	59,5	60	75
4	846,20	67,3	336,80	32,7	35	50
2	954,80	76,0	108,60	24,0	24	34
0,5	1.067,60	84,9	112,80	15,1	11	21
0,25	1.108,80	88,2	41,20	11,8	7	15
0,063	1.174,20	93,4	65,40	6,6	3	7

GRÁFICOS ENSAYOS 1 Y 2



Representación gráfica "Abertura del Tamiz (eje X ; representación semilogarítmica ; %) vs Masa Que Pasa (eje Y ; representación lineal ; %)".

ANÁLISIS DE RESULTADOS EILA 22

UNE-EN 12697-2:2015 y UNE-EN 12697-2:2015+A1:2022. Mezclas bituminosas. Métodos de ensayo. Parte 2: Determinación de la granulometría de las partículas.

GRÁFICOS GRANULOMÉTRICOS LABORATORIO 208

CONTENIDO DE LIGANTE SOLUBLE

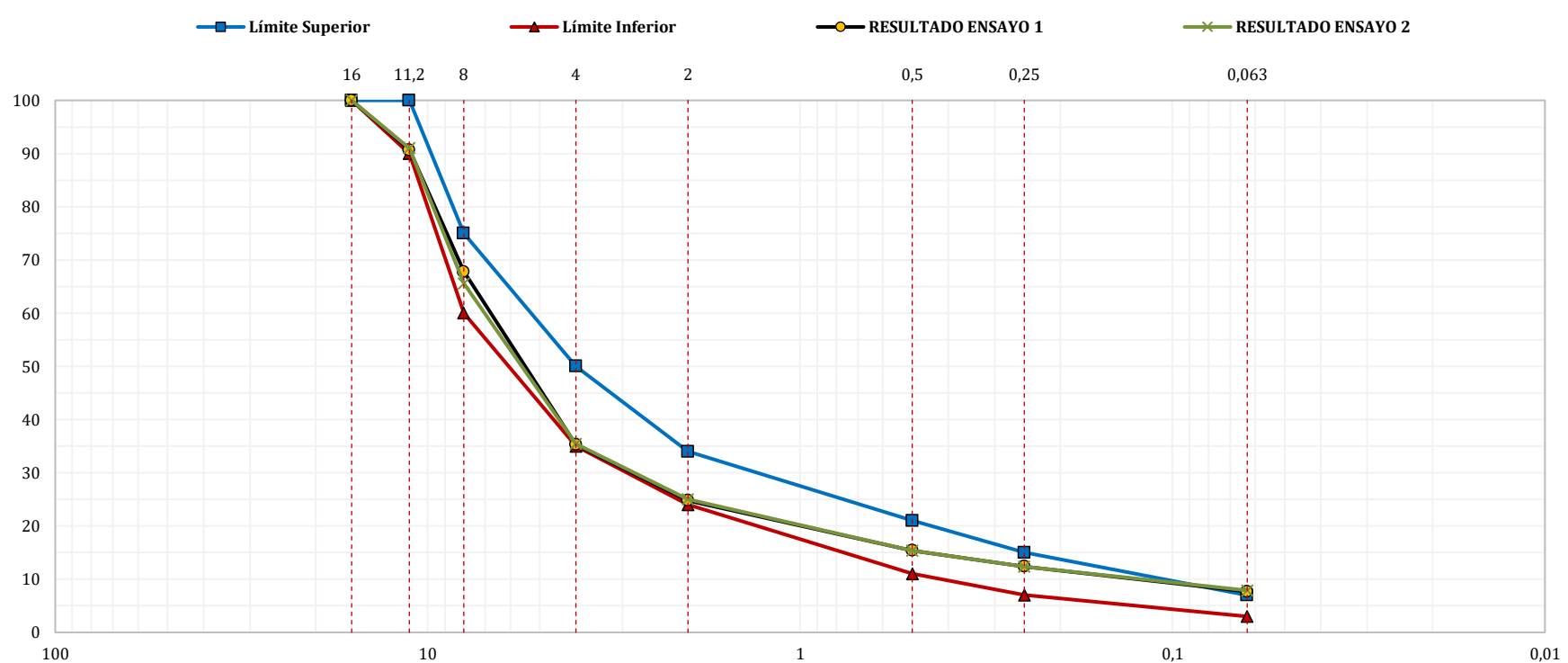
RESULTADOS ENSAYO 1

Abertura Tamiz (mm)	Masa Acumulada (g)	Masa Acumulada (%)	Masa Retenida (g)	Masa Que Pasa (%)	Límite Inferior (%)	Límite Superior (%)
16	0,00	0,0	0,00	100,0	100	100
11,2	106,80	9,3	106,80	90,7	90	100
8	370,40	32,2	263,60	67,8	60	75
4	743,20	64,7	372,80	35,3	35	50
2	864,40	75,2	121,20	24,8	24	34
0,5	971,80	84,6	107,40	15,4	11	21
0,25	1.006,60	87,6	34,80	12,4	7	15
0,063	1.061,00	92,3	54,40	7,7	3	7

RESULTADOS ENSAYO 2

Abertura Tamiz (mm)	Masa Acumulada (g)	Masa Acumulada (%)	Masa Retenida (g)	Masa Que Pasa (%)	Límite Inferior (%)	Límite Superior (%)
16	0,00	0,0	0,00	100,0	100	100
11,2	103,70	9,0	103,70	91,0	90	100
8	394,50	34,4	290,80	65,6	60	75
4	741,00	64,6	346,50	35,4	35	50
2	860,80	75,0	119,80	25,0	24	34
0,5	970,60	84,6	109,80	15,4	11	21
0,25	1.005,60	87,6	35,00	12,4	7	15
0,063	1.056,80	92,1	51,20	7,9	3	7

GRÁFICOS ENSAYOS 1 Y 2



Representación gráfica "Abertura del Tamiz (eje X ; representación semilogarítmica ; %) vs Masa Que Pasa (eje Y ; representación lineal ; %)".

ANÁLISIS DE RESULTADOS EILA 22

UNE-EN 12697-2:2015 y UNE-EN 12697-2:2015+A1:2022. Mezclas bituminosas. Métodos de ensayo. Parte 2: Determinación de la granulometría de las partículas.

GRÁFICOS GRANULOMÉTRICOS LABORATORIO 210

CONTENIDO DE LIGANTE SOLUBLE

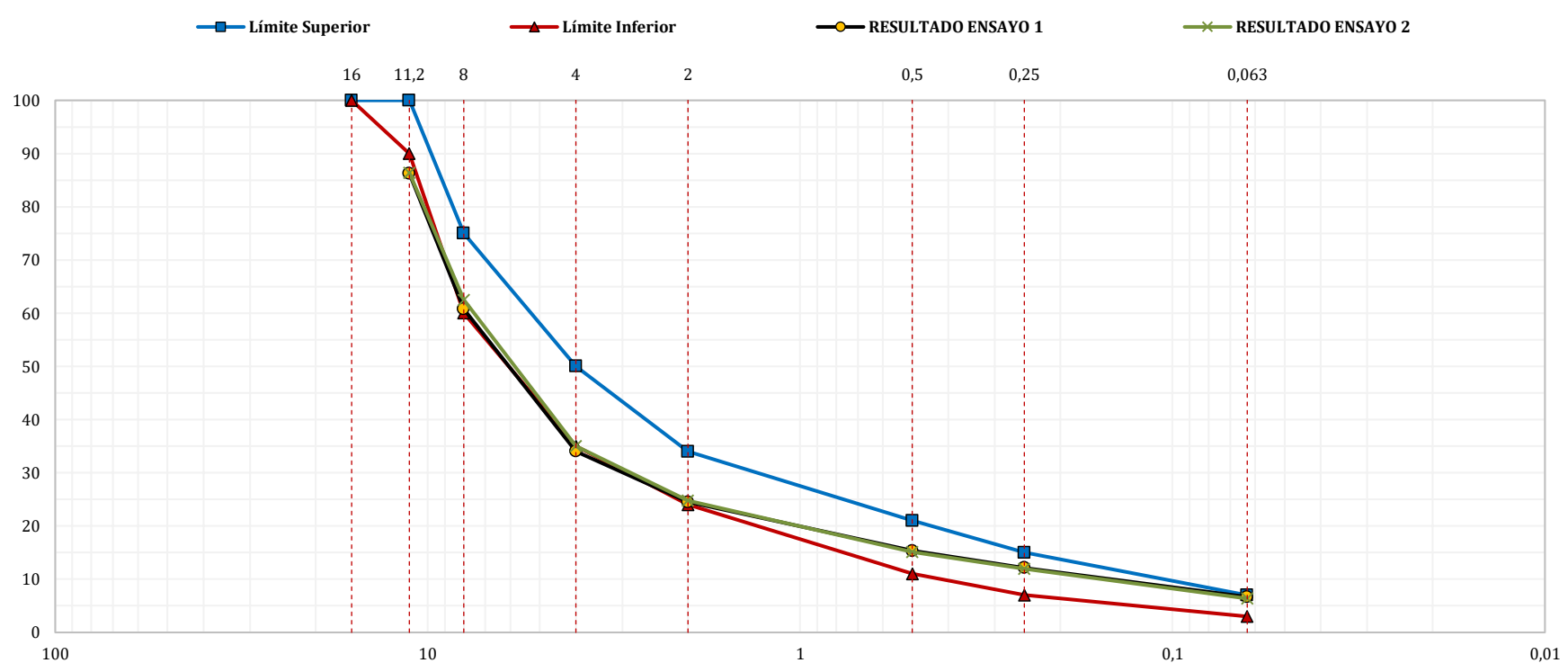
RESULTADOS ENSAYO 1

Abertura Tamiz (mm)	Masa Acumulada (g)	Masa Acumulada (%)	Masa Retenida (g)	Masa Que Pasa (%)	Límite Inferior (%)	Límite Superior (%)
16					100	100
11,2	157,39	13,8	157,39	86,2	90	100
8	449,30	39,3	291,91	60,7	60	75
4	755,26	66,0	305,96	34,0	35	50
2	863,99	75,5	108,73	24,5	24	34
0,5	968,78	84,6	104,79	15,4	11	21
0,25	1.005,39	87,8	36,61	12,2	7	15
0,063	1.068,06	93,3	62,67	6,7	3	7

RESULTADOS ENSAYO 2

Abertura Tamiz (mm)	Masa Acumulada (g)	Masa Acumulada (%)	Masa Retenida (g)	Masa Que Pasa (%)	Límite Inferior (%)	Límite Superior (%)
16					100	100
11,2	155,10	13,6	155,10	86,4	90	100
8	428,28	37,5	273,18	62,5	60	75
4	741,36	65,0	313,08	35,0	35	50
2	858,58	75,2	117,22	24,8	24	34
0,5	968,24	84,8	109,66	15,2	11	21
0,25	1.005,06	88,1	36,82	11,9	7	15
0,063	1.068,55	93,6	63,49	6,4	3	7

GRÁFICOS ENSAYOS 1 Y 2



Representación gráfica "Abertura del Tamiz (eje X ; representación semilogarítmica ; %) vs Masa Que Pasa (eje Y ; representación lineal ; %)".

ANÁLISIS DE RESULTADOS EILA 22

UNE-EN 12697-2:2015 y UNE-EN 12697-2:2015+A1:2022. Mezclas bituminosas. Métodos de ensayo. Parte 2: Determinación de la granulometría de las partículas.

GRÁFICOS GRANULOMÉTRICOS LABORATORIO 212

CONTENIDO DE LIGANTE SOLUBLE

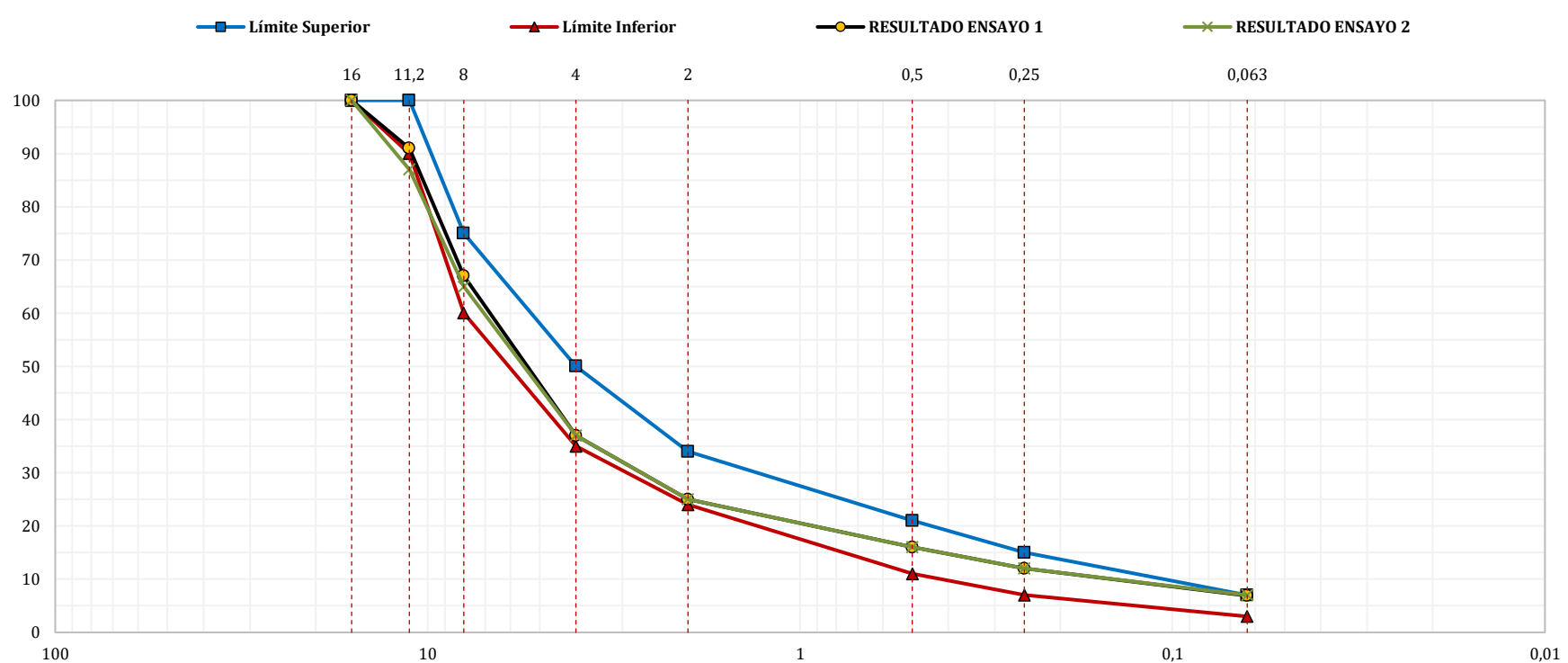
RESULTADOS ENSAYO 1

Abertura Tamiz (mm)	Masa Acumulada (g)	Masa Acumulada (%)	Masa Retenida (g)	Masa Que Pasa (%)	Límite Inferior (%)	Límite Superior (%)
16	0,00	0,0	0,00	100,0	100	100
11,2	107,60	9,2	107,60	91,0	90	100
8	388,50	33,2	281,00	67,0	60	75
4	738,00	63,0	350,00	37,0	35	50
2	837,90	74,6	136,00	25,0	24	34
0,5	989,00	84,5	115,00	16,0	11	21
0,25	1.026,40	87,7	37,00	12,0	7	15
0,063	1.090,30	93,1	64,00	6,9	3	7

RESULTADOS ENSAYO 2

Abertura Tamiz (mm)	Masa Acumulada (g)	Masa Acumulada (%)	Masa Retenida (g)	Masa Que Pasa (%)	Límite Inferior (%)	Límite Superior (%)
16	0,00	0,0	0,00	100,0	100	100
11,2	148,30	12,9	148,30	87,0	90	100
8	408,40	35,5	260,10	65,0	60	75
4	730,80	63,4	322,40	37,0	35	50
2	862,10	74,8	131,30	25,0	24	34
0,5	972,50	84,4	110,50	16,0	11	21
0,25	1.008,70	87,6	36,20	12,0	7	15
0,063	1.071,10	93,0	62,30	7,0	3	7

GRÁFICOS ENSAYOS 1 Y 2



Representación gráfica "Abertura del Tamiz (eje X ; representación semilogarítmica ; %) vs Masa Que Pasa (eje Y ; representación lineal ; %)".

ANÁLISIS DE RESULTADOS EILA 22

UNE-EN 12697-2:2015 y UNE-EN 12697-2:2015+A1:2022. Mezclas bituminosas. Métodos de ensayo. Parte 2: Determinación de la granulometría de las partículas.

GRÁFICOS GRANULOMÉTRICOS LABORATORIO 218

CONTENIDO DE LIGANTE SOLUBLE

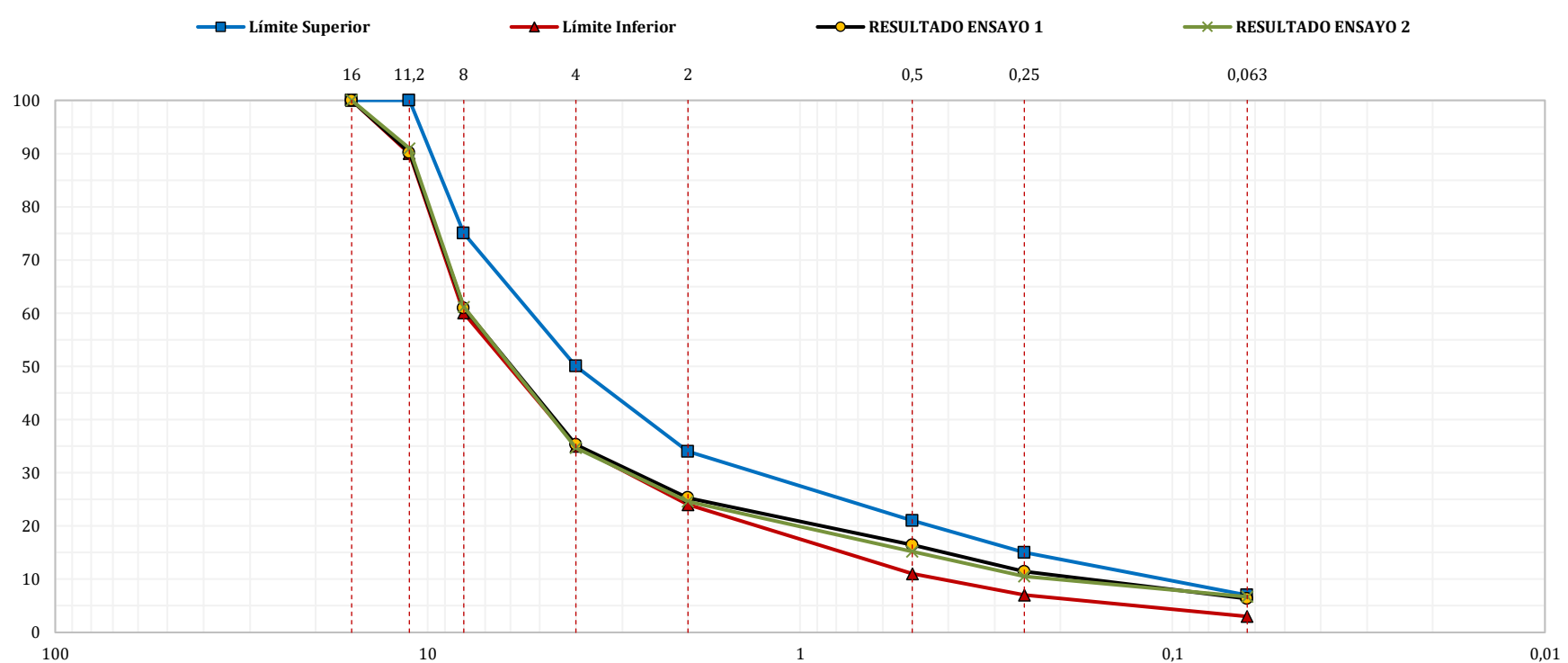
RESULTADOS ENSAYO 1

Abertura Tamiz (mm)	Masa Acumulada (g)	Masa Acumulada (%)	Masa Retenida (g)	Masa Que Pasa (%)	Límite Inferior (%)	Límite Superior (%)
16	0,00	0,0	0,00	100,0	100	100
11,2	112,09	9,8	112,09	90,2	90	100
8	445,67	39,0	333,58	61,0	60	75
4	739,18	64,7	293,51	35,3	35	50
2	853,17	74,7	113,99	25,3	24	34
0,5	954,69	83,6	101,52	16,4	11	21
0,25	1.011,75	88,6	57,06	11,4	7	15
0,063	1.069,79	93,7	58,04	6,4	3	7

RESULTADOS ENSAYO 2

Abertura Tamiz (mm)	Masa Acumulada (g)	Masa Acumulada (%)	Masa Retenida (g)	Masa Que Pasa (%)	Límite Inferior (%)	Límite Superior (%)
16	0,00	0,0	0,00	100,0	100	100
11,2	103,27	9,0	103,27	91,0	90	100
8	445,50	38,9	342,23	61,1	60	75
4	748,57	65,3	303,07	34,7	35	50
2	864,16	75,4	281,84	24,6	24	34
0,5	971,57	84,8	174,43	15,2	11	21
0,25	1.025,07	89,5	51,16	10,6	7	15
0,063	1.069,18	93,3	44,11	6,7	3	7

GRÁFICOS ENSAYOS 1 Y 2



Representación gráfica "Abertura del Tamiz (eje X ; representación semilogarítmica ; %) vs Masa Que Pasa (eje Y ; representación lineal ; %)".

ANÁLISIS DE RESULTADOS EILA 22

UNE-EN 12697-2:2015 y UNE-EN 12697-2:2015+A1:2022. Mezclas bituminosas. Métodos de ensayo. Parte 2: Determinación de la granulometría de las partículas.

GRÁFICOS GRANULOMÉTRICOS LABORATORIO 220

CONTENIDO DE LIGANTE SOLUBLE

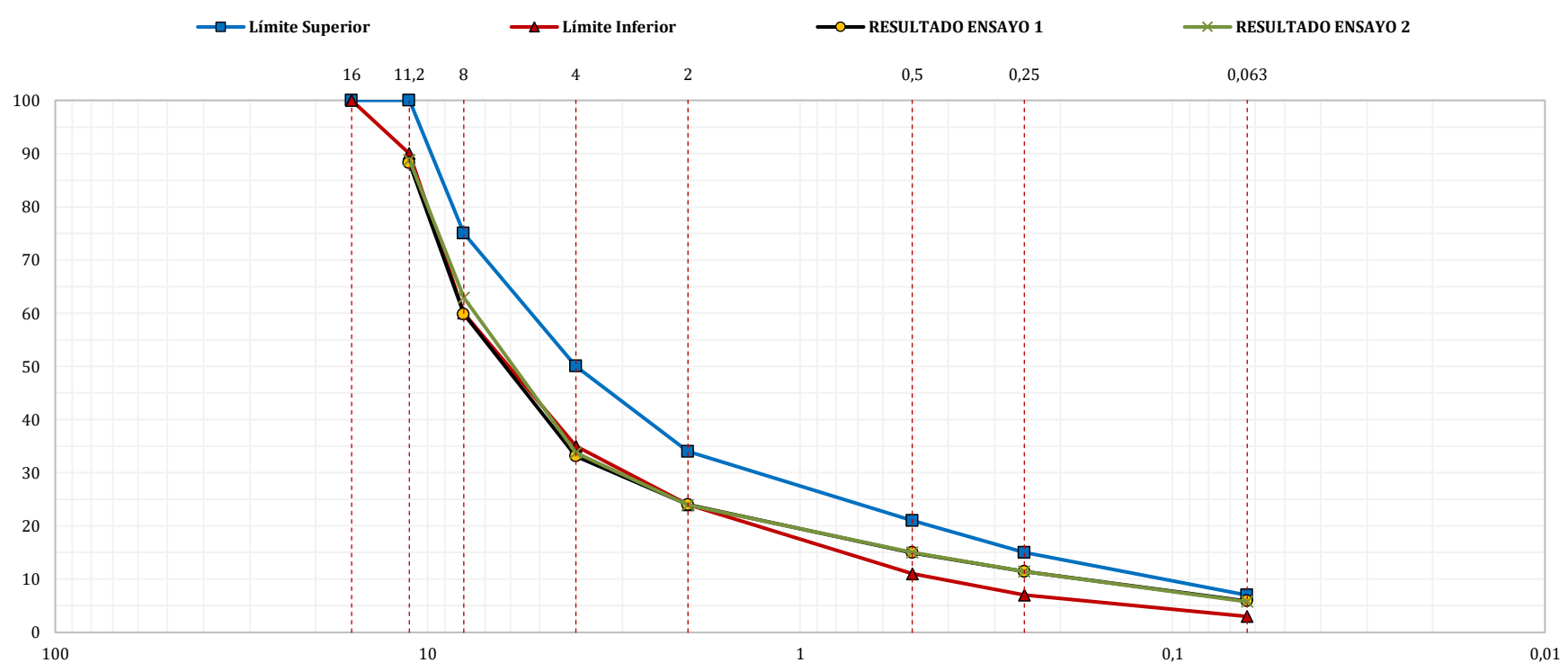
RESULTADOS ENSAYO 1

Abertura Tamiz (mm)	Masa Acumulada (g)	Masa Acumulada (%)	Masa Retenida (g)	Masa Que Pasa (%)	Límite Inferior (%)	Límite Superior (%)
16					100	100
11,2	147,50	11,7	147,50	88,3	90	100
8	505,40	40,2	357,90	59,8	60	75
4	841,20	66,9	335,80	33,1	35	50
2	955,80	76,0	114,60	24,0	24	34
0,5	1.069,00	85,0	113,20	15,0	11	21
0,25	1.113,80	88,6	44,80	11,4	7	15
0,063	1.183,60	94,1	69,80	5,9	3	7

RESULTADOS ENSAYO 2

Abertura Tamiz (mm)	Masa Acumulada (g)	Masa Acumulada (%)	Masa Retenida (g)	Masa Que Pasa (%)	Límite Inferior (%)	Límite Superior (%)
16					100	100
11,2	113,10	11,2	113,10	88,8	90	100
8	375,50	37,1	262,40	62,9	60	75
4	670,00	66,2	294,50	33,8	35	50
2	770,00	76,1	100,00	23,9	24	34
0,5	860,20	85,0	90,20	15,0	11	21
0,25	896,20	88,6	36,00	11,4	7	15
0,063	953,70	94,2	57,50	5,8	3	7

GRÁFICOS ENSAYOS 1 Y 2



Representación gráfica "Abertura del Tamiz (eje X ; representación semilogarítmica ; %) vs Masa Que Pasa (eje Y ; representación lineal ; %)".

ANÁLISIS DE RESULTADOS EILA 22

UNE-EN 12697-2:2015 y UNE-EN 12697-2:2015+A1:2022. Mezclas bituminosas. Métodos de ensayo. Parte 2: Determinación de la granulometría de las partículas.

GRÁFICOS GRANULOMÉTRICOS LABORATORIO 225

CONTENIDO DE LIGANTE SOLUBLE

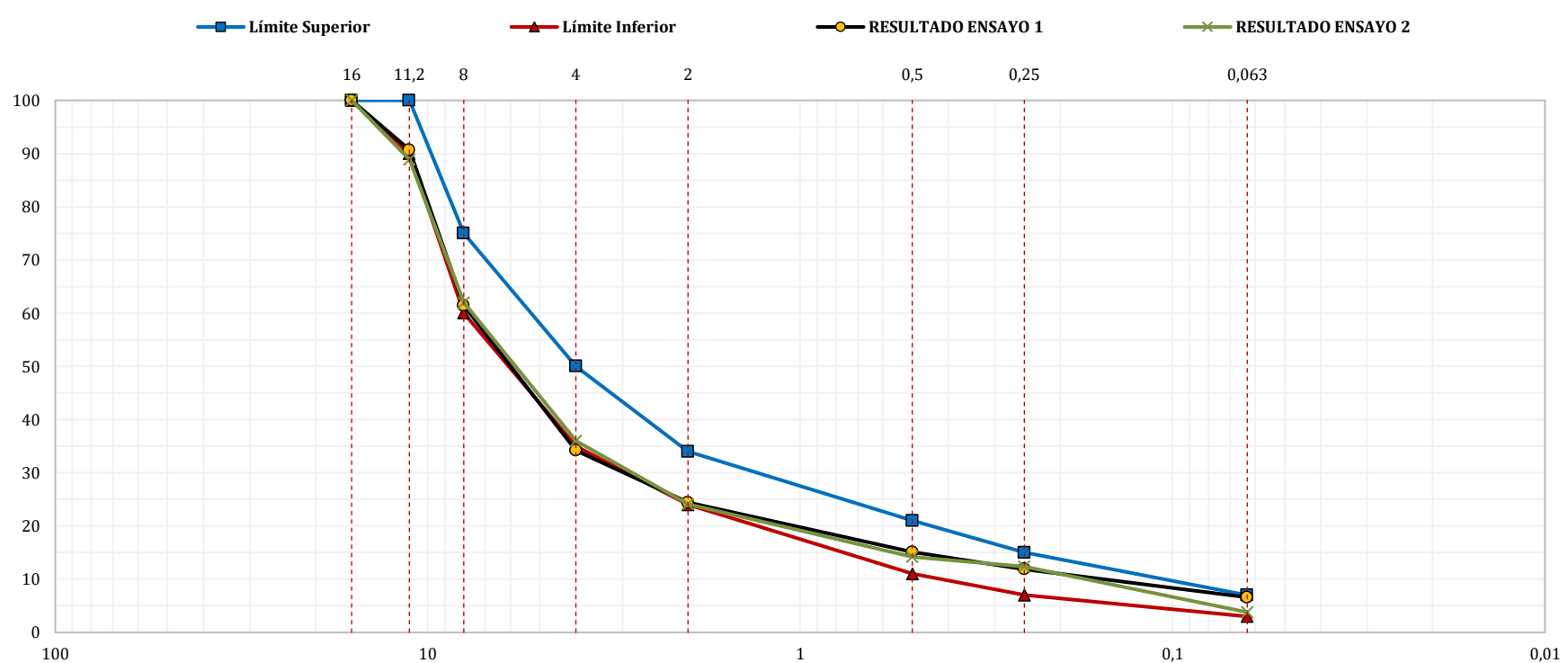
RESULTADOS ENSAYO 1

Abertura Tamiz (mm)	Masa Acumulada (g)	Masa Acumulada (%)	Masa Retenida (g)	Masa Que Pasa (%)	Límite Inferior (%)	Límite Superior (%)
16	0,00	0,0	0,00	100,0	100	100
11,2	173,50	9,3	174,00	90,7	90	100
8	725,40	38,6	551,90	61,4	60	75
4	1.235,90	65,8	510,50	34,2	35	50
2	1.418,90	75,6	183,00	24,4	24	34
0,5	1.594,00	84,9	175,10	15,1	11	21
0,25	1.653,30	88,1	59,30	11,9	7	15
0,063	1.752,50	93,4	99,20	6,6	3	7

RESULTADOS ENSAYO 2

Abertura Tamiz (mm)	Masa Acumulada (g)	Masa Acumulada (%)	Masa Retenida (g)	Masa Que Pasa (%)	Límite Inferior (%)	Límite Superior (%)
16	0,00	0,0	0,00	100,0	100	100
11,2	190,40	11,1	190,60	88,9	90	100
8	650,50	38,0	460,10	62,0	60	75
4	1.098,30	64,0	447,80	36,0	35	50
2	1.300,50	75,9	202,20	24,1	24	34
0,5	1.472,40	85,8	171,90	14,2	11	21
0,25	1.501,60	87,6	29,20	12,4	7	15
0,063	1.648,70	96,2	147,10	3,8	3	7

GRÁFICOS ENSAYOS 1 Y 2



Representación gráfica "Abertura del Tamiz (eje X ; representación semilogarítmica ; %) vs Masa Que Pasa (eje Y ; representación lineal ; %)".

ANÁLISIS DE RESULTADOS EILA 22

UNE-EN 12697-2:2015 y UNE-EN 12697-2:2015+A1:2022. Mezclas bituminosas. Métodos de ensayo. Parte 2: Determinación de la granulometría de las partículas.

GRÁFICOS GRANULOMÉTRICOS LABORATORIO 228

CONTENIDO DE LIGANTE SOLUBLE

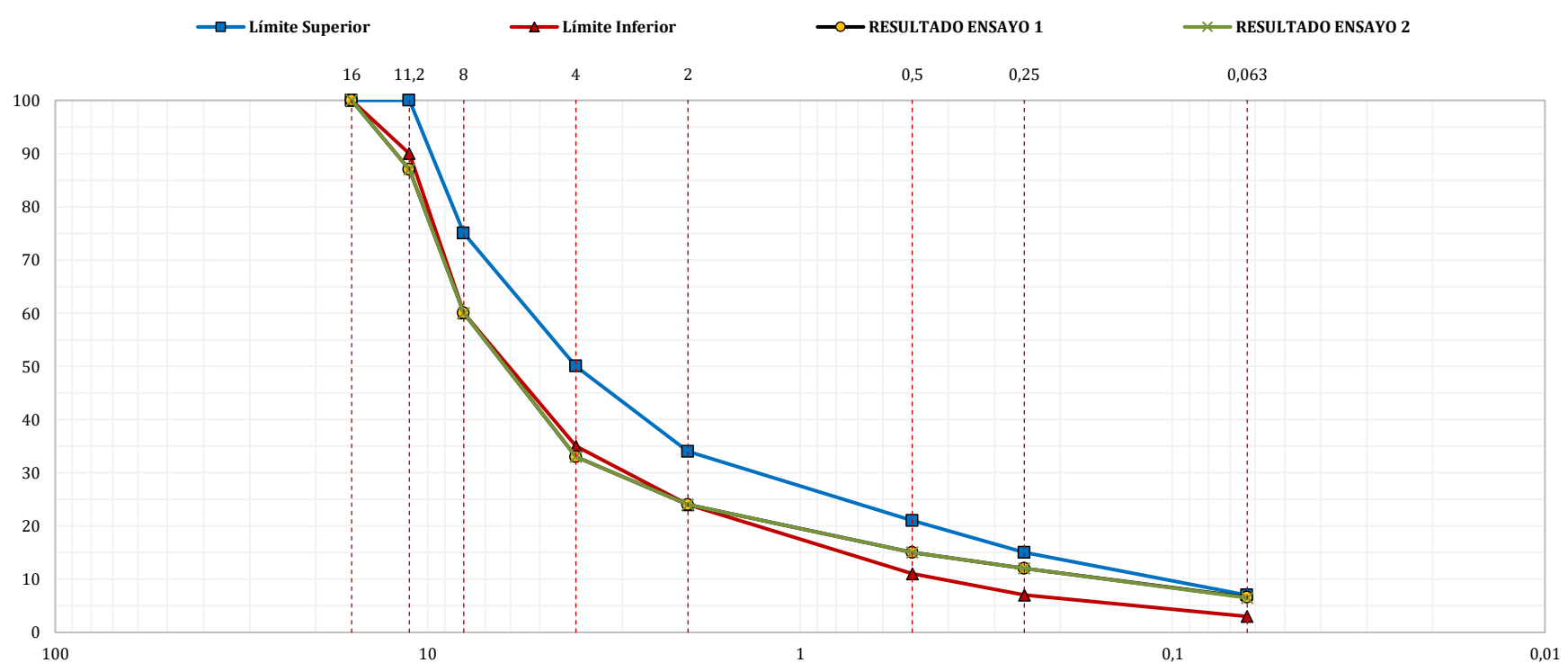
RESULTADOS ENSAYO 1

Abertura Tamiz (mm)	Masa Acumulada (g)	Masa Acumulada (%)	Masa Retenida (g)	Masa Que Pasa (%)	Límite Inferior (%)	Límite Superior (%)
16	0,00	0,0	0,00	100,0	100	100
11,2	97,40	13,0	97,40	87,0	90	100
8	310,60	40,0	213,20	60,0	60	75
4	519,50	67,0	208,90	33,0	35	50
2	591,30	76,0	71,80	24,0	24	34
0,5	660,90	85,0	69,60	15,0	11	21
0,25	687,40	88,0	26,50	12,0	7	15
0,063	727,50	93,4	40,10	6,6	3	7

RESULTADOS ENSAYO 2

Abertura Tamiz (mm)	Masa Acumulada (g)	Masa Acumulada (%)	Masa Retenida (g)	Masa Que Pasa (%)	Límite Inferior (%)	Límite Superior (%)
16	0,00	0,0	100,00	100,0	100	100
11,2	101,20	13,0	101,20	87,0	90	100
8	313,40	40,0	212,20	60,0	60	75
4	524,90	67,0	211,50	33,0	35	50
2	595,40	76,0	70,50	24,0	24	34
0,5	666,00	85,0	70,60	15,0	11	21
0,25	689,40	88,0	23,40	12,0	7	15
0,063	732,50	93,5	43,10	6,5	3	7

GRÁFICOS ENSAYOS 1 Y 2



Representación gráfica "Abertura del Tamiz (eje X ; representación semilogarítmica ; %) vs Masa Que Pasa (eje Y ; representación lineal ; %)".

ANÁLISIS DE RESULTADOS EILA 22

UNE-EN 12697-2:2015 y UNE-EN 12697-2:2015+A1:2022. Mezclas bituminosas. Métodos de ensayo. Parte 2: Determinación de la granulometría de las partículas.

GRÁFICOS GRANULOMÉTRICOS LABORATORIO 230

CONTENIDO DE LIGANTE SOLUBLE

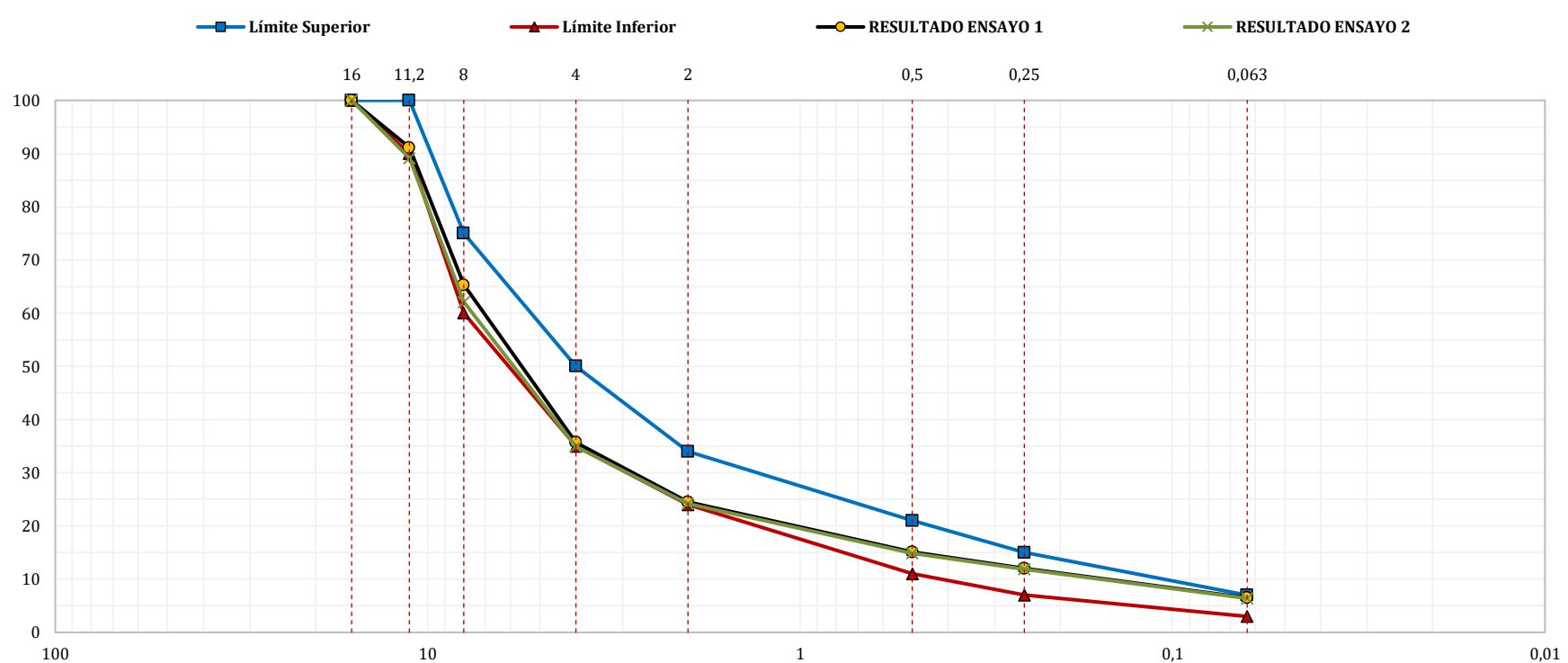
RESULTADOS ENSAYO 1

Abertura Tamiz (mm)	Masa Acumulada (g)	Masa Acumulada (%)	Masa Retenida (g)	Masa Que Pasa (%)	Límite Inferior (%)	Límite Superior (%)
16	0,00	0,0	0,00	100,0	100	100
11,2	103,64	8,9	103,64	91,1	90	100
8	404,19	34,7	300,55	65,3	60	75
4	748,53	63,4	344,34	35,7	35	50
2	879,44	75,5	130,91	24,5	24	34
0,5	988,41	84,9	108,97	15,1	11	21
0,25	1.024,13	88,0	35,72	12,0	7	15
0,063	1.088,76	93,5	64,63	6,5	3	7

RESULTADOS ENSAYO 2

Abertura Tamiz (mm)	Masa Acumulada (g)	Masa Acumulada (%)	Masa Retenida (g)	Masa Que Pasa (%)	Límite Inferior (%)	Límite Superior (%)
16	0,00	0,0	0,00	100,0	100	100
11,2	124,81	10,9	124,81	89,1	90	100
8	435,64	37,9	310,83	62,1	60	75
4	748,95	65,1	313,31	34,9	35	50
2	871,07	75,8	122,12	24,2	24	34
0,5	978,22	85,1	107,15	14,9	11	21
0,25	1.013,15	88,1	34,93	11,9	7	15
0,063	1.075,92	93,6	62,77	6,4	3	7

GRÁFICOS ENSAYOS 1 Y 2



Representación gráfica "Abertura del Tamiz (eje X ; representación semilogarítmica ; %) vs Masa Que Pasa (eje Y ; representación lineal ; %)".

ANÁLISIS DE RESULTADOS EILA 22

UNE-EN 12697-2:2015 y UNE-EN 12697-2:2015+A1:2022. Mezclas bituminosas. Métodos de ensayo. Parte 2: Determinación de la granulometría de las partículas.

GRÁFICOS GRANULOMÉTRICOS LABORATORIO 231

CONTENIDO DE LIGANTE SOLUBLE

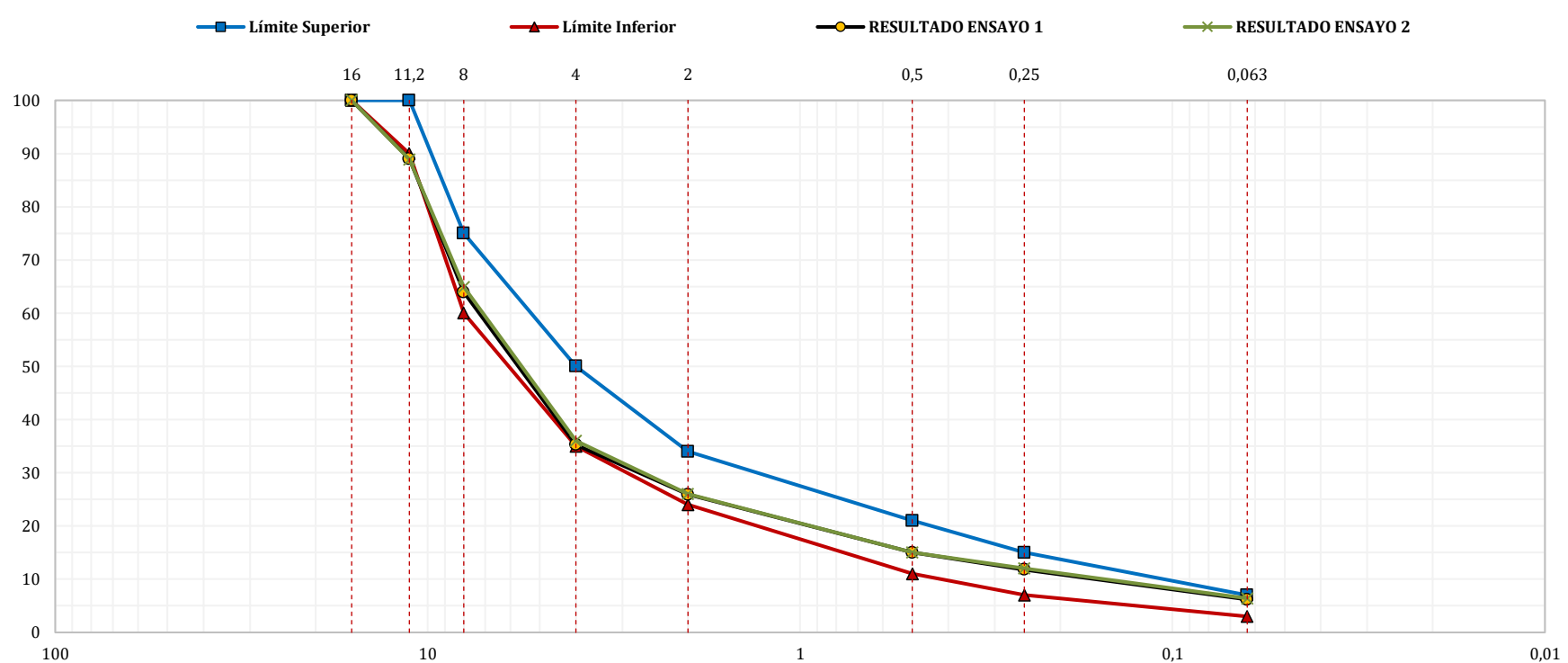
RESULTADOS ENSAYO 1

Abertura Tamiz (mm)	Masa Acumulada (g)	Masa Acumulada (%)	Masa Retenida (g)	Masa Que Pasa (%)	Límite Inferior (%)	Límite Superior (%)
16	1.192,00	0,0	0,00	100,0	100	100
11,2	1.060,70	11,0	131,30	89,0	90	100
8	761,20	36,1	299,50	63,9	60	75
4	420,80	64,7	340,40	35,3	35	50
2	308,50	74,1	112,30	25,9	24	34
0,5	178,90	85,0	129,60	15,0	11	21
0,25	141,10	88,2	37,80	11,8	7	15
0,063	74,10	93,8	67,00	6,2	3	7

RESULTADOS ENSAYO 2

Abertura Tamiz (mm)	Masa Acumulada (g)	Masa Acumulada (%)	Masa Retenida (g)	Masa Que Pasa (%)	Límite Inferior (%)	Límite Superior (%)
16	1.172,80	0,0	0,00	100,0	100	100
11,2	1.042,30	11,1	130,50	88,9	90	100
8	761,60	35,1	280,70	64,9	60	75
4	421,80	64,0	339,80	36,0	35	50
2	304,90	74,0	116,90	26,0	24	34
0,5	176,20	85,0	128,70	15,0	11	21
0,25	140,50	88,0	35,70	12,0	7	15
0,063	75,30	93,6	65,20	6,4	3	7

GRÁFICOS ENSAYOS 1 Y 2



Representación gráfica "Abertura del Tamiz (eje X ; representación semilogarítmica ; %) vs Masa Que Pasa (eje Y ; representación lineal ; %)".

ANÁLISIS DE RESULTADOS EILA 22

UNE-EN 12697-2:2015 y UNE-EN 12697-2:2015+A1:2022. Mezclas bituminosas. Métodos de ensayo. Parte 2: Determinación de la granulometría de las partículas.

GRÁFICOS GRANULOMÉTRICOS LABORATORIO 232

CONTENIDO DE LIGANTE SOLUBLE

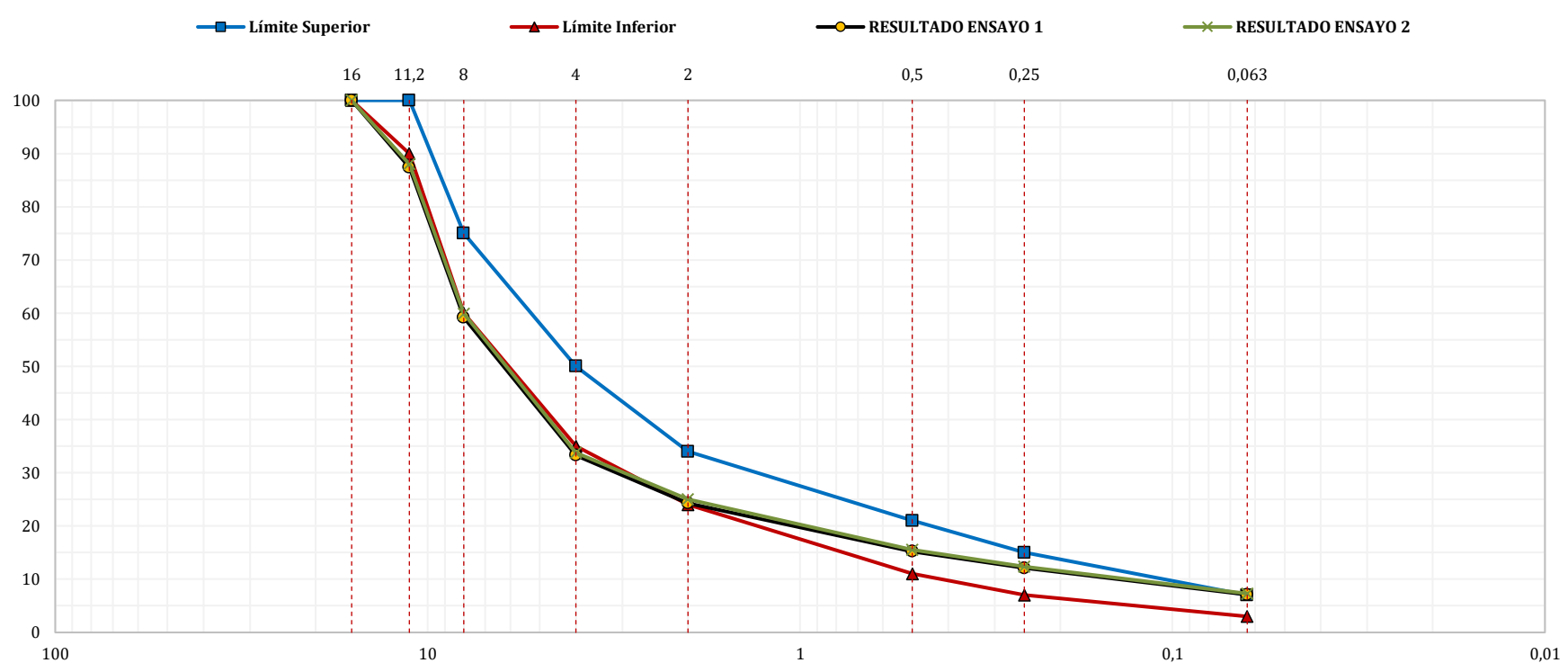
RESULTADOS ENSAYO 1

Abertura Tamiz (mm)	Masa Acumulada (g)	Masa Acumulada (%)	Masa Retenida (g)	Masa Que Pasa (%)	Límite Inferior (%)	Límite Superior (%)
16	0,00	0,0	0,00	100,0	100	100
11,2	150,20	12,6	150,20	87,4	90	100
8	486,40	40,8	336,20	59,2	60	75
4	795,20	66,7	308,80	33,3	35	50
2	902,70	75,7	107,50	24,3	24	34
0,5	1.011,10	84,8	108,40	15,2	11	21
0,25	1.047,90	87,9	36,80	12,1	7	15
0,063	1.107,40	92,9	59,50	7,1	3	7

RESULTADOS ENSAYO 2

Abertura Tamiz (mm)	Masa Acumulada (g)	Masa Acumulada (%)	Masa Retenida (g)	Masa Que Pasa (%)	Límite Inferior (%)	Límite Superior (%)
16	0,00	0,0	0,00	100,0	100	100
11,2	144,30	12,0	144,30	88,0	90	100
8	338,30	40,1	338,30	59,9	60	75
4	314,20	66,2	314,20	33,8	35	50
2	106,60	75,0	106,60	25,0	24	34
0,5	113,40	84,5	113,40	15,5	11	21
0,25	38,10	87,6	38,10	12,4	7	15
0,063	60,60	92,7	60,60	7,3	3	7

GRÁFICOS ENSAYOS 1 Y 2



Representación gráfica "Abertura del Tamiz (eje X ; representación semilogarítmica ; %) vs Masa Que Pasa (eje Y ; representación lineal ; %)".

ANÁLISIS DE RESULTADOS EILA 22

UNE-EN 12697-2:2015 y UNE-EN 12697-2:2015+A1:2022. Mezclas bituminosas. Métodos de ensayo. Parte 2: Determinación de la granulometría de las partículas.

GRÁFICOS GRANULOMÉTRICOS LABORATORIO 239

CONTENIDO DE LIGANTE SOLUBLE

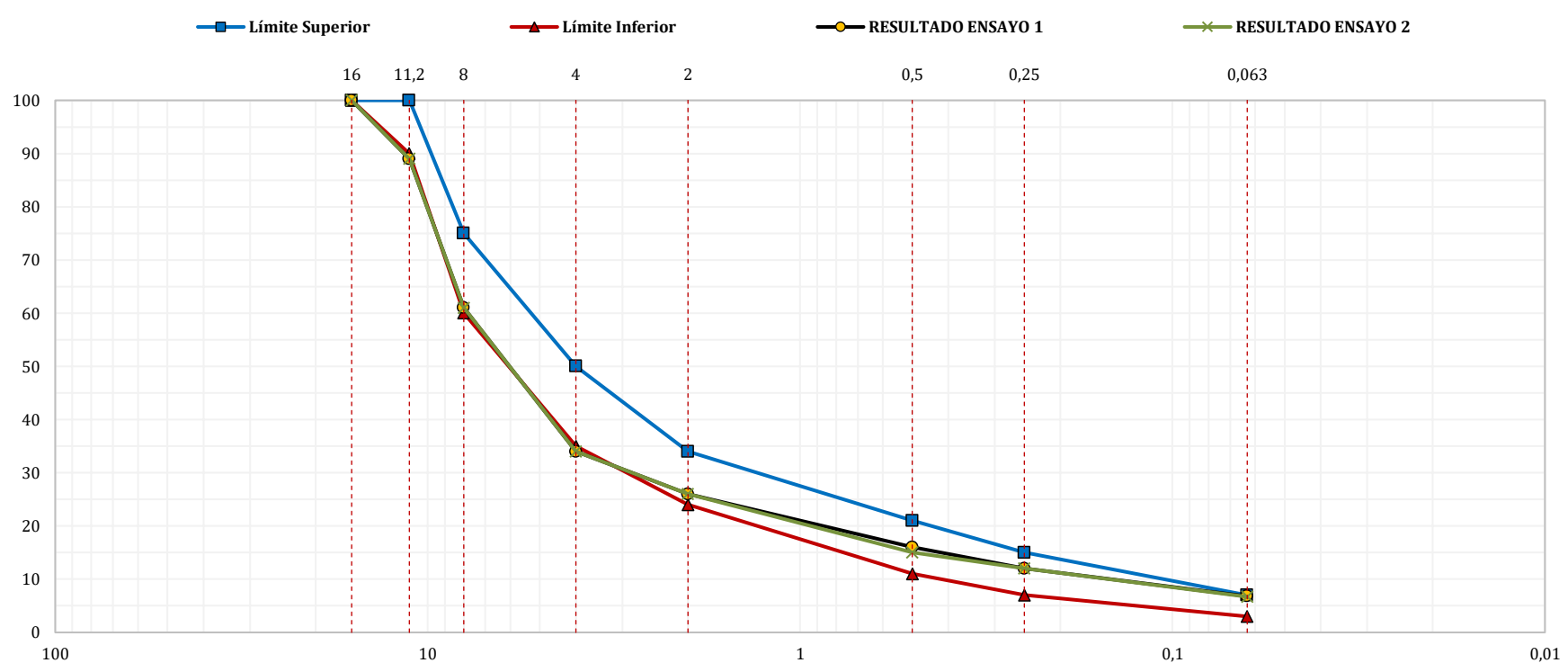
RESULTADOS ENSAYO 1

Abertura Tamiz (mm)	Masa Acumulada (g)	Masa Acumulada (%)	Masa Retenida (g)	Masa Que Pasa (%)	Límite Inferior (%)	Límite Superior (%)
16	0,00	0,0	0,00	100,0	100	100
11,2	276,70	11,0	276,50	89,0	90	100
8	997,90	39,0	721,00	61,0	60	75
4	1.682,60	66,0	685,00	34,0	35	50
2	1.876,40	74,0	194,00	26,0	24	34
0,5	2.140,30	84,0	264,00	16,0	11	21
0,25	2.223,30	88,0	83,00	12,0	7	15
0,063	2.361,80	93,2	137,00	6,8	3	7

RESULTADOS ENSAYO 2

Abertura Tamiz (mm)	Masa Acumulada (g)	Masa Acumulada (%)	Masa Retenida (g)	Masa Que Pasa (%)	Límite Inferior (%)	Límite Superior (%)
16	0,00	100,0	0,00	100,0	100	100
11,2	276,50	11,0	277,00	89,0	90	100
8	974,40	39,0	698,00	61,0	60	75
4	1.654,60	66,0	680,00	34,0	35	50
2	1.868,60	74,0	214,00	26,0	24	34
0,5	2.124,80	85,0	256,00	15,0	11	21
0,25	2.205,10	88,0	80,00	12,0	7	15
0,063	2.342,30	93,3	137,00	6,7	3	7

GRÁFICOS ENSAYOS 1 Y 2



Representación gráfica "Abertura del Tamiz (eje X ; representación semilogarítmica ; %) vs Masa Que Pasa (eje Y ; representación lineal ; %)".

ANÁLISIS DE RESULTADOS EILA 22

UNE-EN 12697-2:2015 y UNE-EN 12697-2:2015+A1:2022. Mezclas bituminosas. Métodos de ensayo. Parte 2: Determinación de la granulometría de las partículas.

GRÁFICOS GRANULOMÉTRICOS LABORATORIO 244

CONTENIDO DE LIGANTE SOLUBLE

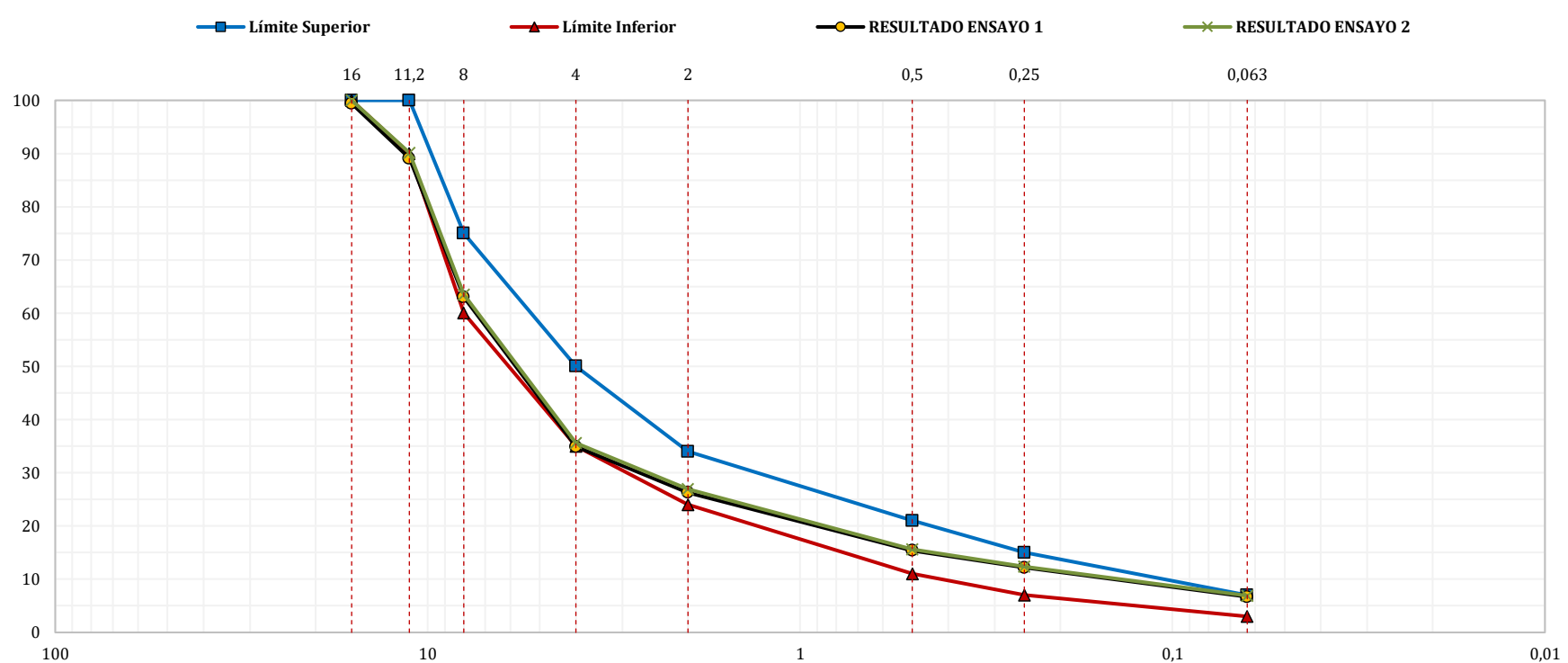
RESULTADOS ENSAYO 1

Abertura Tamiz (mm)	Masa Acumulada (g)	Masa Acumulada (%)	Masa Retenida (g)	Masa Que Pasa (%)	Límite Inferior (%)	Límite Superior (%)
16	8,90	0,6	8,90	99,4	100	100
11,2	159,60	10,9	150,70	89,1	90	100
8	543,10	37,0	383,50	63,0	60	75
4	956,20	65,1	413,10	34,9	35	50
2	1.082,70	73,7	126,50	26,3	24	34
0,5	1.242,80	84,6	160,10	15,4	11	21
0,25	1.289,00	87,8	46,20	12,2	7	15
0,063	1.370,90	93,3	81,90	6,7	3	7

RESULTADOS ENSAYO 2

Abertura Tamiz (mm)	Masa Acumulada (g)	Masa Acumulada (%)	Masa Retenida (g)	Masa Que Pasa (%)	Límite Inferior (%)	Límite Superior (%)
16	0,00	0,0	0,00	100,0	100	100
11,2	142,60	9,9	142,60	90,1	90	100
8	524,40	36,5	381,80	63,5	60	75
4	924,50	64,4	400,10	35,6	35	50
2	1.048,50	73,1	124,00	26,9	24	34
0,5	1.211,20	84,4	162,70	15,6	11	21
0,25	1.256,20	87,6	45,00	12,4	7	15
0,063	1.336,40	93,1	80,20	6,9	3	7

GRÁFICOS ENSAYOS 1 Y 2



Representación gráfica "Abertura del Tamiz (eje X ; representación semilogarítmica ; %) vs Masa Que Pasa (eje Y ; representación lineal ; %)".

ANÁLISIS DE RESULTADOS EILA 22

UNE-EN 12697-2:2015 y UNE-EN 12697-2:2015+A1:2022. Mezclas bituminosas. Métodos de ensayo. Parte 2: Determinación de la granulometría de las partículas.

GRÁFICOS GRANULOMÉTRICOS LABORATORIO 246

CONTENIDO DE LIGANTE SOLUBLE

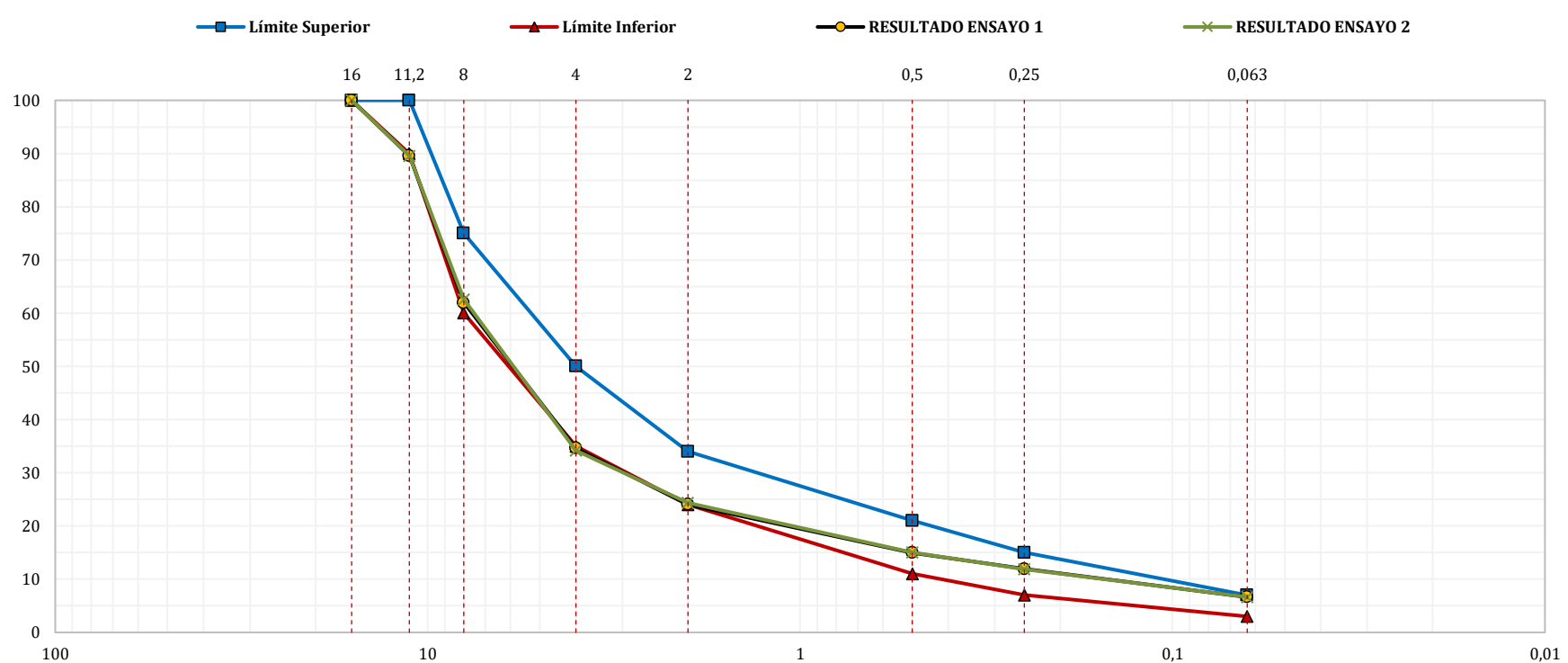
RESULTADOS ENSAYO 1

Abertura Tamiz (mm)	Masa Acumulada (g)	Masa Acumulada (%)	Masa Retenida (g)	Masa Que Pasa (%)	Límite Inferior (%)	Límite Superior (%)
16	0,00	0,0	0,00	100,0	100	100
11,2	119,10	10,4	119,00	89,6	90	100
8	434,80	38,0	315,70	62,0	60	75
4	747,40	65,4	312,60	34,6	35	50
2	868,20	76,0	120,80	24,0	24	34
0,5	971,90	85,0	103,70	15,0	11	21
0,25	1.006,50	88,1	34,60	11,9	7	15
0,063	1.067,10	93,4	60,60	6,6	3	7

RESULTADOS ENSAYO 2

Abertura Tamiz (mm)	Masa Acumulada (g)	Masa Acumulada (%)	Masa Retenida (g)	Masa Que Pasa (%)	Límite Inferior (%)	Límite Superior (%)
16	0,00	0,0	0,00	100,0	100	100
11,2	119,30	10,5	119,00	89,5	90	100
8	425,70	37,4	306,40	62,6	60	75
4	749,60	65,8	323,90	34,2	35	50
2	862,10	75,6	112,50	24,4	24	34
0,5	968,40	85,0	106,30	15,0	11	21
0,25	1.004,40	88,1	36,00	11,9	7	15
0,063	1.063,70	93,3	59,30	6,7	3	7

GRÁFICOS ENSAYOS 1 Y 2



Representación gráfica "Abertura del Tamiz (eje X ; representación semilogarítmica ; %) vs Masa Que Pasa (eje Y ; representación lineal ; %)".

ANÁLISIS DE RESULTADOS EILA 22

UNE-EN 12697-2:2015 y UNE-EN 12697-2:2015+A1:2022. Mezclas bituminosas. Métodos de ensayo. Parte 2: Determinación de la granulometría de las partículas.

GRÁFICOS GRANULOMÉTRICOS LABORATORIO 251

CONTENIDO DE LIGANTE SOLUBLE

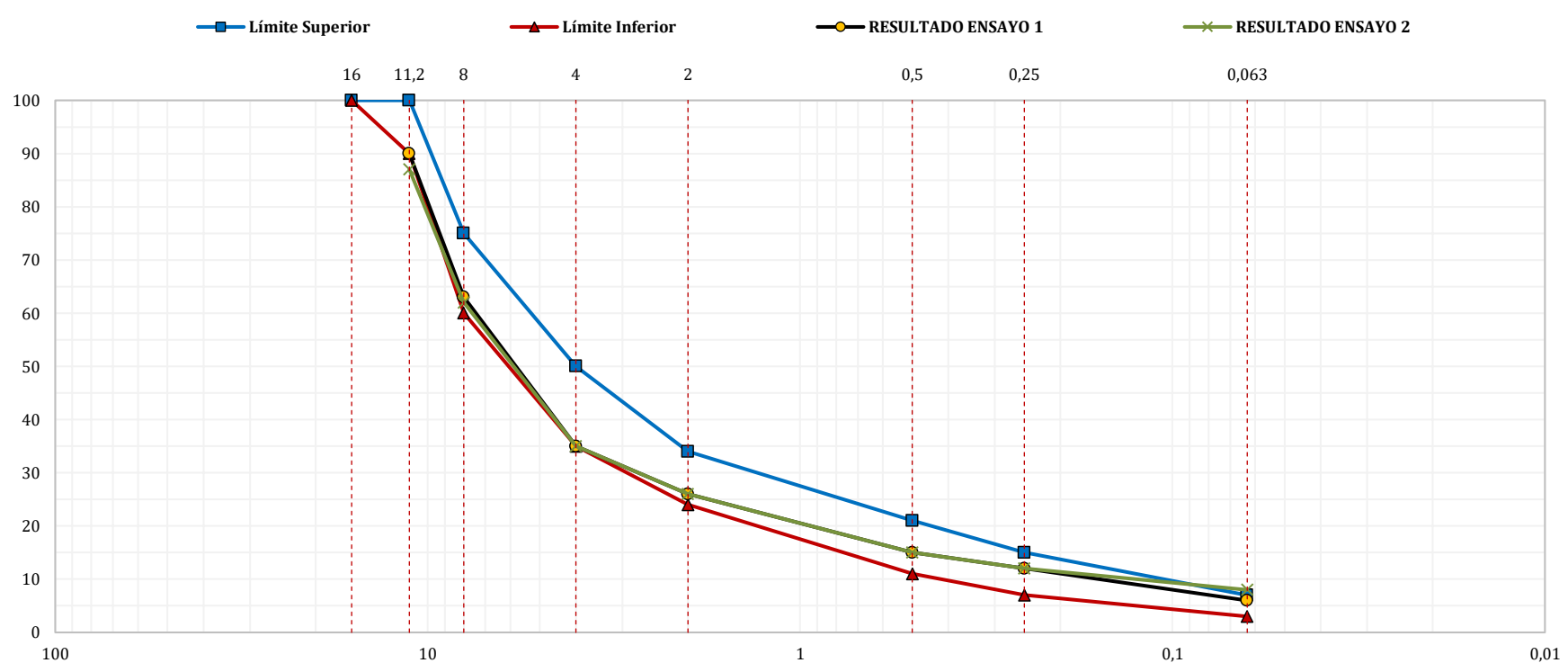
RESULTADOS ENSAYO 1

Abertura Tamiz (mm)	Masa Acumulada (g)	Masa Acumulada (%)	Masa Retenida (g)	Masa Que Pasa (%)	Límite Inferior (%)	Límite Superior (%)
16	0,00				100	100
11,2	137,10	10,0	137,10	90,0	90	100
8	497,40	37,0	360,30	63,0	60	75
4	871,80	65,0	374,40	35,0	35	50
2	988,60	74,0	116,80	26,0	24	34
0,5	1.129,20	85,0	140,60	15,0	11	21
0,25	1.178,30	88,0	49,10	12,0	7	15
0,063	1.255,80	94,0	77,50	6,0	3	7

RESULTADOS ENSAYO 2

Abertura Tamiz (mm)	Masa Acumulada (g)	Masa Acumulada (%)	Masa Retenida (g)	Masa Que Pasa (%)	Límite Inferior (%)	Límite Superior (%)
16	0,00				100	100
11,2	171,50	13,0	172,00	87,0	90	100
8	485,20	38,0	313,70	62,0	60	75
4	835,20	65,0	350,00	35,0	35	50
2	943,30	74,0	108,10	26,0	24	34
0,5	1.079,50	85,0	136,20	15,0	11	21
0,25	1.127,90	88,0	48,40	12,0	7	15
0,063	1.202,40	92,0	74,50	8,0	3	7

GRÁFICOS ENSAYOS 1 Y 2



Representación gráfica "Abertura del Tamiz (eje X ; representación semilogarítmica ; %) vs Masa Que Pasa (eje Y ; representación lineal ; %)".

ANÁLISIS DE RESULTADOS EILA 22

UNE-EN 12697-2:2015 y UNE-EN 12697-2:2015+A1:2022. Mezclas bituminosas. Métodos de ensayo. Parte 2: Determinación de la granulometría de las partículas.

GRÁFICOS GRANULOMÉTRICOS LABORATORIO 252

CONTENIDO DE LIGANTE SOLUBLE

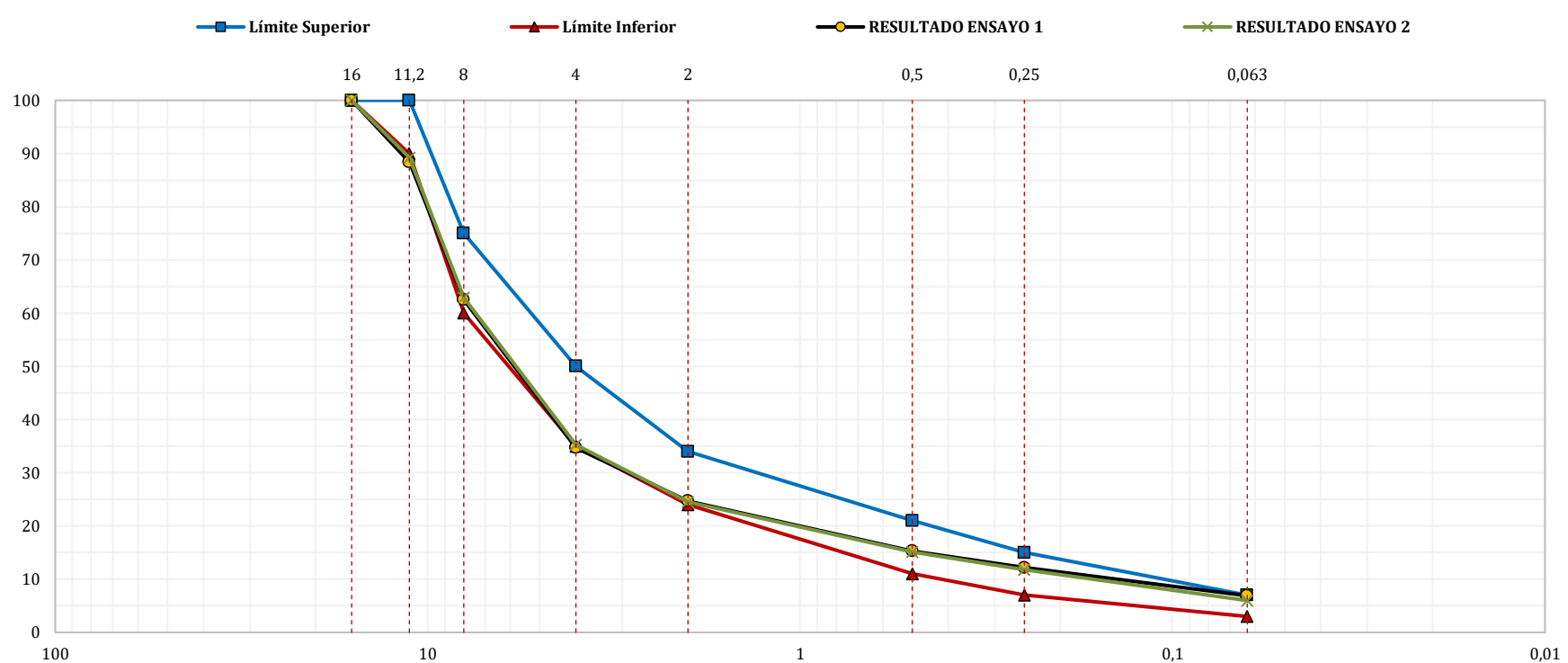
RESULTADOS ENSAYO 1

Abertura Tamiz (mm)	Masa Acumulada (g)	Masa Acumulada (%)	Masa Retenida (g)	Masa Que Pasa (%)	Límite Inferior (%)	Límite Superior (%)
16	0,00	0,0	0,00	100,0	100	100
11,2	133,00	11,6	132,77	88,4	90	100
8	484,00	37,5	350,97	62,5	60	75
4	842,00	65,3	357,60	34,7	35	50
2	971,00	75,3	129,46	24,7	24	34
0,5	1.092,00	84,7	120,76	15,3	11	21
0,25	1.132,00	87,8	39,62	12,2	7	15
0,063	1.202,00	93,1	69,51	6,9	3	7

RESULTADOS ENSAYO 2

Abertura Tamiz (mm)	Masa Acumulada (g)	Masa Acumulada (%)	Masa Retenida (g)	Masa Que Pasa (%)	Límite Inferior (%)	Límite Superior (%)
16	0,00	0,0	0,00	100,0	100	100
11,2	137,30	10,8	137,00	89,2	90	100
8	471,57	37,1	335,00	62,9	60	75
4	822,40	64,7	213,00	35,3	35	50
2	959,68	75,5	275,00	24,5	24	34
0,5	1.079,16	84,9	119,00	15,1	11	21
0,25	1.121,11	88,2	42,00	11,8	7	15
0,063	1.194,80	94,0	74,00	6,0	3	7

GRÁFICOS ENSAYOS 1 Y 2



Representación gráfica "Abertura del Tamiz (eje X ; representación semilogarítmica ; %) vs Masa Que Pasa (eje Y ; representación lineal ; %)".

ANÁLISIS DE RESULTADOS EILA 22

UNE-EN 12697-2:2015 y UNE-EN 12697-2:2015+A1:2022. Mezclas bituminosas. Métodos de ensayo. Parte 2: Determinación de la granulometría de las partículas.

GRÁFICOS GRANULOMÉTRICOS LABORATORIO 253

CONTENIDO DE LIGANTE SOLUBLE

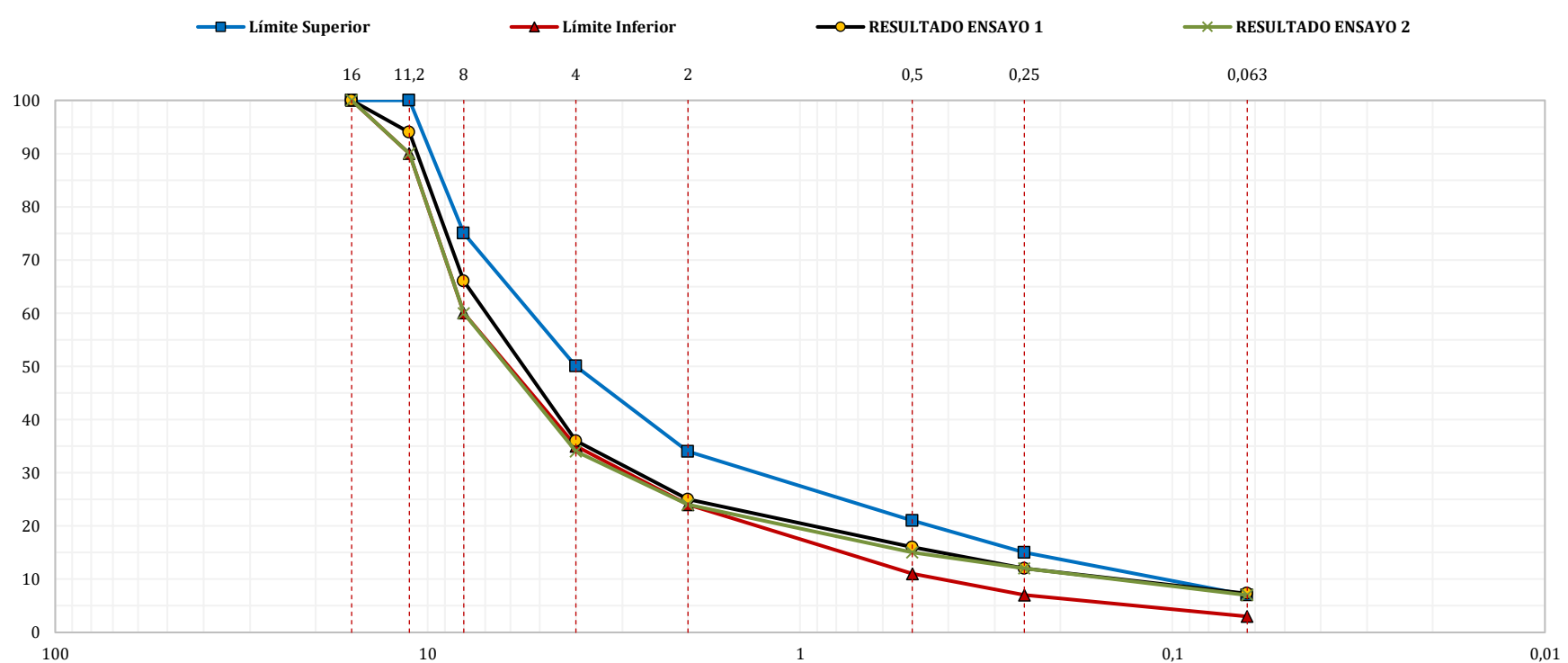
RESULTADOS ENSAYO 1

Abertura Tamiz (mm)	Masa Acumulada (g)	Masa Acumulada (%)	Masa Retenida (g)	Masa Que Pasa (%)	Límite Inferior (%)	Límite Superior (%)
16	0,00	0,0	0,00	100,0	100	100
11,2	68,70	6,0	68,70	94,0	90	100
8	396,40	34,0	327,70	66,0	60	75
4	737,90	64,0	341,50	36,0	35	50
2	862,20	75,0	124,30	25,0	24	34
0,5	972,00	84,0	109,80	16,0	11	21
0,25	1.008,00	88,0	36,00	12,0	7	15
0,063	1.066,30	92,7	58,30	7,3	3	7

RESULTADOS ENSAYO 2

Abertura Tamiz (mm)	Masa Acumulada (g)	Masa Acumulada (%)	Masa Retenida (g)	Masa Que Pasa (%)	Límite Inferior (%)	Límite Superior (%)
16	0,00	0,0	0,00	100,0	100	100
11,2	121,50	10,0	121,50	90,0	90	100
8	476,20	40,0	354,70	60,0	60	75
4	781,80	66,0	305,60	34,0	35	50
2	899,10	76,0	117,30	24,0	24	34
0,5	1.010,10	85,0	111,00	15,0	11	21
0,25	1.046,70	88,0	36,60	12,0	7	15
0,063	1.106,30	93,0	59,60	7,0	3	7

GRÁFICOS ENSAYOS 1 Y 2



Representación gráfica "Abertura del Tamiz (eje X ; representación semilogarítmica ; %) vs Masa Que Pasa (eje Y ; representación lineal ; %)".

ANÁLISIS DE RESULTADOS EILA 22

UNE-EN 12697-2:2015 y UNE-EN 12697-2:2015+A1:2022. Mezclas bituminosas. Métodos de ensayo. Parte 2: Determinación de la granulometría de las partículas.

GRÁFICOS GRANULOMÉTRICOS LABORATORIO 255

CONTENIDO DE LIGANTE SOLUBLE

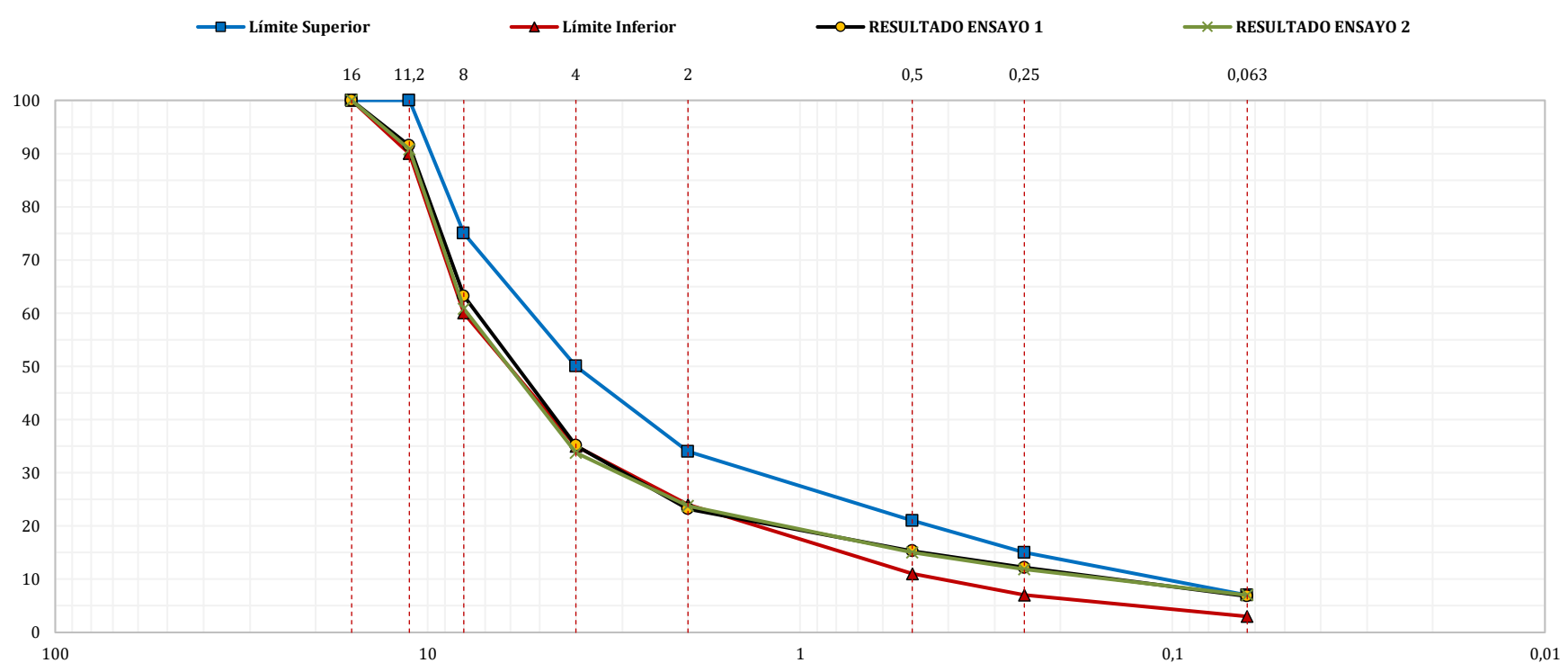
RESULTADOS ENSAYO 1

Abertura Tamiz (mm)	Masa Acumulada (g)	Masa Acumulada (%)	Masa Retenida (g)	Masa Que Pasa (%)	Límite Inferior (%)	Límite Superior (%)
16	0,00	0,0	0,00	100,0	100	100
11,2	89,00	8,5	89,00	91,5	90	100
8	387,00	36,8	298,00	63,2	60	75
4	683,00	64,9	296,00	35,1	35	50
2	808,00	76,8	125,00	23,2	24	34
0,5	891,00	84,7	83,00	15,3	11	21
0,25	924,00	87,8	33,00	12,2	7	15
0,063	981,00	93,2	57,00	6,8	3	7

RESULTADOS ENSAYO 2

Abertura Tamiz (mm)	Masa Acumulada (g)	Masa Acumulada (%)	Masa Retenida (g)	Masa Que Pasa (%)	Límite Inferior (%)	Límite Superior (%)
16	0,00	0,0	0,00	100,0	100	100
11,2	94,00	9,2	94,00	90,8	90	100
8	400,00	39,2	306,00	60,8	60	75
4	675,00	66,2	275,00	33,8	35	50
2	777,00	76,2	102,00	23,8	24	34
0,5	867,00	85,0	90,00	15,0	11	21
0,25	899,00	88,1	32,00	11,9	7	15
0,063	948,00	93,0	49,00	7,0	3	7

GRÁFICOS ENSAYOS 1 Y 2



Representación gráfica "Abertura del Tamiz (eje X ; representación semilogarítmica ; %) vs Masa Que Pasa (eje Y ; representación lineal ; %)".

ANÁLISIS DE RESULTADOS EILA 22

UNE-EN 12697-2:2015 y UNE-EN 12697-2:2015+A1:2022. Mezclas bituminosas. Métodos de ensayo. Parte 2: Determinación de la granulometría de las partículas.

GRÁFICOS GRANULOMÉTRICOS LABORATORIO 258

CONTENIDO DE LIGANTE SOLUBLE

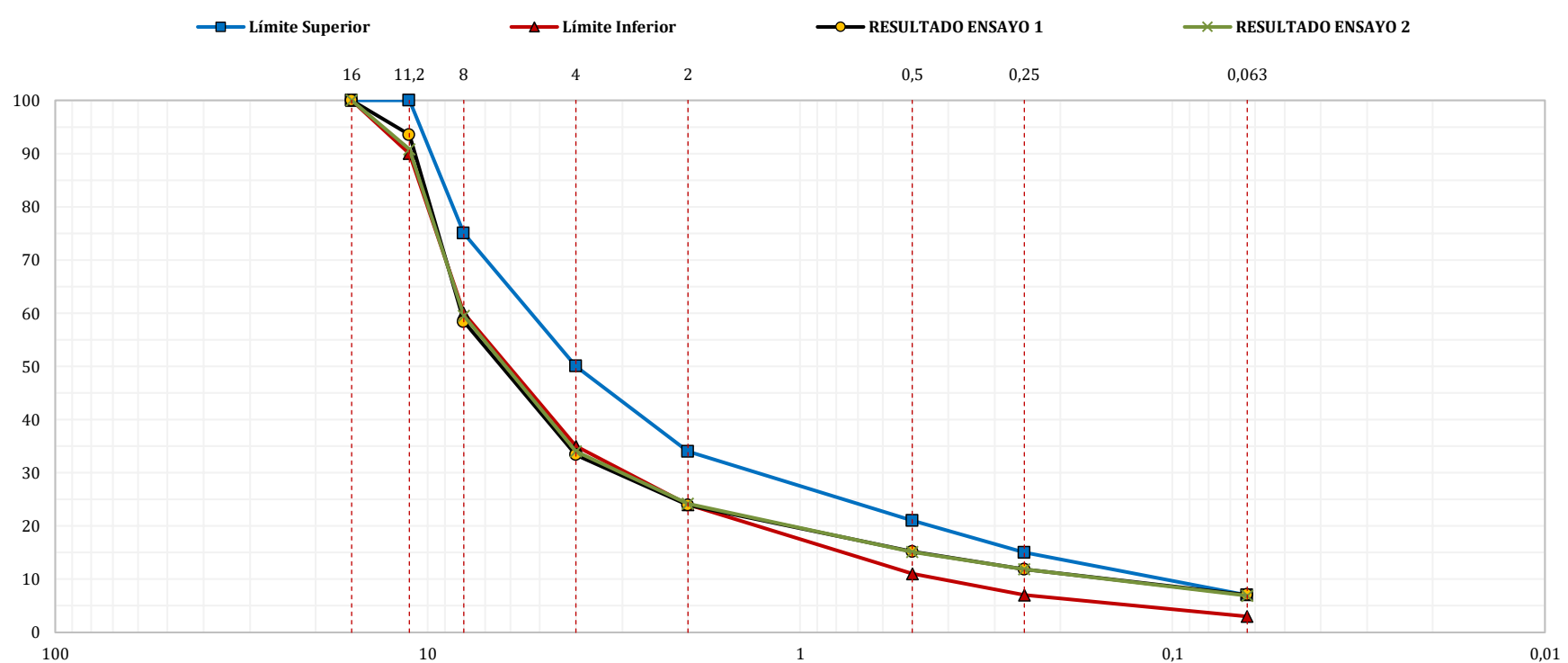
RESULTADOS ENSAYO 1

Abertura Tamiz (mm)	Masa Acumulada (g)	Masa Acumulada (%)	Masa Retenida (g)	Masa Que Pasa (%)	Límite Inferior (%)	Límite Superior (%)
16	0,00	0,0	100,00	100,0	100	100
11,2	74,10	6,5	74,10	93,5	90	100
8	475,70	41,6	401,60	58,4	60	75
4	761,80	66,6	286,10	33,4	35	50
2	869,80	76,1	108,00	23,9	24	34
0,5	970,00	84,8	100,20	15,2	11	21
0,25	1.008,10	88,1	38,10	11,8	7	15
0,063	1.062,80	93,0	54,70	7,1	3	7

RESULTADOS ENSAYO 2

Abertura Tamiz (mm)	Masa Acumulada (g)	Masa Acumulada (%)	Masa Retenida (g)	Masa Que Pasa (%)	Límite Inferior (%)	Límite Superior (%)
16	0,00	0,0	0,00	100,0	100	100
11,2	105,10	9,2	105,10	90,8	90	100
8	462,40	40,5	357,30	59,5	60	75
4	752,90	66,0	290,50	34,0	35	50
2	865,00	75,8	112,10	24,2	24	34
0,5	968,20	84,9	103,20	15,2	11	21
0,25	1.005,90	88,2	37,70	11,9	7	15
0,063	1.062,40	93,1	56,50	6,9	3	7

GRÁFICOS ENSAYOS 1 Y 2



Representación gráfica "Abertura del Tamiz (eje X ; representación semilogarítmica ; %) vs Masa Que Pasa (eje Y ; representación lineal ; %)".

ANÁLISIS DE RESULTADOS EILA 22

UNE-EN 12697-2:2015 y UNE-EN 12697-2:2015+A1:2022. Mezclas bituminosas. Métodos de ensayo. Parte 2: Determinación de la granulometría de las partículas.

GRÁFICOS GRANULOMÉTRICOS LABORATORIO 259

CONTENIDO DE LIGANTE SOLUBLE

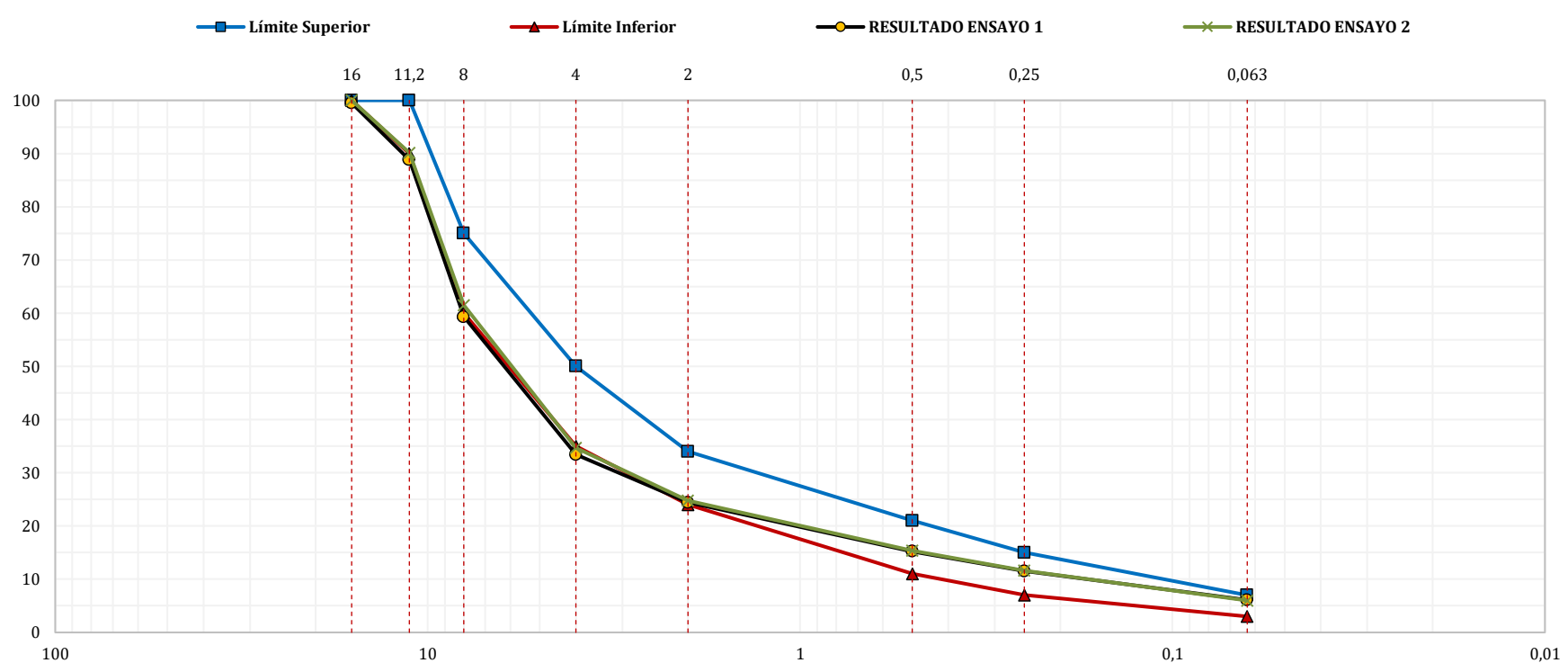
RESULTADOS ENSAYO 1

Abertura Tamiz (mm)	Masa Acumulada (g)	Masa Acumulada (%)	Masa Retenida (g)	Masa Que Pasa (%)	Límite Inferior (%)	Límite Superior (%)
16	8,70	0,5	8,70	99,5	100	100
11,2	187,90	11,2	179,20	88,8	90	100
8	682,90	40,7	495,00	59,3	60	75
4	1.117,50	66,6	434,60	33,4	35	50
2	1.267,80	75,6	149,80	24,4	24	34
0,5	1.421,80	84,8	154,00	15,2	11	21
0,25	1.484,00	88,5	62,00	11,5	7	15
0,063	1.574,00	93,9	90,00	6,1	3	7

RESULTADOS ENSAYO 2

Abertura Tamiz (mm)	Masa Acumulada (g)	Masa Acumulada (%)	Masa Retenida (g)	Masa Que Pasa (%)	Límite Inferior (%)	Límite Superior (%)
16	0,00	0,0	0,00	100,0	100	100
11,2	127,80	9,9	127,80	90,1	90	100
8	495,10	38,5	367,30	61,5	60	75
4	841,00	65,3	345,90	34,7	35	50
2	967,60	75,2	126,60	24,8	24	34
0,5	1.089,50	84,6	121,90	15,4	11	21
0,25	1.138,50	88,4	49,00	11,6	7	15
0,063	1.210,50	94,0	72,00	6,0	3	7

GRÁFICOS ENSAYOS 1 Y 2



Representación gráfica "Abertura del Tamiz (eje X ; representación semilogarítmica ; %) vs Masa Que Pasa (eje Y ; representación lineal ; %)".

ANÁLISIS DE RESULTADOS EILA 22

UNE-EN 12697-2:2015 y UNE-EN 12697-2:2015+A1:2022. Mezclas bituminosas. Métodos de ensayo. Parte 2: Determinación de la granulometría de las partículas.

GRÁFICOS GRANULOMÉTRICOS LABORATORIO 261

CONTENIDO DE LIGANTE SOLUBLE

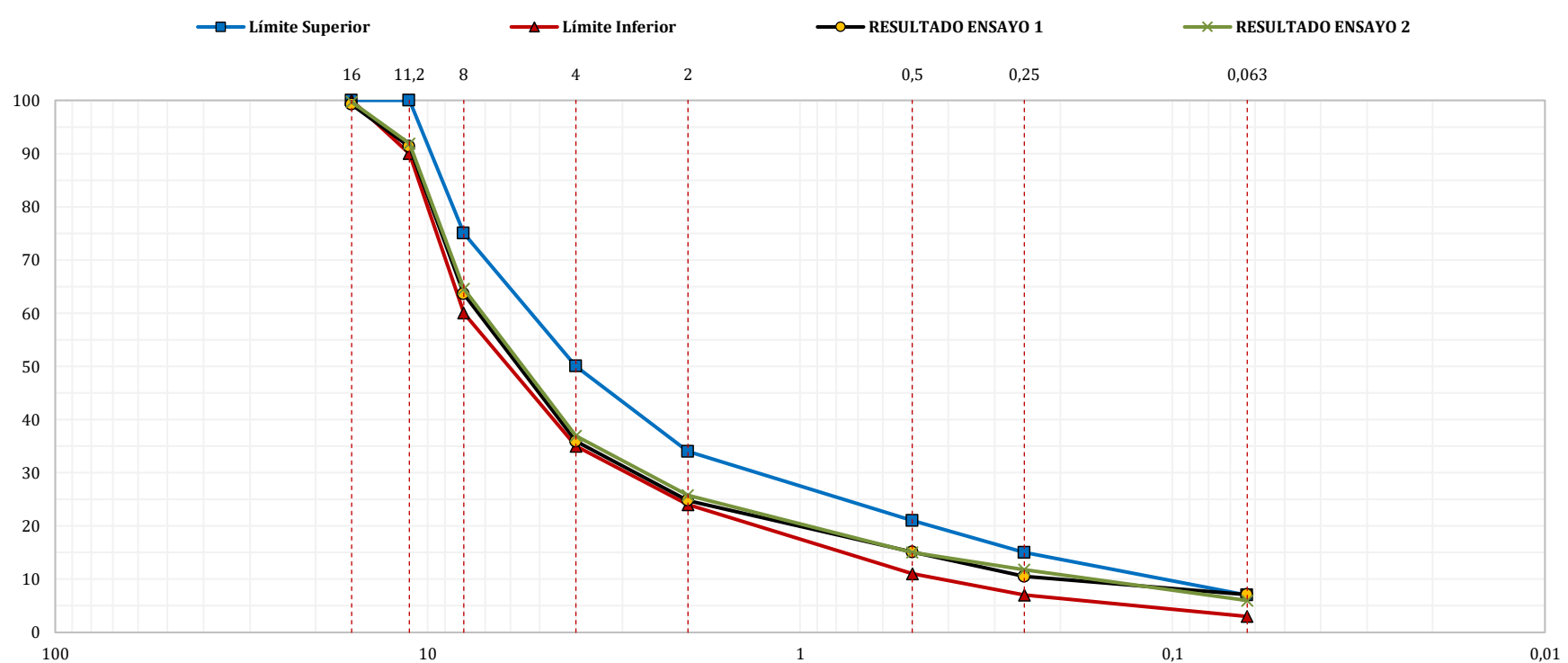
RESULTADOS ENSAYO 1

Abertura Tamiz (mm)	Masa Acumulada (g)	Masa Acumulada (%)	Masa Retenida (g)	Masa Que Pasa (%)	Límite Inferior (%)	Límite Superior (%)
16	9,20	0,9	9,20	99,2	100	100
11,2	98,50	9,4	89,30	91,3	90	100
8	412,20	39,1	313,70	63,6	60	75
4	724,70	68,7	312,50	35,9	35	50
2	851,30	80,6	126,60	24,8	24	34
0,5	960,00	86,4	108,70	15,1	11	21
0,25	994,90	94,3	34,90	10,5	7	15
0,063	1.051,20	99,6	56,30	7,1	3	7

RESULTADOS ENSAYO 2

Abertura Tamiz (mm)	Masa Acumulada (g)	Masa Acumulada (%)	Masa Retenida (g)	Masa Que Pasa (%)	Límite Inferior (%)	Límite Superior (%)
16	3,00	0,3	3,20	99,7	100	100
11,2	92,00	8,3	88,90	91,9	90	100
8	404,00	36,4	311,90	64,6	60	75
4	720,00	64,8	315,60	36,9	35	50
2	846,00	76,1	126,60	25,8	24	34
0,5	960,00	86,4	113,70	15,0	11	21
0,25	986,00	88,7	26,00	11,8	7	15
0,063	1.063,00	95,7	77,20	6,0	3	7

GRÁFICOS ENSAYOS 1 Y 2



Representación gráfica "Abertura del Tamiz (eje X ; representación semilogarítmica ; %) vs Masa Que Pasa (eje Y ; representación lineal ; %)".

ANÁLISIS DE RESULTADOS EILA 22

UNE-EN 12697-2:2015 y UNE-EN 12697-2:2015+A1:2022. Mezclas bituminosas. Métodos de ensayo. Parte 2: Determinación de la granulometría de las partículas.

GRÁFICOS GRANULOMÉTRICOS LABORATORIO 262

CONTENIDO DE LIGANTE SOLUBLE

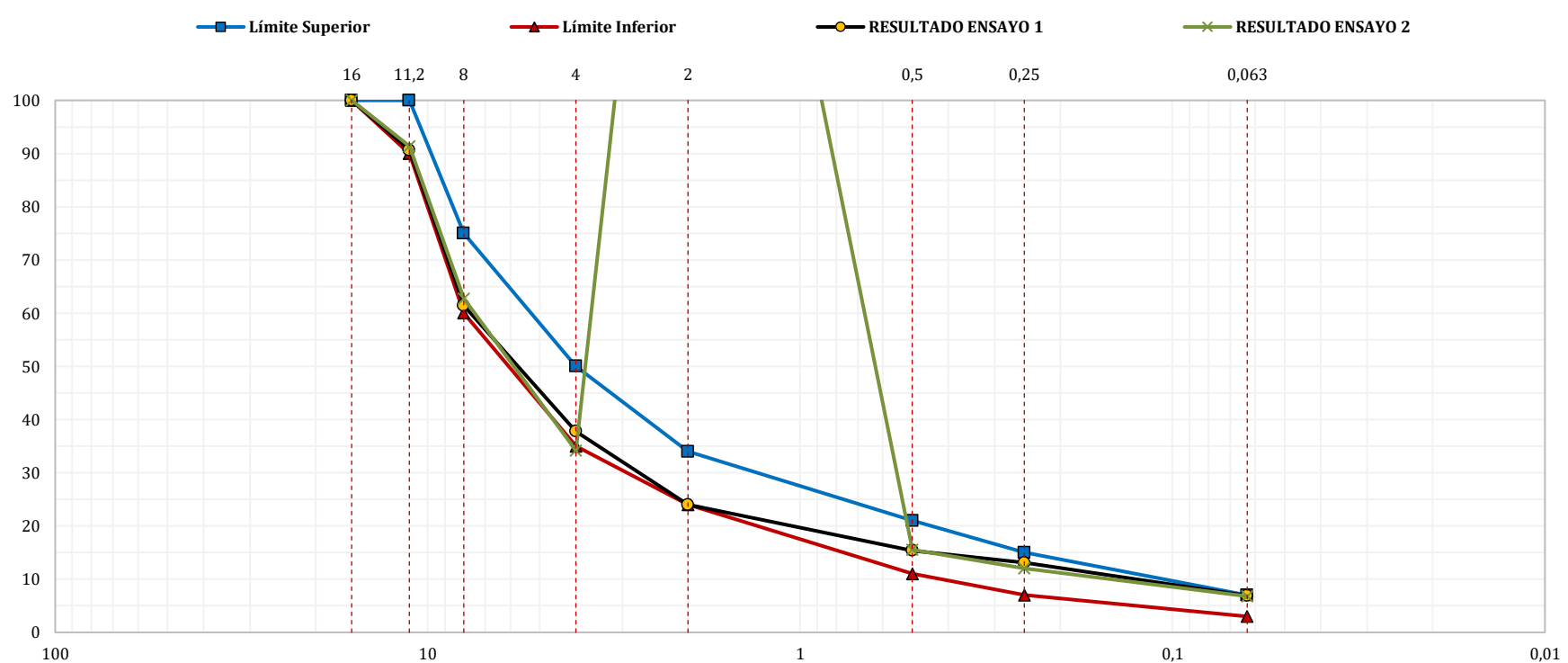
RESULTADOS ENSAYO 1

Abertura Tamiz (mm)	Masa Acumulada (g)	Masa Acumulada (%)	Masa Retenida (g)	Masa Que Pasa (%)	Límite Inferior (%)	Límite Superior (%)
16	0,00	0,0	0,00	100,0	100	100
11,2	106,00	9,3	106,00	90,7	90	100
8	437,00	38,6	331,00	61,4	60	75
4	750,00	66,2	313,00	37,8	35	50
2	861,00	76,0	111,00	24,0	24	34
0,5	959,00	84,6	98,00	15,4	11	21
0,25	985,00	86,9	26,00	13,1	7	15
0,063	1.055,00	93,1	70,00	6,9	3	7

RESULTADOS ENSAYO 2

Abertura Tamiz (mm)	Masa Acumulada (g)	Masa Acumulada (%)	Masa Retenida (g)	Masa Que Pasa (%)	Límite Inferior (%)	Límite Superior (%)
16	0,00	0,0	0,00	100,0	100	100
11,2	97,80	8,6	98,00	91,4	90	100
8	422,80	37,3	325,00	62,7	60	75
4	746,50	65,8	324,00	34,2	35	50
2	858,40	75,7	111,00	224,3	24	34
0,5	958,50	84,5	101,00	15,5	11	21
0,25	998,10	88,0	39,00	12,0	7	15
0,063	1.056,70	93,2	59,00	6,8	3	7

GRÁFICOS ENSAYOS 1 Y 2



Representación gráfica "Abertura del Tamiz (eje X ; representación semilogarítmica ; %) vs Masa Que Pasa (eje Y ; representación lineal ; %)".

ANÁLISIS DE RESULTADOS EILA 22

UNE-EN 12697-2:2015 y UNE-EN 12697-2:2015+A1:2022. Mezclas bituminosas. Métodos de ensayo. Parte 2: Determinación de la granulometría de las partículas.

GRÁFICOS GRANULOMÉTRICOS LABORATORIO 263

CONTENIDO DE LIGANTE SOLUBLE

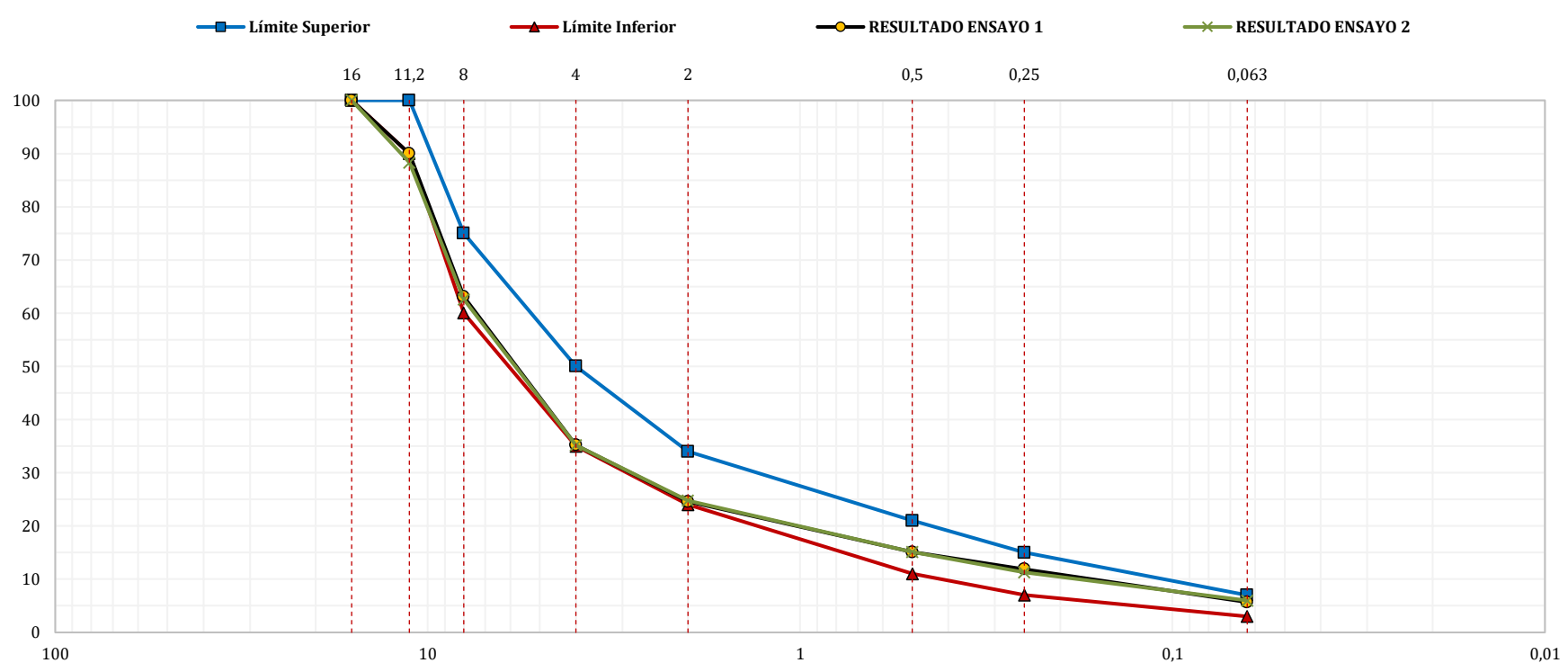
RESULTADOS ENSAYO 1

Abertura Tamiz (mm)	Masa Acumulada (g)	Masa Acumulada (%)	Masa Retenida (g)	Masa Que Pasa (%)	Límite Inferior (%)	Límite Superior (%)
16	0,00	0,0	0,00	100,0	100	100
11,2	118,00	10,0	118,00	90,0	90	100
8	436,20	36,9	318,00	63,1	60	75
4	764,60	64,8	329,00	35,2	35	50
2	891,00	75,4	126,00	24,6	24	34
0,5	1.003,30	84,9	112,00	15,1	11	21
0,25	1.041,30	88,1	38,00	11,9	7	15
0,063	1.114,00	94,3	73,00	5,7	3	7

RESULTADOS ENSAYO 2

Abertura Tamiz (mm)	Masa Acumulada (g)	Masa Acumulada (%)	Masa Retenida (g)	Masa Que Pasa (%)	Límite Inferior (%)	Límite Superior (%)
16	0,00	0,0	0,00	100,0	100	100
11,2	134,10	11,7	134,00	88,3	90	100
8	429,30	37,4	295,00	62,6	60	75
4	744,00	64,8	315,00	35,2	35	50
2	864,40	75,2	120,00	24,8	24	34
0,5	974,50	84,9	111,00	15,1	11	21
0,25	1.019,00	88,7	44,00	11,3	7	15
0,063	1.079,00	94,0	60,00	6,0	3	7

GRÁFICOS ENSAYOS 1 Y 2



Representación gráfica "Abertura del Tamiz (eje X ; representación semilogarítmica ; %) vs Masa Que Pasa (eje Y ; representación lineal ; %)".

ANÁLISIS DE RESULTADOS EILA 22

UNE-EN 12697-2:2015 y UNE-EN 12697-2:2015+A1:2022. Mezclas bituminosas. Métodos de ensayo. Parte 2: Determinación de la granulometría de las partículas.

GRÁFICOS GRANULOMÉTRICOS LABORATORIO 267

CONTENIDO DE LIGANTE SOLUBLE

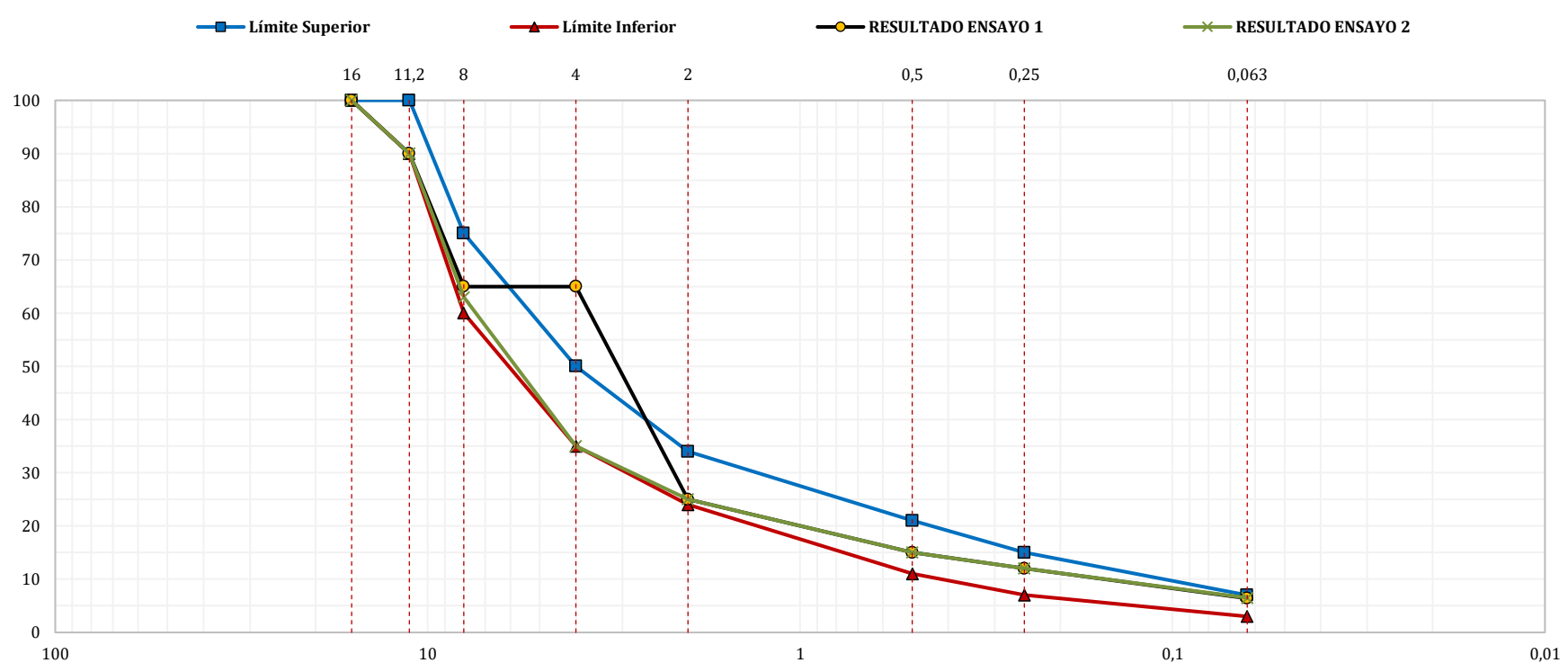
RESULTADOS ENSAYO 1

Abertura Tamiz (mm)	Masa Acumulada (g)	Masa Acumulada (%)	Masa Retenida (g)	Masa Que Pasa (%)	Límite Inferior (%)	Límite Superior (%)
16			0,00	100,0	100	100
11,2			116,00	90,0	90	100
8			306,00	65,0	60	75
4			348,00	65,0	35	50
2			128,00	25,0	24	34
0,5			113,00	15,0	11	21
0,25			40,00	12,0	7	15
0,063			63,00	6,4	3	7

RESULTADOS ENSAYO 2

Abertura Tamiz (mm)	Masa Acumulada (g)	Masa Acumulada (%)	Masa Retenida (g)	Masa Que Pasa (%)	Límite Inferior (%)	Límite Superior (%)
16			0,00	100,0	100	100
11,2			120,00	90,0	90	100
8			308,00	63,0	60	75
4			321,00	35,0	35	50
2			122,00	25,0	24	34
0,5			111,00	15,0	11	21
0,25			40,00	12,0	7	15
0,063			63,00	6,5	3	7

GRÁFICOS ENSAYOS 1 Y 2



Representación gráfica "Abertura del Tamiz (eje X ; representación semilogarítmica ; %) vs Masa Que Pasa (eje Y ; representación lineal ; %)".

ANÁLISIS DE RESULTADOS EILA 22

UNE-EN 12697-2:2015 y UNE-EN 12697-2:2015+A1:2022. Mezclas bituminosas. Métodos de ensayo. Parte 2: Determinación de la granulometría de las partículas.

GRÁFICOS GRANULOMÉTRICOS LABORATORIO 272

CONTENIDO DE LIGANTE SOLUBLE

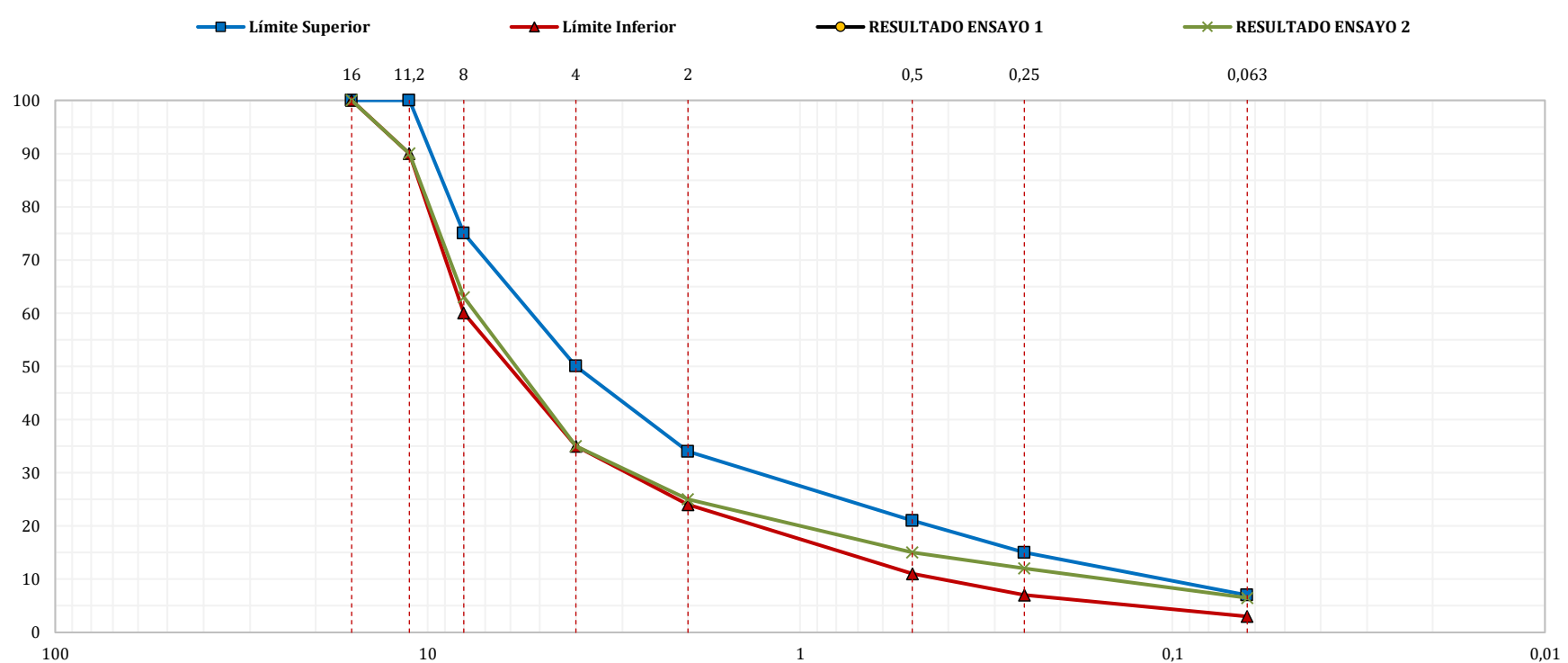
RESULTADOS ENSAYO 1

Abertura Tamiz (mm)	Masa Acumulada (g)	Masa Acumulada (%)	Masa Retenida (g)	Masa Que Pasa (%)	Límite Inferior (%)	Límite Superior (%)
16					100	100
11,2					90	100
8					60	75
4					35	50
2					24	34
0,5					11	21
0,25					7	15
0,063					3	7

RESULTADOS ENSAYO 2

Abertura Tamiz (mm)	Masa Acumulada (g)	Masa Acumulada (%)	Masa Retenida (g)	Masa Que Pasa (%)	Límite Inferior (%)	Límite Superior (%)
16			0,00	100,0	100	100
11,2			120,00	90,0	90	100
8			308,00	63,0	60	75
4			321,00	35,0	35	50
2			122,00	25,0	24	34
0,5			111,00	15,0	11	21
0,25			40,00	12,0	7	15
0,063			63,00	6,5	3	7

GRÁFICOS ENSAYOS 1 Y 2



Representación gráfica "Abertura del Tamiz (eje X ; representación semilogarítmica ; %) vs Masa Que Pasa (eje Y ; representación lineal ; %)".

ANÁLISIS DE RESULTADOS EILA 22

UNE-EN 12697-2:2015 y UNE-EN 12697-2:2015+A1:2022. Mezclas bituminosas. Métodos de ensayo. Parte 2: Determinación de la granulometría de las partículas.

GRÁFICOS GRANULOMÉTRICOS LABORATORIO 273

CONTENIDO DE LIGANTE SOLUBLE

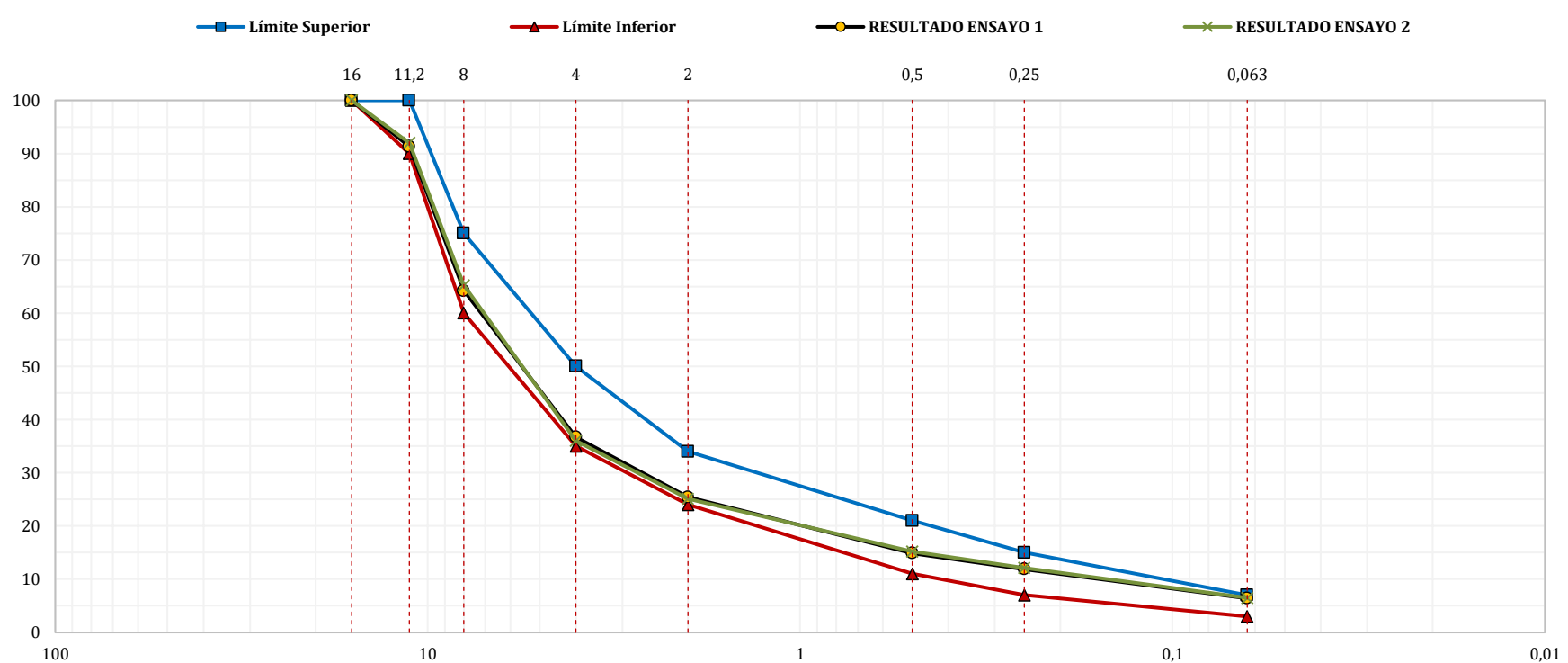
RESULTADOS ENSAYO 1

Abertura Tamiz (mm)	Masa Acumulada (g)	Masa Acumulada (%)	Masa Retenida (g)	Masa Que Pasa (%)	Límite Inferior (%)	Límite Superior (%)
16	0,00	0,0	0,00	100,0	100	100
11,2	106,30	8,7	106,30	91,3	90	100
8	440,00	35,8	333,70	64,2	60	75
4	776,90	63,3	336,90	36,7	35	50
2	916,30	74,6	139,40	25,4	24	34
0,5	1.044,60	85,1	128,30	14,9	11	21
0,25	1.082,00	88,1	37,40	11,9	7	15
0,063	1.149,40	93,6	67,40	6,4	3	7

RESULTADOS ENSAYO 2

Abertura Tamiz (mm)	Masa Acumulada (g)	Masa Acumulada (%)	Masa Retenida (g)	Masa Que Pasa (%)	Límite Inferior (%)	Límite Superior (%)
16	0,00	0,0	0,00	100,0	100	100
11,2	100,00	8,0	100,00	92,0	90	100
8	433,80	34,8	333,80	65,2	60	75
4	798,80	64,0	365,00	36,0	35	50
2	934,70	74,9	135,90	25,1	24	34
0,5	1.057,70	84,8	123,00	15,2	11	21
0,25	1.096,40	87,9	38,70	12,1	7	15
0,063	1.166,60	93,5	70,20	6,5	3	7

GRÁFICOS ENSAYOS 1 Y 2



Representación gráfica "Abertura del Tamiz (eje X ; representación semilogarítmica ; %) vs Masa Que Pasa (eje Y ; representación lineal ; %)".

ANÁLISIS DE RESULTADOS EILA 22

UNE-EN 12697-2:2015 y UNE-EN 12697-2:2015+A1:2022. Mezclas bituminosas. Métodos de ensayo. Parte 2: Determinación de la granulometría de las partículas.

GRÁFICOS GRANULOMÉTRICOS LABORATORIO 275

CONTENIDO DE LIGANTE SOLUBLE

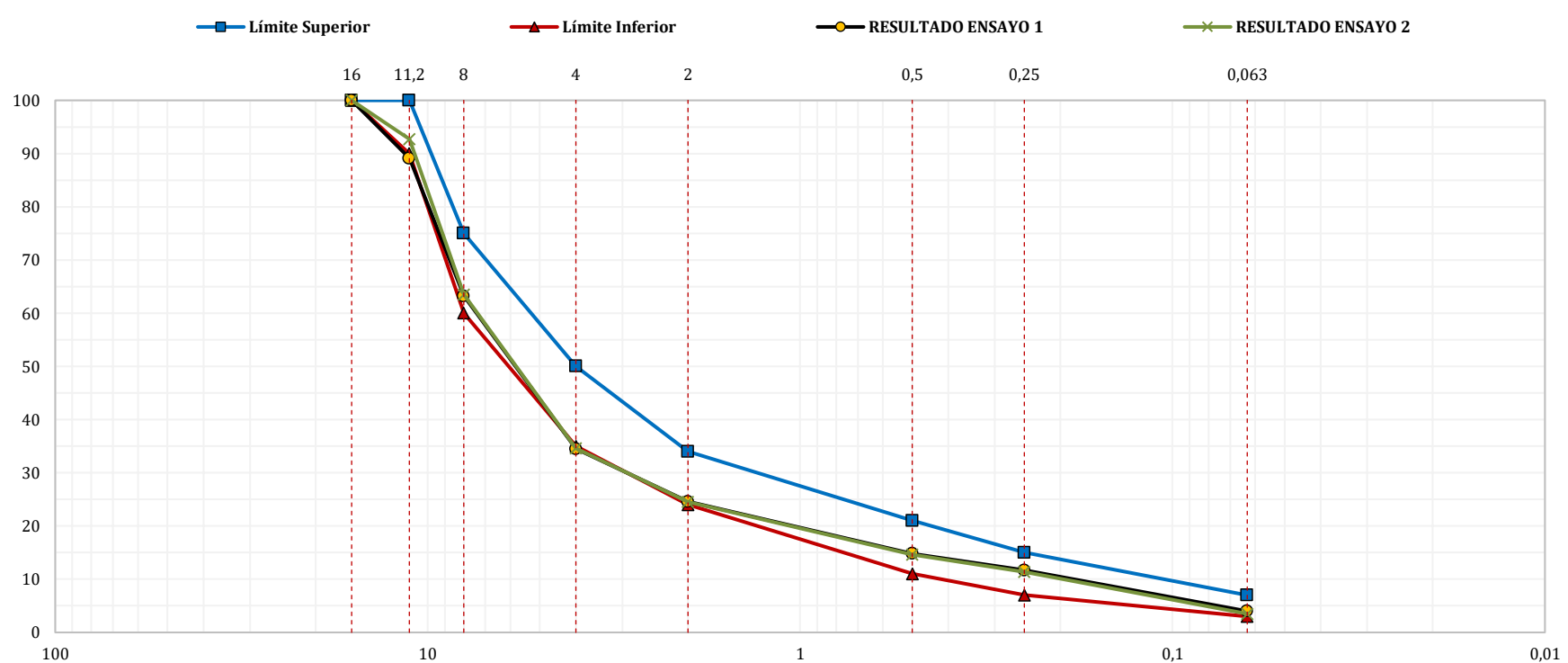
RESULTADOS ENSAYO 1

Abertura Tamiz (mm)	Masa Acumulada (g)	Masa Acumulada (%)	Masa Retenida (g)	Masa Que Pasa (%)	Límite Inferior (%)	Límite Superior (%)
16	0,00	0,0	0,00	100,0	100	100
11,2	138,00	10,8	138,00	89,1	90	100
8	466,00	36,8	328,00	63,2	60	75
4	830,00	65,5	364,00	34,5	35	50
2	955,00	75,4	125,00	24,6	24	34
0,5	1.079,00	85,2	124,00	14,8	11	21
0,25	1.119,00	88,2	40,00	11,7	7	15
0,063	1.216,00	96,0	97,00	4,0	3	7

RESULTADOS ENSAYO 2

Abertura Tamiz (mm)	Masa Acumulada (g)	Masa Acumulada (%)	Masa Retenida (g)	Masa Que Pasa (%)	Límite Inferior (%)	Límite Superior (%)
16	0,00	0,0	0,00	100,0	100	100
11,2	110,00	7,3	110,00	92,7	90	100
8	548,00	36,5	438,00	63,5	60	75
4	981,00	60,6	433,00	34,6	35	50
2	1.134,00	45,5	153,00	24,5	24	34
0,5	1.282,00	85,4	148,00	14,6	11	21
0,25	1.330,00	88,9	48,00	11,4	7	15
0,063	1.448,00	96,4	118,00	3,5	3	7

GRÁFICOS ENSAYOS 1 Y 2



Representación gráfica "Abertura del Tamiz (eje X ; representación semilogarítmica ; %) vs Masa Que Pasa (eje Y ; representación lineal ; %)".

ANÁLISIS DE RESULTADOS EILA 22

UNE-EN 12697-2:2015 y UNE-EN 12697-2:2015+A1:2022. Mezclas bituminosas. Métodos de ensayo. Parte 2: Determinación de la granulometría de las partículas.

GRÁFICOS GRANULOMÉTRICOS LABORATORIO 276

CONTENIDO DE LIGANTE SOLUBLE

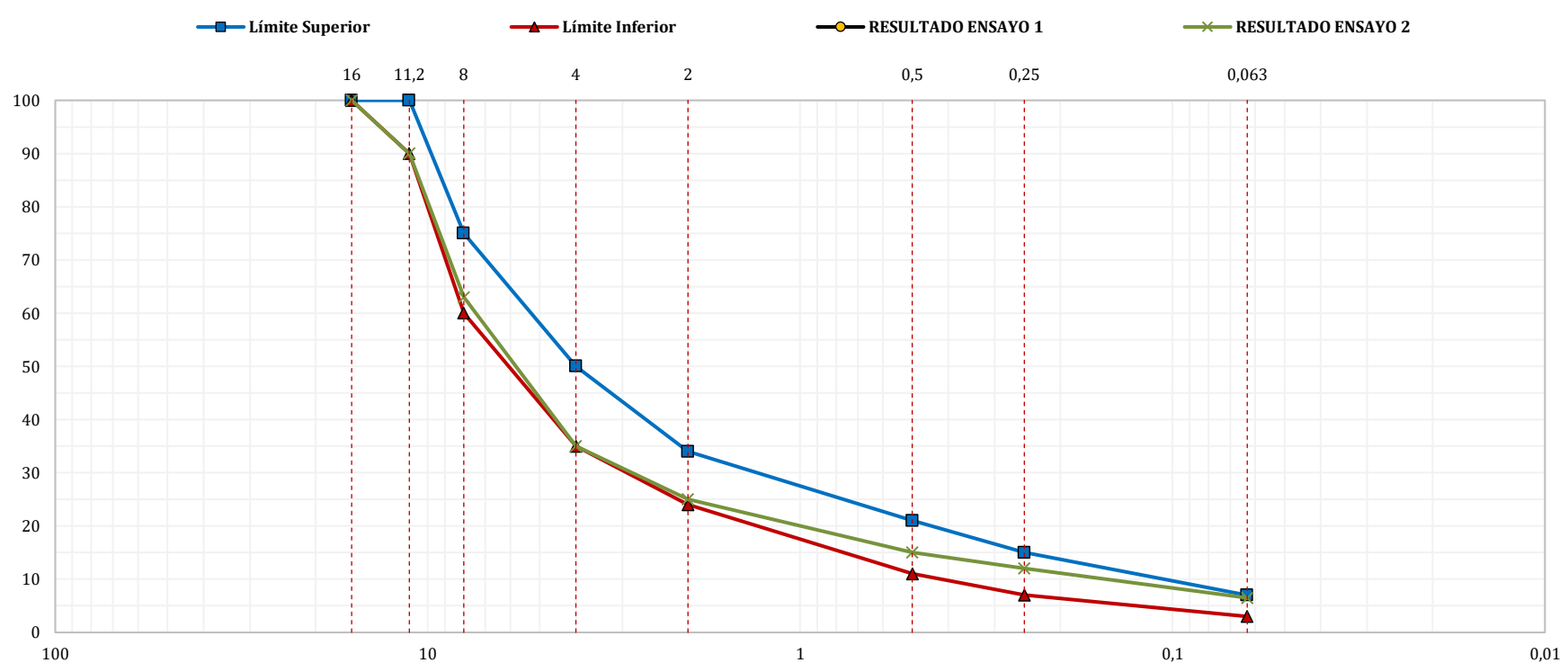
RESULTADOS ENSAYO 1

Abertura Tamiz (mm)	Masa Acumulada (g)	Masa Acumulada (%)	Masa Retenida (g)	Masa Que Pasa (%)	Límite Inferior (%)	Límite Superior (%)
16					100	100
11,2					90	100
8					60	75
4					35	50
2					24	34
0,5					11	21
0,25					7	15
0,063					3	7

RESULTADOS ENSAYO 2

Abertura Tamiz (mm)	Masa Acumulada (g)	Masa Acumulada (%)	Masa Retenida (g)	Masa Que Pasa (%)	Límite Inferior (%)	Límite Superior (%)
16			0,00	100,0	100	100
11,2			120,00	90,0	90	100
8			308,00	63,0	60	75
4			321,00	35,0	35	50
2			122,00	25,0	24	34
0,5			111,00	15,0	11	21
0,25			40,00	12,0	7	15
0,063			63,00	6,5	3	7

GRÁFICOS ENSAYOS 1 Y 2



Representación gráfica "Abertura del Tamiz (eje X ; representación semilogarítmica ; %) vs Masa Que Pasa (eje Y ; representación lineal ; %)".

ANÁLISIS DE RESULTADOS EILA 22

UNE-EN 12697-2:2015 y UNE-EN 12697-2:2015+A1:2022. Mezclas bituminosas. Métodos de ensayo. Parte 2: Determinación de la granulometría de las partículas.

GRÁFICOS GRANULOMÉTRICOS LABORATORIO 277

CONTENIDO DE LIGANTE SOLUBLE

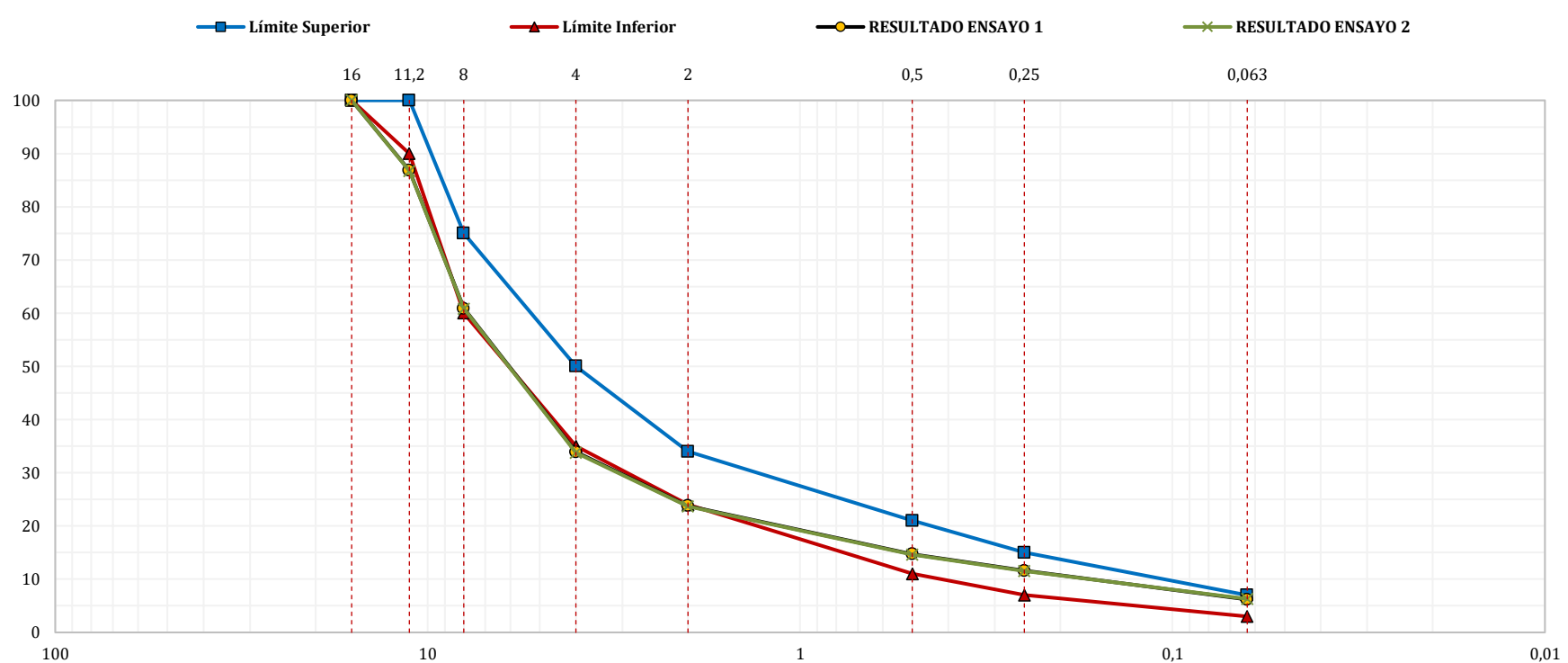
RESULTADOS ENSAYO 1

Abertura Tamiz (mm)	Masa Acumulada (g)	Masa Acumulada (%)	Masa Retenida (g)	Masa Que Pasa (%)	Límite Inferior (%)	Límite Superior (%)
16	0,00	0,0	0,00	100,0	100	100
11,2	150,90	13,2	150,90	86,8	90	100
8	446,20	39,1	295,30	60,9	60	75
4	753,30	66,1	307,10	33,9	35	50
2	868,80	76,2	115,50	23,8	24	34
0,5	972,00	85,3	103,20	14,7	11	21
0,25	1.007,40	88,4	35,40	11,6	7	15
0,063	1.069,10	93,8	61,70	6,2	3	7

RESULTADOS ENSAYO 2

Abertura Tamiz (mm)	Masa Acumulada (g)	Masa Acumulada (%)	Masa Retenida (g)	Masa Que Pasa (%)	Límite Inferior (%)	Límite Superior (%)
16	0,00	0,0	0,00	100,0	100	100
11,2	151,60	13,3	151,60	86,7	90	100
8	446,80	39,2	295,20	60,8	60	75
4	754,60	66,2	307,80	33,8	35	50
2	869,70	76,3	115,10	23,7	24	34
0,5	973,40	85,4	103,70	14,6	11	21
0,25	1.008,70	88,5	35,30	11,5	7	15
0,063	1.068,00	93,7	59,30	6,3	3	7

GRÁFICOS ENSAYOS 1 Y 2



Representación gráfica "Abertura del Tamiz (eje X ; representación semilogarítmica ; %) vs Masa Que Pasa (eje Y ; representación lineal ; %)".

ANÁLISIS DE RESULTADOS EILA 22

UNE-EN 12697-2:2015 y UNE-EN 12697-2:2015+A1:2022. Mezclas bituminosas. Métodos de ensayo. Parte 2: Determinación de la granulometría de las partículas.

GRÁFICOS GRANULOMÉTRICOS LABORATORIO 278

CONTENIDO DE LIGANTE SOLUBLE

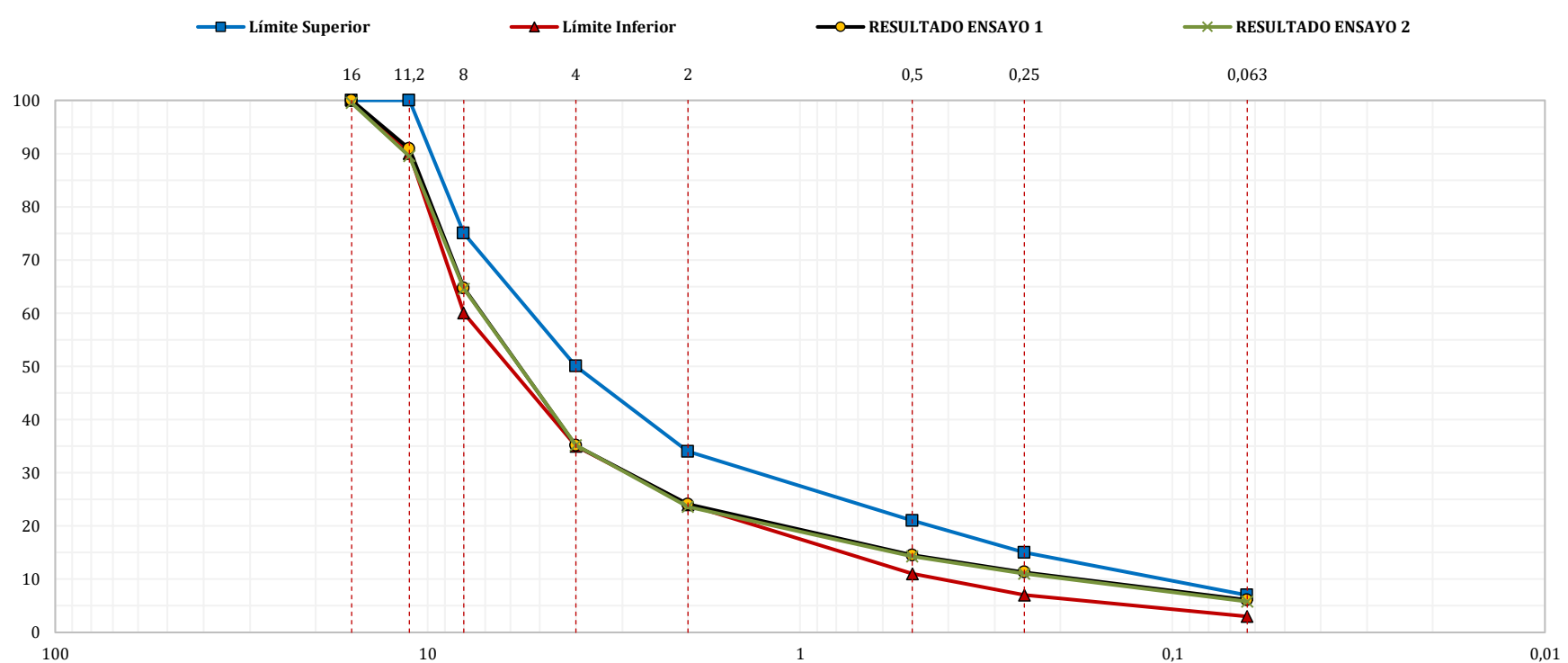
RESULTADOS ENSAYO 1

Abertura Tamiz (mm)	Masa Acumulada (g)	Masa Acumulada (%)	Masa Retenida (g)	Masa Que Pasa (%)	Límite Inferior (%)	Límite Superior (%)
16	0,00	0,0	0,00	100,0	100	100
11,2	113,54	9,2	113,54	90,9	90	100
8	438,57	35,3	325,03	64,7	60	75
4	805,35	64,9	366,78	35,1	35	50
2	941,90	75,9	136,55	24,1	24	34
0,5	1.060,85	85,5	118,95	14,5	11	21
0,25	1.100,97	88,7	40,12	11,3	7	15
0,063	1.165,81	93,9	64,84	6,1	3	7

RESULTADOS ENSAYO 2

Abertura Tamiz (mm)	Masa Acumulada (g)	Masa Acumulada (%)	Masa Retenida (g)	Masa Que Pasa (%)	Límite Inferior (%)	Límite Superior (%)
16	7,00	0,5	7,00	99,5	100	100
11,2	135,91	10,5	128,91	89,5	90	100
8	459,10	35,4	323,19	64,6	60	75
4	840,99	64,8	381,89	35,2	35	50
2	990,33	76,4	149,34	23,6	24	34
0,5	1.111,93	85,7	121,60	14,3	11	21
0,25	1.154,46	89,0	42,53	11,0	7	15
0,063	1.221,34	94,2	66,88	5,8	3	7

GRÁFICOS ENSAYOS 1 Y 2



Representación gráfica "Abertura del Tamiz (eje X ; representación semilogarítmica ; %) vs Masa Que Pasa (eje Y ; representación lineal ; %)".

ANÁLISIS DE RESULTADOS EILA 22

UNE-EN 12697-2:2015 y UNE-EN 12697-2:2015+A1:2022. Mezclas bituminosas. Métodos de ensayo. Parte 2: Determinación de la granulometría de las partículas.

GRÁFICOS GRANULOMÉTRICOS LABORATORIO 279

CONTENIDO DE LIGANTE SOLUBLE

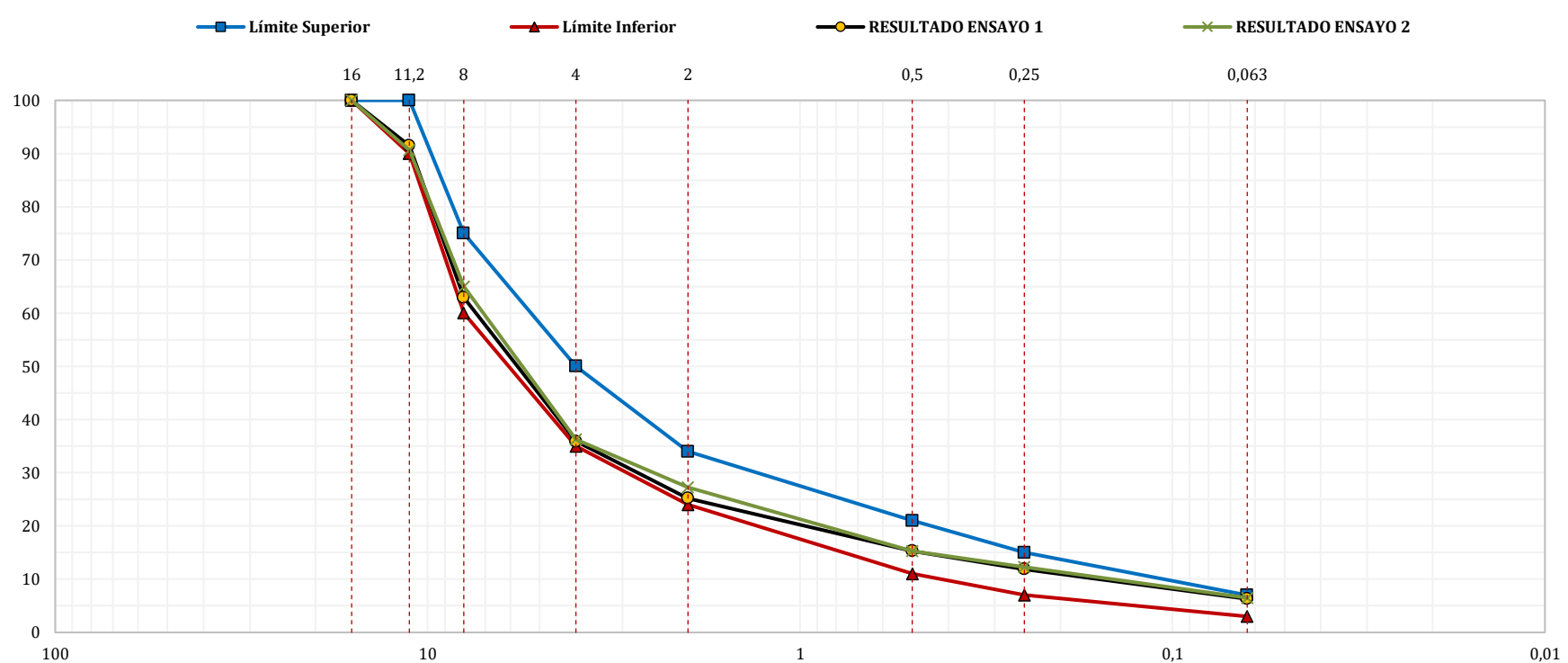
RESULTADOS ENSAYO 1

Abertura Tamiz (mm)	Masa Acumulada (g)	Masa Acumulada (%)	Masa Retenida (g)	Masa Que Pasa (%)	Límite Inferior (%)	Límite Superior (%)
16	0,00	0,0	0,00	100,0	100	100
11,2	169,90	8,5	169,90	91,5	90	100
8	742,20	37,1	572,30	62,9	60	75
4	1.284,10	64,1	541,90	35,9	35	50
2	1.498,50	74,2	214,40	25,2	24	34
0,5	1.696,40	84,7	197,90	15,3	11	21
0,25	1.763,10	88,1	66,70	11,9	7	15
0,063	1.876,30	93,7	113,20	6,3	3	7

RESULTADOS ENSAYO 2

Abertura Tamiz (mm)	Masa Acumulada (g)	Masa Acumulada (%)	Masa Retenida (g)	Masa Que Pasa (%)	Límite Inferior (%)	Límite Superior (%)
16	0,00	0,0	0,00	100,0	100	100
11,2	178,10	9,4	178,10	90,6	90	100
8	666,20	35,0	488,10	65,0	60	75
4	1.212,30	63,7	546,10	36,3	35	50
2	1.384,10	72,7	171,80	27,3	24	34
0,5	1.612,00	84,7	227,90	15,3	11	21
0,25	1.670,10	87,7	58,10	12,3	7	15
0,063	1.779,10	93,5	109,00	6,5	3	7

GRÁFICOS ENSAYOS 1 Y 2



Representación gráfica "Abertura del Tamiz (eje X ; representación semilogarítmica ; %) vs Masa Que Pasa (eje Y ; representación lineal ; %)".

ANÁLISIS DE RESULTADOS EILA 22

UNE-EN 12697-2:2015 y UNE-EN 12697-2:2015+A1:2022. Mezclas bituminosas. Métodos de ensayo. Parte 2: Determinación de la granulometría de las partículas.

GRÁFICOS GRANULOMÉTRICOS LABORATORIO 283

CONTENIDO DE LIGANTE SOLUBLE

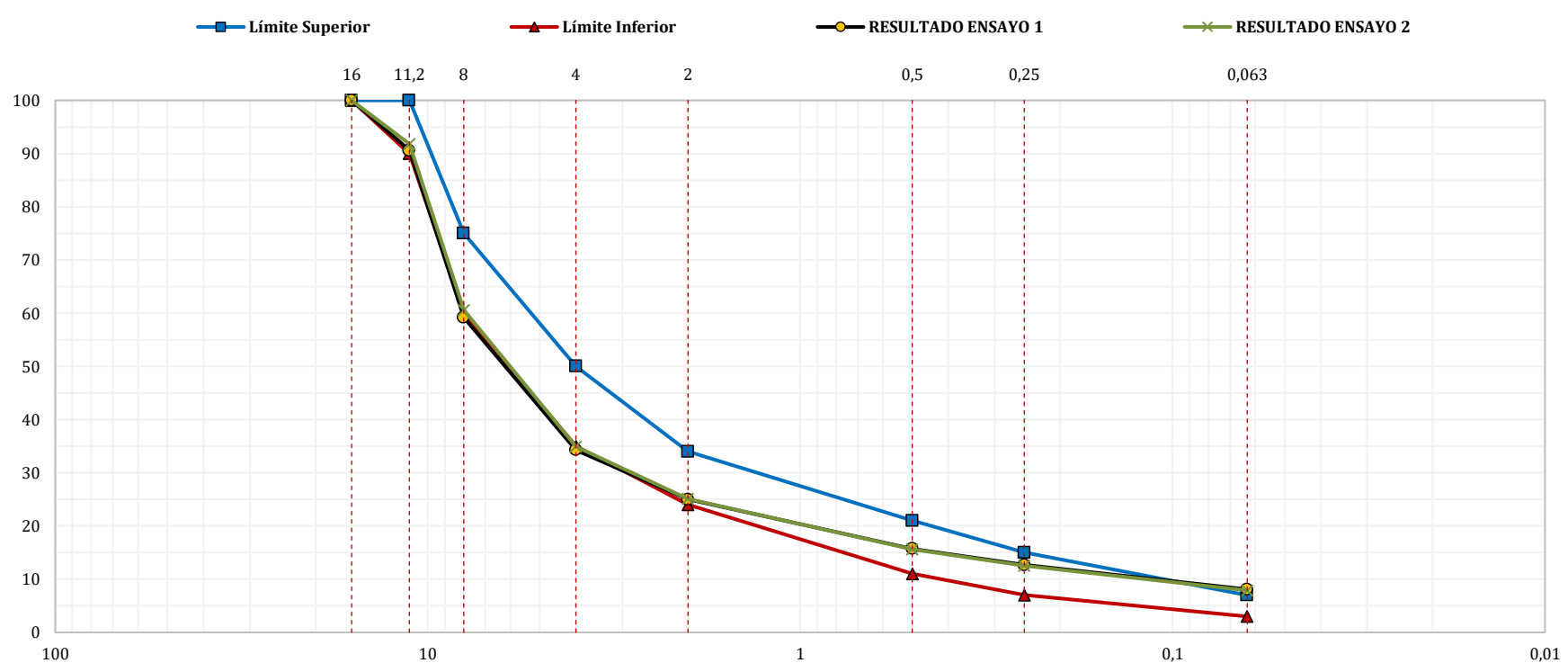
RESULTADOS ENSAYO 1

Abertura Tamiz (mm)	Masa Acumulada (g)	Masa Acumulada (%)	Masa Retenida (g)	Masa Que Pasa (%)	Límite Inferior (%)	Límite Superior (%)
16	0,00	0,0	0,00	100,0	100	100
11,2	144,80	9,4	144,80	90,6	90	100
8	627,70	40,8	482,90	59,2	60	75
4	1.011,60	65,7	383,90	34,3	35	50
2	1.155,30	75,0	143,70	25,0	24	34
0,5	1.299,00	84,3	143,70	15,7	11	21
0,25	1.345,10	87,3	46,10	12,7	7	15
0,063	1.414,80	91,9	69,70	8,1	3	7

RESULTADOS ENSAYO 2

Abertura Tamiz (mm)	Masa Acumulada (g)	Masa Acumulada (%)	Masa Retenida (g)	Masa Que Pasa (%)	Límite Inferior (%)	Límite Superior (%)
16	0,00	0,0	0,00	100,0	100	100
11,2	122,10	8,2	122,10	91,8	90	100
8	583,50	39,4	461,40	60,6	60	75
4	965,10	65,1	381,60	34,9	35	50
2	1.110,20	74,9	145,10	25,1	24	34
0,5	1.250,40	84,4	140,20	15,6	11	21
0,25	1.295,80	87,5	45,40	12,5	7	15
0,063	1.365,30	92,1	69,50	7,9	3	7

GRÁFICOS ENSAYOS 1 Y 2



Representación gráfica "Abertura del Tamiz (eje X ; representación semilogarítmica ; %) vs Masa Que Pasa (eje Y ; representación lineal ; %)".

ANÁLISIS DE RESULTADOS EILA 22

UNE-EN 12697-2:2015 y UNE-EN 12697-2:2015+A1:2022. Mezclas bituminosas. Métodos de ensayo. Parte 2: Determinación de la granulometría de las partículas.

GRÁFICOS GRANULOMÉTRICOS LABORATORIO 284

CONTENIDO DE LIGANTE SOLUBLE

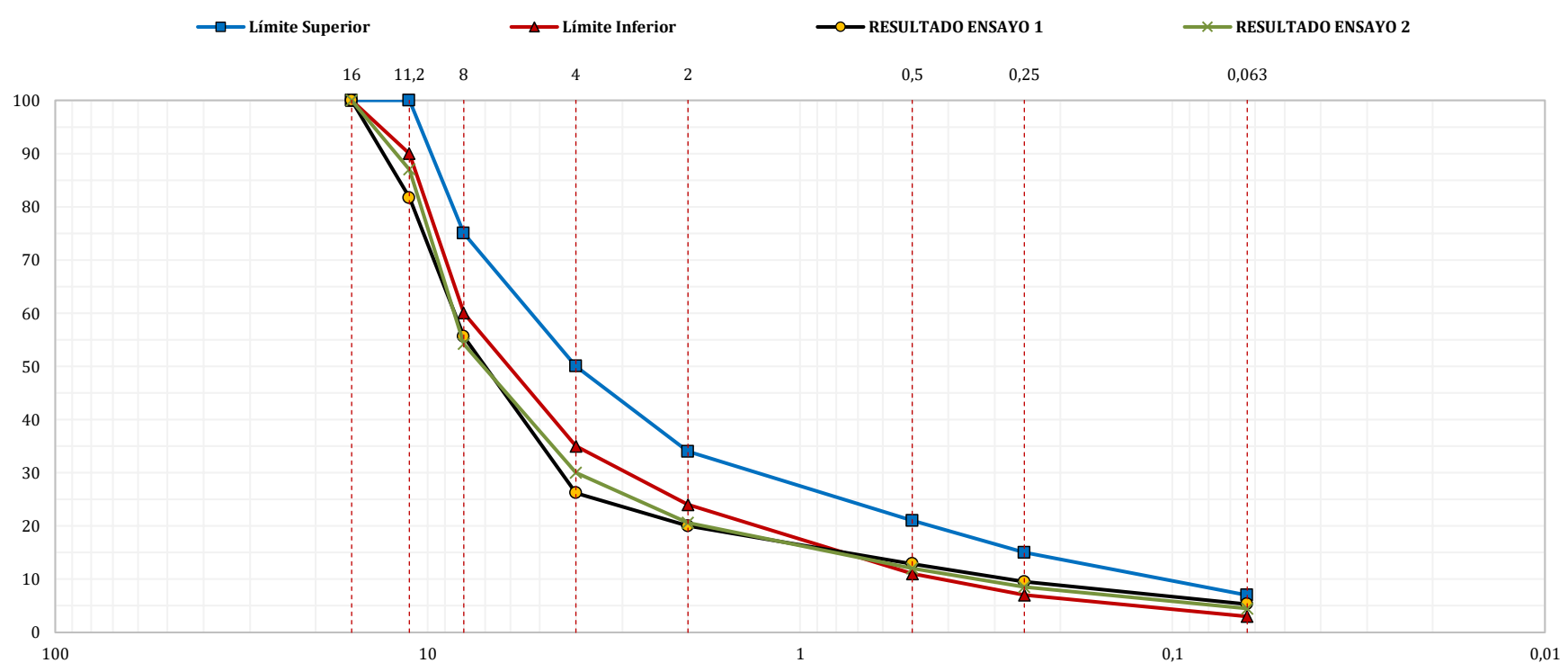
RESULTADOS ENSAYO 1

Abertura Tamiz (mm)	Masa Acumulada (g)	Masa Acumulada (%)	Masa Retenida (g)	Masa Que Pasa (%)	Límite Inferior (%)	Límite Superior (%)
16	0,00	0,0	0,00	100,0	100	100
11,2	209,40	18,3	209,40	81,7	90	100
8	507,60	44,4	298,20	55,6	60	75
4	843,00	73,8	335,40	26,2	35	50
2	913,80	80,0	70,80	20,0	24	34
0,5	995,00	87,1	81,20	12,9	11	21
0,25	1.033,40	90,5	38,40	9,5	7	15
0,063	1.081,20	94,7	47,80	5,3	3	7

RESULTADOS ENSAYO 2

Abertura Tamiz (mm)	Masa Acumulada (g)	Masa Acumulada (%)	Masa Retenida (g)	Masa Que Pasa (%)	Límite Inferior (%)	Límite Superior (%)
16	0,00	0,0	0,00	100,0	100	100
11,2	148,40	13,0	148,40	87,0	90	100
8	523,20	45,8	374,80	54,2	60	75
4	800,00	70,0	276,80	30,0	35	50
2	907,20	79,4	107,20	20,6	24	34
0,5	1.005,60	88,0	98,20	12,0	11	21
0,25	1.045,60	91,5	40,20	8,5	7	15
0,063	1.091,00	95,5	45,40	4,5	3	7

GRÁFICOS ENSAYOS 1 Y 2



Representación gráfica "Abertura del Tamiz (eje X ; representación semilogarítmica ; %) vs Masa Que Pasa (eje Y ; representación lineal ; %)".

ANÁLISIS DE RESULTADOS EILA 22

UNE-EN 12697-2:2015 y UNE-EN 12697-2:2015+A1:2022. Mezclas bituminosas. Métodos de ensayo. Parte 2: Determinación de la granulometría de las partículas.

GRÁFICOS GRANULOMÉTRICOS LABORATORIO 285

CONTENIDO DE LIGANTE SOLUBLE

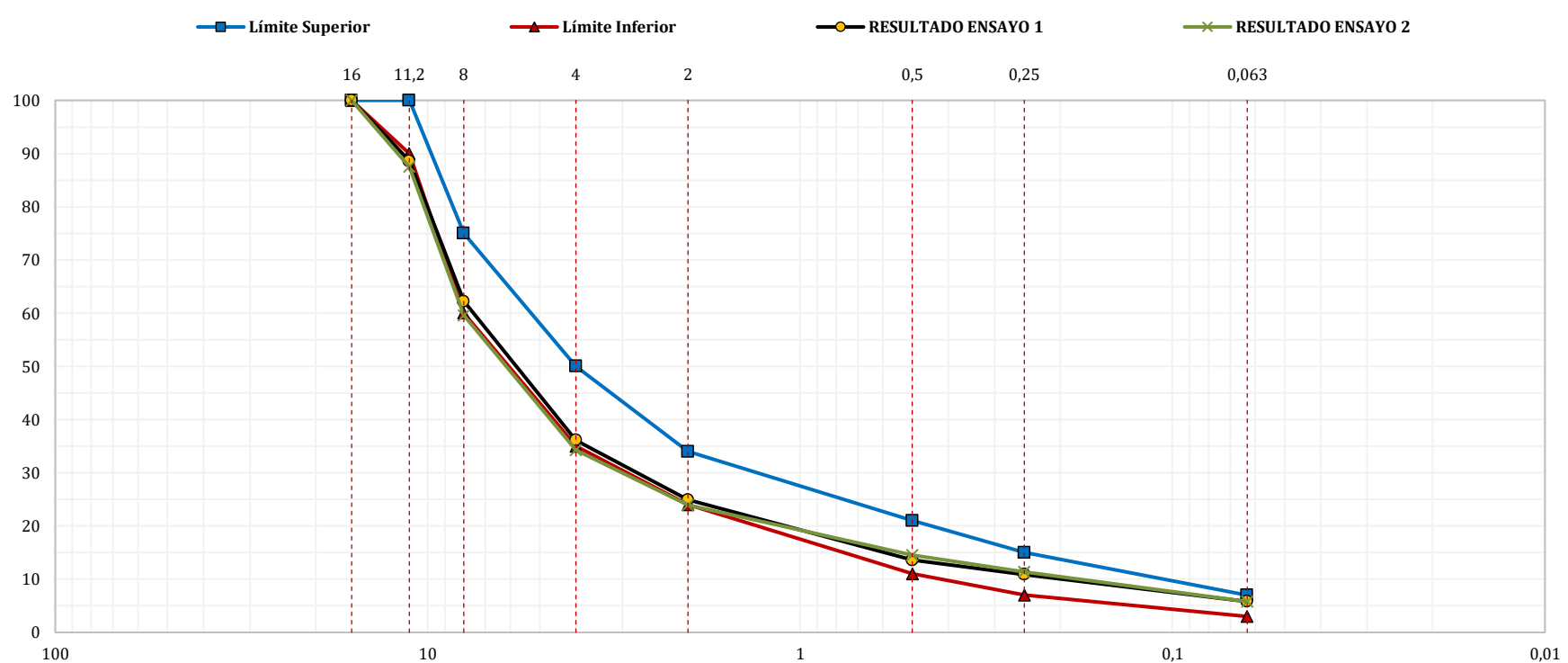
RESULTADOS ENSAYO 1

Abertura Tamiz (mm)	Masa Acumulada (g)	Masa Acumulada (%)	Masa Retenida (g)	Masa Que Pasa (%)	Límite Inferior (%)	Límite Superior (%)
16	0,00	0,0	0,00	100,0	100	100
11,2	167,00	11,4	167,00	88,6	90	100
8	555,00	37,8	388,20	62,2	60	75
4	939,00	63,9	384,20	36,1	35	50
2	1.104,00	75,1	164,70	24,9	24	34
0,5	1.270,00	86,4	165,90	13,6	11	21
0,25	1.310,00	89,1	40,00	10,9	7	15
0,063	1.385,00	94,2	75,00	5,8	3	7

RESULTADOS ENSAYO 2

Abertura Tamiz (mm)	Masa Acumulada (g)	Masa Acumulada (%)	Masa Retenida (g)	Masa Que Pasa (%)	Límite Inferior (%)	Límite Superior (%)
16	0,00	0,0	0,00	100,0	100	100
11,2	190,00	12,5	190,00	87,5	90	100
8	615,00	40,4	425,00	59,6	60	75
4	999,30	65,7	384,00	34,3	35	50
2	1.157,40	76,1	158,10	23,9	24	34
0,5	1.300,90	85,5	143,50	14,5	11	21
0,25	1.347,80	88,6	46,90	11,4	7	15
0,063	1.432,50	94,2	84,70	5,8	3	7

GRÁFICOS ENSAYOS 1 Y 2



Representación gráfica "Abertura del Tamiz (eje X ; representación semilogarítmica ; %) vs Masa Que Pasa (eje Y ; representación lineal ; %)".

ANÁLISIS DE RESULTADOS EILA 22

UNE-EN 12697-2:2015 y UNE-EN 12697-2:2015+A1:2022. Mezclas bituminosas. Métodos de ensayo. Parte 2: Determinación de la granulometría de las partículas.

GRÁFICOS GRANULOMÉTRICOS LABORATORIO 292

CONTENIDO DE LIGANTE SOLUBLE

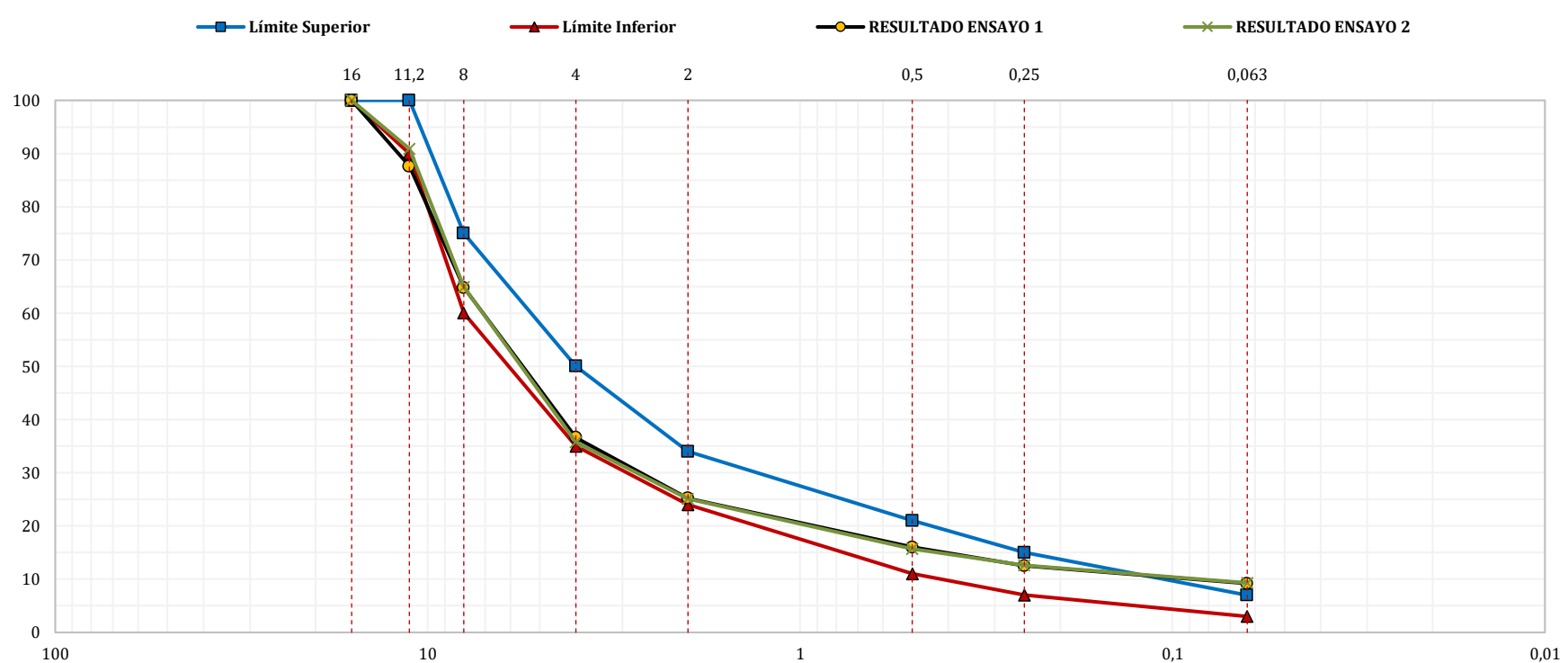
RESULTADOS ENSAYO 1

Abertura Tamiz (mm)	Masa Acumulada (g)	Masa Acumulada (%)	Masa Retenida (g)	Masa Que Pasa (%)	Límite Inferior (%)	Límite Superior (%)
16	0,00	0,0	0,00	100,0	100	100
11,2	165,50	12,4	165,50	87,6	90	100
8	470,50	35,2	305,00	64,8	60	75
4	848,90	63,4	378,40	36,6	35	50
2	1.001,10	74,8	152,20	25,2	24	34
0,5	1.123,80	84,0	122,70	16,0	11	21
0,25	1.170,10	87,5	46,30	12,5	7	15
0,063	1.215,10	90,8	45,00	9,2	3	7

RESULTADOS ENSAYO 2

Abertura Tamiz (mm)	Masa Acumulada (g)	Masa Acumulada (%)	Masa Retenida (g)	Masa Que Pasa (%)	Límite Inferior (%)	Límite Superior (%)
16	0,00	0,0	0,00	100,0	100	100
11,2	131,00	9,8	131,00	90,9	90	100
8	503,20	37,6	372,20	64,9	60	75
4	920,40	68,8	417,20	35,8	35	50
2	1.074,40	80,3	154,00	25,1	24	34
0,5	1.209,10	90,4	134,70	15,7	11	21
0,25	1.252,70	93,6	43,60	12,6	7	15
0,063	1.300,70	97,2	48,00	9,3	3	7

GRÁFICOS ENSAYOS 1 Y 2



Representación gráfica "Abertura del Tamiz (eje X ; representación semilogarítmica ; %) vs Masa Que Pasa (eje Y ; representación lineal ; %)".

ANÁLISIS DE RESULTADOS EILA 22

UNE-EN 12697-2:2015 y UNE-EN 12697-2:2015+A1:2022. Mezclas bituminosas. Métodos de ensayo. Parte 2: Determinación de la granulometría de las partículas.

GRÁFICOS GRANULOMÉTRICOS LABORATORIO 295

CONTENIDO DE LIGANTE SOLUBLE

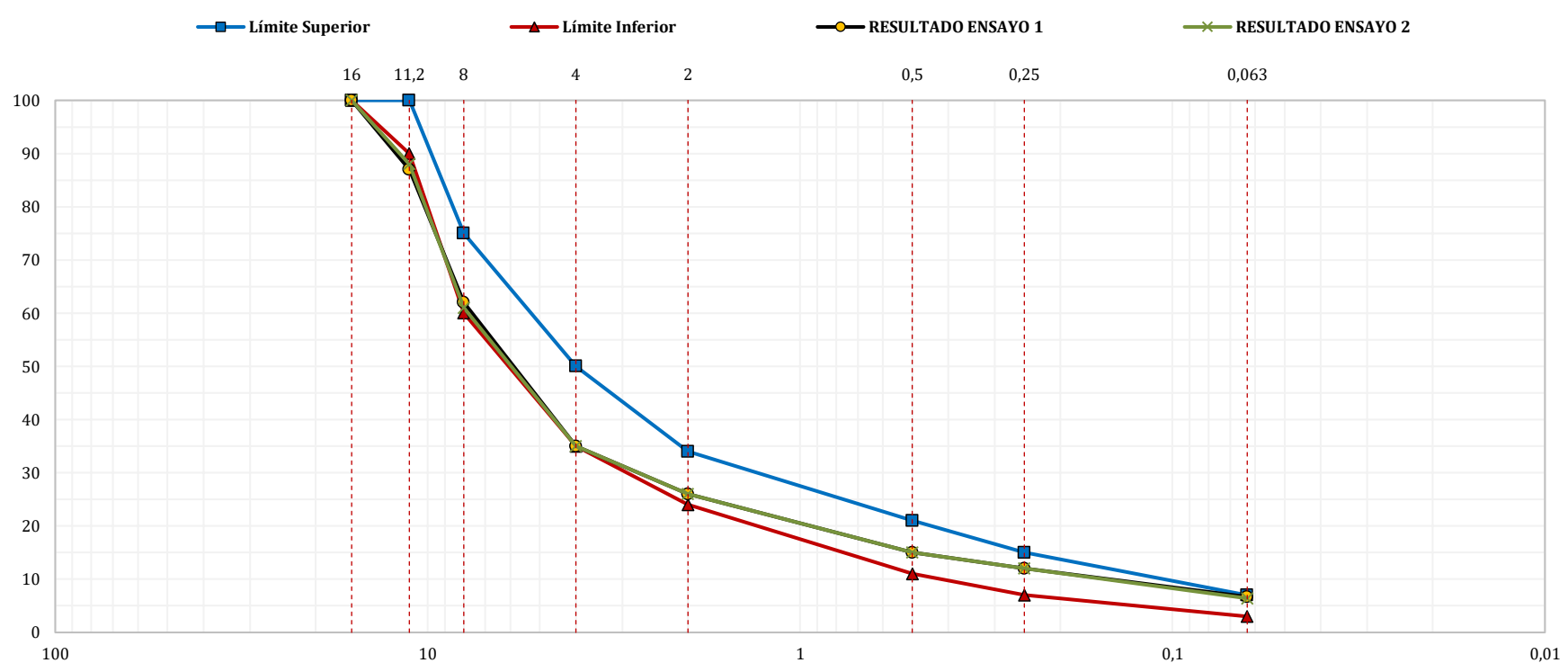
RESULTADOS ENSAYO 1

Abertura Tamiz (mm)	Masa Acumulada (g)	Masa Acumulada (%)	Masa Retenida (g)	Masa Que Pasa (%)	Límite Inferior (%)	Límite Superior (%)
16	0,00	0,0	0,00	100,0	100	100
11,2	154,30	13,0	154,30	87,0	90	100
8	445,50	38,0	291,20	62,0	60	75
4	748,00	65,0	302,50	35,0	35	50
2	854,20	74,0	106,20	26,0	24	34
0,5	981,00	85,0	126,80	15,0	11	21
0,25	1.018,60	88,0	37,60	12,0	7	15
0,063	1.081,90	93,3	63,30	6,7	3	7

RESULTADOS ENSAYO 2

Abertura Tamiz (mm)	Masa Acumulada (g)	Masa Acumulada (%)	Masa Retenida (g)	Masa Que Pasa (%)	Límite Inferior (%)	Límite Superior (%)
16	0,00	0,0	0,00	100,0	100	100
11,2	137,30	12,0	137,30	88,0	90	100
8	449,10	39,0	311,80	61,0	60	75
4	757,00	65,0	307,90	35,0	35	50
2	855,80	74,0	98,80	26,0	24	34
0,5	983,90	85,0	128,10	15,0	11	21
0,25	1.021,80	88,0	37,90	12,0	7	15
0,063	1.084,30	93,6	62,50	6,4	3	7

GRÁFICOS ENSAYOS 1 Y 2



Representación gráfica "Abertura del Tamiz (eje X ; representación semilogarítmica ; %) vs Masa Que Pasa (eje Y ; representación lineal ; %)".

ANÁLISIS DE RESULTADOS EILA 22

UNE-EN 12697-2:2015 y UNE-EN 12697-2:2015+A1:2022. Mezclas bituminosas. Métodos de ensayo. Parte 2: Determinación de la granulometría de las partículas.

GRÁFICOS GRANULOMÉTRICOS LABORATORIO 305

CONTENIDO DE LIGANTE SOLUBLE

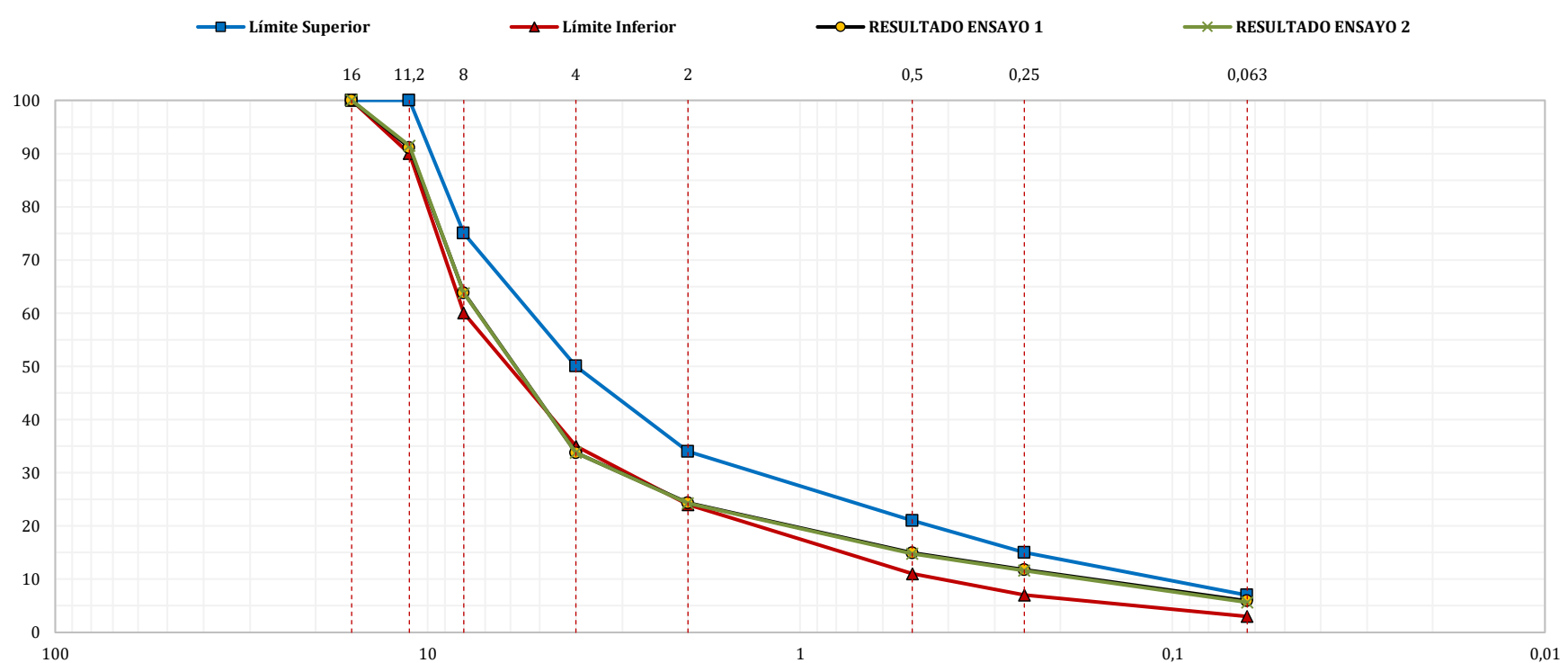
RESULTADOS ENSAYO 1

Abertura Tamiz (mm)	Masa Acumulada (g)	Masa Acumulada (%)	Masa Retenida (g)	Masa Que Pasa (%)	Límite Inferior (%)	Límite Superior (%)
16	0,00	0,0	0,00	100,0	100	100
11,2	195,80	8,9	195,80	91,1	90	100
8	797,70	36,2	601,90	63,8	60	75
4	1.460,50	66,3	662,80	33,7	35	50
2	1.667,50	75,7	207,00	24,3	24	34
0,5	1.874,70	85,1	207,20	14,9	11	21
0,25	1.944,40	88,2	69,70	11,8	7	15
0,063	2.073,50	94,1	129,10	5,9	3	7

RESULTADOS ENSAYO 2

Abertura Tamiz (mm)	Masa Acumulada (g)	Masa Acumulada (%)	Masa Retenida (g)	Masa Que Pasa (%)	Límite Inferior (%)	Límite Superior (%)
16	0,00	0,0	0,00	100,0	100	100
11,2	199,10	8,6	199,10	91,4	90	100
8	843,60	36,3	644,50	63,7	60	75
4	1.541,90	66,3	698,30	33,7	35	50
2	1.762,00	75,7	220,10	24,3	24	34
0,5	1.982,70	85,2	220,70	14,8	11	21
0,25	2.056,70	88,4	74,00	11,6	7	15
0,063	2.195,10	94,3	138,40	5,7	3	7

GRÁFICOS ENSAYOS 1 Y 2



Representación gráfica "Abertura del Tamiz (eje X ; representación semilogarítmica ; %) vs Masa Que Pasa (eje Y ; representación lineal ; %)".

ANÁLISIS DE RESULTADOS EILA 22

UNE-EN 12697-2:2015 y UNE-EN 12697-2:2015+A1:2022. Mezclas bituminosas. Métodos de ensayo. Parte 2: Determinación de la granulometría de las partículas.

GRÁFICOS GRANULOMÉTRICOS LABORATORIO 313

CONTENIDO DE LIGANTE SOLUBLE

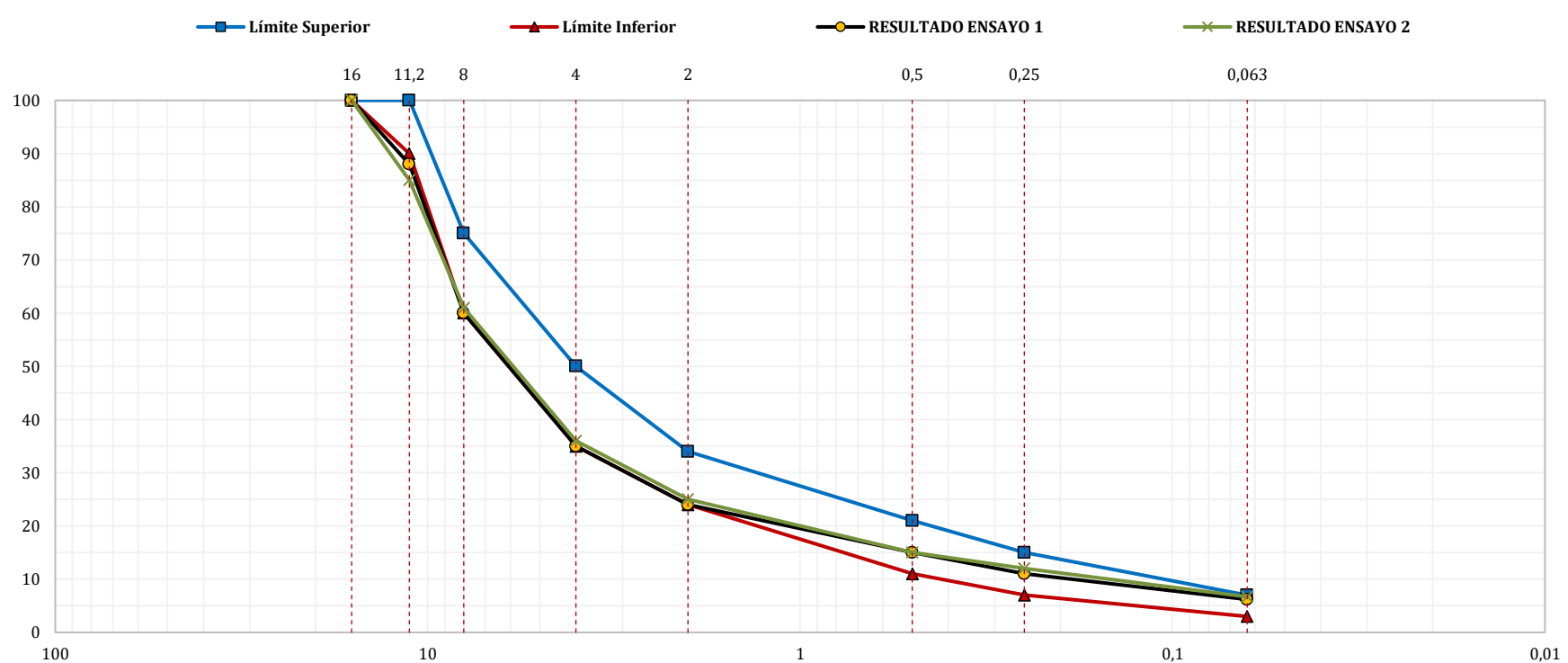
RESULTADOS ENSAYO 1

Abertura Tamiz (mm)	Masa Acumulada (g)	Masa Acumulada (%)	Masa Retenida (g)	Masa Que Pasa (%)	Límite Inferior (%)	Límite Superior (%)
16	0,00	0,0	0,00	100,0	100	100
11,2	165,68	12,0	165,58	88,0	90	100
8	532,93	40,0	367,25	60,0	60	75
4	867,78	65,0	334,85	35,0	35	50
2	1.003,52	76,0	135,74	24,0	24	34
0,5	1.130,67	85,0	127,15	15,0	11	21
0,25	1.174,23	89,0	43,56	11,0	7	15
0,063	1.244,40	93,8	70,17	6,2	3	7

RESULTADOS ENSAYO 2

Abertura Tamiz (mm)	Masa Acumulada (g)	Masa Acumulada (%)	Masa Retenida (g)	Masa Que Pasa (%)	Límite Inferior (%)	Límite Superior (%)
16	0,00	0,0	0,00	100,0	100	100
11,2	197,01	15,0	197,01	85,0	90	100
8	523,65	39,0	326,64	61,0	60	75
4	852,80	64,0	329,15	36,0	35	50
2	998,15	75,0	145,35	25,0	24	34
0,5	1.124,89	85,0	126,74	15,0	11	21
0,25	1.168,30	88,0	43,41	12,0	7	15
0,063	1.237,04	93,3	68,74	6,7	3	7

GRÁFICOS ENSAYOS 1 Y 2



Representación gráfica "Abertura del Tamiz (eje X ; representación semilogarítmica ; %) vs Masa Que Pasa (eje Y ; representación lineal ; %)".

ANÁLISIS DE RESULTADOS EILA 22

UNE-EN 12697-2:2015 y UNE-EN 12697-2:2015+A1:2022. Mezclas bituminosas. Métodos de ensayo. Parte 2: Determinación de la granulometría de las partículas.

GRÁFICOS GRANULOMÉTRICOS LABORATORIO 322

CONTENIDO DE LIGANTE SOLUBLE

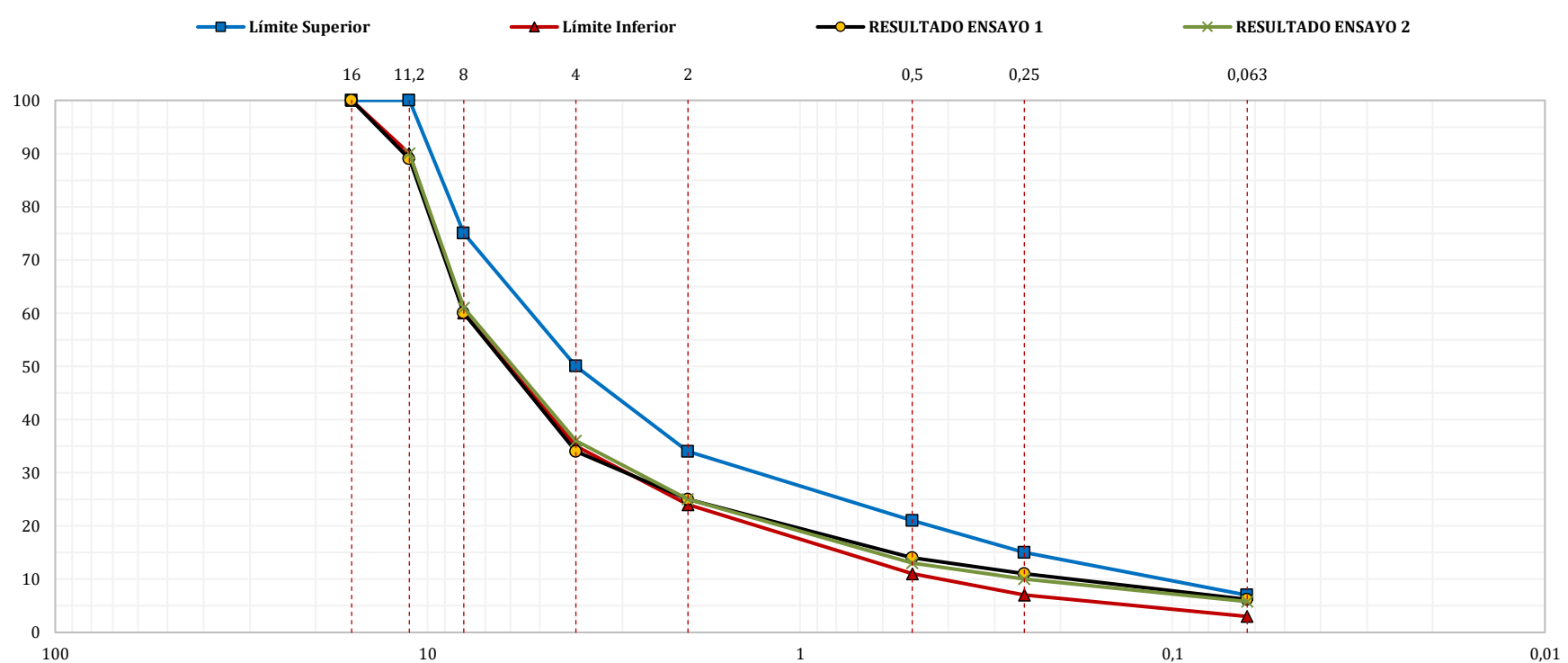
RESULTADOS ENSAYO 1

Abertura Tamiz (mm)	Masa Acumulada (g)	Masa Acumulada (%)	Masa Retenida (g)	Masa Que Pasa (%)	Límite Inferior (%)	Límite Superior (%)
16	0,00	0,0	-	100,0	100	100
11,2	158,41	11,0	-	89,0	90	100
8	584,49	40,0	-	60,0	60	75
4	958,08	66,0	-	34,0	35	50
2	1.081,67	75,0	-	25,0	24	34
0,5	1.240,01	86,0	-	14,0	11	21
0,25	1.291,07	89,0	-	11,0	7	15
0,063	1.356,80	93,8	-	6,2	3	7

RESULTADOS ENSAYO 2

Abertura Tamiz (mm)	Masa Acumulada (g)	Masa Acumulada (%)	Masa Retenida (g)	Masa Que Pasa (%)	Límite Inferior (%)	Límite Superior (%)
16	0,00				100	100
11,2	141,57	10,0		90,0	90	100
8	552,13	39,0		61,0	60	75
4	906,07	64,0		36,0	35	50
2	1.061,80	75,0		25,0	24	34
0,5	1.231,69	87,0		13,0	11	21
0,25	1.274,16	90,0		10,0	7	15
0,063	1.333,62	94,2		5,8	3	7

GRÁFICOS ENSAYOS 1 Y 2



Representación gráfica "Abertura del Tamiz (eje X ; representación semilogarítmica ; %) vs Masa Que Pasa (eje Y ; representación lineal ; %)".